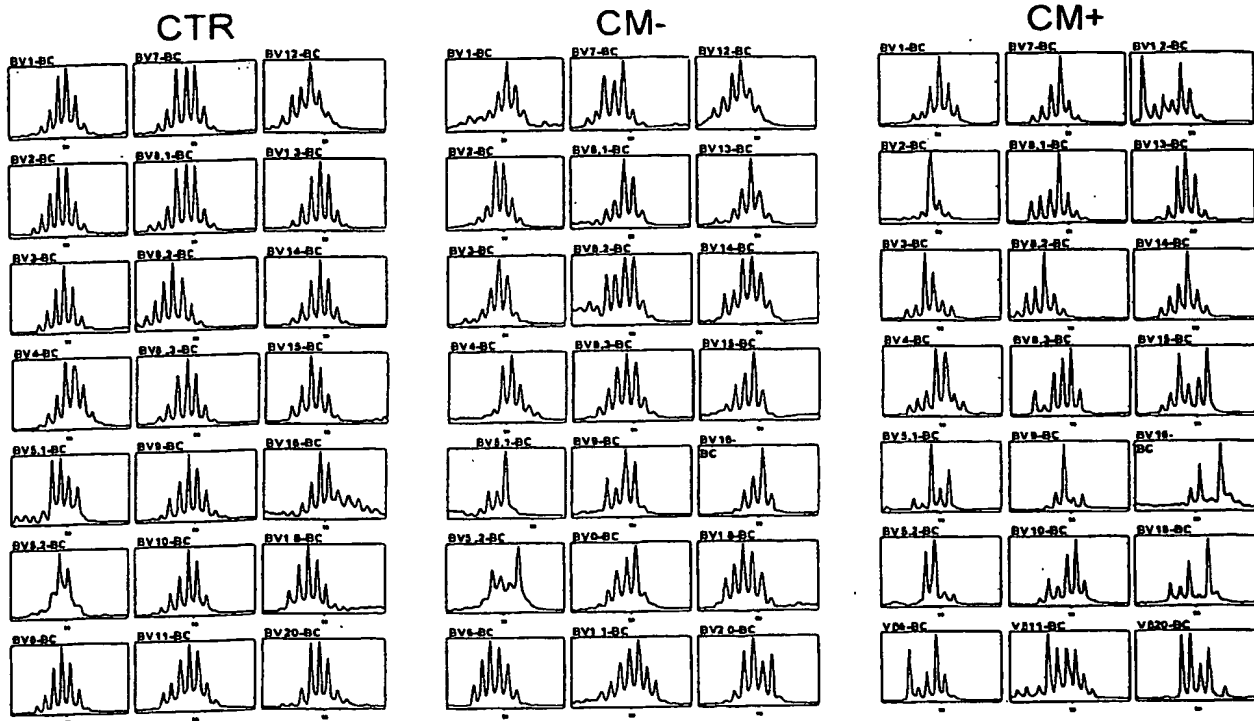


FIGURE 1

Figure 2



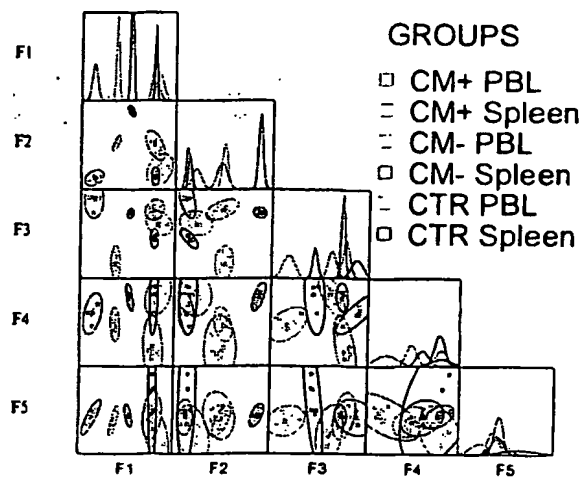


Figure 3

Figure 4a

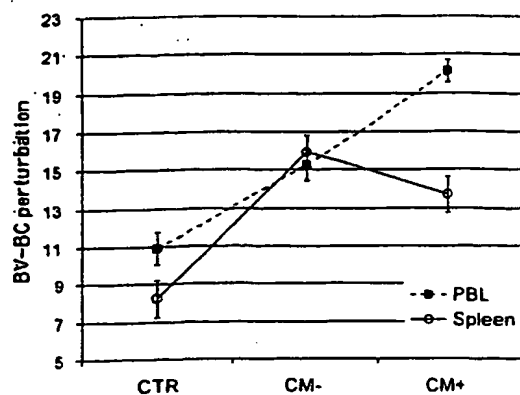
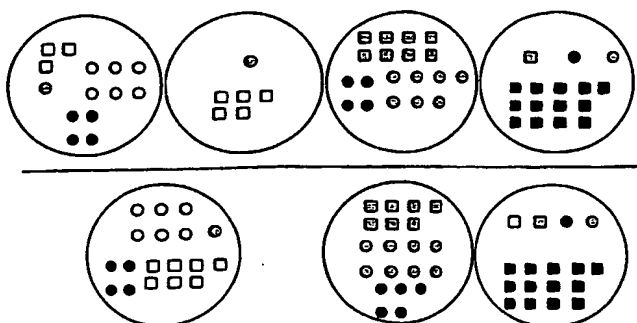


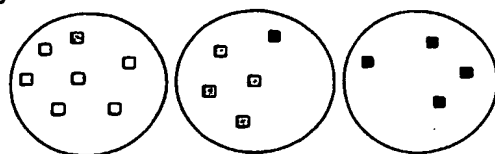
Figure 4b

k=4



k=3

Figure 4c



k=3

□ CTR PBL □ CM- PBL ■ CM+ PBL
○ CTR Spleen ○ CM- Spleen ● CM+ Spleen

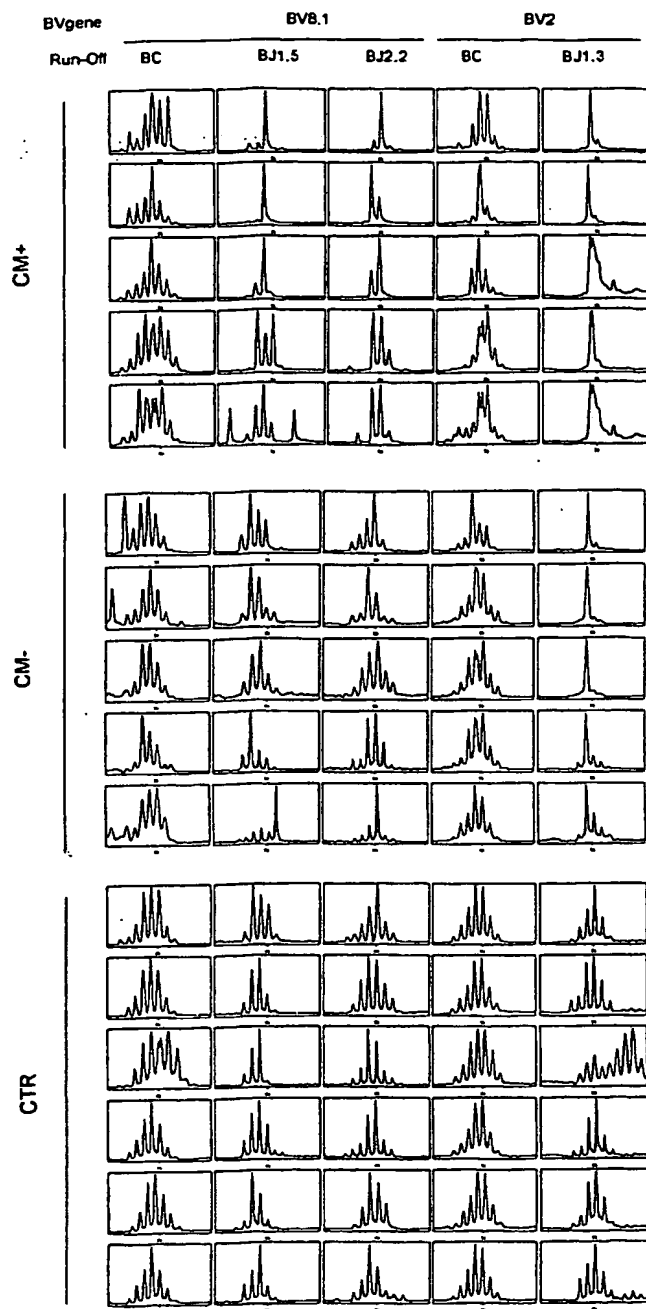
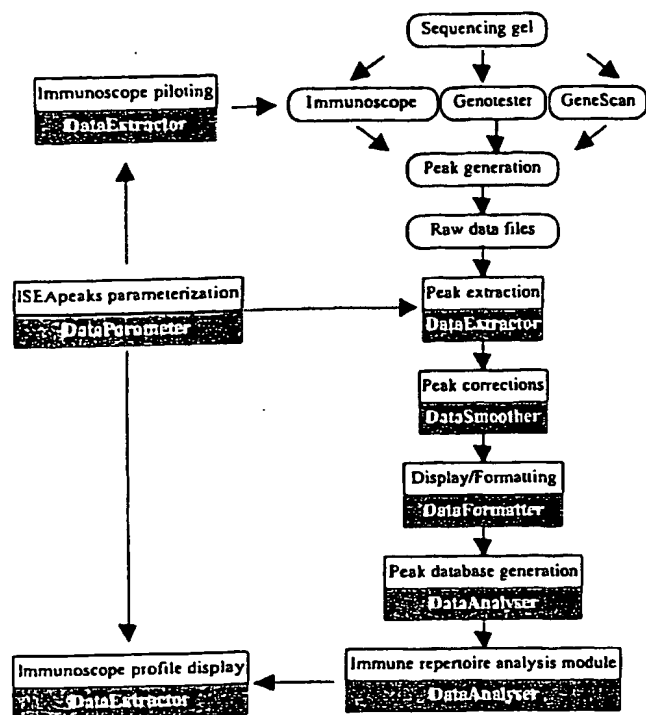
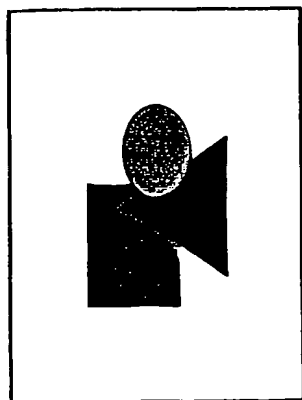


Figure 5

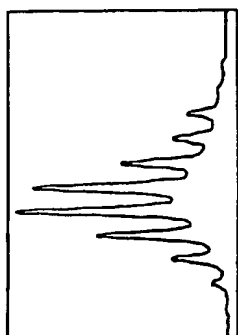
Figure 6



A B



BV4-BC

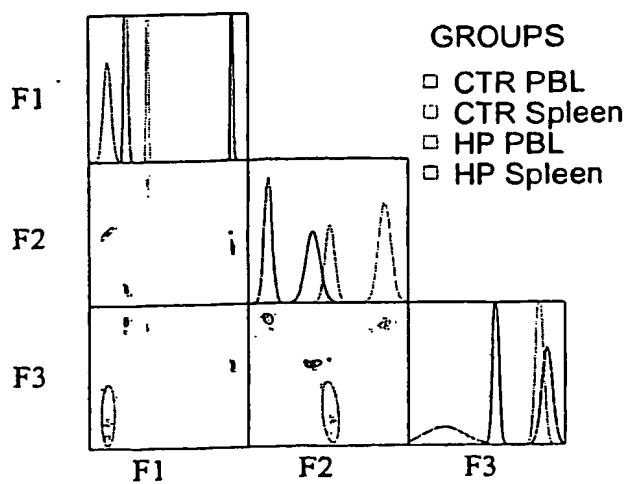


C

Immunoscope Raw data	mLength mArea misConsidered	178 2008 1	182 8133 1	184 14418 1	187 23540 1	190 24664 1	192 751 1	193 13316 1	196 7082 1	198 769 1	199 4727 1	201 864 1	202 522 1	202 1203 1
first filter	mLength mArea misConsidered	178 2008 1	182 8133 1	184 14418 1	187 23540 1	190 24664 1	192 751 1	193 13316 1	196 7082 1	198 769 1	199 4727 1	201 864 1	202 522 1	202 1203 1
second filter	mLength mArea misConsidered	178 2008 1	182 8133 1	184 14418 1	187 23540 1	190 24664 1	192 751 1	193 13316 1	196 7082 1	198 769 1	199 4727 1	201 864 1	202 522 1	202 1203 1
third filter	mLength mArea misConsidered	177 2008 1	181 8133 1	183 14418 1	188 23540 1	189 24664 1	182 751 1	195 13316 1	198 7082 1	201 864 1	202 522 1	202 1203 1	202 1203 1	202 1203 1

Figure 7

Figure 8



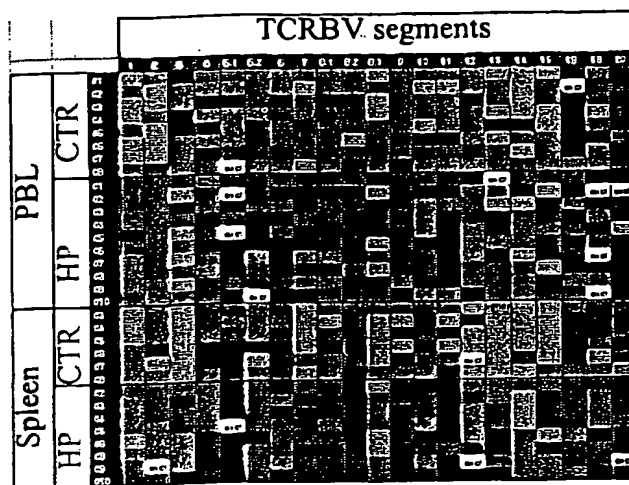


Figure 9

Figure 10

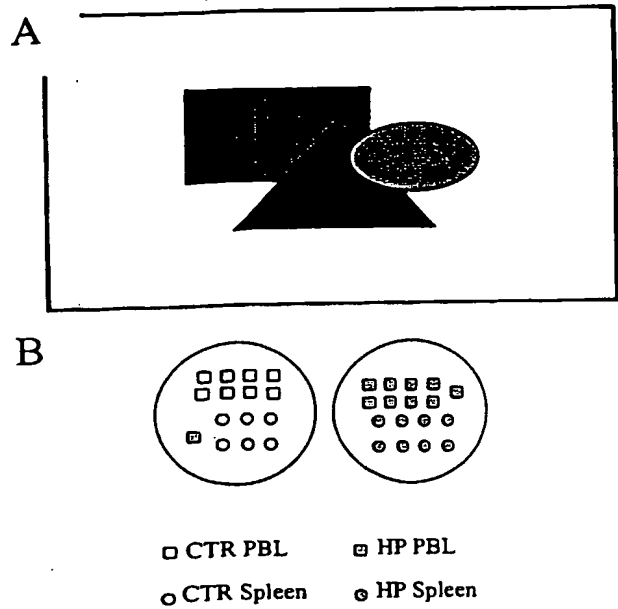
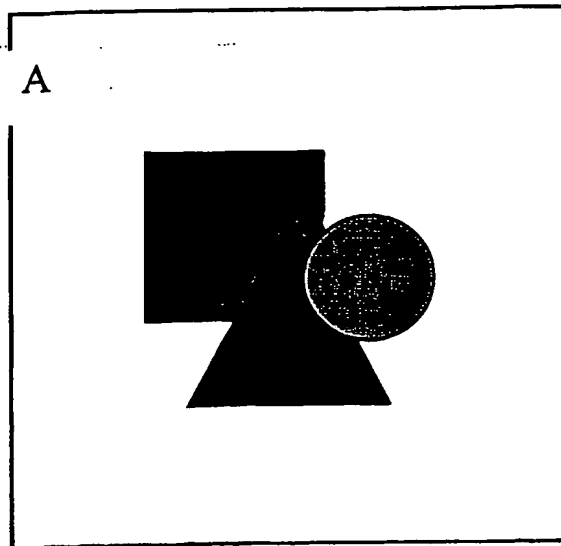
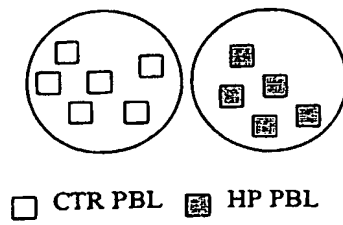


Figure 11



B



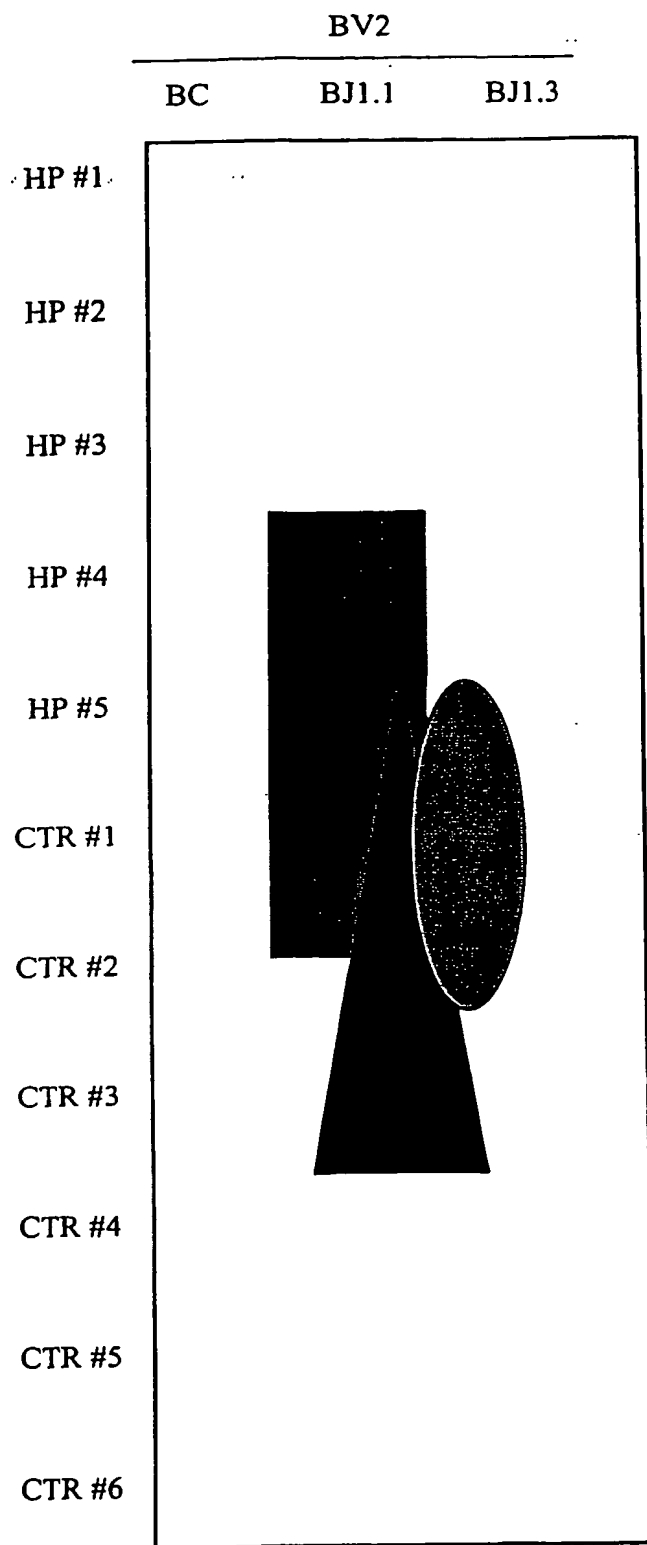


Figure 12

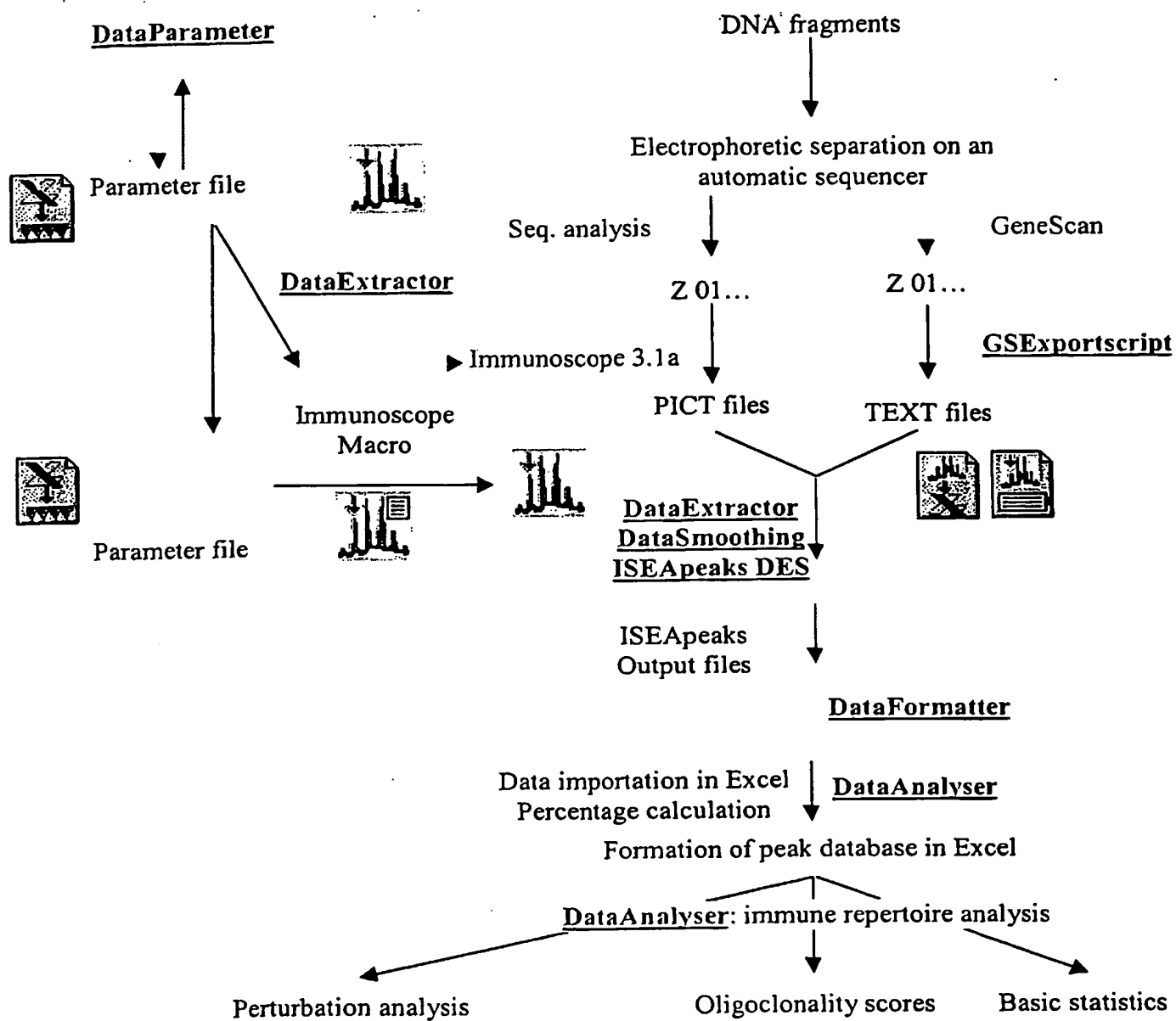


Figure 13



Figure 14:

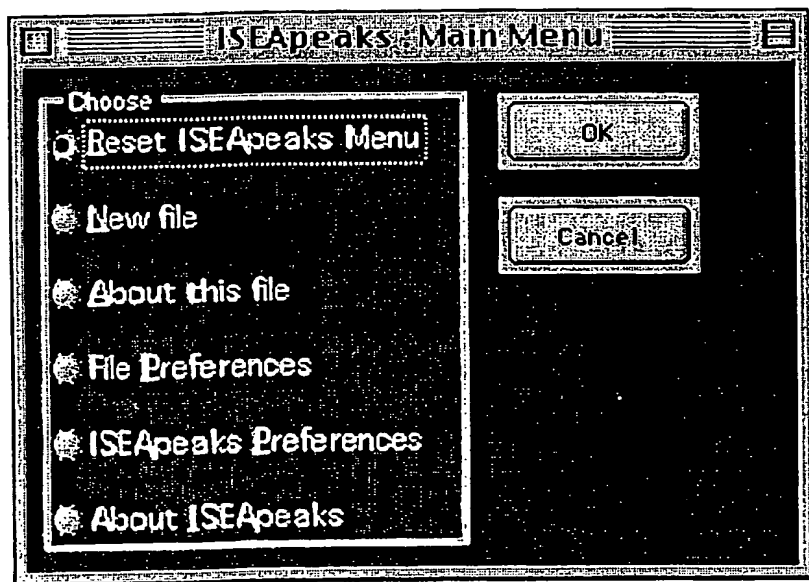


Figure 15:

CPICPLACES preferences

kMaxCoINb 12

kMaxLinNb 16

OK Reset Cancel

General preferences

Screen updating ☒ On ☐ Off

kMaxPeakNb 24

kGelWellNb 36

kProfileNbPerRep 24

ISEApeaks XL Preferences

Figure 16.

27	Well	1	2	3	4	5
28	mIsConsidered	1	1	1	1	1
29	mDescription	Yb08.1-Jb1.3	Yb08.1-Jb2.7	Yb08.1-Jb2.3	Yb08.1-Jb1.6	Yb08.1-Jb2.4
30	mTheoricLength	188	205	188	202	188
31	mNewOrder	27	36	33	30	34
32						
33						
34	Well	13	14	15	16	17
35	mIsConsidered	1	1	1	1	1
36	mDescription	Yb2.3-Jb1.4	Yb2.3-Jb1.4	Yb2.3-Jb1.4	Yb2.3-Jb1.4	Yb2.3-Jb1.4
37	mTheoricLength	104	121	104	118	104
38	mNewOrder	15	24	21	18	22
39						
40	Well	25	26	27	28	29
41	mIsConsidered	1	1	1	1	1
42	mDescription	Yb14-Jb1.3	Yb14-Jb2.7	Yb14-Jb2.3	Yb14-Jb1.6	Yb14-Jb2.4
43	mTheoricLength	115	132	115	129	115
44	mNewOrder	51	60	57	54	58
45						
46						SECOND LOAD
47	Well	1	2	3	4	5
48	mIsConsidered	1	1	1	1	1
49	mDescription	Yb06-Jb1.3	Yb06-Jb2.7	Yb06-Jb2.3	Yb06-Jb1.6	Yb06-Jb2.4
50	mTheoricLength	103	120	103	117	103
51	mNewOrder	3	12	9	6	10
52						
53	Well	13	14	15	16	17
54	mIsConsidered	1	1	1	1	1
55	mDescription	Yb09-Jb1.3	Yb09-Jb2.7	Yb09-Jb2.3	Yb09-Jb1.6	Yb09-Jb2.4
56						
57						
58						
59						
60						
61						
62						
63						
64						
65						
66						
67						
68						
69						
70						
71						
72						
73						
74						
75						
76						
77						
78						
79						
80						
81						
82						
83						
84						
85						
86						
87						
88						
89						
90						
91						
92						
93						
94						
95						
96						
97						
98						
99						
100						
101						
102						
103						
104						
105						
106						
107						
108						
109						
110						
111						
112						
113						
114						
115						
116						
117						
118						
119						
120						
121						
122						
123						
124						
125						
126						
127						
128						
129						
130						
131						
132						
133						
134						
135						
136						
137						
138						
139						
140						
141						
142						
143						
144						
145						
146						
147						
148						
149						
150						
151						
152						
153						
154						
155						
156						
157						
158						
159						
160						
161						
162						
163						
164						
165						
166						
167						
168						
169						
170						
171						
172						
173						
174						
175						
176						
177						
178						
179						
180						
181						
182						
183						
184						
185						
186						
187						
188						
189						
190						
191						
192						
193						
194						
195						
196						
197						
198						
199						
200						
201						
202						
203						
204						
205						
206						
207						
208						
209						
210						
211						
212						
213						
214						
215						
216						
217						
218						
219						
220						
221						
222						
223						
224						
225						
226						
227						
228						
229						
230						
231						
232						
233						
234						
235						
236						
237						
238						
239						
240						
241						
242						
243						
244						
245						
246						
247						
248						
249						
250						
251						
252						
253						
254						
255						
256						
257						
258						
259						
260						
261						
262						
263						
264						
265						
266						
267						
268						
269						
270						
271						
272						
273						
274						
275						
276						
277						
278						
279						
280						
281						
282						
283						
284						
285						
286						
287						
288						
289						
290						
291						
292						
293						
294						
295						
296						
297						
298						
299						
300						
301						
302						
303						
304						
305						
306						
307						
308						
309						
310						
311						
312						
313						
314						
315						
316						
317						
318						
319						
320						
321						
322						
323						
324						
325						
326						
327						
328						
329						
330						
331						
332						
333						
334						

39		Gel002		Gel010		ISE Peaks menu bar	
40	mCGELFileName	m3SET v2.0	Yb6,9,8.1,8.2,14,8.3-Jb v2		Choose File Type: DataFormatter Choose Macro: ImportDat		
41	mSet	1	1				
42	mWellsNbPerSet	24	72				
43	mDescription	TCRBY08.1	Yb08.1-Jb1.5		Yb08.1-Jb2.2 NONE		
		61		62		63 64	
NewCGEL NewCPictPlaces							
50	misConsidered	1	1		1 0		
51	mFolderName	Gel004	Gel009		Gel009 NONE		
52	mCGELFileName	m3SET v2.0	Yb6,9,8.1,8.2,14,8.3-Jb v2.0		Yb6,9,8.1,8.2,14,8.3-Jb v2.0 NONE		
53	mSet	2	1		1 1		
54	mWellsNbPerSet	24	72		72 72		
55	mDescription	TCRBY08.1	Yb08.1-Jb1.5		Yb08.1-Jb2.2 NONE		
		49		50		51 52	
56	misConsidered	1	1		1 0		
57	mFolderName	Gel004	Gel008		Gel008 NONE		
58	mCGELFileName	m3SET v2.0	Yb6,9,8.1,8.2,14,8.3-Jb v2.0		Yb6,9,8.1,8.2,14,8.3-Jb v2.0 NONE		
59	mSet	1	1		1 1		
60	mWellsNbPerSet	24	72		72 72		
61	mDescription	TCRBY08.1	Yb08.1-Jb1.5		Yb08.1-Jb2.2 NONE		
		37		38		39 40	
62	misConsidered	1	1		1 0		
63	mFolderName	Gel003	Gel007		Gel007 NONE		
64	mCGELFileName	m3SET v2.0	Yb6,9,8.1,8.2,14,8.3-Jb v2.0		Yb6,9,8.1,8.2,14,8.3-Jb v2.0 NONE		
65	mSet	3	1		1 1		
66	mWellsNbPerSet	24	72		72 72		
67	mDescription	TCRBY08.1	Yb08.1-Jb1.5		Yb08.1-Jb2.2 NONE		
		25		26		27 28	
68	misConsidered	1	1		1 0		
69	mFolderName	Gel002	Gel006		Gel006 NONE		
70	mCGELFileName	m3SET v2.0	Yb6,9,8.1,8.2,14,8.3-Jb v2.0		Yb6,9,8.1,8.2,14,8.3-Jb v2.0 NONE		
71	mSet	3	1		1 1		
72	mWellsNbPerSet	24	72		72 72		
73	mDescription	TCRBY08.1	Yb08.1-Jb1.5		Yb08.1-Jb2.2 NONE		
DP 2.0.xls							
mDestFolderName = Output							
mMaxColNb = 12							
mMaxLinNb = 16							

Figure18:

[illegible]

Figure19:

6	6	DF 2.0 Gel011	Data.3	1	1.2	mice 1.2	30	
7	7	DF 2.0 Gel012	Data.3	1	1.3	mice 1.3	50	
8	8	DF 2.0 Gel013	Data.3	1	1.4	mice 1.4	100	
9	9	DF 2.0 Gel014	Data.3	1	1.5	mice 1.5		
para / Peaks / NewGorochov / NewRepArray / NewDechant / NewOligoclonalScore								
DA 2.0 lex								
Parameters of file to use								
		Workbook	Sheet	Group	Nature	Remark	DrawArray parameters	
							when c	color
1	1	DF 2.0 Gel006	Data.3	2	2.1	mice 2.1	excluded	
2	2	DF 2.0 Gel007	Data.3	2	2.2	mice 2.2	5	
3	3	DF 2.0 Gel008	Data.3	2	2.3	mice 2.3	10	
4	4	DF 2.0 Gel009	Data.3	2	2.4	mice 2.4	20	
5	5	DF 2.0 Gel010	Data.3	1	1.1	mice 1.1	25	

Figure 20:

31	Vb08.1-Jb1.5	5	175	190	length failed	0,00	length failed	0,00	length failed	0,00
32	Vb08.1-Jb1.5	7	181	190	181	8,13	181	9,23	181	7,73
33	Vb08.1-Jb1.5	8	184	190	184	31,61	184	32,96	184	49,39
34	Vb08.1-Jb1.5	9	187	190	187	28,80	187	42,12	187	33,11
35	Vb08.1-Jb1.5	10	190	190	190	24,01	190	15,69	190	9,77
36	Vb08.1-Jb1.5	11	193	190	193	7,44	length failed	0,00	length failed	0,00
para / Peaks / NewGorochov / NewRepArray / NewDechant / NewOligoclonalScore										
22	Vb08.1-Jb1.3	11	191	188	191	10,83	191	15,18	191	10,60
23	Vb08.1-Jb1.3	12	194	188	length failed	0,00	length failed	0,00	length failed	0,00
24	Vb08.1-Jb1.3	14	200	188	length failed	0,00	200	4,41	length failed	0,00
25	Vb08.1-Jb1.4	7	188	197	188	5,08	188	7,97	188	8,42
26	Vb08.1-Jb1.4	8	191	197	191	12,21	191	17,04	191	8,44
27	Vb08.1-Jb1.4	9	194	197	194	29,67	194	31,29	194	34,29
28	Vb08.1-Jb1.4	10	197	197	197	30,89	197	34,35	197	35,09
29	Vb08.1-Jb1.4	11	200	197	200	14,28	200	9,35	200	13,75
30	Vb08.1-Jb1.2	8	190	196	190	34,78	190	30,53	190	46,50
31	Vb08.1-Jb1.2	9	193	196	193	29,65	193	34,37	193	33,93
32	Vb08.1-Jb1.2	10	196	196	196	17,35	196	21,79	196	9,61
33	Vb08.1-Jb1.2	11	199	196	length failed	0,00	199	4,99	length failed	0,00
34	Vb08.1-Jb1.3	5	173	188	length failed	0,00	length failed	0,00	length failed	0,00
35	Vb08.1-Jb1.3	7	179	188	179	8,40	179	5,64	length failed	0,00
36	Vb08.1-Jb1.3	8	182	188	182	25,42	182	12,34	182	25,25
37	Vb08.1-Jb1.3	9	185	188	185	31,42	185	33,87	185	40,10
38	Vb08.1-Jb1.3	10	188	188	188	28,34	188	28,56	188	28,05
39	Vb08.1-Jb1.1	7	191	200	191	16,31	191	13,25	191	15,04
40	Vb08.1-Jb1.1	8	194	200	194	28,26	194	28,49	194	27,58
41	Vb08.1-Jb1.1	9	197	200	197	30,26	197	34,75	197	32,28
42	Vb08.1-Jb1.1	10	200	200	200	13,73	200	10,47	200	13,37
43	Vb08.1-Jb1.1	11	203	200	203	4,90	203	6,27	203	3,24
44	Vb08.1-Jb1.2	5	181	196	length failed	0,00	length failed	0,00	length failed	0,00
45	Vb08.1-Jb1.2	6	184	196	184	5,36	length failed	0,00	184	4,20
46	Vb08.1-Jb1.2	7	187	196	187	12,85	187	8,33	187	5,76
DA 2.0 ex										
mDescription CDR3 (aa) Length (aa) CDR3 10 aa										
2					Length	%	Length	%	Length	%
3	Vb08.1-Jb1.1	5	185	200	length failed	0,00	length failed	0,00	length failed	0,00

Figure 21:

20	Vb08.1-Jb1.5	21802	18174	70107	91572	15359	54481	18056	22855	98859
21	Vb08.1-Jb1.6	12185	6567	29306	31277	7754	32974	10283	14622	28401
22	Vb08.1-Jb2.1	54850	75547	177878	268231	30660	147812	79788	174998	274977
23	Vb08.1-Jb2.2	30917	28358	78625	157702	15884	34825	39808	85689	180862
24	Vb08.1-Jb2.3	48970	21081	124696	210396	19807	59996	18150	71517	287295
25	Vb08.1-Jb2.4	55571	38987	125304	230803	30422	141434	29346	72069	194977
26	Vb08.1-Jb2.5	40354	44418	144331	203621	28853	137020	42234	68872	124007
27	Vb08.1-Jb2.7	55382	55310	127157	252387	39974	89281	38982	82712	354859
28										
<div> <div>para. / Peaks</div> <div>NewPercentImport</div> <div>NewGorochov</div> <div>NewRepArray</div> <div>N</div> </div>										
10	Vb08.1-Jb2.3	10,98	4,81	9,63	9,27	6,71	5,41	5,14	8,05	13,52
11	Vb08.1-Jb2.4	12,46	8,90	9,68	10,17	10,31	12,75	8,32	8,11	9,17
12	Vb08.1-Jb2.5	9,05	10,14	11,15	8,97	9,78	12,35	11,97	7,75	5,84
13	Vb08.1-Jb2.7	12,42	12,62	9,82	11,12	13,55	8,05	11,05	9,31	16,70
14										
15		2,1	2,2	2,3	2,4	1,1	1,2	1,3	1,4	1,5
16	Vb08.1-Jb1.1	39144	39387	145864	249425	36087	119154	16663	156203	285994
17	Vb08.1-Jb1.2	33165	37208	102266	225983	48280	134508	28366	66293	112294
18	Vb08.1-Jb1.3	18002	26363	60653	108024	5593	68404	excluded	45164	30231
19	Vb08.1-Jb1.4	35641	46797	108585	240973	16392	89268	31214	27163	152436
20										
21										
22										
23										
24										
25										
26										
27										
28										
29										
30										
31										
32										
33										
34										
35										
36										
37										
38										
39										
40										
41										
42										
43										
44										
45										
46										
47										
48										
49										
50										
51										
52										
53										
54										
55										
56										
57										
58										
59										
60										
61										
62										
63										
64										
65										
66										
67										
68										
69										
70										
71										
72										
73										
74										
75										
76										
77										
78										
79										
80										
81										
82										
83										
84										
85										
86										
87										
88										
89										
90										
91										
92										
93										
94										
95										
96										
97										
98										
99										
100										

DA.2.0.ex

Figure 22:

24	Vb08.1-Jb1.2	184	3,39	1,97	-3,39	0,81	0,62
25	Vb08.1-Jb1.2	187	9,51	3,34	-1,19	-3,75	1,60
26	Vb08.1-Jb1.2	190	34,15	0,63	-3,62	12,35	-9,36
27	Vb08.1-Jb1.2	193	35,33	-5,67	-0,96	-1,40	8,03
28	Vb08.1-Jb1.2	196	16,37	0,99	5,42	-6,76	0,35
29	Vb08.1-Jb1.2	199	1,25	-1,25	3,74	-1,25	-1,25
30	Vb08.1-Jb1.3	173	0,00	0,00	0,00	0,00	0,00
31	Vb08.1-Jb1.3	179	4,60	3,80	1,04	-4,60	-0,25
32	Vb08.1-Jb1.3	182	19,36	6,06	-7,02	5,89	-4,93
<div> <div> <div>para</div> <div>Peaks</div> <div>NewPercentImport</div> <div>NewGorochov</div> <div>NewRepArray</div> <div>Ne</div> </div> <div> <div>14</div> <div>7,69</div> <div>7,56</div> <div>9,44</div> <div>9,12</div> <div>40,49</div> <div>34</div> </div> </div>							
15	mDescription	Length	Pc (Control)	2.1	2.2	2.3	2.4
16	Vb08.1-Jb1.1	185	0,00	0,00	0,00	0,00	0,00
17	Vb08.1-Jb1.1	188	6,53	0,01	0,24	1,96	-2,21
18	Vb08.1-Jb1.1	191	14,91	1,40	-1,66	0,13	0,13
19	Vb08.1-Jb1.1	194	26,97	1,30	1,53	0,61	-3,44
20	Vb08.1-Jb1.1	197	32,46	-2,20	2,29	-0,18	0,10
21	Vb08.1-Jb1.1	200	14,50	-0,77	-4,04	-1,13	5,94
22	Vb08.1-Jb1.1	203	4,63	0,27	1,64	-1,39	-0,52
23	Vb08.1-Jb1.2	181	0,00	0,00	0,00	0,00	0,00
3	Vb08.1-Jb1.3	10,66	8,99	11,06	12,30	38,21	49,68
4	Vb08.1-Jb2.2	11,69	7,19	12,92	10,55	40,74	55,34
5	Vb08.1-Jb1.6	6,54	9,24	12,42	11,68	41,39	42,13
6	Vb08.1-Jb1.1	2,97	5,69	2,70	6,17	43,18	40,58
7	Vb08.1-Jb2.4	6,66	11,63	12,88	7,54	53,23	36,98
8	Vb08.1-Jb2.7	3,29	4,40	4,48	6,20	19,62	34,11
9	Vb08.1-Jb2.1	6,94	7,17	5,74	7,94	36,47	31,97
10	Vb08.1-Jb1.2	6,92	9,16	13,16	10,61	54,92	13,03
11	Vb08.1-Jb2.3	7,21	6,37	10,14	6,48	32,73	25,06
12	Vb08.1-Jb1.4	6,63	7,13	6,98	7,46	35,95	14,53
13	Vb08.1-Jb2.5	9,46	9,34	5,78	9,18	27,10	25,04
DA 2.0 ex							
<div> <div>A</div> <div>B</div> <div>C</div> <div>D</div> <div>E</div> <div>F</div> <div>G</div> </div> <div> <div>1</div> <div>2.1</div> <div>2.2</div> <div>2.3</div> <div>2.4</div> <div>1.1</div> <div>1.2</div> </div>							
1		2.1	2.2	2.3	2.4	1.1	1.2
2	Vb08.1-Jb1.5	13,25	4,44	15,07	13,32	62,32	42,58

Figure 23.

25	Yb08.1-Jb1.2	5	181	0,00	0,00	0,00	0,00
26	Yb08.1-Jb1.2	6	184	0,28	0,01	0,08	0,00
27	Yb08.1-Jb1.2	7	187	0,81	0,02	0,01	0,12
28	Yb08.1-Jb1.2	8	190	2,83	0,06	0,06	0,71
29	Yb08.1-Jb1.2	9	193	3,03	0,68	0,01	0,12
30	Yb08.1-Jb1.2	10	196	1,39	0,01	0,21	0,40
31	Yb08.1-Jb1.2	11	199	0,11	0,01	0,10	0,01
32	Yb08.1-Jb1.3	5	173	0,00	0,00	0,00	0,00
New Percent Import / New Gorochov / New Dechanet / New RepA							
15							
16							
17	mDescription	CDR3 (aa)	PCR length (Pc (Control))	2,1	2,2	2,3	
18	Yb08.1-Jb1.1	5	185	0,00	0,00	0,00	0,00
19	Yb08.1-Jb1.1	6	188	0,65	0,01	0,00	0,09
20	Yb08.1-Jb1.1	7	191	1,49	0,00	0,09	0,04
21	Yb08.1-Jb1.1	8	194	2,68	0,04	0,01	0,18
22	Yb08.1-Jb1.1	9	197	3,25	0,35	0,02	0,15
23	Yb08.1-Jb1.1	10	200	1,47	0,07	0,28	0,00
24	Yb08.1-Jb1.1	11	203	0,45	0,00	0,01	0,01
25	Yb08.1-Jb1.3	0,62	0,72	0,45	0,55	1,67	3,78
26	Yb08.1-Jb1.4	1,06	0,98	0,65	0,88	2,31	1,13
27	Yb08.1-Jb1.5	0,60	0,30	1,07	0,74	3,96	2,58
28	Yb08.1-Jb1.6	0,35	0,25	0,31	0,36	1,10	1,22
29	Yb08.1-Jb2.1	1,25	2,08	0,67	1,24	4,13	4,81
30	Yb08.1-Jb2.2	0,72	0,38	0,59	0,63	2,07	2,19
31	Yb08.1-Jb2.3	1,46	1,93	0,95	0,74	2,62	2,39
32	Yb08.1-Jb2.4	1,20	1,34	0,97	0,59	6,17	4,18
33	Yb08.1-Jb2.5	1,00	1,09	0,86	0,87	2,82	3,41
34	Yb08.1-Jb2.7	0,58	0,55	0,72	0,65	2,78	2,80
DA 2.0.ex							
1	A	B	C	D	E	F	G
2	Dechanet scores	2,1	2,2	2,3	2,4	1,1	1,2
3	Sample	3,20	3,74	2,76	2,92	14,41	11,07
4	Yb08.1-Jb1.1	0,69	0,65	0,69	0,88	4,94	4,81
5	Yb08.1-Jb1.2	0,89	0,69	1,17	1,41	6,72	2,25

Figure 24:

25	Vb08.1-Jb1.4	8	191	13.46	0.91	1.27	0.63	1.20	0.00	0.69	1.24
26	Vb08.1-Jb1.4	9	194	32.25	0.92	0.97	1.06	1.05	2.04	1.40	1.10
27	Vb08.1-Jb1.4	10	197	31.80	0.97	1.08	1.10	0.84	1.07	1.05	1.24
28	Vb08.1-Jb1.4	11	200	13.55	1.05	0.69	1.01	1.24	0.00	0.89	0.62
29	Vb08.1-Jb1.4	12	203	1.97	4.00	0.00	0.00	0.00	0.00	0.00	0.00
30	Vb08.1-Jb1.5	5	175	0.00	∞	∞	∞	∞	∞	∞	∞
31	Vb08.1-Jb1.5	7	181	9.80	0.83	0.94	0.79	1.44	0.00	1.10	0.00
32	Vb08.1-Jb1.5	8	184	34.32	0.92	0.96	1.44	0.68	0.00	0.29	0.61
NewDechant New RIS NewOligoclonalScore NewRepArray											
15	Vb08.1-Jb1.2	11	199	1.25	0.00	4.00	0.00	0.00	0.00	0.00	0.00
16	Vb08.1-Jb1.3	5	173	0.00	∞	∞	∞	∞	∞	∞	excluded
17	Vb08.1-Jb1.3	7	179	4.60	1.83	1.23	0.00	0.95	0.00	0.00	excluded
18	Vb08.1-Jb1.3	8	182	19.36	1.31	0.64	1.30	0.75	0.00	0.75	excluded
19	Vb08.1-Jb1.3	9	185	35.83	0.88	0.95	1.12	1.06	0.71	2.39	excluded
20	Vb08.1-Jb1.3	10	188	23.14	1.03	1.23	1.04	0.69	2.19	0.00	excluded
21	Vb08.1-Jb1.3	11	191	14.24	0.76	1.07	0.74	1.43	0.93	0.00	excluded
22	Vb08.1-Jb1.3	12	194	0.00	∞	∞	∞	∞	∞	∞	excluded
23	Vb08.1-Jb1.3	14	200	2.83	0.00	1.56	0.00	2.44	0.00	0.00	excluded
24	Vb08.1-Jb1.4	7	188	6.98	0.73	1.14	1.21	0.92	0.00	0.00	0.00
5	Vb08.1-Jb1.1	8	194	26.97	1.05	1.06	1.02	0.87	1.65	1.05	0.76
6	Vb08.1-Jb1.1	9	197	32.46	0.93	1.07	0.99	1.00	0.46	0.80	1.62
7	Vb08.1-Jb1.1	10	200	14.50	0.95	0.72	0.92	1.41	0.00	0.00	0.63
8	Vb08.1-Jb1.1	11	203	4.63	1.06	1.35	0.70	0.89	0.00	0.00	0.00
9	Vb08.1-Jb1.2	5	181	0.00	∞	∞	∞	∞	∞	∞	∞
10	Vb08.1-Jb1.2	6	184	3.39	1.58	0.00	1.24	1.18	15.71	0.00	0.00
11	Vb08.1-Jb1.2	7	187	9.51	1.35	0.88	0.61	1.17	1.52	0.73	0.70
12	Vb08.1-Jb1.2	8	190	34.15	1.02	0.89	1.36	0.73	0.39	1.03	0.63
13	Vb08.1-Jb1.2	9	193	35.33	0.84	0.97	0.96	1.23	0.53	0.84	0.92
14	Vb08.1-Jb1.2	10	196	16.37	1.06	1.33	0.59	1.02	0.00	1.47	2.40
DA 2.0 ex											
A B C D E F G H I J K											
mDescription	CDR3 (aa)	Length (nt)	Pc (Control)	2.1	2.2	2.3	2.4	1.1	1.2	1.3	
2	Vb08.1-Jb1.1	5	185	0.00	∞	∞	∞	∞	∞	∞	∞
3	Vb08.1-Jb1.1	6	188	6.53	1.00	1.04	1.30	0.66	0.00	7.01	0.00
4	Vb08.1-Jb1.1	7	191	14.91	1.09	0.89	1.01	1.01	2.71	0.00	1.20

Figure 25:

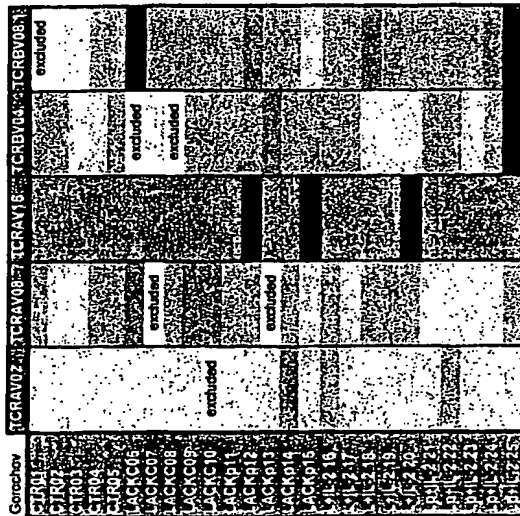
24	Vb08.1-Jb1.6	11	205	0.04	0.05	0.09	0.04	0.11	1.86	3.56	0.20	0.26	0.52	0.05	5	4
25	Vb08.1-Jb1.6	10	202	0.07	0.05	0.21	0.04	0.09	2.24	0.63	0.19	0.63	0.43	0.07	5	4
26	Vb08.1-Jb1.1	9	197	0.08	0.09	0.08	0.08	0.74	1.29	0.96	0.06	0.04	0.29	0.08	5	4
27	Vb08.1-Jb1.1	8	194	0.07	0.07	0.07	0.06	2.22	1.41	0.37	0.05	0.03	0.28	0.07	5	4
28	Vb08.1-Jb2.5	9	185	0.09	0.20	0.09	0.31	0.55	0.15	0.84	0.26	0.08	0.27	0.15	5	4
29	Vb08.1-Jb1.2	9	193	0.20	0.23	0.23	0.29	0.34	0.20	0.59	0.29	0.13	0.27	0.24	5	4
K11111/NoDecham/NoVRS/NoOligoclonalScore/NoRepArray/																
30	mDescription	COR3 (aa)	Length	2.10	2.20	2.50	2.40	1.10	1.20	1.30	0.40	1.50	Score 1	Score 2	Nb 1	Nb 2
31	Vb08.1-Jb2.2	10	205	0.03	0.07	0.57	0.02	4.75	11.41	8.88	2.00	0.79	3.77	0.07	5	4
32	Vb08.1-Jb1.5	9	187	0.19	0.77	0.61	0.86	36.79	3.95	10.70	1.34	0.08	2.76	0.53	5	4
33	Vb08.1-Jb2.2	9	202	0.02	0.07	0.67	0.03	8.78	2.12	4.65	2.05	0.65	2.59	0.07	5	4
34	Vb08.1-Jb1.3	9	185	0.21	0.08	0.73	0.09	0.47	11.57	excluded	0.74	1.19	1.48	0.19	4	4
35	Vb08.1-Jb1.4	9	194	0.07	0.21	0.23	0.23	8.92	0.82	0.65	0.67	0.79	1.20	0.17	5	4
36	Vb08.1-Jb1.4	10	197	0.08	0.23	0.24	0.18	4.62	0.61	0.72	0.46	0.56	0.88	0.17	5	4
37	Vb08.1-Jb1.6	9	199	0.06	0.09	0.23	0.06	0.92	0.89	0.79	0.10	0.70	0.54	0.09	5	4
38	Vb08.1-Jb2.2	7	6	4	7	2	2	2	3	4						
39	Vb08.1-Jb2.3	5	6	5	5	4	6	5	5	5						
40	Vb08.1-Jb2.4	6	7	5	5	3	7	6	5	6						
41	Vb08.1-Jb2.5	6	5	6	5	4	5	4	5	6						
42	Vb08.1-Jb2.7	6	7	6	6	5	6	6	5	6						
DA 2.0 ex																
43	SCORE															
44	Peak numbers	2.1	2.2	2.5	2.4	0.1	0.2	0.5	0.4	0.5						
45	Vb08.1-Jb1.1	6	6	6	6	3	3	4	6	7						
46	Vb08.1-Jb1.2	5	5	5	5	4	5	4	5	5						
47	Vb08.1-Jb1.3	5	6	4	6	4	2	excluded	4	3						
48	Vb08.1-Jb1.4	6	5	5	5	2	4	4	4	4						
49	Vb08.1-Jb1.5	5	4	4	4	1	3	2	3	6						
50	Vb08.1-Jb1.6	6	6	5	6	4	3	3	5	4						
51	Vb08.1-Jb2.1	4	6	6	6	5	4	5	5	4						
DA 2.0 ex																

Figure 26:

30	2.1															
31	1.5															
32																
33																
34																
K11111/NoDecham/NoVRS/NoOligoclonalScore/NoRepArray/																
35	Vb08.1-Jb1.1	Vb08.1-Jb1.2	Vb08.1-Jb1.3	Vb08.1-Jb1.4	Vb08.1-Jb1.5	Vb08.1-Jb1.6	Vb08.1-Jb2.1	Vb08.1-Jb2.2	Vb08.1-Jb2.3	Vb08.1-Jb2.4	Vb08.1-Jb2.5	Vb08.1-Jb2.6	Vb08.1-Jb2.7	Vb08.1-Jb2.8	Vb08.1-Jb2.9	Vb08.1-Jb2.10
36	2.1															
37	2.2															
38	2.3															
39	2.4															
40	1.1															
41	1.2															
DA 2.0 ex																

Figure 27:

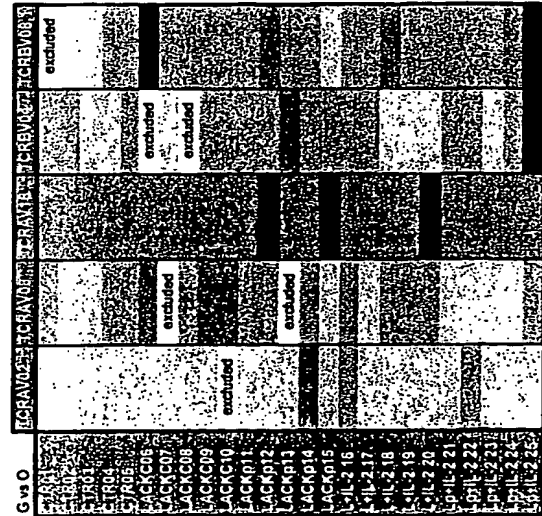
Représentation de la perturbation globale



Gonocohv	TCRAV02	TCRAV08	TCRAV15	TCRBV04	TCRBV05
CTR01	1.64	5.17	16.38	7.82	enclured
CTR02	0.63	3.77	19.38	5.23	2.82
CTR03	2.02	2.32	11.74	4.74	3.22
CTR04	2.81	7.01	11.51	2.80	5.55
CTR05	0.82	7.29	11.99	5.03	7.24
LACAC06	2.44	14.70	17.39	enclured	43.90
LACAC07	2.23	enclured	17.82	4.25	8.94
LACAC08	2.12	7.71	18.51	enclured	5.66
LACAC09	0.78	11.32	18.32	6.00	5.46
LACAC10	enclured	11.36	15.27	5.60	9.13
LACAC11	2.15	8.99	16.37	8.01	5.81
LACAC12	2.34	9.68	20.34	6.97	10.19
LACAC13	4.27	enclured	16.72	12.33	9.34
LACAC14	10.36	7.12	16.83	6.22	6.59
LACAC15	2.78	3.09	20.18	8.52	3.89
LACAC16	5.17	6.09	18.78	5.63	8.77
LACAC17	4.51	2.94	16.81	8.25	8.94
LACAC18	2.28	5.81	19.72	4.14	10.65
LACAC19	2.52	9.82	18.48	4.79	6.56
LACAC20	4.53	7.69	20.02	4.76	6.80
LACAC21	2.55	4.89	19.57	5.47	8.78
LACAC22	5.50	4.15	14.00	6.33	7.12
LACAC23	2.33	3.19	18.08	4.43	9.80
LACAC24	3.27	4.84	20.00	7.23	10.53
LACAC25	4.83	5.70	19.00	36.51	35.78

DrawArray parameters	When excluded
5	excluded
10	excluded
20	excluded
25	excluded
30	excluded
50	excluded
100	excluded

Représentation de la perturbation globale versus l'oligoclonalité



Gva O	TCRAV02	TCRAV03	TCRAV04	TCRAV05	TCRAV06	TCRAV07	TCRAV08	TCRAV09	TCRAV10	TCRAV11	TCRAV12	TCRAV13	TCRAV14	TCRAV15	TCRAV16	TCRAV17	TCRAV18	TCRAV19	TCRAV20	TCRAV21	TCRAV22	TCRAV23	TCRAV24	TCRAV25	
CTR01	1.94	5.17	16.38	7.82	5.23	2.82	5.17	16.38	7.82	5.23	2.82	5.17	16.38	7.82	5.23	2.82	5.17	16.38	7.82	5.23	2.82	5.17	16.38	7.82	5.23
CTR02	0.63	3.77	19.38	5.23	2.82	5.17	16.38	7.82	5.23	2.82	5.17	16.38	7.82	5.23	2.82	5.17	16.38	7.82	5.23	2.82	5.17	16.38	7.82	5.23	
CTR03	2.02	2.32	11.74	4.74	3.22	5.55	2.02	2.32	11.74	4.74	3.22	5.55	2.02	2.32	11.74	4.74	3.22	5.55	2.02	2.32	11.74	4.74	3.22	5.55	
CTR04	2.81	7.01	11.51	2.80	5.55	2.81	7.01	11.51	2.80	5.55	2.81	7.01	11.51	2.80	5.55	2.81	7.01	11.51	2.80	5.55	2.81	7.01	11.51	2.80	5.55
CTR05	0.82	7.29	11.99	5.03	7.24	0.82	7.29	11.99	5.03	7.24	0.82	7.29	11.99	5.03	7.24	0.82	7.29	11.99	5.03	7.24	0.82	7.29	11.99	5.03	7.24
CTR06	2.44	14.70	17.39	excluded	43.90	2.44	14.70	17.39	excluded	43.90	2.44	14.70	17.39	excluded	43.90	2.44	14.70	17.39	excluded	43.90	2.44	14.70	17.39	excluded	43.90
CTR07	2.23	excluded	17.82	4.25	8.94	2.23	excluded	17.82	4.25	8.94	2.23	excluded	17.82	4.25	8.94	2.23	excluded	17.82	4.25	8.94	2.23	excluded	17.82	4.25	8.94
CTR08	2.12	7.71	18.51	excluded	5.66	2.12	7.71	18.51	excluded	5.66	2.12	7.71	18.51	excluded	5.66	2.12	7.71	18.51	excluded	5.66	2.12	7.71	18.51	excluded	5.66
CTR09	0.79	11.32	18.32	8.00	5.46	0.79	11.32	18.32	8.00	5.46	0.79	11.32	18.32	8.00	5.46	0.79	11.32	18.32	8.00	5.46	0.79	11.32	18.32	8.00	5.46
CTR10	excluded	11.38	15.27	5.60	9.13	excluded	11.38	15.27	5.60	9.13	excluded	11.38	15.27	5.60	9.13	excluded	11.38	15.27	5.60	9.13	excluded	11.38	15.27	5.60	9.13
CTR11	2.15	8.99	16.37	9.01	5.81	2.15	8.99	16.37	9.01	5.81	2.15	8.99	16.37	9.01	5.81	2.15	8.99	16.37	9.01	5.81	2.15	8.99	16.37	9.01	5.81
CTR12	2.34	9.68	20.34	6.97	10.19	2.34	9.68	20.34	6.97	10.19	2.34	9.68	20.34	6.97	10.19	2.34	9.68	20.34	6.97	10.19	2.34	9.68	20.34	6.97	10.19
CTR13	4.27	excluded	16.72	12.33	9.34	4.27	excluded	16.72	12.33	9.34	4.27	excluded	16.72	12.33	9.34	4.27	excluded	16.72	12.33	9.34	4.27	excluded	16.72	12.33	9.34
CTR14	10.36	7.12	16.83	8.22	6.59	10.36	7.12	16.83	8.22	6.59	10.36	7.12	16.83	8.22	6.59	10.36	7.12	16.83	8.22	6.59	10.36	7.12	16.83	8.22	6.59
CTR15	2.79	3.09	20.18	8.52	3.89	2.79	3.09	20.18	8.52	3.89	2.79	3.09	20.18	8.52	3.89	2.79	3.09	20.18	8.52	3.89	2.79	3.09	20.18	8.52	3.89
CTR16	5.17	6.09	18.78	5.63	8.77	5.17	6.09	18.78	5.63	8.77	5.17	6.09	18.78	5.63	8.77	5.17	6.09	18.78	5.63	8.77	5.17	6.09	18.78	5.63	8.77
CTR17	4.51	2.94	16.81	8.25	8.94	4.51	2.94	16.81	8.25	8.94	4.51	2.94	16.81	8.25	8.94	4.51	2.94	16.81	8.25	8.94	4.51	2.94	16.81	8.25	8.94
CTR18	2.28	5.91	19.72	4.14	10.65	2.28	5.91	19.72	4.14	10.65	2.28	5.91	19.72	4.14	10.65	2.28	5.91	19.72	4.14	10.65	2.28	5.91	19.72	4.14	10.65
CTR19	2.52	9.62	18.48	4.99	8.58	2.52	9.62	18.48	4.99	8.58	2.52	9.62	18.48	4.99	8.58	2.52	9.62	18.48	4.99	8.58	2.52	9.62	18.48	4.99	8.58
CTR20	4.53	7.69	20.02	4.76	6.80	4.53	7.69	20.02	4.76	6.80	4.53	7.69	20.02	4.76	6.80	4.53	7.69	20.02	4.76	6.80	4.53	7.69	20.02	4.76	6.80
CTR21	2.55	4.89	19.57	5.47	6.78	2.55	4.89	19.57	5.47	6.78	2.55	4.89	19.57	5.47	6.78	2.55	4.89	19.57	5.47	6.78	2.55	4.89	19.57	5.47	6.78
CTR22	5.50	4.15	14.00	6.33	7.12	5.50	4.15	14.00	6.33	7.12	5.50	4.15	14.00	6.33	7.12	5.50	4.15	14.00	6.33	7.12	5.50	4.15	14.00	6.33	7.12
CTR23	2.33	3.19	18.08	4.43	9.80	2.33	3.19	18.08	4.43	9.80	2.33	3.19	18.08	4.43	9.80	2.33	3.19	18.08	4.43	9.80	2.33	3.19	18.08	4.43	9.80
CTR24	3.27	4.84	20.00	7.23	10.53	3.27	4.84	20.00	7.23	10.53	3.27	4.84	20.00	7.23	10.53	3.27	4.84	20.00	7.23	10.53	3.27	4.84	20.00	7.23	10.53
CTR25	4.83	5.70	19.00	36.51	35.78	4.83	5.70	19.00	36.51	35.78	4.83	5.70	19.00	36.51	35.78	4.83	5.70	19.00	36.51	35.78	4.83	5.70	19.00	36.51	35.78

Parameters of file to use

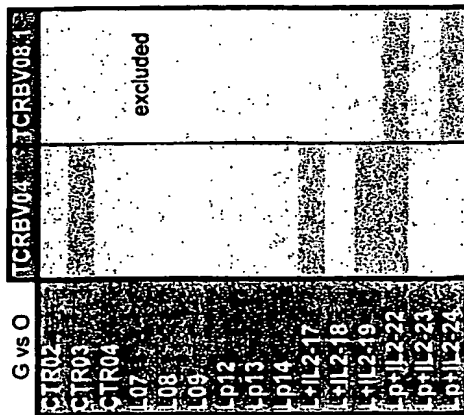
	Workbook	Sheet	Group	Nature	Remarks
1	DF CC/281 AC by EF Delta1	Data.1	1	CTR01	
2	DF CC/281 AC by EF Delta1	Data.2	1	CTR02	
3	DF CC/281 AC by EF Delta1	Data.3	1	CTR03	
4	DF CC/281 AC by EF Delta1	Data.4	1	CTR04	
5	DF CC/281 AC by EF Delta1	Data.5	1	CTR05	
6	DF CC/281 AC by EF Delta1	Data.6	2	LACKC06	
7	DF CC/281 AC by EF Delta1	Data.7	2	LACKC07	
8	DF CC/281 AC by EF Delta1	Data.8	2	LACKC08	
9	DF CC/281 AC by EF Delta1	Data.9	2	LACKC09	
10	DF CC/281 AC by EF Delta1	Data.10	2	LACKC10	
11	DF CC/281 AC by EF Delta1	Data.11	3	LACKp11	
12	DF CC/281 AC by EF Delta1	Data.12	3	LACKp12	
13	DF CC/282 AC by EF Delta1	Data.1	3	LACKp13	
14	DF CC/282 AC by EF Delta1	Data.2	3	LACKp14	
15	DF CC/282 AC by EF Delta1	Data.3	3	LACKp15	
16	DF CC/282 AC by EF Delta1	Data.4	4	L+IL-2 16	
17	DF CC/282 AC by EF Delta1	Data.5	4	L+IL-2 17	
18	DF CC/282 AC by EF Delta1	Data.6	4	L+IL-2 18	
19	DF CC/282 AC by EF Delta1	Data.7	4	L+IL-2 19	
20	DF CC/282 AC by EF Delta1	Data.8	4	L+IL-2 20	
21	DF CC/282 AC by EF Delta1	Data.9	5	Lp+IL-2 21	
22	DF CC/282 AC by EF Delta1	Data.10	5	Lp+IL-2 22	
23	DF CC/282 AC by EF Delta1	Data.11	5	Lp+IL-2 23	
24	DF CC/282 AC by EF Delta1	Data.12	5	Lp+IL-2 24	
25	DF CC/283 AC by EF Delta1	Data.1	5	Lp+IL-2 25	

DrawArray parameters

when <	color
excluded	
5	
10	
20	
25	
30	
50	
100	

Figure 29

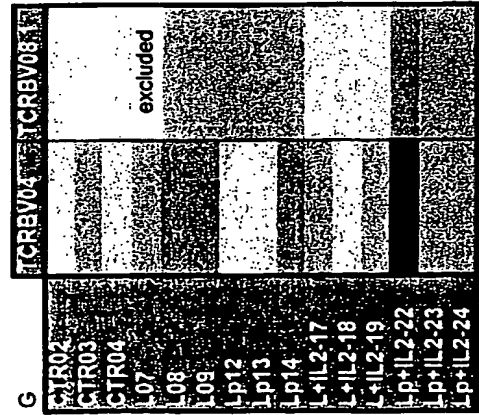
Représentation de la perturbation globale versus l'oligoclonalité



G vs O	TCRBV04	TCRBV08
CTR02	2,65	3,64
CTR03	6,28	1,58
CTR04	5,00	4,08
L07	0,43	excluded
L08	1,28	1,15
L09	1,13	0,79
Lp12	0,87	3,53
Lp13	0,81	2,90
Lp14	2,98	2,79
L+IL2-17	8,38	3,32
L+IL2-18	3,14	3,21
L+IL2-19	5,35	3,13
Lp+IL2-22	9,22	6,56
Lp+IL2-23	2,44	3,64
Lp+IL2-24	2,37	5,07

Figure 30

Représentation de la perturbation globale



G	TCRBV04	TCRBV08
CTR02	2,65	3,64
CTR03	6,28	1,58
CTR04	5,00	4,08
L07	5,10	excluded
L08	15,13	7,88
L09	13,36	5,43
Lp12	3,45	6,47
Lp13	3,20	5,31
Lp14	11,82	5,12
L+IL2-17	8,57	4,82
L+IL2-18	3,22	4,67
L+IL2-19	5,47	4,55
Lp+IL2-22	24,33	10,36
Lp+IL2-23	6,44	5,75
Lp+IL2-24	6,26	8,01

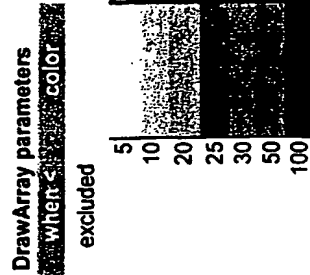


Figure 31

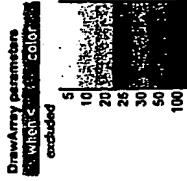
Parameters of file to use

	Workbook	Sheet	Group	Nature	Remark
1	EF/06 DF	Data.1	1	CTR02	CTR02
2	EF/06 DF	Data.2	1	CTR03	CTR03
3	EF/06 DF	Data.3	1	CTR04	CTR04
4	EF/06 DF	Data.4	2	L07	Lack 07
5	EF/06 DF	Data.5	2	L08	Lack 08
6	EF/06 DF	Data.6	2	L09	Lack 09
7	EF/06 DF	Data.7	3	Lp12	Lackp12
8	EF/06 DF	Data.8	3	Lp13	Lackp13
9	EF/06 DF	Data.9	3	Lp14	Lackp14
10	EF/06 DF	Data.10	4	L+IL2-17	Lack+IL2-17
11	EF/06 DF	Data.11	4	L+IL2-18	Lack+IL2-18
12	EF/06 DF	Data.12	4	L+IL2-19	Lack+IL2-19
13	EF/06 DF	Data.13	5	Lp+IL2-22	Lackp+IL2-22
14	EF/06 DF	Data.14	5	Lp+IL2-23	Lackp+IL2-23
15	EF/06 DF	Data.15	5	Lp+IL2-24	Lackp+IL2-24

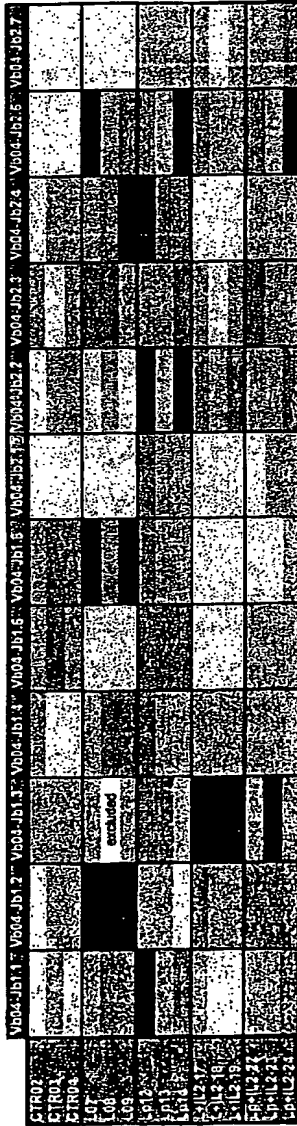
DrawArray parameters

when <	color
excluded	
5	
10	
20	
25	
30	
50	
100	

Figure 32

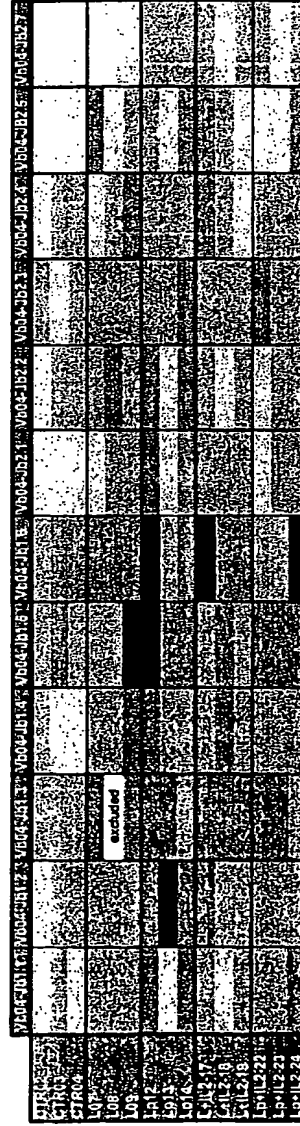


Représentation de la perturbation globale versus l'ellipticité



G vs O	V004-J01.1	V004-J01.2	V004-J01.3	V004-J01.4	V004-J01.5	V004-J01.6	V004-J01.7	V004-J01.8	V004-J01.9	V004-J01.10	V004-J02.1	V004-J02.2	V004-J02.3	V004-J02.4	V004-J02.5	V004-J02.6	V004-J02.7
CT002	3.73	3.35	9.51	5.71	8.98	13.10	12.42	3.57	6.04	4.19	5.10	4.02	2.98	1.99			
CT003	5.05	5.44	7.60	4.39	6.57	13.31	13.31	4.90	7.71	6.04	5.17	5.23	2.85	3.46			
CT004	4.24	5.03	8.97	4.93	6.57	13.31	13.31	4.90	7.71	6.04	5.17	5.23	2.85	3.46			
L07	7.27	22.44	7.35	9.59	1.42	25.67	2.02	4.68	10.05	9.54	17.09	17.09	3.98	4.47			
L08	10.78	30.41	7.35	9.59	1.42	25.67	2.02	4.68	10.05	9.54	17.09	17.09	3.98	4.47			
L09	12.27	27.12	7.48	17.32	3.72	24.45	3.68	7.26	20.58	10.74	3.83	7.12	24.49	14.10	8.91		
L10	22.72	5.57	14.92	10.48	19.41	13.67	17.61	21.67	7.12	24.49	14.10	8.91	21.17	6.38	5.81		
L11	5.10	7.79	17.83	7.33	10.92	5.70	5.83	8.22	8.25	18.99	5.89	5.81	21.17	6.38	5.81		
L12	17.51	4.12	9.09	8.75	15.04	9.98	9.84	21.47	12.15	13.87	21.17	6.38	5.81	21.17	6.38		
L13	5.46	10.20	25.21	5.22	2.38	2.12	1.97	10.36	7.47	3.08	13.90	6.42	4.99	8.47	5.71		
L14	3.48	6.46	24.02	6.45	3.41	1.88	2.05	10.29	6.23	0.89	5.71	8.47	5.71	8.47	5.71		
L15	4.53	6.17	21.31	6.41	2.25	1.88	2.05	10.29	6.23	0.89	5.71	8.47	5.71	8.47	5.71		
L16	6.77	13.78	19.69	7.87	5.14	3.40	2.23	6.07	9.49	6.27	9.20	7.62	6.12	8.12	8.12		
L17	6.85	13.71	23.36	9.87	5.34	3.44	6.07	9.49	6.27	9.20	7.62	6.12	8.12	8.12	8.12		
L18	14.51	14.29	10.52	8.16	5.09	9.33	5.08	14.35	6.81	6.13	26.33	10.35					

Représentation de la perturbation globale



G vs O	V004-J01.1	V004-J01.2	V004-J01.3	V004-J01.4	V004-J01.5	V004-J01.6	V004-J01.7	V004-J01.8	V004-J01.9	V004-J01.10	V004-J02.1	V004-J02.2	V004-J02.3	V004-J02.4	V004-J02.5	V004-J02.6	V004-J02.7
CT002	3.73	3.35	9.51	5.71	8.98	13.10	12.42	3.57	6.04	4.19	5.10	4.02	2.98	1.99			
CT003	5.05	5.44	7.60	4.39	6.57	13.31	13.31	4.90	7.71	6.04	5.17	5.23	2.85	3.46			
CT004	4.24	5.03	8.97	4.93	6.57	13.31	13.31	4.90	7.71	6.04	5.17	5.23	2.85	3.46			
L07	5.30	5.71	11.55	6.52	9.23	20.00	3.98	8.61	7.90	4.83	14.72	4.38	3.51	3.51			
L08	7.88	7.73	7.10	7.88	9.74	12.12	9.53	13.33	8.83	3.72	3.72	3.72	3.72	3.72			
L09	8.95	8.90	11.78	11.78	24.19	19.05	7.74	7.07	5.08	10.42	5.55	9.20	9.44	9.20			
L10	15.89	19.08	10.26	11.05	22.35	22.64	14.00	11.38	8.75	9.20	9.44	9.20	9.44	9.20			
L11	3.97	26.86	12.26	7.75	13.14	9.44	4.63	4.32	7.82	7.13	3.94	6.00	6.59	6.59			
L12	12.24	14.09	6.25	7.13	18.10	16.54	7.68	11.28	11.52	5.21	14.17	10.44	6.03	10.44			
L13	7.54	10.08	11.95	6.84	7.38	20.34	5.32	7.10	9.57	11.98	10.44	6.03	10.44	6.03			
L14	4.81	8.37	11.39	11.07	10.56	17.58	5.98	3.97	5.78	7.22	5.78	4.29	7.95	4.29			
L15	6.28	8.08	10.11	8.41	6.95	10.38	5.14	7.05	7.89	3.46	4.29	7.95	4.29	7.95			
L16	8.07	8.73	11.43	8.91	10.81	7.38	3.14	4.33	11.70	8.65	4.91	6.21	3.58	4.91			
L17	6.13	8.70	14.28	8.67	11.02	7.44	8.96	6.80	8.21	8.21	8.21	8.21	8.21	8.21			
L18	13.00	6.88	6.43	7.17	10.61	20.21	7.17	9.69	6.74	6.14	12.37	7.88					

Parameters of file to use					DrawArray parameters		
	Workbook	Sheet	Group	Nature	Remark	when <	color
1	EF/04 DF	Data.1	1	CTR02	CTR02	excluded	
2	EF/05-07-009b DF	Data.3	1	CTR03	CTR03		
3	EF/01-009b DF	Data.1	1	CTR04	CTR04		
4	EF/02-07 DF	Data.1	2	L07	Lack 07		
5	EF/04 DF	Data.5	2	L08	Lack 08		
6	EF/05-07-009b DF	Data.5	2	L09	Lack 09		
7	EF/04 DF	Data.3	3	Lp12	Lackp12		
8	EF/05-07-009b DF	Data.1	3	Lp13	Lackp13		
9	EF/01-009b DF	Data.5	3	Lp14	Lackp14		
10	EF/03 DF	Data.1	4	L+IL2-17	Lack+IL2-17		
11	EF/03 DF	Data.5	4	L+IL2-18	Lack+IL2-18		
12	EF/02-07 DF	Data.3	4	L+IL2-19	Lack+IL2-19		
13	EF/01-009b DF	Data.3	5	Lp+IL2-22	Lackp+IL2-22		
14	EF/02-07 DF	Data.5	5	Lp+IL2-23	Lackp+IL2-23		
15	EF/03 DF	Data.3	5	Lp+IL2-24	Lackp+IL2-24		

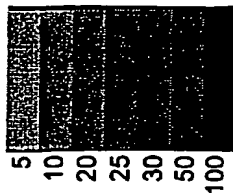


Figure 33

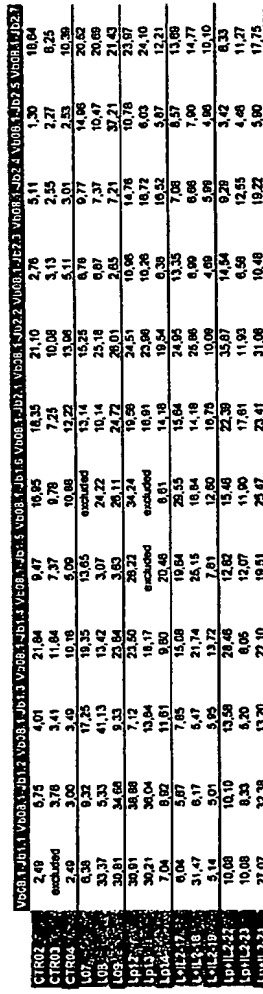


Figure 34

10/519950

Parameters of file to use

	Workbook	Sheet	Group	Nature	Remark
1	EF/04 DF	Data.2	1	CTR02	CTR02
2	EF/05-07-009b DF	Data.4	1	CTR03	CTR03
3	EF/01-009b DF	Data.2	1	CTR04	CTR04
4	EF/02-07 DF	Data.2	2	L07	Lack 07
5	EF/04 DF	Data.6	2	L08	Lack 08
6	EF/05-07-009b DF	Data.6	2	L09	Lack 09
7	EF/04 DF	Data.4	3	Lp12	Lackp12
8	EF/05-07-009b DF	Data.2	3	Lp13	Lackp13
9	EF/01-009b DF	Data.6	3	Lp14	Lackp14
10	EF/03 DF	Data.2	4	L+IL2-17	Lack+IL2-17
11	EF/03 DF	Data.6	4	L+IL2-18	Lack+IL2-18
12	EF/02-07 DF	Data.4	4	L+IL2-19	Lack+IL2-19
13	EF/01-009b DF	Data.4	5	Lp+IL2-22	Lackp+IL2-22
14	EF/02-07 DF	Data.6	5	Lp+IL2-23	Lackp+IL2-23
15	EF/03 DF	Data.4	5	Lp+IL2-24	Lackp+IL2-24

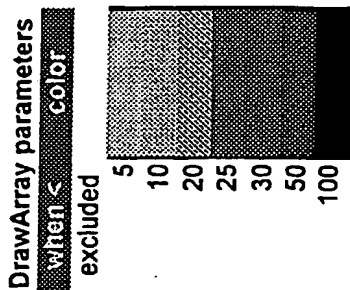
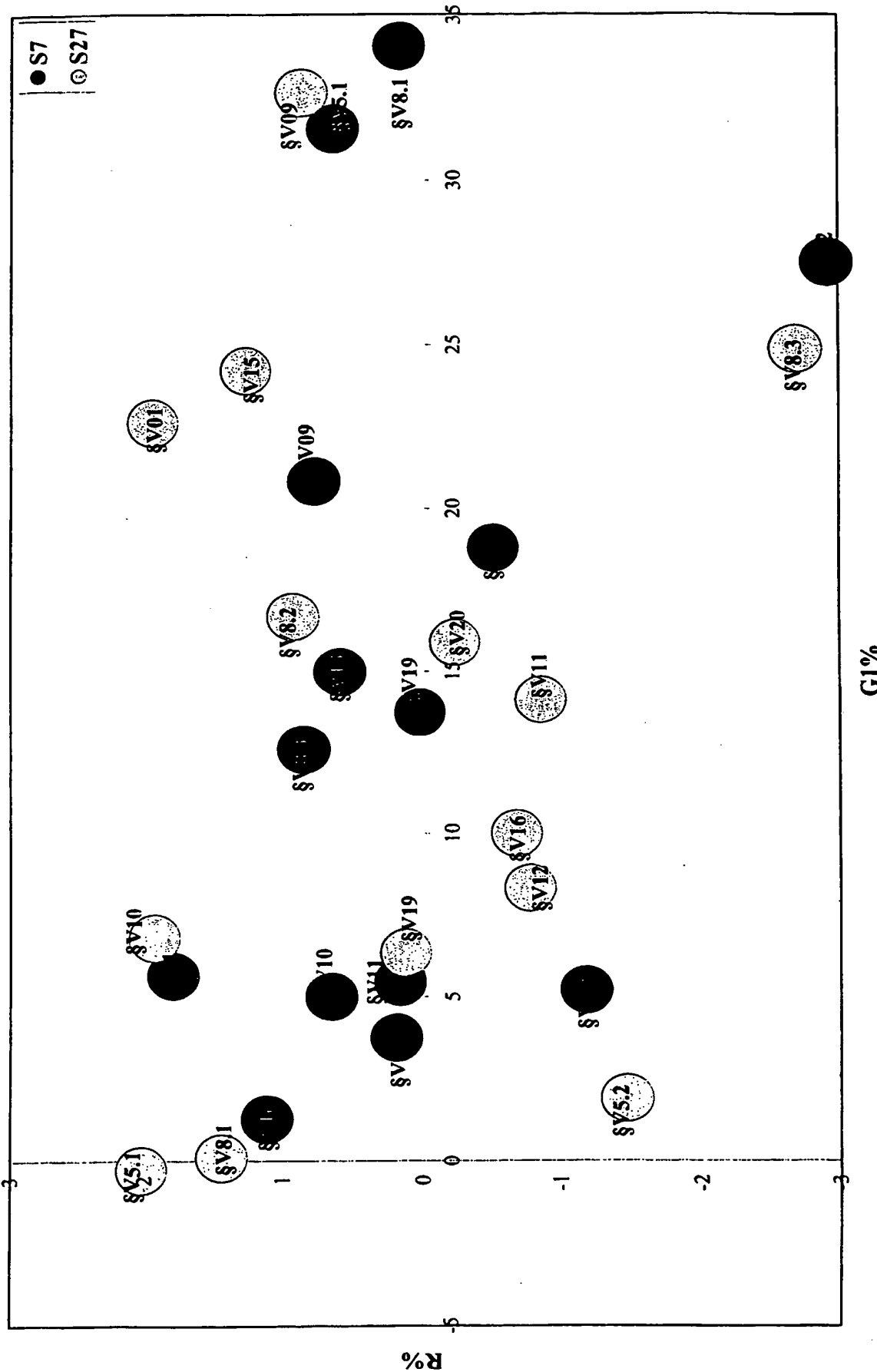


Figure 35

Parameters of file to use				DA PWK/R-CD4+			
	Workbook	Sheet	Group	Nature	Remark		
1	DF BB/013	Data.3	1	RJ0a	1		
2	DF BB/013	Data.1	1	RJ0b	2		
3	DF BB/013	Data.2	1	RJ0c	3		
4	DF BB/014	Data.1	1	RJ0d	4		
5	DF BB/017	Data.1	1	RJ0e	5		
6	DF BB/017	Data.2	1	RJ0f	6		
7	DF BB/005	Data.1	2	R7sa	7		
8	DF BB/005	Data.2	2	R7sb	8		
9	DF BB/005	Data.3	2	R7sc	9		
10	DF BB/006	Data.2	2	R7sd	10		
11	DF BB/006	Data.2	2	R7se	11		
12	DF BB/006	Data.3	2	R7sf	12		
13	DF BB/023	Data.1	3	R20sa	13		
14	DF BB/023	Data.2	3	R20sb	14		
15	DF BB/023	Data.3	3	R20sc	15		
16	DF BB/024	Data.1	3	R20sd	16		
17	DF BB/024	Data.2	3	R20se	17		
18	DF BB/024	Data.3	3	R20sf	18		
19	DF BB/031	Data.1	4	R27sa	19		
20	DF BB/031	Data.2	4	R27sb	20		
21	DF BB/031	Data.3	4	R27sc	21		
22	DF BB/032	Data.1	4	R27sd	22		
23	DF BB/032	Data.2	4	R27se	23		
24	DF BB/032	Data.3	4	R27sf	24		

Figure 36

R-CD4+



G1%

Figure 37

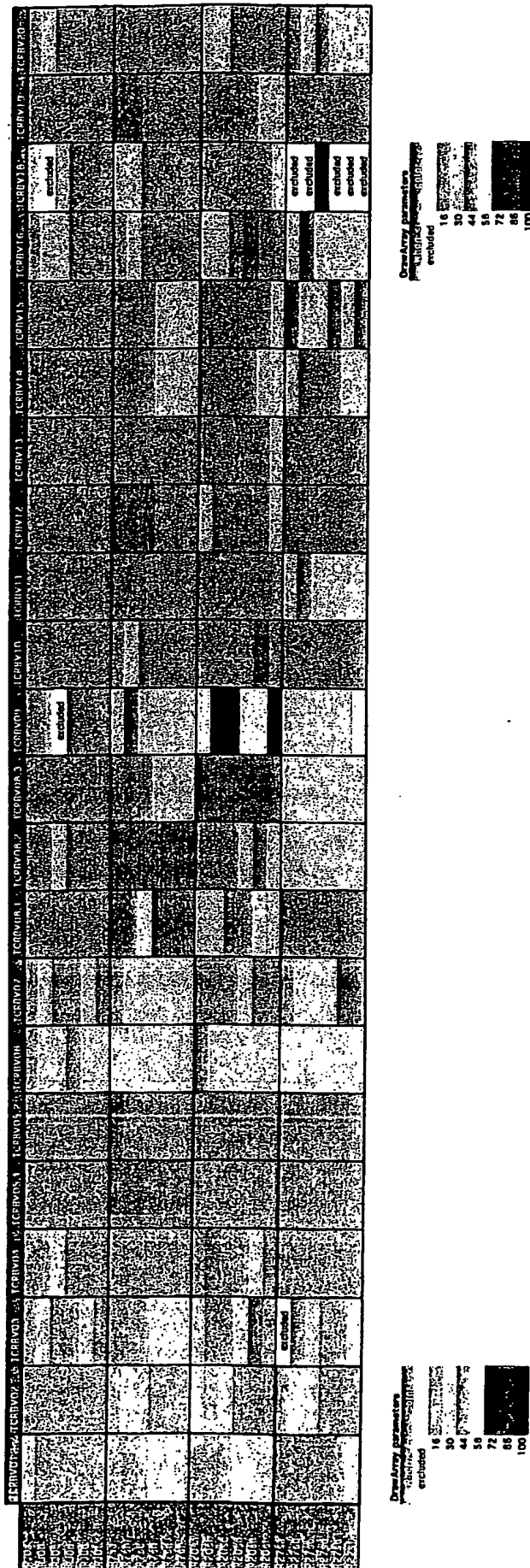


Figure 38

Score d'Oligoclonalité BV : PWK/Rate-CD4 ⁺	
7 semaines post-infection	27 semaines post-infection
BV01 (9-10-11 aa)	BV5.2 (9 aa)
BV09 (10-11 aa)	BV8.3 (8-9-10 aa)
BV16 (10 aa)	BV09 (7-9-10-12-13 aa)
BV19 (12 aa)	BV10 (9 aa)
	BV11 (9-10-11 aa)

Figure 39

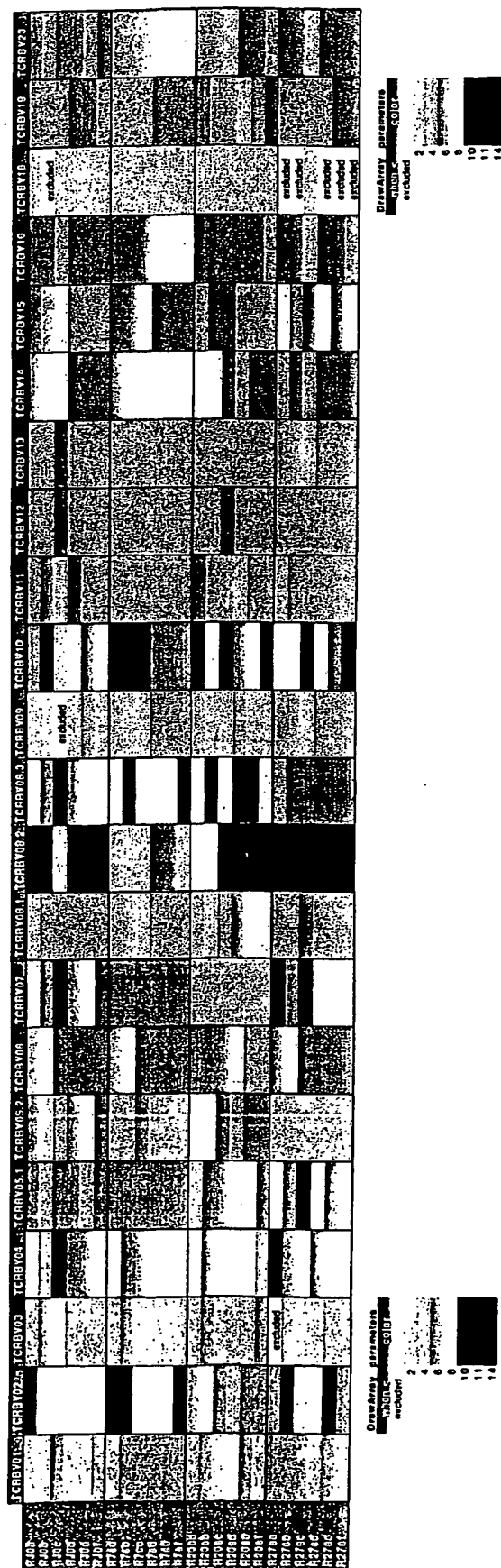


Figure 41

Parameters of file to use				DA PWK/GG-CD4+			
	Workbook	Sheet	Group	Nature	Remark		
1	DF BB/009	Data.2	1	GGJ0b	1		
2	DF BB/009	Data.3	1	GGJ0c	2		
3	DF BB/009	Data.1	1	GGJ0a	3		
4	DF BB/010	Data.1	1	GGJ0d	4		
5	DF BB/010	Data.2	1	GGJ0e	5		
6	DF BB/010	Data.3	1	GGJ0f	6		
7	DF BB/002	Data.1	2	GG7sa	7		
8	DF BB/002	Data.2	2	GG7sb	8		
9	DF BB/002	Data.3	2	GG7sc	9		
10	DF BB/003	Data.1	2	GG7sd	10		
11	DF BB/003	Data.2	2	GG7se	11		
12	DF BB/007	Data.3	2	GG7sf	12		
13	DF BB/019	Data.1	3	GG20sa	13		
14	DF BB/019	Data.2	3	GG20sb	14		
15	DF BB/019	Data.3	3	GG20sc	15		
16	DF BB/020	Data.1	3	GG20sd	16		
17	DF BB/020	Data.2	3	GG20se	17		
18	DF BB/020	Data.3	3	GG20sf	18		
19	DF BB/027	Data.1	4	GG27sa	19		
20	DF BB/027	Data.2	4	GG27sb	20		
21	DF BB/027	Data.3	4	GG27sc	21		
22	DF BB/028	Data.1	4	GG27sd	22		
23	DF BB/028	Data.2	4	GG27se	23		
24	DF BB/028	Data.3	4	GG27sf	24		

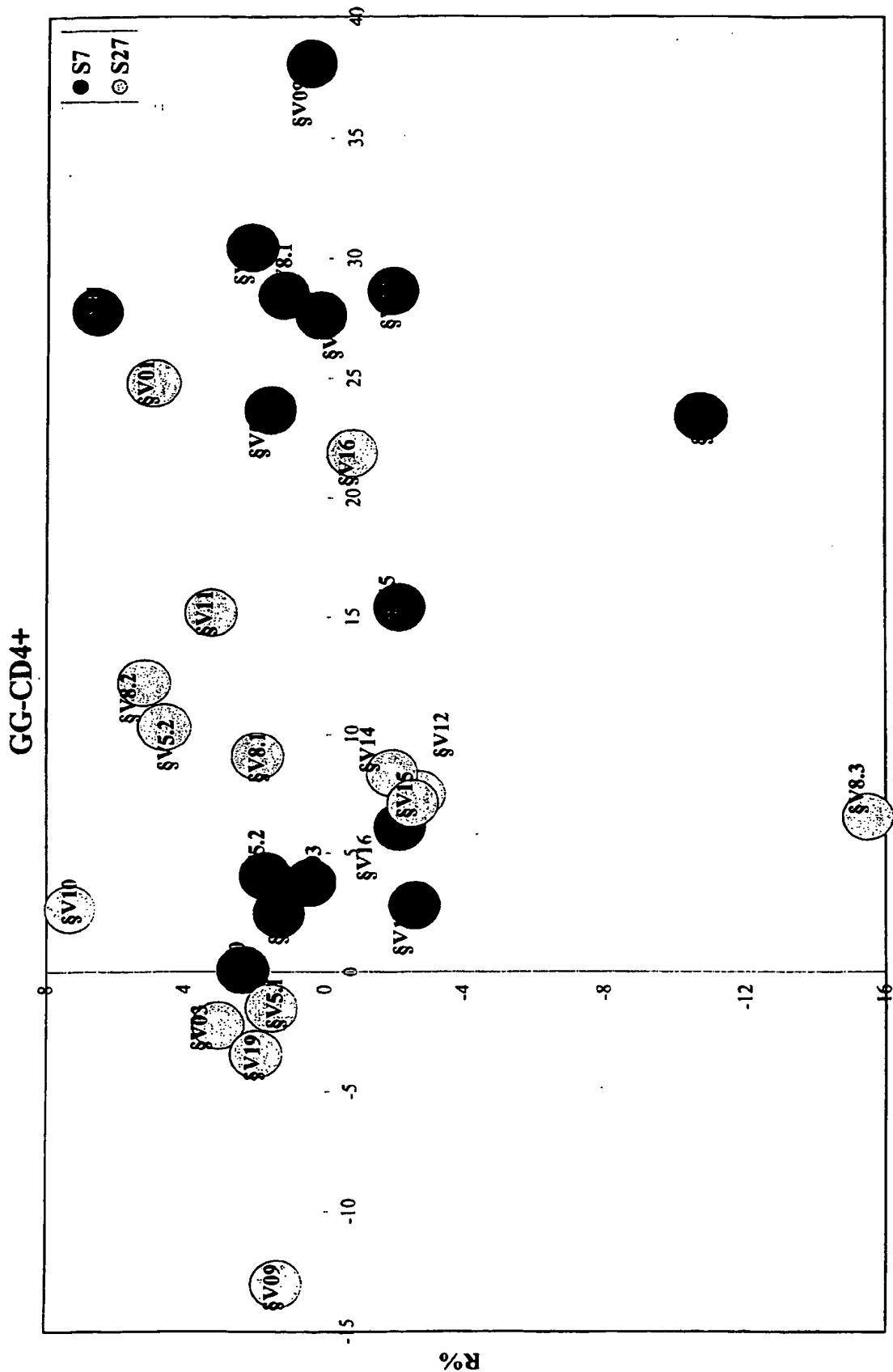


Figure 42

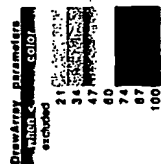
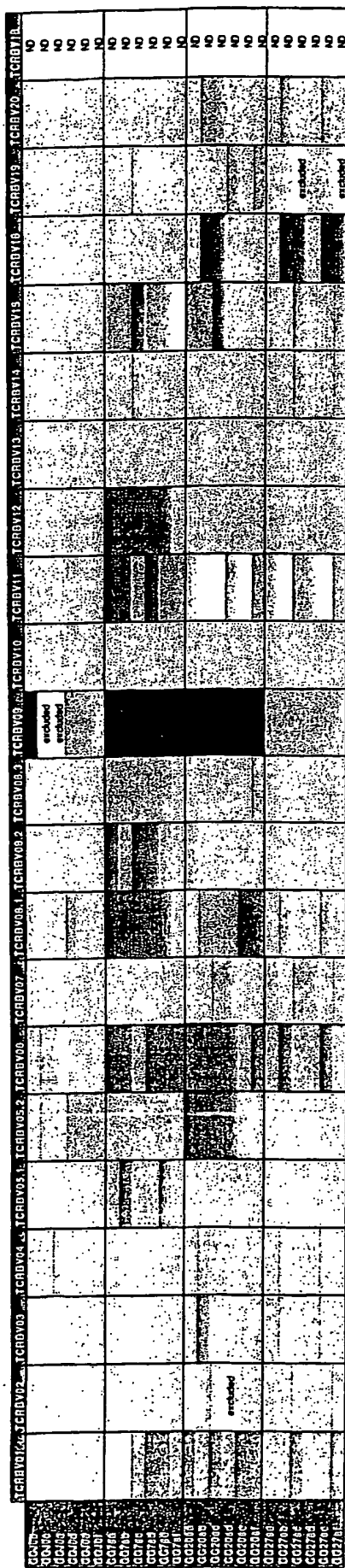


Figure 43

Score d'Oligoclonalité BV : PWK/GG-CD4*	
7 semaines post-infection	27 semaines post-infection
BV01 (9-10-11 aa)	BV5.2 (8-9 aa)
BV03 (10 aa)	BV10 (9 aa)
BV8.1 (10 aa)	BV14 (10 aa)
BV8.2 (9-10-11 aa)	BV15 (9-10-11 aa)
BV09 (9-10-11 aa)	
BV16 (10 aa)	
BV19 (10-12 aa)	

Figure 44

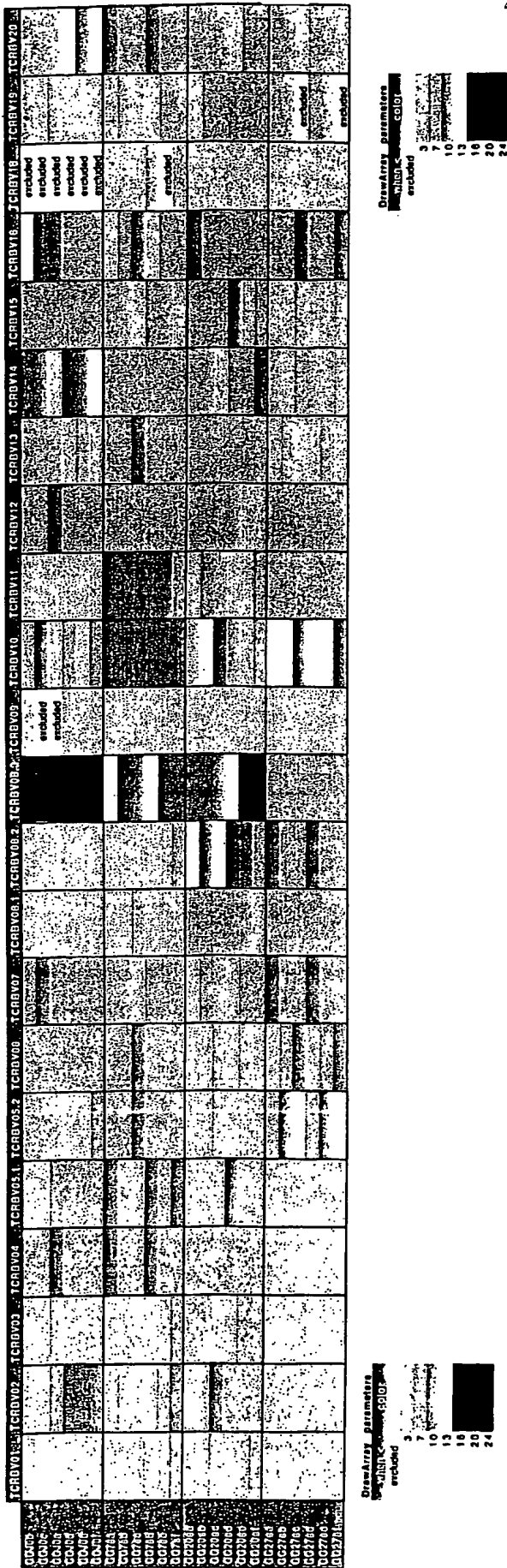
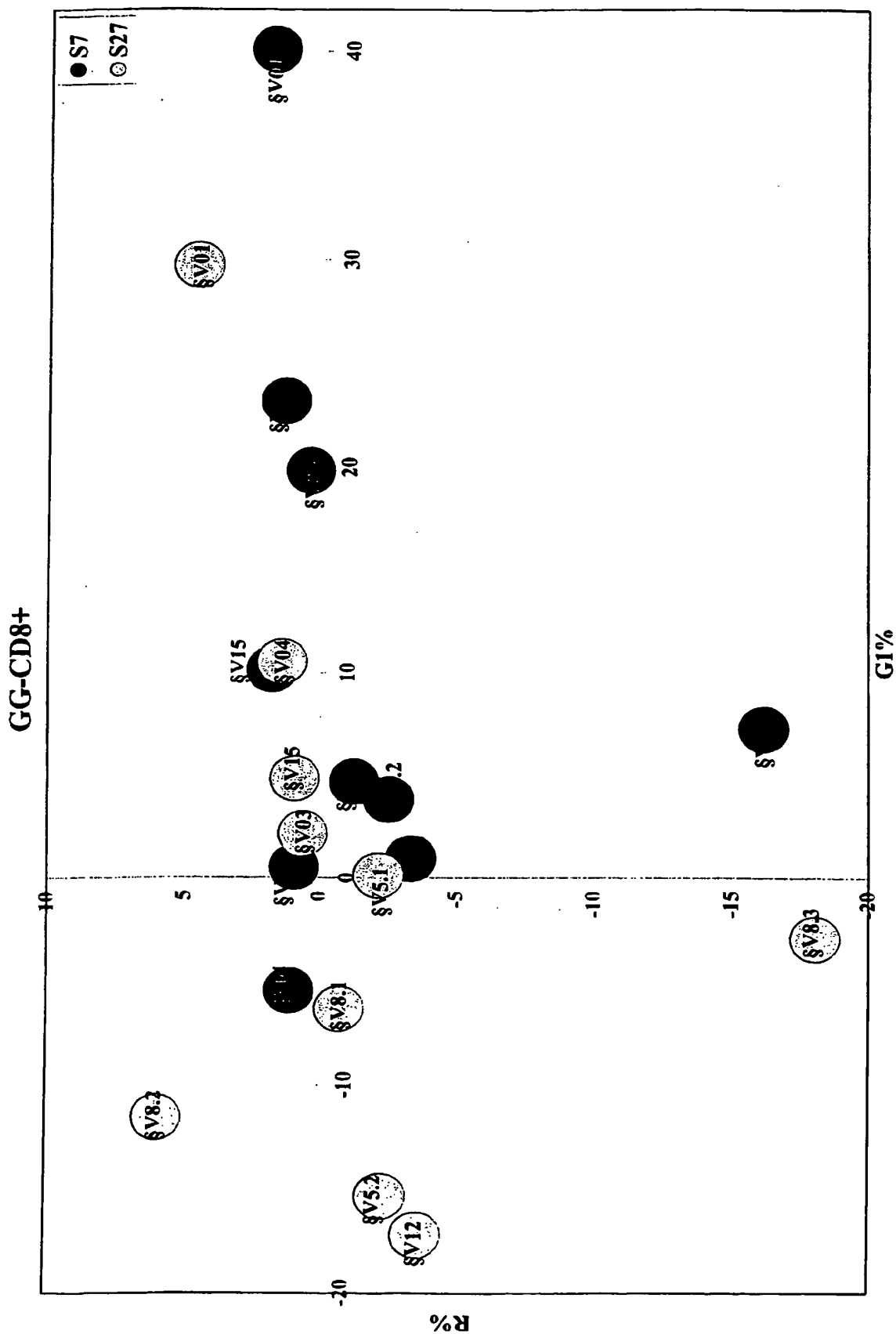


Figure 45

Parameters of file to use		DA PWK/GG-CD8+			
	Workbook	Sheet	Group	Nature	Remark
1	DF BB/001	Data.2	2	GG7sb	7
2	DF BB/001	Data.1	2	GG7sa	8
3	DF BB/001	Data.3	2	GG7sc	9
4	DF BB/004	Data.1	2	GG7sd	10
5	DF BB/004	Data.2	2	GG7se	11
6	DF BB/004	Data.3	2	GG7sf	12
7	DF BB/011	Data.1	1	GGJ0a	1
8	DF BB/011	Data.2	1	GGJ0b	2
9	DF BB/011	Data.3	1	GGJ0c	3
10	DF BB/012	Data.1	1	GGJ0d	4
11	DF BB/012	Data.2	1	GGJ0e	5
12	DF BB/012	Data.3	1	GGJ0f	6
13	DF BB/021	Data.1	3	GG20sa	13
14	DF BB/021	Data.2	3	GG20sb	14
15	DF BB/021	Data.3	3	GG20sc	15
16	DF BB/022	Data.1	3	GG20sd	16
17	DF BB/022	Data.2	3	GG20se	17
18	DF BB/022	Data.3	3	GG20sf	18
19	DF BB/029	Data.1	4	GG27sa	19
20	DF BB/029	Data.2	4	GG27sb	20
21	DF BB/029	Data.3	4	GG27sc	21
22	DF BB/030	Data.1	4	GG27sd	22
23	DF BB/030	Data.2	4	GG27se	23
24	DF BB/030	Data.3	4	GG27sf	24

Figure 46



Answer 47

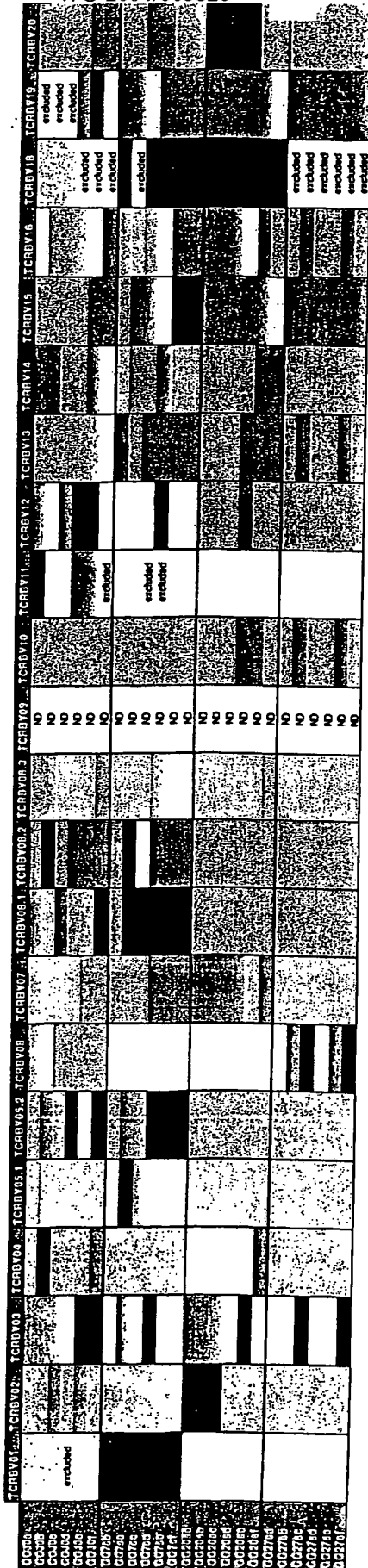


Figure 48



Score d'Oligoclonalité BV : PWK/GG-CD8 ⁺	
7 semaines post-infection	27 semaines post-infection
BV12 (9-10 aa)	BV03 (10 aa)
BV15 (8-9 aa)	BV04 (11 aa)

Figure 49

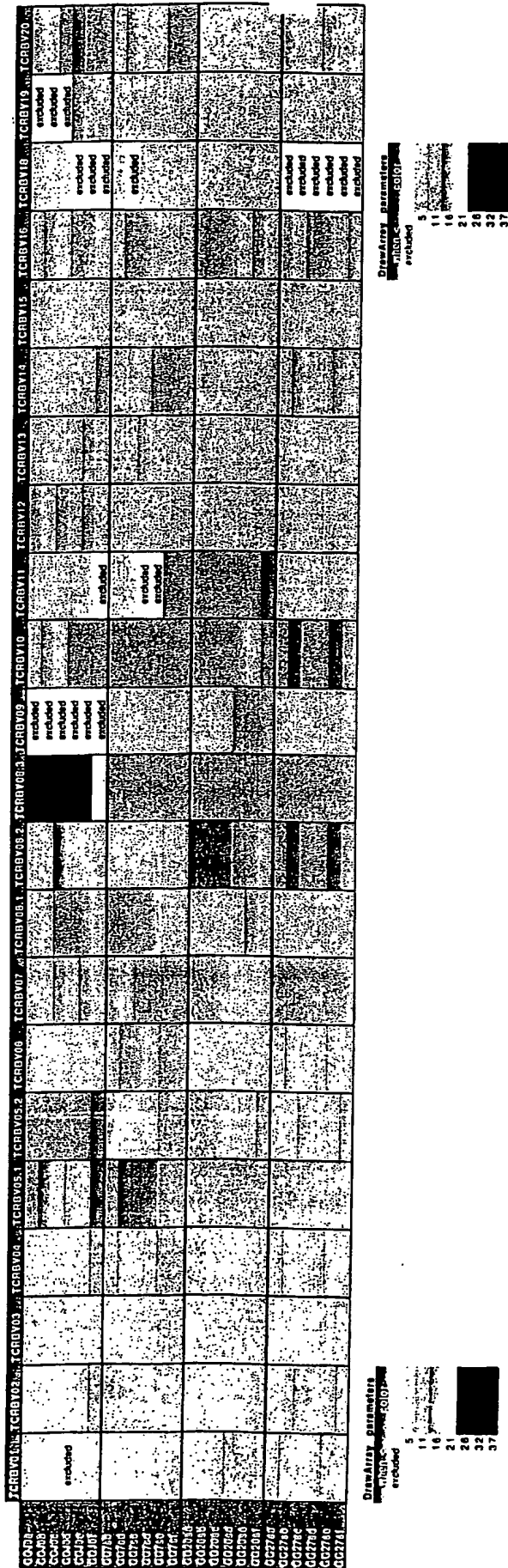


Figure 50

Parameters of file to use		DA PWK/R-CD8+			
	Workbook	Sheet	Group	Nature	Remark
1	DF BB/017	Data.3	1	RJ0a	1
2	DF BB/018	Data.1	1	RJ0b	2
3	DF BB/015	Data.3	1	RJ0c	3
4	DF BB/016	Data.1	1	RJ0d	4
5	DF BB/016	Data.2	1	RJ0e	5
6	DF BB/016	Data.3	1	RJ0f	6
7	DF BB/007	Data.1	2	R7sa	7
8	DF BB/007	Data.2	2	R7sb	8
9	DF BB/008	Data.1	2	R7sc	9
10	DF BB/008	Data.2	2	R7sd	10
11	DF BB/008	Data.3	2	R7se	11
12	DF BB/018	Data.2	2	R7sf	12
13	DF BB/025	Data.1	3	R20sa	13
14	DF BB/025	Data.2	3	R20sb	14
15	DF BB/025	Data.3	3	R20sc	15
16	DF BB/026	Data.1	3	R20sd	16
17	DF BB/026	Data.2	3	R20se	17
18	DF BB/026	Data.3	3	R20sf	18
19	DF BB/033	Data.1	4	R27sa	19
20	DF BB/033	Data.2	4	R27sb	20
21	DF BB/033	Data.3	4	R27sc	21
22	DF BB/034	Data.1	4	R27sd	22
23	DF BB/034	Data.2	4	R27se	23
24	DF BB/034	Data.3	4	R27sf	24

Figure 51

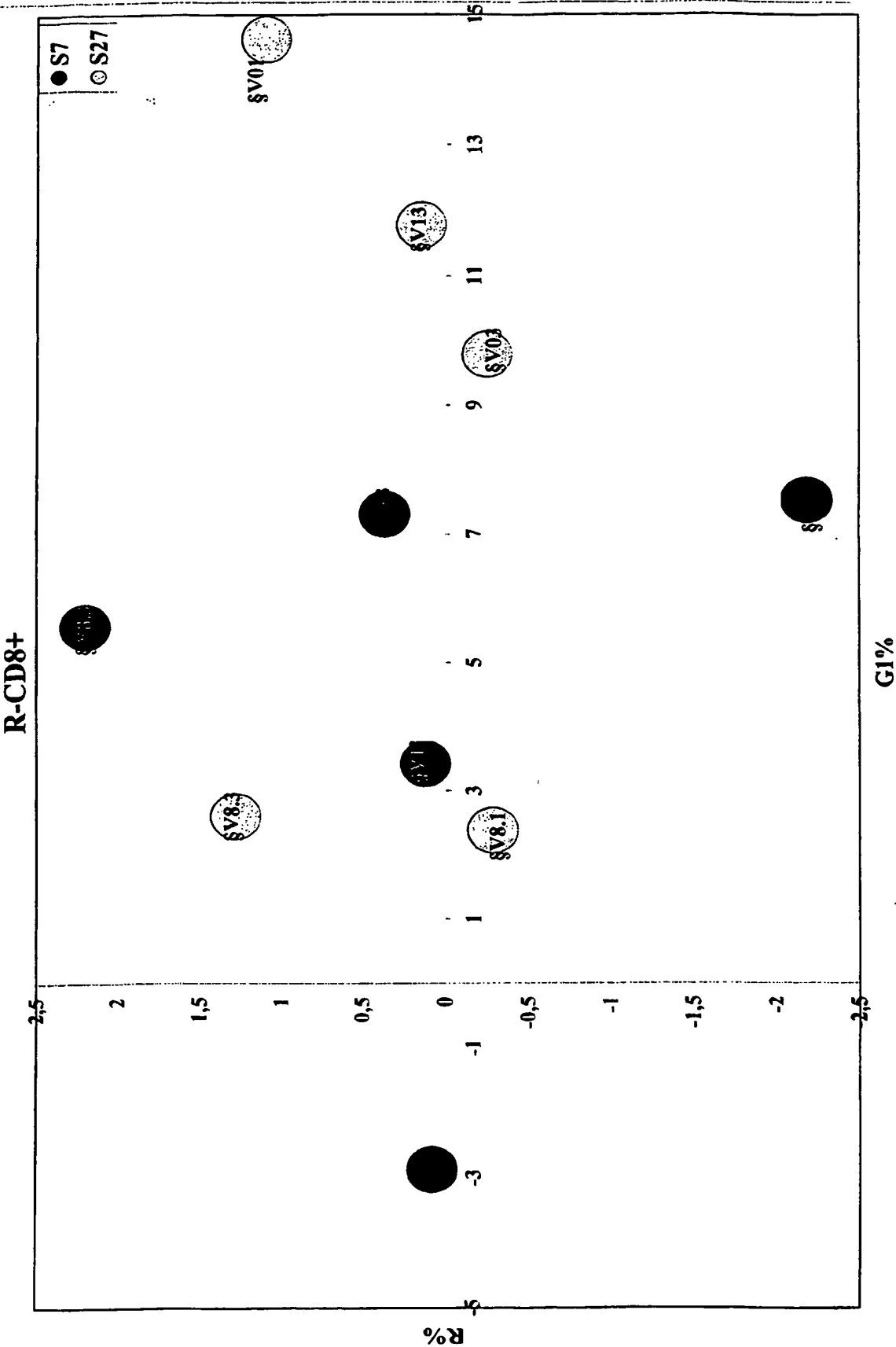


Figure 52



Figure 53

Score d'Oligoclonalité BV : PWK/Rate-CD8 ⁺	
7 semaines post-infection	27 semaines post-infection
BV01 (10-11-12 aa)	BV03 (10 aa)
	BV13 (11 aa)

Figure 54

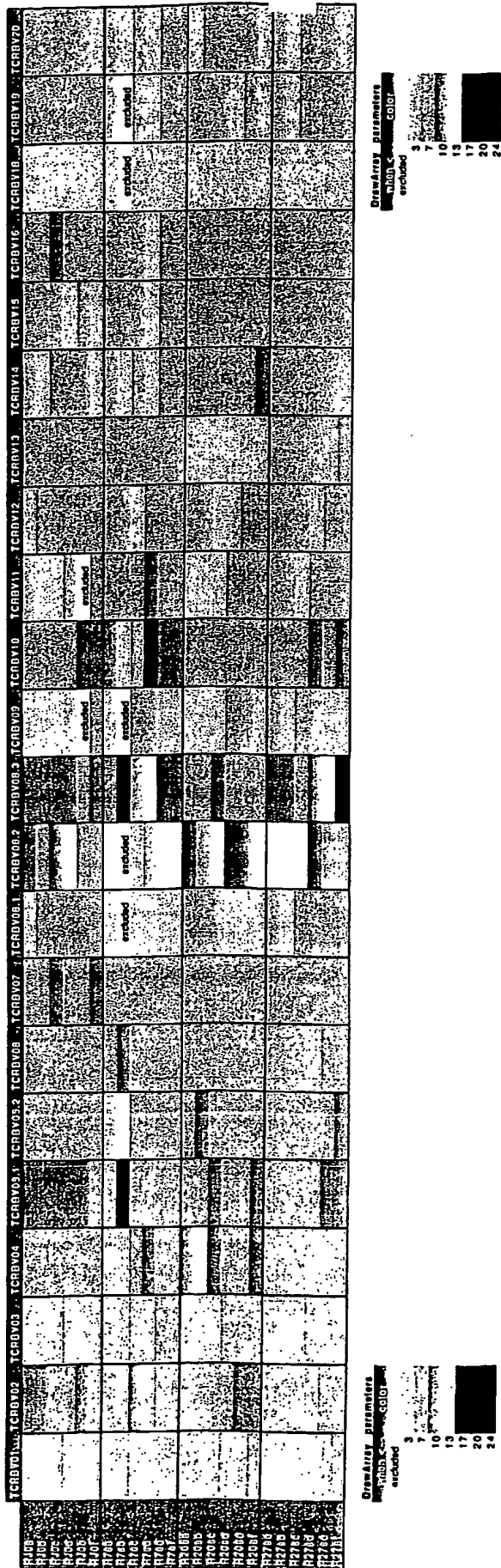


Figure 55

Parameters of file to use

Parameters of file to use	Sheet	Group	Signature	Remarks
1 EF/043 DF	Data.2	1	TN01 spleen	
2 EF/022 DF	Data.1	1	TN02 spleen	
3 EF/018 DF	Data.1	1	TN03 spleen	
4 EF/038 DF	Data.3	1	TN04 spleen	
5 EF/039 DF	Data.1	2	J3-01 spleen	
6 EF/016 DF	Data.1	2	J3-02 spleen	
7 EF/034 DF	Data.1	2	J3-03 spleen	
8 EF/046 DF	Data.2	2	J3-04 spleen	
9 EF/023 DF	Data.2	2	J3-05 spleen	
10 EF/029 DF	Data.3	3	J4-01 spleen	
11 EF/026 DF	Data.1	3	J4-02 spleen	
12 EF/029 DF	Data.1	3	J4-03 spleen	
13 EF/036 DF	Data.2	3	J4-04 spleen	
14 EF/019 DF	Data.2	3	J4-06 spleen	
15 EF/038 DF	Data.1	3	J4-07 spleen	
16 EF/045 DF	Data.1	3	J4-08 spleen	
17 EF/042 DF	Data.3	3	J4-09 spleen	
18 EF/042 DF	Data.1	3	J4-10 spleen	
19 EF/016 DF	Data.3	4	J5-01 spleen	
20 EF/026 DF	Data.3	4	J5-02 spleen	
21 EF/031 DF	Data.1	4	J5-03 spleen	
22 EF/021 DF	Data.1	4	J5-04 spleen	
23 EF/021 DF	Data.3	4	J5-05 spleen	
24 EF/028 DF	Data.2	4	J5-06 spleen	
25 EF/043 DF	Data.3	4	J5-07 spleen	
26 EF/041 DF	Data.2	4	J5-08 spleen	
27 EF/012 DF	Data.3	4	J5-09 spleen	
28 EF/046 DF	Data.3	4	J5-10 spleen	
29 EF/024 DF	Data.1	5	J6-01 spleen	
30 EF/017 DF	Data.1	5	J6-02 spleen	
31 EF/025 DF	Data.1	5	J6-03 spleen	
32 EF/040 DF	Data.1	5	J6-04 spleen	
33 EF/014 DF	Data.2	5	J6-05 spleen	
34 EF/020 DF	Data.1	5	J6-06 spleen	
35 EF/033 DF	Data.1	5	J6-07 spleen	
36 EF/030 DF	Data.1	5	J6-08 spleen	
37 EF/013 DF	Data.2	5	J6-09 spleen	
38 EF/027 DF	Data.1	5	J6-10 spleen	
39 EF/031 DF	Data.3	6	TSP01 CM+spleen	
40 EF/032 DF	Data.1	6	TSP06 CM+spleen	
41 EF/034 DF	Data.3	6	TSP09 CM+spleen	
42 EF/010 DF	Data.2	6	TSP10 CM+++ spleen	
43 EF/044 DF	Data.1	6	TSP18 CM+++ spleen	
44 EF/037 DF	Data.1	6	TSP19 CM+++ spleen	
45 EF/011 DF	Data.2	6	TSP20 CM+++ spleen	
46 EF/022 DF	Data.2	7	TN02 PBL	
47 EF/018 DF	Data.2	7	TN03 PBL	
48 EF/039 DF	Data.2	8	J3-01 PBL	
49 EF/016 DF	Data.2	8	J3-02 PBL	
50 EF/034 DF	Data.2	8	J3-03 PBL	
51 EF/039 DF	Data.3	8	J3-04 PBL	
52 EF/023 DF	Data.3	8	J3-05 PBL	
53 EF/031 DF	Data.2	9	J4-01 PBL	
54 EF/026 DF	Data.2	9	J4-02 PBL	
55 EF/029 DF	Data.2	9	J4-03 PBL	
56 EF/036 DF	Data.3	9	J4-04 PBL	
57 EF/012 DF	Data.1	9	J4-05 PBL	
58 EF/019 DF	Data.3	9	J4-06 PBL	
59 EF/038 DF	Data.2	9	J4-07 PBL	
60 EF/045 DF	Data.2	9	J4-08 PBL	
61 EF/043 DF	Data.1	9	J4-09 PBL	
62 EF/042 DF	Data.2	9	J4-10 PBL	
63 EF/019 DF	Data.1	10	J5-01 PBL	
64 EF/028 DF	Data.1	10	J5-02 PBL	
65 EF/035 DF	Data.1	10	J5-03 PBL	
66 EF/021 DF	Data.2	10	J5-04 PBL	
67 EF/023 DF	Data.1	10	J5-05 PBL	
68 EF/028 DF	Data.3	10	J5-06 PBL	
69 EF/041 DF	Data.3	10	J5-08 PBL	
70 EF/012 DF	Data.2	10	J5-09 PBL	
71 EF/041 DF	Data.1	10	J5-10 PBL	
72 EF/024 DF	Data.2	11	J6-01 PBL	
73 EF/017 DF	Data.2	11	J6-02 PBL	
74 EF/025 DF	Data.2	11	J6-03 PBL	
75 EF/040 DF	Data.2	11	J6-04 PBL	
76 EF/014 DF	Data.1	11	J6-05 PBL	
77 EF/020 DF	Data.2	11	J6-06 PBL	
78 EF/033 DF	Data.2	11	J6-07 PBL	
79 EF/030 DF	Data.2	11	J6-08 PBL	
80 EF/013 DF	Data.1	11	J6-09 PBL	
81 EF/027 DF	Data.2	11	J6-10 PBL	
82 EF/032 DF	Data.2	12	TSP06 CM+PBL	
83 EF/035 DF	Data.3	12	TSP09 CM+PBL	
84 EF/010 DF	Data.1	12	TSP10 CM+++ PBL	
85 EF/044 DF	Data.2	12	TSP18 CM+++ PBL	
86 EF/037 DF	Data.2	12	TSP19 CM+++ PBL	
87 EF/011 DF	Data.1	12	TSP20 CM+++ PBL	

Figure 56

Plasmodium berghei infection of B10D2 mice

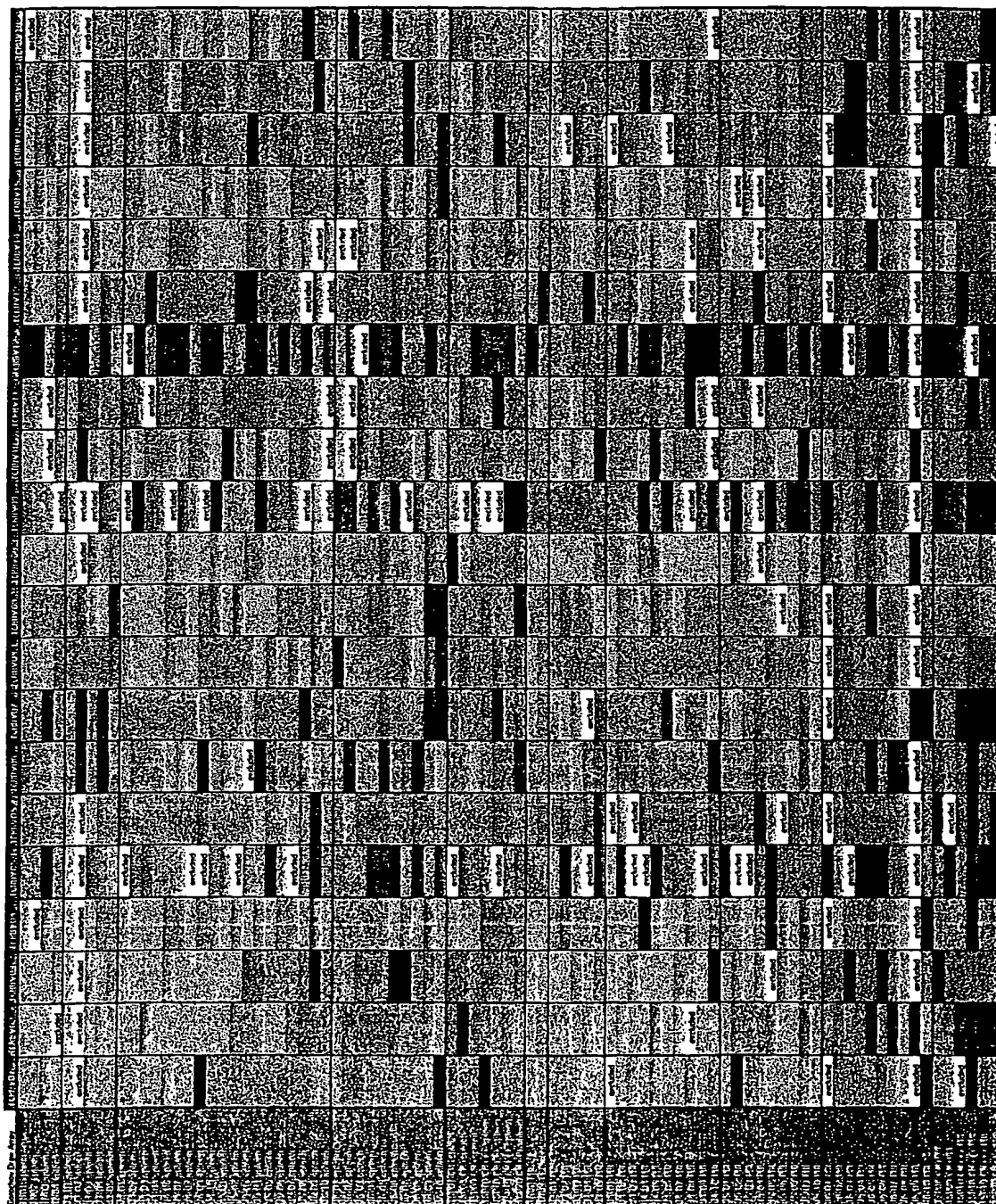


Figure 57

Plasmodium berghei infection of B10D2 mice

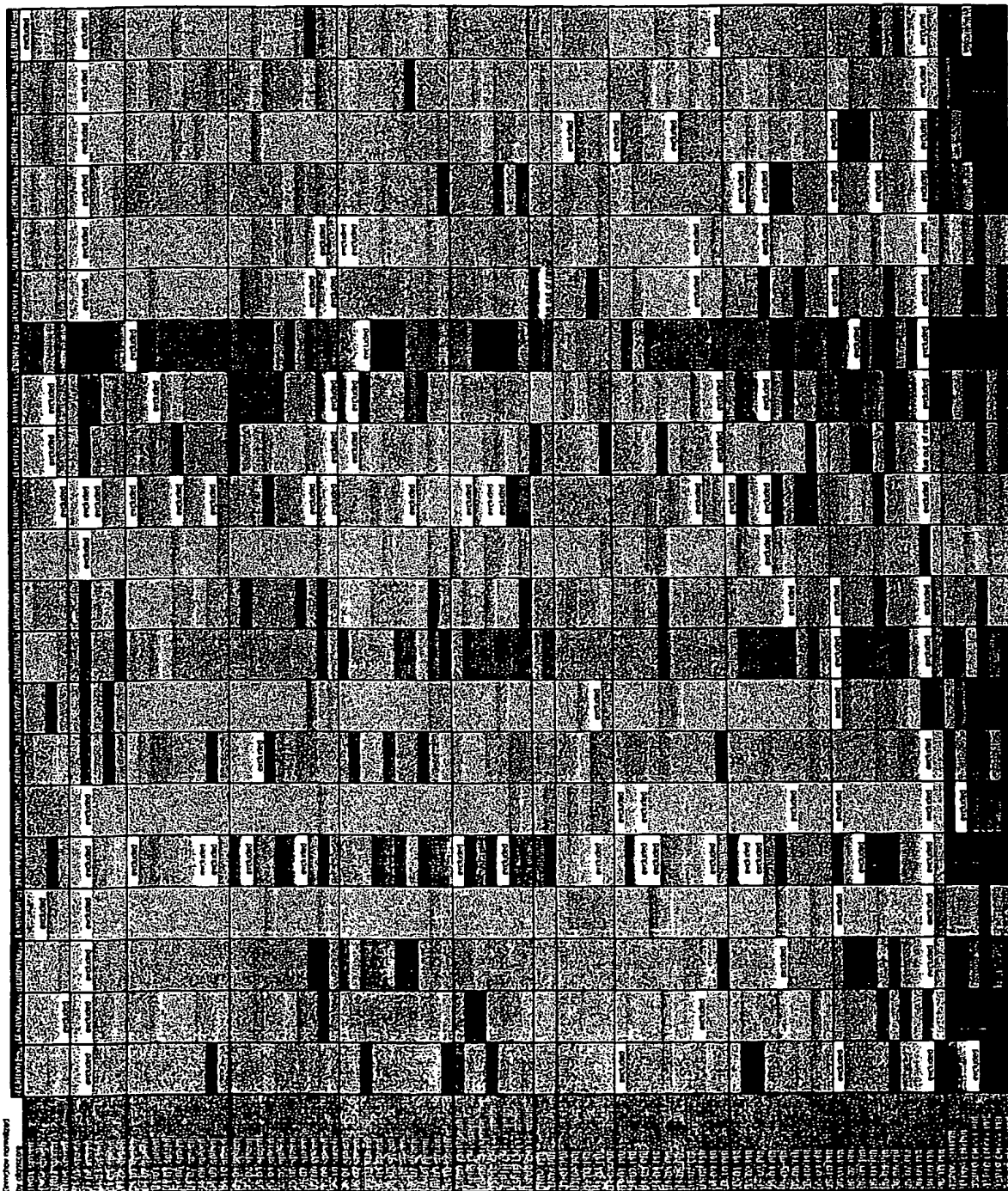
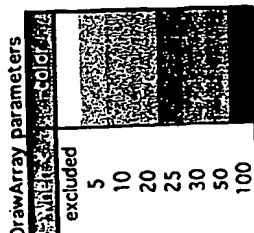


Figure 58



Test ANOVA pour TCRB01

Effet : Groupe

Niveau de significativité : 5 %

ddl	Somme des carrés	Carré moyen	Valeur de F	Valeur de p	Probance
Groupe	487,039	44,283	863	4676	10,532
Residu	3218,718	45,992			481

Tableau ANOVA pour TCRB01

Effet : Groupe

ddl	Nombre	Moyenne	Dev. Std.	Er. Std.
Ch-P	5	12,885	8,248	2,784
Ch-S	7	11,770	8,471	3,202
JSP	6	8,210	1,481	636
JPS	4	5,187	1,317	619
JAP	9	5,740	2,006	668
JAS	9	5,000	3,378	2,783
JAP	9	7,802	5,117	5,038
JAS	10	8,480	1,743	551
JPS	10	10,107	9,711	3,432
JAS	10	10,615	8,488	2,613
TNP	2	4,928	1,300	281
TNS	4	5,823	2,010	1,308

Graphique des interactions pour TCRB01

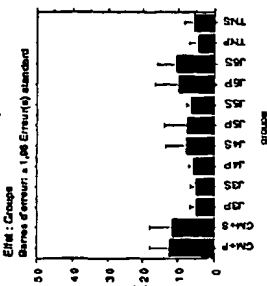


Figure 59

Test ANOVA pour TCRB02

Effet : Groupe

Niveau de significativité : 5 %

ddl	Nombre	Moyenne	Dev. Std.	Er. Std.
Ch-P	5	12,885	8,248	2,784
Ch-S	7	11,770	8,471	3,202
JSP	6	8,210	1,481	636
JPS	4	5,187	1,317	619
JAP	9	5,740	2,006	668
JAS	9	5,000	3,378	2,783
JAP	9	7,802	5,117	5,038
JAS	10	8,480	1,743	551
JPS	10	10,107	9,711	3,432
JAS	10	10,615	8,488	2,613
TNP	2	4,928	1,300	281
TNS	4	5,823	2,010	1,308

Tableau ANOVA pour TCRB02

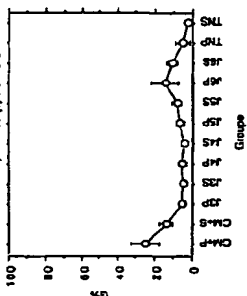
Effet : Groupe

ddl	Nombre	Moyenne	Dev. Std.	Er. Std.
Ch-P	5	12,885	8,248	2,784
Ch-S	7	11,770	8,471	3,202
JSP	6	8,210	1,481	636
JPS	4	5,187	1,317	619
JAP	9	5,740	2,006	668
JAS	9	5,000	3,378	2,783
JAP	9	7,802	5,117	5,038
JAS	10	8,480	1,743	551
JPS	10	10,107	9,711	3,432
JAS	10	10,615	8,488	2,613
TNP	2	4,928	1,300	281
TNS	4	5,823	2,010	1,308

Tableau des moyennes pour TCRB02

ddl	Nombre	Moyenne	Dev. Std.	Er. Std.
Ch-P	5	12,885	8,248	2,784
Ch-S	7	11,770	8,471	3,202
JSP	6	8,210	1,481	636
JPS	4	5,187	1,317	619
JAP	9	5,740	2,006	668
JAS	9	5,000	3,378	2,783
JAP	9	7,802	5,117	5,038
JAS	10	8,480	1,743	551
JPS	10	10,107	9,711	3,432
JAS	10	10,615	8,488	2,613
TNP	2	4,928	1,300	281
TNS	4	5,823	2,010	1,308

Graphique des interactions pour TCRB02



Test ANOVA pour TCRB02

Effet : Groupe

Niveau de significativité : 5 %

ddl	Nombre	Moyenne	Dev. Std.	Er. Std.
Ch-P	5	12,885	8,248	2,784
Ch-S	7	11,770	8,471	3,202
JSP	6	8,210	1,481	636
JPS	4	5,187	1,317	619
JAP	9	5,740	2,006	668
JAS	9	5,000	3,378	2,783
JAP	9	7,802	5,117	5,038
JAS	10	8,480	1,743	551
JPS	10	10,107	9,711	3,432
JAS	10	10,615	8,488	2,613
TNP	2	4,928	1,300	281
TNS	4	5,823	2,010	1,308

Test PLSD de Fisher pour TCRBVO4

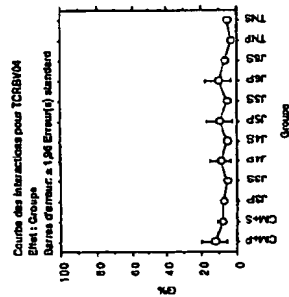
Est. Somme des carrés	Carré moyen	Valeur de F	Limite	Probabilité
11	450,814	43,082	229	0,015 10,316
12	3310,015	47,043		

Tableau ANOVA pour TCRBVO4

Est. Somme des carrés	Carré moyen	Valeur de F	Limite	Probabilité
11	450,814	43,082	229	0,015 10,316
12	3310,015	47,043		

Tableau de moyennes pour TCRBVO4

Est. Somme des carrés	Carré moyen	Valeur de F	Limite	Probabilité
11	450,814	43,082	229	0,015 10,316
12	3310,015	47,043		



Test PLSD de Fisher pour TCRBVO3

Est. Somme des carrés	Carré moyen	Valeur de F	Limite	Probabilité
11	1774,159	157,451	4,890	<0,001 53,795
12	2271,022	32,215		

Tableau ANOVA pour TCRBVO3

Est. Somme des carrés	Carré moyen	Valeur de F	Limite	Probabilité
11	1774,159	157,451	4,890	<0,001 53,795
12	2271,022	32,215		

Tableau de moyennes pour TCRBVO3

Est. Somme des carrés	Carré moyen	Valeur de F	Limite	Probabilité
11	1774,159	157,451	4,890	<0,001 53,795
12	2271,022	32,215		

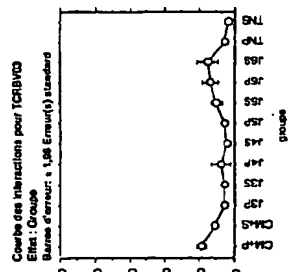


Figure 60

Test PLSD de Fisher pour TCRBVO4

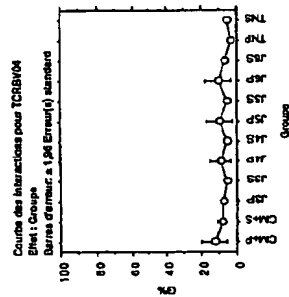
Est. Somme des carrés	Carré moyen	Valeur de F	Limite	Probabilité
11	450,814	43,082	229	0,015 10,316
12	3310,015	47,043		

Tableau ANOVA pour TCRBVO4

Est. Somme des carrés	Carré moyen	Valeur de F	Limite	Probabilité
11	450,814	43,082	229	0,015 10,316
12	3310,015	47,043		

Tableau de moyennes pour TCRBVO4

Est. Somme des carrés	Carré moyen	Valeur de F	Limite	Probabilité
11	450,814	43,082	229	0,015 10,316
12	3310,015	47,043		



Test PLSD de Fisher pour TCRBVO3

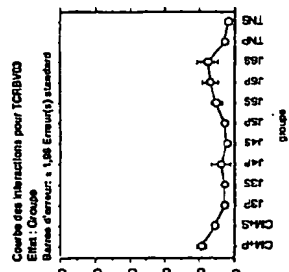
Est. Somme des carrés	Carré moyen	Valeur de F	Limite	Probabilité
11	1774,159	157,451	4,890	<0,001 53,795
12	2271,022	32,215		

Tableau ANOVA pour TCRBVO3

Est. Somme des carrés	Carré moyen	Valeur de F	Limite	Probabilité
11	1774,159	157,451	4,890	<0,001 53,795
12	2271,022	32,215		

Tableau de moyennes pour TCRBVO3

Est. Somme des carrés	Carré moyen	Valeur de F	Limite	Probabilité
11	1774,159	157,451	4,890	<0,001 53,795
12	2271,022	32,215		



Test PLSD de Fisher pour TCRBV05.2

Effet: Groupe
Niveau de significativité: 5 %

Diff. moy.	Diff. crit.	Valeur p
13,432	5,268	<0,001 S
9,024	5,890	0,003 S
16,910	8,035	<0,001 S
12,411	5,128	<0,001 S
14,541	5,018	<0,001 S
6,208	5,128	0,114 S
14,080	4,828	<0,001 S
10,855	5,139	<0,001 S
13,335	4,838	<0,001 S
13,930	7,527	0,004 S
14,501	8,035	<0,001 S
-4,400	8,288	0,002 S
3,478	6,639	0,227
-1,081	4,656	0,632
-1,108	4,534	0,671
-7,253	4,656	0,002 S
-1,654	4,434	0,182
-2,477	4,639	0,221
-1,098	4,434	0,681
-5,07	7,214	0,004 S
1,486	6,639	0,605
2,887	8,035	0,112 S
3,388	5,128	0,191 S
5,518	5,918	0,312 S
-2,615	5,128	0,774
5,082	4,928	0,204 S
1,031	5,128	0,450
4,311	4,928	0,054 S
4,516	7,527	0,002 S
5,077	8,035	0,051 S
-4,408	5,609	0,076
-2,388	5,408	0,380
-10,701	8,609	0,002 S
-2,025	5,323	0,505
-5,688	5,609	0,002 S
-3,578	5,323	0,185
-2,871	7,791	0,004 S
-2,008	8,382	0,000 S
3,100	4,372	0,294 S
-0,302	4,438	0,676 S
2,474	4,288	0,232 S
-1,437	4,408	0,505
0,93	4,888	0,624 S
1,528	7,113	0,002 S
2,488	5,509	0,002 S
-0,332	4,372	0,672 S
3,43	4,134	0,687 S
-3,588	4,372	0,002 S
-1,207	4,134	0,624 S
-6,02	7,033	0,000 S
2,860	5,408	0,002 S
0,677	4,888	0,605
4,748	4,498	0,002 S
7,188	4,288	0,000 S
2,730	7,113	0,000 S
0,682	6,509	0,002 S
-3,031	4,288	0,002 S
-1,531	4,024	0,687 S
-0,648	8,888	0,002 S
0,018	5,323	0,950 S
9,300	4,288	0,002 S
2,985	7,113	0,002 S
3,946	8,888	0,002 S
-0,025	8,888	0,803
1,585	5,323	0,592
0,81	7,791	0,002 S

Tableau ANOVA pour TCRBV05.1

Diff. Somme des carrés Carré moyen Valeur de F Valeur de p Limite de confiance

Group	11	1350,614	122,765	9,040	<0,001	66,443	1,000
Residual	88	1882,248	21,390				

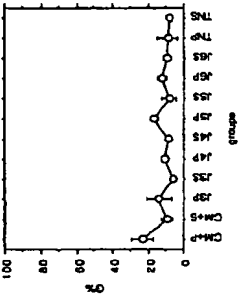
Tableau de moyennes pour TCRBV05.2

Effet: Groupe	Nombre	Moyenne	Dé. Std.	Err. Std.
ChA-P	5	23,500	7,151	3,188
ChA-S	7	9,606	4,811	1,816
J-P	6	11,277	8,343	3,731
J-S	4	6,890	1,833	0,917
J-P	8	10,890	1,436	0,503
J-S	8	5,789	2,111	1,704
J-P	10	17,001	6,728	2,127
J-S	8	13,348	3,840	1,381
J-P	10	9,668	2,723	0,851
J-S	2	8,261	4,477	3,163
TNS	4	8,400	1,384	0,692

Course des interactions pour TCRBV05.2

Effet: Groupe

Barres d'erreur: 1,88 Erreur(4) standard



Test PLSD de Fisher pour TCRBV05.1

Effet: Groupe
Niveau de significativité: 5 %

Diff. moy.	Diff. crit.	Valeur p
12,760	10,669	0,007 S
6,887	11,373	0,434
18,138	11,373	0,002 S
7,008	9,003	0,178
18,518	10,172	0,006 S
9,254	9,003	0,260
11,226	9,915	0,215 S
8,852	9,915	0,184
6,210	9,003	0,382
15,253	14,266	0,032 S
12,563	11,373	0,010 S
-8,013	11,816	0,073
3,361	11,816	0,717
-5,714	10,316	0,073
5,789	10,689	0,002 S
-8,516	10,316	0,112
-1,592	10,644	0,562
-5,058	10,044	0,423
-3,910	9,550	0,252
2,515	14,741	0,732
-2,17	11,816	0,709
9,442	12,658	0,147
-310	11,043	0,954 S
11,872	11,373	0,410 S
-433	11,043	0,938
4,531	10,789	0,041
185	10,789	0,771
113	10,423	0,736
8,618	10,326	0,283
5,887	12,458	0,469
-9,133	11,043	0,033
2,430	11,373	0,705
-8,975	11,043	0,078
-4,911	10,789	0,361
-2,267	10,789	0,902
-9,269	10,423	0,003
-818	15,256	0,151
-3,576	12,458	0,679
11,863	8,002	0,016 S
-742	9,418	0,752
4,221	9,118	0,880
-1,155	9,118	0,731
-1,137	6,682	0,750
8,317	14,126	0,435
5,857	11,043	0,161
-12,305	9,003	0,142 S
-7,241	9,613	0,160
-11,717	9,613	0,187 S
-11,700	9,003	0,126 S
-3,248	14,386	0,533
-8,006	11,373	0,050 S
4,984	9,118	0,803
-583	9,118	0,873
-360	6,682	0,894
9,059	14,126	0,044
6,218	11,043	0,283
-4,378	8,009	0,343
-4,358	6,357	0,310
4,056	13,926	0,588
1,338	10,789	0,952
0,018	6,357	0,966
8,471	13,926	0,283
5,712	10,789	0,838
8,453	13,617	0,201
5,884	10,423	0,278
-2,760	15,256	0,181

Tableau ANOVA pour TCRBV05.1

Diff. Somme des carrés Carré moyen Valeur de F Valeur de p Limite de confiance

Group	11	1661,682	151,076	1,940	0,008	21,431	0,12
Residual	59	4374,151	74,138				

Tableau de moyennes pour TCRBV05.1

Effet: Groupe	Nombre	Moyenne	Dé. Std.	Err. Std.
ChA-P	5	26,957	0,185	0,301
ChA-S	5	13,677	4,833	2,201
J-P	4	19,880	14,437	7,603
J-S	8	10,510	3,153	1,377
J-P	7	19,851	14,109	5,333
J-S	7	20,392	9,878	3,733
J-P	8	15,426	6,346	2,052
J-S	10	19,921	6,927	2,067
TNS	2	11,334	1,793	1,289
	4	14,094	0,001	2,803

Course des interactions pour TCRBV05.1

Effet: Groupe

Barres d'erreur: 1,88 Erreur(4) standard

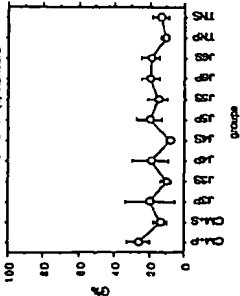


Figure 61

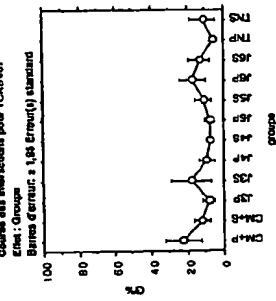
Test PLSD de Flasher pour TCABV07

Tableau ANOVA pour TC8007						
	doi	Somme des carrés	Carré moyen	Valeurs de F	Lambda	Puissance
Groupes	11	1812,073	151,006	2,273	0,050	24,999
Résidu	73	4813,374	65,465			

Tableau de moyennes pour TCPEV07

Effect Group	Nonfatal	Myocardia	Old. Sct.	Err. St.
C4+8	6	33,471	13,680	5,136
C4+8	7	13,324	9,897	2,251
C4+8	4	6,122	2,816	1,728
J4S	5	18,021	12,435	5,070
J4S	10	6,471	7,238	2,283
J4S	6	7,350	1,676	358
J4S	9	7,781	5,973	1,324
J4S	10	11,235	7,417	3,355
J6S	9	17,036	11,325	3,775
J6S	10	13,524	9,840	3,112
J6S	2	5,098	1,335	944
TNS	4	11,322	7,469	3,749

Circle 419 Interactions with TCRBV07



Test PLEO de Flasher pour TC8BV06

	ddl	Somme des carrés	Carré moyen	Valeur de F	Valeur de p	Limite	Publication
Groupes	11	1291,943	117,440	1,870	.0575	20,875	.837
Residu	73	4563,735	62,791				

...and the business is growing.

Titulaire des impenses pour l'habitat	Rentes			Moyenne	Dév. Std	Err. Std
	6	15,125	7,023			
Cat-3	6	15,125	7,023	2,897		
Cat-3	7	10,994	7,243	2,798		
JSP	5	7,364	7,440	1,091		
JSP	6	17,100	10,958	4,901		
JSP	10	11,019	9,113	2,568		
JSP	9	8,340	9,438	2,622		
JSP	7	7,487	7,438	812		
JSP	8	10,375	6,160	2,723		
JSP	8	18,262	9,736	3,245		
JSP	10	18,654	10,507	3,322		
JSP	2	6,084	8,281	1,185		
TPS	4	6,845	2,526	1,263		

Courbe des interactions pour TCREVOS

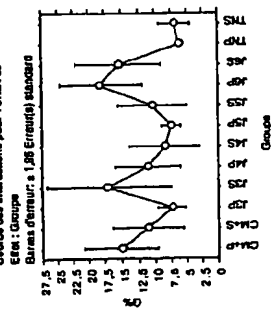


Figure 62

Test PLSD de Fisher pour TCRB002

Effet	Somme des carrés	Carré moyen	Valeur de F	Liberté	Puissance
groupe	241,752	23,766	8,43	9,888	0,453
Residu	2077,752	26,153			

Tableau de moyennes pour TCRB002

Effet	groupe	Nombre	Moyenne	Div. Std.	Err. Std.
Cm+P	JIP	8	9,472	4,193	1,772
	JIS	7	9,872	6,175	2,000
JIP	JIP	6	7,368	5,371	1,508
	JIS	5	11,440	8,832	3,077
JIS	JIP	10	7,018	3,452	1,092
	JIS	8	5,927	2,128	709
JIP	JIP	8	7,913	2,952	1,054
	JIS	10	7,878	4,191	1,370
JIS	JIP	6	9,707	5,880	1,978
	JIS	10	11,101	8,149	2,577
TNP	JIP	2	6,014	1,403	893
	JIS	4	6,781	2,393	1,197

Graphique des interactions pour TCRB002

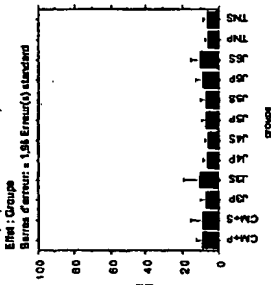


Tableau ANOVA pour TCRB002

Effet	groupe	Nombre	Moyenne	Div. Std.	Err. Std.
Cm+P	JIP	8	9,472	4,193	1,772
	JIS	7	9,872	6,175	2,000
JIP	JIP	6	7,368	5,371	1,508
	JIS	5	11,440	8,832	3,077
JIS	JIP	10	7,018	3,452	1,092
	JIS	8	5,927	2,128	709
JIP	JIP	8	7,913	2,952	1,054
	JIS	10	7,878	4,191	1,370
JIS	JIP	6	9,707	5,880	1,978
	JIS	10	11,101	8,149	2,577
TNP	JIP	2	6,014	1,403	893
	JIS	4	6,781	2,393	1,197

Tableau de moyennes pour TCRB001

Effet	groupe	Nombre	Moyenne	Div. Std.	Err. Std.
Cm+P	JIP	8	9,472	4,193	1,772
	JIS	7	9,872	6,175	2,000
JIP	JIP	6	7,368	5,371	1,508
	JIS	5	11,440	8,832	3,077
JIS	JIP	10	7,018	3,452	1,092
	JIS	8	5,927	2,128	709
JIP	JIP	8	7,913	2,952	1,054
	JIS	10	7,878	4,191	1,370
JIS	JIP	6	9,707	5,880	1,978
	JIS	10	11,101	8,149	2,577
TNP	JIP	2	6,014	1,403	893
	JIS	4	6,781	2,393	1,197

Graphique des interactions pour TCRB001

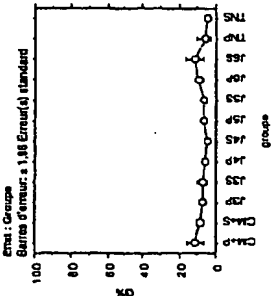


Figure 63

Tableau ANOVA pour TCRB001

Effet	groupe	Nombre	Moyenne	Div. Std.	Err. Std.
Cm+P	JIP	8	9,472	4,193	1,772
	JIS	7	9,872	6,175	2,000
JIP	JIP	6	7,368	5,371	1,508
	JIS	5	11,440	8,832	3,077
JIS	JIP	10	7,018	3,452	1,092
	JIS	8	5,927	2,128	709
JIP	JIP	8	7,913	2,952	1,054
	JIS	10	7,878	4,191	1,370
JIS	JIP	6	9,707	5,880	1,978
	JIS	10	11,101	8,149	2,577
TNP	JIP	2	6,014	1,403	893
	JIS	4	6,781	2,393	1,197

Tableau de moyennes pour TCRB001

Effet	groupe	Nombre	Moyenne	Div. Std.	Err. Std.
Cm+P	JIP	8	9,472	4,193	1,772
	JIS	7	9,872	6,175	2,000
JIP	JIP	6	7,368	5,371	1,508
	JIS	5	11,440	8,832	3,077
JIS	JIP	10	7,018	3,452	1,092
	JIS	8	5,927	2,128	709
JIP	JIP	8	7,913	2,952	1,054
	JIS	10	7,878	4,191	1,370
JIS	JIP	6	9,707	5,880	1,978
	JIS	10	11,101	8,149	2,577
TNP	JIP	2	6,014	1,403	893
	JIS	4	6,781	2,393	1,197

Test PLSD de Fisher pour TCRBV09

[illegible]

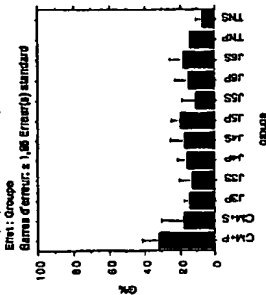
Tableau ANOVA pour YCRBVD9

Group	11	2082,439	189,313	2,237	24,603	900
Réside	59	4993,632	84,636			

Tableau de moyennes pour TC83V08

Elm.: Groupe	Normale	Moyenne	Dév. Std.	Err. Std.
Cal-P	6	32,49	11,650	4,810
Cal-S	4	10,668	12,261	6,167
J-P	6	16,947	9,062	3,414
J-S	3	33,712	8,033	3,638
J-P	9	16,672	7,071	2,587
J-S	8	17,918	6,980	3,878
J-P	7	20,687	5,381	2,404
J-S	6	12,019	10,703	3,784
J-P	9	11,190	10,702	3,669
J-S	9	11,402	10,490	3,599
Th-P	2	15,419	4,537	280
Th-S	3	7,443	3,207	1,052

Graphique des interactions pour TCABV09



Test PLUS de Fisher pour TCASV08.3

	Criterios de asignación: 15 %				
	Dist. max.	Dist. m.	Dist. cr.	Valor P	
CM&P, CM&S	-1,751	0,524	0,581	0,581	
CM&P, J3P	4,330	0,986	1,192		
CM&P, J3S	3,903	0,988	3,070		
CM&P, J4P	3,521	0,581	0,544		
CM&P, J4S	5,103	0,708	0,757		
CM&P, J5P	2,571	0,647	0,027		
CM&P, J5S	4,021	0,581	0,007		
CM&P, J6P	-1,850	0,581	0,028		
CM&P, J6S	4,377	0,581	0,043		
CM&P, J7P	4,523	0,640	0,114		
CM&P, J7S	6,074	0,949	1,100		
CM&S, J3S	3,081	0,340	0,058		
CM&S, J3S	5,359	0,785	1,199		
CM&S, J4P	4,072	0,538	0,073		
CM&S, J4S	0,533	0,556	0,135		
CM&S, J5P	4,323	0,504	0,121		
CM&S, J5S	6,123	0,536	0,157		
CM&S, J6P	-1,178	0,536	0,471		
CM&S, J6S	0,189	0,526	0,463		
CM&S, J7P	4,173	0,681	0,351		
CM&S, J7S	7,382	0,726	0,507		
CM&S, J8P	-7,723	7,263	0,424		
J3P, J4P	-1,100	0,530	0,710		
J3P, J4S	4,653	0,639	7,780		
J3P, J5P	-1,783	0,172	0,730		
J3P, J5S	3,341	0,530	0,551		
J3P, J6P	-4,760	0,530	0,318		
J3P, J6S	-2,155	0,530	0,243		
J3P, J7P	-1,192	0,058	0,064		
J3P, J7S	0,315	0,377	0,484		
J3P, J8P	1,970	7,656	6,096		
J3P, J8S	1,963	4,975	4,342		
J4P, J4S	-8,44	5,135	0,033		
J4P, J5S	1,551	0,484	0,000		
J4P, J6P	-3,150	0,484	0,374		
J4P, J6S	-1,863	0,484	0,505		
J4P, J7P	1,261	0,367	0,780		
J4P, J7S	2,357	6,405	4,857		
J4P, J8P	-2,807	0,801	0,307		
J4S, J5S	-3,12	4,975	0,009		
J4S, J6P	-7,112	4,976	0,007		
J4S, J6S	-3,808	4,075	1,316		
J4S, J7P	-0,561	0,484	0,707		
J4S, J7S	3,94	0,508	0,042		
J5P, J4S	2,295	5,136	0,761		
J5P, J4S	-4,900	5,136	0,046		
J5P, J6P	-1,118	0,138	0,431		
J5P, J6P	3,945	0,560	0,518		
J5P, J7P	3,001	0,630	0,700		
J5S, J6P	-8,801	4,842	0,005		
J5S, J6S	-3,494	4,842	0,147		
J5S, J7P	-3,50	0,367	0,340		
J5S, J7S	7,08	6,405	0,767		
J6P, J4S	3,307	4,842	0,178		
J6P, J7P	6,462	0,367	0,109		
J6P, J7S	7,507	0,403	0,023		
J6S, J7P	3,143	0,267	0,073		
J6S, J7S	4,200	6,405	1,054		
J7P, J8S	1,056	9,377	0,231		

Tableau ANOVA pour TCRBY08.J

Classe	Nombre des cartes	Card moyen	Valeur de ρ	Valeur de ρ	Reduance
11	564,311	51,301	1,739	,0817	,801
75	2154,476	29,513			

Tableau de moyennes pour TCRBVO1.3

Ensl. Group	Members	Myriads	Dfr. Std.	Err. Std.
ChAP	6	6,649	3,431	1,451
ChAS	7	10,400	7,844	2,951
J9	6	4,319	1,074	486
J4	4	5,011	1,246	475
J8	10	5,428	3,062	960
JAS	9	5,465	1,420	173
JSP	6	6,072	2,450	866
JSS	10	3,777	1,722	545
JBP	10	10,576	12,246	4,931
J6	10	7,271	3,827	1,116
TP	2	4,127	933	323
ThS	4	3,071	800	420

Graphique des interactions pour TCRBV08.2

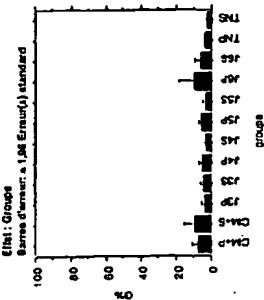


Fig 2.64

Test PLSD de Fisher pour TCRBV11

Effet: Groupe
Niveau de significativité: 5 %

ddl	Somme des carrés	Carré moyen	Valeur de F	Valeur de p	Limite	Puissance
Groupe	11	417,530	37,657	1,770	0,0717	10,473
Rédu	88	1458,032	21,442			808

Test PLSD de Fisher pour TCRBV11

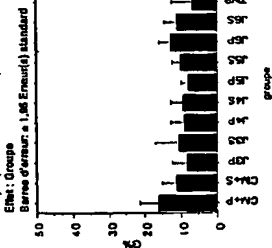
Effet: Groupe
Niveau de significativité: 5 %

ddl	Somme des carrés	Carré moyen	Valeur de F	Valeur de p	Limite	Puissance
Groupe	11	417,530	37,657	1,770	0,0717	10,473
Rédu	88	1458,032	21,442			808

Tableau de moyennes pour TCRBV11

Nombre	Moyenne	ddl	ddl	ddl	ddl
ChAP	6	10,203	4,009	8,777	
ChAP, JS	7	11,703	4,930	1,893	
ChAP, JS	8	9,773	4,001	1,955	
ChAP, JS	9	10,593	8,723	3,007	
ChAP, JS	10	9,433	3,353	1,788	
ChAP, JS	11	9,470	4,441	1,570	
ChAP, JS	12	8,600	2,325	881	
ChAP, JS	13	10,422	3,350	1,106	
ChAP, JS	14	12,124	4,184	1,396	
ChAP, JS	15	11,406	4,765	1,688	
ChAP, JS	16	7,848	3,828	3,707	
ChAP, JS	17	6,037	1,005	580	

Graphique des interactions pour TCRBV11



Test PLSD de Fisher pour TCRBV10

Effet: Groupe
Niveau de significativité: 5 %

ddl	Somme des carrés	Carré moyen	Valeur de F	Valeur de p	Limite	Puissance
Groupe	11	480,045	44,631	1,454	0,0251	4,931
Rédu	71	6084,505	85,700			223

Test PLSD de Fisher pour TCRBV10

Effet: Groupe
Niveau de significativité: 5 %

ddl	Somme des carrés	Carré moyen	Valeur de F	Valeur de p	Limite	Puissance
Groupe	11	480,045	44,631	1,454	0,0251	4,931
Rédu	71	6084,505	85,700			223

Tableau de moyennes pour TCRBV10

Nombre	Moyenne	ddl	ddl	ddl	ddl
ChAP	8	10,178	3,320	1,352	
ChAP, JS	7	7,994	2,834	1,282	
ChAP, JS	8	9,084	3,824	4,390	
ChAP, JS	9	8,409	2,889	3,120	
ChAP, JS	10	8,002	2,825	2,840	
ChAP, JS	11	5,907	1,975	859	
ChAP, JS	12	7,336	6,858	2,319	
ChAP, JS	13	9,386	8,867	2,855	
ChAP, JS	14	14,084	22,489	7,112	
ChAP, JS	15	8,281	4,212	1,404	
ChAP, JS	16	9,334	1,917	710	
ChAP, JS	17	3,043	1,071	812	

Graphique des interactions pour TCRBV10

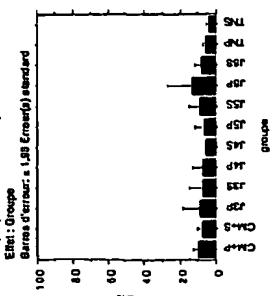


Figure 65

Exons 1-7

Tableau ANOVA pour TCRBV16

cat	Somme des carrés	Carré moyen	Valeur de F	Limite	Puissance
Groupe	11	1388,839	124,258	2,439	.0125
Residu	68	3423,904	50,340		.935

Test FLSO de Fisher pour TCRBV16

cat	Somme des carrés	Carré moyen	Valeur de F	Limite	Puissance
Groupe	11	1388,839	124,258	2,439	.0125
Residu	68	3423,904	50,340		.935

cat	Somme des carrés	Carré moyen	Valeur de F	Limite	Puissance
Groupe	11	1388,839	124,258	2,439	.0125
Residu	68	3423,904	50,340		.935

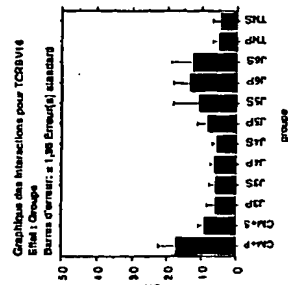
Tableau de moyennes pour TCRBV16

cat	Somme des carrés	Carré moyen	Valeur de F	Limite	Puissance
Groupe	11	1388,839	124,258	2,439	.0125
Residu	68	3423,904	50,340		.935

Tableau de moyennes pour TCRBV16

cat	Somme des carrés	Carré moyen	Valeur de F	Limite	Puissance
Groupe	11	1388,839	124,258	2,439	.0125
Residu	68	3423,904	50,340		.935

Graphique des interactions pour TCRBV16



Graphique des interactions pour TCRBV16

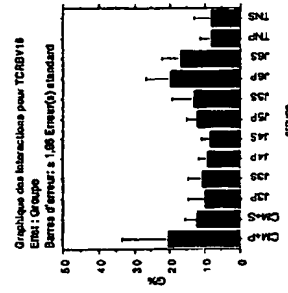


Figure 68

Test FLSO de Fisher pour TCRBV16

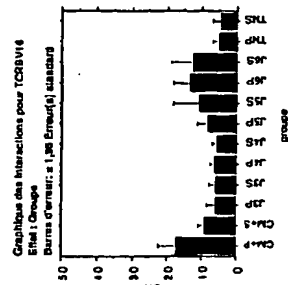
cat	Somme des carrés	Carré moyen	Valeur de F	Limite	Puissance
Groupe	11	1388,839	124,258	2,439	.0125
Residu	68	3423,904	50,340		.935

cat	Somme des carrés	Carré moyen	Valeur de F	Limite	Puissance
Groupe	11	1388,839	124,258	2,439	.0125
Residu	68	3423,904	50,340		.935

Tableau de moyennes pour TCRBV16

cat	Somme des carrés	Carré moyen	Valeur de F	Limite	Puissance
Groupe	11	1388,839	124,258	2,439	.0125
Residu	68	3423,904	50,340		.935

Graphique des interactions pour TCRBV16



Graphique des interactions pour TCRBV16

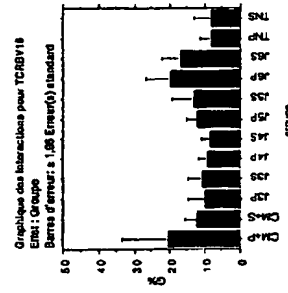


Tableau ANOVA pour TCRBV20

ddl	Somme des Carrés	Carré moyen	Valeur de F	Limite de p	Puissance
11	1340,545	121,868	2,791	0,044	30,703
72	3143,624	43,661			388

Tableau de moyennes pour TCRBV20

Effet : Groupe				
Nombre	Moyenne	Div. Std.	Err. Std.	
CM+P	5	27,772	16,718	7,477
CM+S	7	11,353	4,473	1,890
J3P	5	10,025	982	439
J3S	4	11,679	3,970	1,985
J4P	10	13,662	5,954	1,851
J4S	9	11,847	5,898	1,939
J6P	8	10,533	4,189	1,306
J6S	10	11,711	5,365	1,897
J8P	9	15,138	7,611	2,537
J8S	10	13,643	7,766	2,453
TNP	2	11,871	2,021	1,429
TNS	4	9,130	2,304	1,152

Graphique des interactions pour TCRBV20

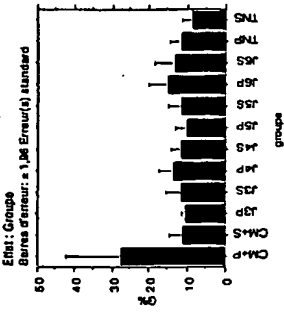


Figure 69

Test PLSD de Fisher pour TCRBV20

Effet : Groupe

Niveau de significativité : 5 %

Diff. moy.	Diff. crit.	Valeur p
CM+P, CM+S	16,418	7,713 <.0001 S
CM+P, J3P	17,147	6,331 <.0001 S
CM+P, J3S	16,092	6,836 <.0003 S
CM+P, J4P	13,910	7,215 <.0003 S
CM+P, J4S	16,924	7,347 <.0001 S
CM+P, J6P	17,238	7,347 <.0001 S
CM+P, J6S	16,001	7,215 <.0001 S
CM+P, J8P	12,434	7,347 <.0010 S
CM+P, J8S	14,128	7,216 <.0002 S
CM+P, TNP	16,901	11,021 <.0052 S
CM+P, TNS	16,642	6,636 <.0001 S
CM+S, J3P	7,28	7,713 <.0513
CM+S, J3S	-326	8,256 <.0374
CM+S, J4P	-2,409	6,491 <.4435
CM+S, J4S	-495	6,639 <.0823
CM+S, J6P	819	6,639 <.0053
CM+S, J6S	-358	6,491 <.0128
CM+S, J8P	-2,765	6,639 <.2594
CM+S, J8S	-2,391	6,491 <.4810
CM+S, TNP	-319	10,561 <.0224
CM+S, TNS	2,223	6,266 <.0931
J3P, J3S	-1,054	6,836 <.8126
J3P, J4P	-2,237	7,215 <.3741
J3P, J4S	-1,223	7,347 <.7410
J3P, J6P	-1,086	7,215 <.7650
J3P, J6S	-4,513	7,347 <.0247
J3P, J8P	-3,019	7,216 <.4070
J3P, J8S	-1,246	11,021 <.0223
J3P, TNP	1,405	6,636 <.7369
J3P, TNS	-2,183	7,793 <.0783
J3S, J4P	-1,168	7,916 <.0663
J3S, J4S	1,146	7,916 <.7728
J3S, J6P	-3,469	7,916 <.0868
J3S, J6S	-1,964	7,793 <.0189
J3S, TNP	-1,182	11,407 <.0734
J3S, TNS	2,850	9,314 <.0970
J4P, J4S	2,014	6,052 <.0091
J4P, J6P	3,328	6,052 <.0786
J4P, J6S	2,151	6,891 <.0500
J4P, J8P	-1,278	6,052 <.0755
J4P, J8S	218	5,691 <.9413
J4P, TNP	1,991	10,203 <.0884
J4P, TNS	4,732	7,793 <.0300
J4S, J6P	1,314	6,208 <.0744
J4S, J6S	-137	6,052 <.0642
J4S, J8P	-3,280	6,209 <.0843
J4S, J8S	-1,786	6,052 <.5560
J4S, TNP	-0,223	10,297 <.9984
J4S, TNS	2,718	7,016 <.0956
J6P, J6S	-1,177	6,052 <.0993
J6P, J8P	-4,804	6,209 <.0437
J6P, J8S	-3,110	6,052 <.0091
J6P, TNP	-1,537	10,297 <.7894
J6P, TNS	1,404	7,915 <.7247
J6S, J8P	-3,427	6,052 <.0827
J6S, J8S	-1,833	5,891 <.6163
J6S, TNP	-1,160	10,203 <.0751
J6S, TNS	2,581	7,793 <.0112
J8P, J8S	1,494	6,052 <.0241
J8P, TNP	3,267	10,297 <.0291
J8P, TNS	6,008	7,916 <.0366
J8S, TNP	1,773	10,203 <.7301
J8S, TNS	4,514	7,793 <.0520
TNP, TNS	2,741	11,407 <.0334

Test PLSD de Fisher pour TCRBV01

Effet : Groupe
Niveau de signification : 5 %

	Diff. moy.	Diff. crit.	Valeur p.
CM-P, CM-S	-0,03	4,815	8949
CM-P, JSP	3,263	5,089	2320
CM-P, JSS	4,837	5,498	0971
CM-P, TNP	5,609	4,680	0246
CM-P, TNS	4,259	4,815	0932
CM-S, JSP	3,258	5,358	2276
CM-S, JSS	4,441	5,208	0880
CM-S, TNP	5,813	4,652	0184
CM-S, TNS	4,262	4,493	0921
JSP, JSS	1,352	6,005	6550
JSP, TNP	2,324	5,445	3979
JSP, TNS	874	5,388	7187
JSS, TNP	1872	5,283	7143
JSS, TNS	-378	5,209	8864
TNP, TNS	-1,350	4,552	8545

Tableau ANOVA pour TCRBV02

ddl	Somme des carrés	Carré moyen	Valeur de F	Niveau de p.	Puissance
3	2280,845	452,169	12,348	<0,001	91,745
75	2850,019	37,867			1,000

Tableau de moyennes pour TCRBV02

Nombre	Moyenne	Diff. Std.	Err. Std.
CM-P	10	18,062	11,485
CM-S	17	15,334	4,730
JSP	8	8,819	3,810
JSS	10	8,401	4,782
TNP	16	5,488	2,644
TNS	16	4,234	2,115

Graphique des interactions pour TCRBV02

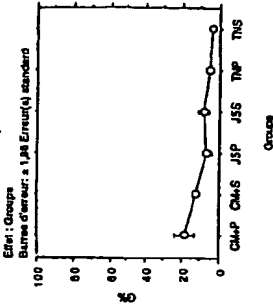


Tableau ANOVA pour TCRBV01

ddl	Somme des carrés	Carré moyen	Valeur de F	Niveau de p.	Puissance
3	432,885	86,584	2,011	0,068	10,854
75	3272,848	43,638			0,840

Tableau de moyennes pour TCRBV01

Nombre	Moyenne	Diff. Std.	Err. Std.
CM-P	13	11,087	6,348
CM-S	17	11,091	6,232
JSP	8	7,402	9,117
JSS	10	6,489	1,723
TNP	16	6,476	1,746
TNS	17	6,828	6,168

Graphique des interactions pour TCRBV01

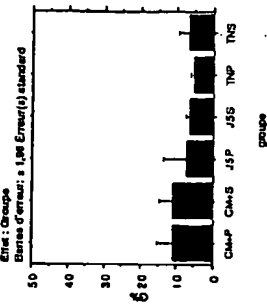


Figure 70

CM+ contains J6
TN contains J3

Test PLSD de Fisher pour TCRB104
Effet : Groupe
Niveau de signification: 0 %

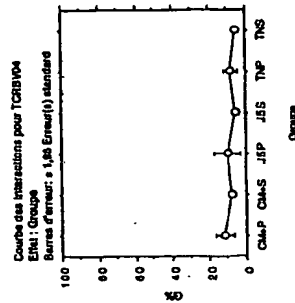
	Q1	med.	Q3	cat.	Erreur p.
CM-P, CM-S	4,086	4,797	5,053		0,053
CM-P, JSP	1,408	5,626	5,744		
CM-P, JSS	6,223	5,593	5,070		0
CM-P, TNP	3,388	2,797	1,435		
CM-P, TNS	5,086	4,064	0,167		0
CM-S, JSP	2,460	5,276	3,741		
CM-S, JSS	2,101	5,297	4,181		
CM-S, TNP	0,479	4,559	2,075		
CM-S, TNS	2,023	4,028	3,000		
JSP, JSS	4,021	5,107	1,180		
JSP, TNP	1,781	5,178	3,193		
JSP, TNS	4,488	5,538	1,107		
JSS, TNP	2,840	5,297	2,890		
JSS, TNS	1,133	5,156	8,007		
TNP, TNS	2,703	4,523	2,470		

Tableau ANOVA pour TCRB104
Effet : Groupe
Somme des carrés Carré moyen Valeur de F Limite de P. Puissance

Groupe	SS	MS	F	P	Power
CM-P	380,352	76,070	1,758	0,128	0,593
CM-S	3450,317	44,550			
JSP					
JSS					
TNP					
TNS					

Tableau de moyennes pour TCRB104

Nombre	Moyenne	Dev. Std.	Err. Std.
CM-P	14	11,224	2,503
CM-S	17	7,858	3,913
JSP	9	10,016	10,832
JSS	10	5,855	2,812
TNP	17	6,235	7,874
TNS	18	5,528	1,724



Test PLSD de Fisher pour TCRB103
Effet : Groupe
Niveau de signification: 0 %

	Q1	med.	Q3	cat.	Erreur p.
CM-P, CM-S	2,271	4,018	2,615		
CM-P, JSP	9,370	4,951	0,002		0
CM-P, JSS	5,474	4,687	0,210		0
CM-P, TNP	5,073	4,018	0,001		0
CM-P, TNS	11,201	4,018	0,001		0
CM-S, JSP	7,599	4,689	0,028		0
CM-S, JSS	3,103	4,018	0,000		0
CM-S, TNP	0,802	3,087	0,000		0
CM-S, TNS	8,890	3,087	0,001		0
JSP, JSS	4,388	5,378	1,078		
JSP, TNP	1,281	4,689	2,448		
JSP, TNS	1,381	4,689	0,703		
JSS, TNP	3,599	4,518	1,187		
JSS, TNS	5,727	4,518	0,127		0
TNP, TNS	2,188	3,087	2,658		

Tableau ANOVA pour TCRB103
Effet : Groupe
Somme des carrés Carré moyen Valeur de F Limite de P. Puissance

Groupe	SS	MS	F	P	Power
CM-P	1527,489	305,498	9,429	<0,001	0,714
CM-S	2527,492	32,404			
JSP					
JSS					
TNP					
TNS					

Tableau de moyennes pour TCRB103

Nombre	Moyenne	Dev. Std.	Err. Std.
CM-P	15	15,603	0,018
CM-S	17	13,392	7,780
JSP	6	5,793	1,245
JSS	10	10,191	5,395
TNP	17	5,590	0,854
TNS	17	4,902	1,388

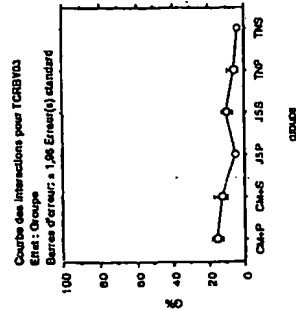


Figure 71

Figure 72

Test PLSD de Fisher pour TCRBw7

Effet : Groupe
Niveau de signification: 5 %

	Châp	Châs	JSP	JSS	TNP	TNS	JSP, TNP	JSS, TNS	TNP, TNS
Châp, Châs	5,108	5,815	0,372	5					
Châp, JSP	11,468	0,821	0,018	8					
Châp, JSS	0,015	0,701	0,197	5					
Châp, TNP	10,433	5,888	0,007	5					
Châp, TNS	8,008	5,739	0,068	8					
Châs, JSP	5,823	5,727	1,242						
Châs, JSS	1,878	5,842	5,784						
Châs, TNP	4,247	5,717	1,432						
Châs, TNS	1,622	5,551	6,164						
JSP, JSS	-3,454	7,542	3,840						
JSP, TNP	-1,036	8,838	2,638						
JSP, TNS	-3,461	8,701	3,071						
JSS, TNP	2,418	5,517	3,881						
JSS, TNS	-0,007	5,474	3,882						
TNP, TNS	-2,425	8,840	3,846						

Tableau ANOVA pour TCRBw7

ddl Somme des carrés Carré moyen Valeur de F Valeur de p Lamode Puissance

Groupe	5	11,42,101	225,830	3,381	0,034	18,008	0,88
Rédu	78	5372,547	69,007				

Tableau de moyennes pour TCRBw7

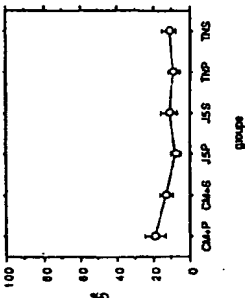
Effet : Groupe

	Nombre	Moyenne	Dev. Std.	Er. Std.
Châp	15	10,350	11,754	3,010
Châs	17	10,068	9,818	2,402
JSP	9	7,781	9,979	1,324
JSS	10	11,235	7,477	2,365
TNP	18	8,817	8,848	1,888
TNS	18	11,242	8,340	1,971

Courbe des interactions pour TCRBw7

Effet : Groupe

Barres d'erreur: ± 1,98 Erreur(s) standard



Test PLSD de Fisher pour TCRBv08

Effet : Groupe
Niveau de signification: 5 %

	Châp	Châs	JSP	JSS	TNP	TNS	JSP, TNP	JSS, TNS	TNP, TNS
Châp, Châs	5,325	5,858	0,001	8					
Châp, JSP	6,538	0,735	0,055	5					
Châp, JSS	6,631	0,735	0,055	5					
Châp, TNP	7,650	8,659	0,087	8					
Châp, TNS	8,588	5,584	0,218	8					
Châs, JSP	6,215	6,585	0,060						
Châs, JSS	5,307	6,585	0,208						
Châs, TNP	4,325	5,478	1,201						
Châs, TNS	3,241	5,402	3,360						
JSP, JSS	-2,808	7,630	4,444						
JSP, TNP	-1,880	6,585	6,684						
JSP, TNS	-2,874	6,521	3,888						
JSS, TNP	1,018	6,685	7,580						
JSS, TNS	-0,084	6,621	6,841						
TNP, TNS	-1,084	6,402	6,807						

Tableau ANOVA pour TCRBv08

ddl Somme des carrés Carré moyen Valeur de F Valeur de p Lamode Puissance

Groupe	5	780,066	157,013	2,427	0,049	12,257	7,15
Rédu	78	8087,612	84,400				

Tableau de moyennes pour TCRBv08

Effet : Groupe

	Nombre	Moyenne	Dev. Std.	Er. Std.
Châp	15	12,007	9,820	2,528
Châs	17	13,832	9,328	2,284
JSP	9	7,487	2,438	0,811
JSS	10	10,375	8,188	2,573
TNP	17	9,357	6,548	1,588
TNS	18	10,441	9,028	2,128

Courbe des interactions pour TCRBv08

Effet : Groupe

Barres d'erreur: ± 1,98 Erreur(s) standard

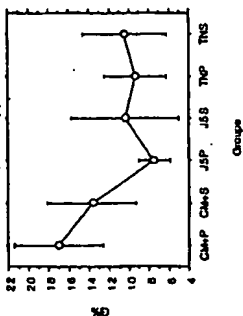


Figure 73

Test PLSD de Fisher pour TCRBVol.2

Effet : Groupe
Niveau de signification: 5 %

	Diff. moy.	Diff. crt.	Valeur p
CM-P, CM-S	-0,05	3,763	,6023
CM-P, JSP	1,073	4,821	,4732
CM-P, JSS	1,007	4,317	,3817
CM-P, TNP	2,585	3,783	,1754
CM-P, TNS	1,962	3,715	,2013
CM-S, JSP	2,052	4,470	,2394
CM-S, JSS	2,086	4,155	,1682
CM-S, TNP	3,572	3,576	,0502
CM-S, TNS	2,031	3,526	,1020
JSP, JSS	234	4,845	,8250
JSP, TNP	,012	4,470	,9855
JSP, TNS	,289	4,490	,9041
JSS, TNP	,677	4,155	,7464
JSS, TNS	,034	4,112	,9857
TNP, TNS	-,843	3,526	,7176

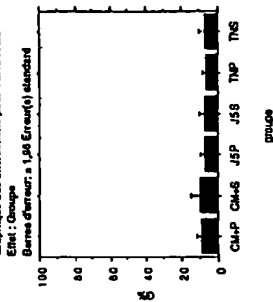
Tableau ANOVA pour TCRBVol.2

ddl	Somme des carrés	Carré moyen	Valeur de F	Valeur de p	Lambda	Puissance
Groupe	8	110,431	35,016	,1017	,3818	,5481
Residu	75	2,150,073	27,454			

Tableau de moyennes pour TCRBVol.2

Nombre	Moyenne	Dev. Std.	Er. Std.
CM-P	14	9,166	4,074
CM-S	17	10,574	7,937
JSP	6	7,515	2,042
JSS	10	7,076	4,139
TNP	17	7,001	5,138
TNS	18	7,644	5,285

Graphique des interactions pour TCRBVol.2



Test PLSD de Fisher pour TCRBVol.1

Effet : Groupe
Niveau de signification: 5 %

	Diff. moy.	Diff. crt.	Valeur p
CM-P, CM-S	-2,297	2,760	,8505
CM-P, JSP	3,375	3,256	,0424
CM-P, JSS	3,722	3,155	,0214
CM-P, TNP	3,663	2,750	,0017
CM-P, TNS	4,825	2,715	,0008
CM-S, JSP	3,671	3,141	,0226
CM-S, JSS	4,015	3,037	,0102
CM-S, TNP	3,859	2,614	,0035
CM-S, TNS	5,172	2,877	,0001
JSP, JSS	347	3,501	,8442
JSP, TNP	,288	3,141	,8858
JSP, TNS	1,500	3,111	,3400
JSS, TNP	-,059	3,037	,9693
JSS, TNS	1,154	3,005	,4471
TNP, TNS	1,819	2,877	,3510

Tableau ANOVA pour TCRBVol.1

ddl	Somme des carrés	Carré moyen	Valeur de F	Valeur de p	Lambda	Puissance
Groupe	5	359,610	79,362	,0005	,0005	,913
Residu	79	1157,847	14,655			

Tableau de moyennes pour TCRBVol.1

Nombre	Moyenne	Dev. Std.	Er. Std.
CM-P	14	10,344	4,444
CM-S	17	10,440	6,381
JSP	6	6,988	1,829
JSS	10	6,822	2,787
TNP	17	6,981	1,823
TNS	18	5,493	2,592

Graphique des interactions pour TCRBVol.1

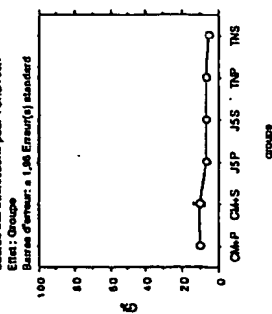


Figure 74

Tableau ANOVA pour TCRBVol3

Effet	Somme des carrés	Carré moyen	Valeur de F	Valeur de p	Liberté	Puissance
g	485,185	48,033	3,518	,0084	17,582	,908
g*deu	222,023	28,127				

Tableau des moyennes pour TCRBVol3

Effet	g	deu	Liberté	g	deu	Liberté	g	deu	Liberté
g	18	9,855	10,118	2,523					
deu	17	6,590	5,855	1,342					
g*deu	8	6,072	2,450	,988					
g	10	3,777	1,782	,543					
deu	17	4,949	2,433	,590					
g*deu	17	3,743	1,408	,341					

Graphique des interactions pour TCRBVol3

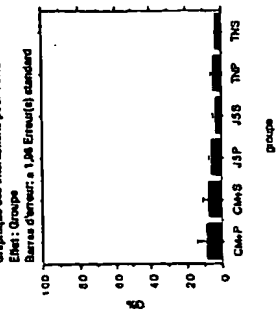


Figure 75

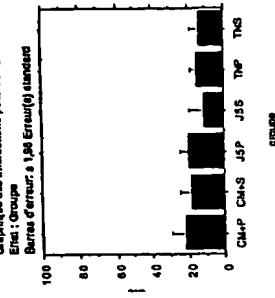
Tableau ANOVA pour TCRBVol3

Effet	Somme des carrés	Carré moyen	Valeur de F	Valeur de p	Liberté	Puissance
g	601,658	180,371	1,819	,1086	9,485	,001
g*deu	6174,114	84,880				

Tableau des moyennes pour TCRBVol3

Effet	g	deu	Liberté	g	deu	Liberté	g	deu	Liberté
g	15	22,053	18,552	3,405					
deu	12	10,176	10,654	2,027					
g*deu	2	20,587	6,861	2,404					
g	3	15,018	10,703	3,764					
deu	16	15,104	5,480	1,270					
g*deu	12	14,248	6,573	2,417					

Graphique des interactions pour TCRBVol3



Test PLSD de Fisher pour TCRBVol3

Effet	g	deu	Liberté	g	deu	Liberté	g	deu	Liberté
g	15	22,053	18,552	3,405					
deu	12	10,176	10,654	2,027					
g*deu	2	20,587	6,861	2,404					
g	3	15,018	10,703	3,764					
deu	16	15,104	5,480	1,270					
g*deu	12	14,248	6,573	2,417					

Test PLSD de Fisher pour TCRBV11

Effet : Groupe
Niveau de signification : 5 %

	DM. moy.	DM. crit.	Valeur p
CM+P, CM+S	2,769	3,277	,0029
CM+P, JSP	6,070	3,092	,0045
CM+P, JSS	3,089	3,044	,0470
CM+P, TNP	8,432	3,277	,0016
CM+P, TNS	4,064	3,277	,0042
CM+S, JSP	3,071	3,048	,1255
CM+S, JSS	1,020	3,799	,5663
CM+S, TNP	2,640	3,223	,1070
CM+S, TNS	2,084	3,223	,2058
JSP, JSS	-1,172	4,430	,3770
JSP, TNP	-5,431	3,048	,0284
JSP, TNS	-1,008	3,048	,0130
JSS, TNP	1,541	3,799	,4214
JSS, TNS	,896	3,799	,6138
TNP, TNS	-,575	3,223	,2231

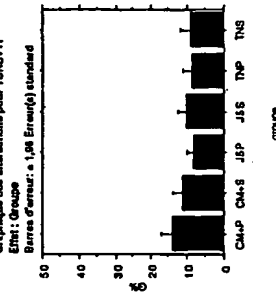
Tableau ANOVA pour TCRBV11

Groupe	SS	Somme des carrés	Carré moyen	Valeur de F	Valeur de p	Limite	Prévalence
Réglé	74	1549,380	20,938	5,116	,0132	16,178	,057

Tableau de moyennes pour TCRBV11

Effet : Groupe	Nombre	Moyenne	DM. Std.	Er. Std.
CM+P	16	16,370	5,315	1,330
CM+S	16	11,871	4,074	1,109
JSP	9	8,600	2,322	,821
JSS	9	10,472	3,215	1,109
TNP	16	8,231	4,025	1,156
TNS	16	9,508	4,936	1,239

Graphique des interactions pour TCRBV11



Test PLSD de Fisher pour TCRBV10

Effet : Groupe
Niveau de signification : 5 %

	DM. moy.	DM. crit.	Valeur p
CM+P, CM+S	3,902	6,764	,2542
CM+P, JSP	5,284	7,072	,1008
CM+P, JSS	3,024	7,072	,4523
CM+P, TNP	4,193	6,764	,2109
CM+P, TNS	6,322	6,684	,0028
CM+S, JSP	1,163	7,072	,7508
CM+S, JSS	-1,878	7,072	,8770
CM+S, TNP	3,800	6,764	,0322
CM+S, TNS	3,421	6,684	,4717
JSP, JSS	-2,280	9,010	,6189
JSP, TNP	-1,022	7,072	,7698
JSP, TNS	1,039	7,072	,7938
JSS, TNP	1,189	7,072	,7712
JSS, TNS	3,899	7,072	,4075
TNP, TNS	2,131	6,684	,5593

Tableau de moyennes pour TCRBV10

Effet : Groupe	Nombre	Moyenne	DM. Std.	Er. Std.
CM+P	16	12,820	17,634	4,408
CM+S	16	9,710	2,801	,876
JSP	9	7,338	5,658	2,318
JSS	9	9,696	6,857	2,864
TNP	16	8,428	7,638	1,910
TNS	17	6,287	4,503	1,092

Graphique des interactions pour TCRBV10

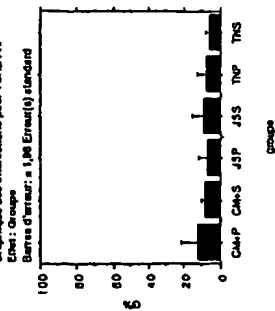


Figure 76

Test PLSD de Fisher pour TCRBY13

Effet : Groupe
Niveau de signification: 5 %

	Dét. moy.	Dét. crit.	Valeur p
CM-P, CM-S	3,417	4,112	.1020
CM-P, JSP	.937	4,988	.7981
CM-P, JSS	1,505	5,049	.8546
CM-P, TNP	2,021	4,180	.3373
CM-P, TNS	5,937	4,112	.0132
CM-S, JSP	2,780	4,987	.2421
CM-S, JSS	1,512	4,988	.3300
CM-S, TNP	1,396	5,066	.4656
CM-S, TNS	1,821	5,066	.3563
JSP, JSS	.868	5,526	.7557
JSP, TNP	1,864	4,742	.5850
JSP, TNS	4,801	4,997	.9527
JSS, TNP	.517	4,833	.3353
JSS, TNS	3,733	4,885	.1321
TNP, TNS	3,216	5,866	.1106

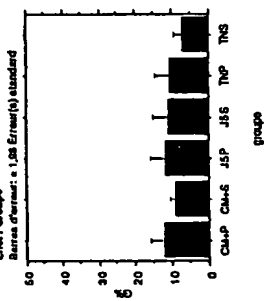
Tableau ANOVA pour TCRBY13

ddl	Somme des carrés	Carré moyen	Valeur de F	Valeur de p	Lambda	Puissance
Groupe	5	271,664	54,333	1,881	.1545	8,306
Résidu	78	2,453,157	31,208			.541

Tableau de moyennes pour TCRBY13

Effet : Groupe	Nombre	Moyenne	Dét. Std.	Err. Std.
CM-P	14	12,837	5,867	1,555
CM-S	17	9,250	2,776	.973
JSP	9	12,000	6,015	2,005
JSS	6	11,132	5,742	2,030
TNP	16	10,816	8,055	2,014
TNS	17	7,400	4,151	1,007

Graphique des interactions pour TCRBY13



Test PLSD de Fisher pour TCRBY12

Effet : Groupe
Niveau de signification: 5 %

	Dét. moy.	Dét. crit.	Valeur p
CM-P, CM-S	5,216	5,059	.0485
CM-P, JSP	5,504	5,075	.0859
CM-P, JSS	4,388	5,088	.0308
CM-P, TNP	7,285	4,982	.0043
CM-P, TNS	4,121	4,982	.1043
CM-S, JSP	1,888	5,445	.0184
CM-S, JSS	1,985	5,442	.0940
CM-S, TNP	2,950	4,718	.3187
CM-S, TNS	1,095	4,718	.6454
JSP, JSS	1,782	5,225	.8008
JSP, TNP	1,782	5,685	.5116
JSP, TNS	1,389	5,685	.6234
JSS, TNP	.876	5,400	.7215
JSS, TNS	2,175	5,400	.4240
TNP, TNS	3,145	4,647	.1817

Tableau ANOVA pour TCRBY12

ddl	Somme des carrés	Carré moyen	Valeur de F	Valeur de p	Lambda	Puissance
Groupe	5	440,110	88,022	1,802	.1028	8,510
Résidu	78	3,517,937	45,077			.610

Tableau de moyennes pour TCRBY12

Effet : Groupe	Nombre	Moyenne	Dét. Std.	Err. Std.
CM-P	13	29,706	10,387	2,848
CM-S	18	21,480	8,750	1,438
JSP	9	21,902	7,031	2,244
JSS	10	20,410	3,861	1,003
TNP	17	19,440	4,775	1,158
TNS	17	22,593	7,476	1,813

Graphique des interactions pour TCRBY12

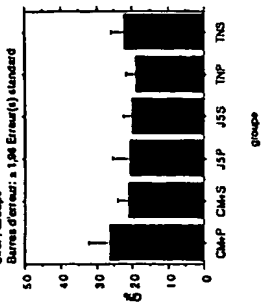


Figure 77

WO 2004/003820

Test PLSD de Fisher pour TCRBV15

Effet : Groupe
Niveau de signification : 5 %

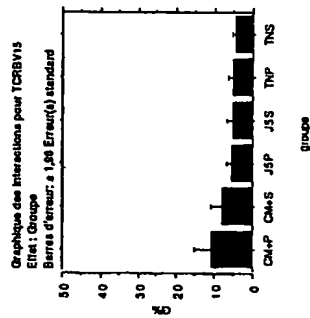
	Diff. moy.	Diff. crit.	Valeur p
CM-P, CM-S	2,884	3,272	,0752
CM-P, JSP	5,421	4,164	,0114
CM-P, JSS	5,524	3,758	,0043
CM-P, TNP	5,449	3,272	,0014
CM-P, TNS	6,422	3,272	,0002
CM-S, JSP	2,437	3,889	,2274
CM-S, JSS	2,441	3,640	,1580
CM-S, TNP	2,405	3,046	,1112
CM-S, TNS	3,434	3,046	,0275
JSP, JSS	,104	4,377	,9823
JSP, TNP	,026	3,889	,9868
JSP, TNS	1,001	3,889	,0184
JSS, TNP	,076	3,440	,9892
JSS, TNS	,888	3,440	,0148
TNP, TNS	,873	3,046	,0284

Tableau ANOVA pour TCRBV15

ddl	Somme des carrés	Carré moyen	Valeur de F	Valeur de p	Lambda	Puissance
Groupe	392,518	78,504	3,845	,0031	19,747	,938
Residu	1490,804	19,877				

Tableau de moyennes pour TCRBV15

Effet : Groupe	Nombre	Moyenne	Dev. Std.	Err. Std.
CM-P	13	11,151	7,282	2,023
CM-S	17	9,107	6,814	1,580
JSP	7	6,790	1,647	,522
JSS	10	6,626	1,658	,527
TNP	17	6,702	2,055	,502
TNS	17	4,728	1,804	,462



Test PLSD de Fisher pour TCRBV14

Effet : Groupe
Niveau de signification : 5 %

	Diff. moy.	Diff. crit.	Valeur p
CM-P, CM-S	2,256	3,605	,1130
CM-P, JSP	3,564	3,383	,0381
CM-P, JSS	4,488	3,239	,0075
CM-P, TNP	3,870	2,781	,0068
CM-P, TNS	4,429	2,722	,0018
CM-S, JSP	1,368	3,383	,4417
CM-S, JSS	2,210	3,239	,1781
CM-S, TNP	1,612	2,781	,2484
CM-S, TNS	2,171	2,722	,1161
JSP, JSS	,805	3,733	,6303
JSP, TNP	,306	3,327	,8549
JSP, TNS	,868	3,284	,6020
JSS, TNP	,588	3,201	,7108
JSS, TNS	,039	3,187	,9803
TNP, TNS	,559	2,878	,0762

Graphique des interactions pour TCRBV14

Effet : Groupe

Barres d'erreur : 1,98 Erreur(s) standard

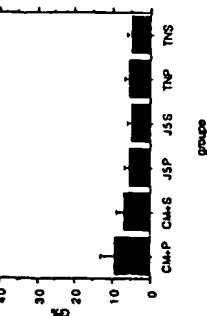


Figure 78

Tableau ANOVA pour TCRBV18

ddl	Somme des carrés	Carré moyen	Valeur de F	Valeur de p	Lambda	Puissance
5	1293,374	246,876	5,074	,0005	25,371	,984
Residu	74	3597,309	48,613			

Tableau de moyennes pour TCRBV18

Effectif : Groupe	Nombre	Moyenne	Dev. Std.	Ert. Std.
CM+P	13	20,499	10,847	3,008
CM+S	17	15,442	8,952	1,886
JSP	9	12,342	4,375	1,450
JSS	10	13,609	9,823	3,108
TNP	14	9,828	3,391	,808
TNS	17	9,211	3,882	,941

Test PLSD de Fisher pour TCRBV18

ddl	Somme des carrés	Carré moyen	Valeur de F	Valeur de p
5	1293,374	246,876	5,074	,0005
Residu	74	3597,309	48,613	

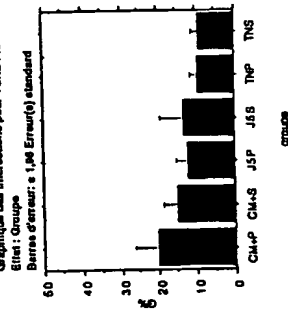
Tableau ANOVA pour TCRBV18

ddl	Somme des carrés	Carré moyen	Valeur de F	Valeur de p	Lambda	Puissance
5	893,378	180,676	4,079	,0005	24,066	,982
Residu	77	3072,420	39,902			

Tableau de moyennes pour TCRBV18

Efici : Groupe	Nombre	Moyenne	Dev. Std.	Ert. Std.
CM+P	16	16,315	6,773	1,749
CM+S	17	11,865	7,007	1,845
JSP	8	8,828	4,243	1,414
JSS	10	11,178	11,924	3,771
TNP	16	6,374	1,705	,428
TNS	16	5,747	1,577	,384

Graphique des interactions pour TCRBV18



Graphique des interactions pour TCRBV18

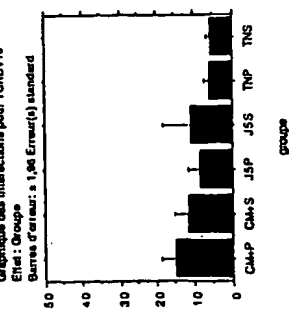


Figure 79

Tableau ANOVA pour TCRBV20

ddl	Somme des carrés	Carré moyen	Valeur de F	Valeur de p	Limite de p	Puissance
Groupe	3	747,883	149,837	5,122	,0128	15,008
Réduits	76	3729,485	47,804			,860

Tableau de moyennes pour TCRBV20

Effet : Groupe	Nombre	Moyenne	Dev. Std.	Err. Std.
Châ-P	14	19,650	12,893	3,382
Châ-S	17	12,700	9,534	1,585
JSP	8	10,633	5,188	1,308
JSS	10	11,711	5,368	1,697
TNP	17	12,075	4,898	1,138
TNS	17	11,108	5,593	,871

Test PLSD de Fisher pour TCRBV20

Effet : Groupe	Diff. moy.	Diff. crit.	Valeur p
Châ-P, Châ-S	6,950	4,973	,0008 S
Châ-P, JSP	8,116	5,887	,0028 S
Châ-P, JSS	7,939	5,705	,0070 S
Châ-P, TNP	6,974	4,973	,0008 S
Châ-P, TNS	6,482	4,973	,0011 S
Châ-S, JSP	2,187	5,680	,4469
Châ-S, JSS	,920	5,491	,7208
Châ-S, TNP	,028	4,728	,9917
Châ-S, TNS	1,532	4,728	,5206
JSP, JSS	-1,177	6,331	,7122
JSP, TNP	-2,142	5,680	,4551
JSP, TNS	-,835	5,680	,8243
JSS, TNP	-,895	5,491	,7275
JSS, TNS	,542	5,491	,8445
TNP, TNS	1,507	4,728	,5274

Graphique des interactions pour TCRBV20

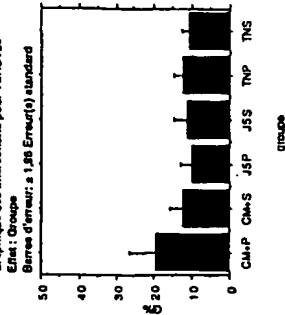


Figure 80

Paramètres du pic à récupérer

Taille 216

Nature TCRBV 52

Ecrit 13

Analyse RuV = - moyenne
- Sema oligo

DC → OG

Paramètres des fichiers à utiliser

	Classeur	Feuille	Groupe	Nature	Remarque
1	DataFormater OG/009 v1.01	Data.1	1	RT11	
2	DataFormater OG/008 v1.03	Data.2	1	RT12	
3	DataFormater OG/007 v1.04	Data.3	1	RT13	
4	DataFormater OG/009 v1.01	Data.2	1	RT14	
5	DataFormater OG/008 v1.03	Data.3	1	RT15	
6	DataFormater OG/005.4 v1.01	Data.3	1	RT28	
7	DataFormater OG/009 v1.01	Data.3	1	RT29	
8	DataFormater OG/003 v1.01	Data.2	1	RT30	
9	DataFormater OG/003 v1.01	Data.3	1	RT31	
29	DataFormater OG/019 v1.04	Data.3	2	RS21	
30	DataFormater OG/020 v1.01	Data.2	2	RS22	
31	DataFormater OG/022 v1.04	Data.1	2	RS23	
32	DataFormater OG/021 v1.04	Data.2	2	RS24	
33	DataFormater OG/022 v1.04	Data.2	2	RS25	
19	DataFormater OG/015 v1.04	Data.2	3	R3*16	
20	DataFormater OG/019 v1.04	Data.1	3	R3*17	
21	DataFormater OG/016 v1.04	Data.2	3	R3*18	
22	DataFormater OG/019 v1.04	Data.2	3	R3*19	
23	DataFormater OG/017 v1.01	Data.2	3	R3*20	
39	DataFormater OG/010 v1.04	Data.2	4	R3*S06	
40	DataFormater OG/013 v1.04	Data.1	4	R3*S07	
41	DataFormater OG/011 v1.04	Data.2	4	R3*S08	
42	DataFormater OG/013 v1.04	Data.2	4	R3*S09	
43	DataFormater OG/012 v1.04	Data.2	4	R3*S10	

Figure 81

Score RT		Score RS		Score R3*		Score R3'S	
TCRBV15 :174	0,16	TCRBV08.1 :231	0,32	TCRBV15 :174	0,14	TCRBV15 :174	0,15
TCRBV15 :177	0,15	TCRBV15 :174	0,19	TCRBV16 :148	0,13	TCRBV15 :177	0,13
TCRBV19 :167	0,14	TCRBV05.2 :216	0,18	TCRBV15 :177	0,12	TCRBV05.2 :216	0,12
TCRBV16 :148	0,11	TCRBV10 :138	0,15	TCRBV03 :153	0,10	TCRBV05.2 :213	0,10
TCRBV15 :171	0,10	TCRBV15 :177	0,14	TCRBV09 :150	0,09	TCRBV05.1 :228	0,09
TCRBV05.2 :216	0,10	TCRBV05.1 :225	0,14	TCRBV13 :168	0,09	TCRBV08.1 :231	0,08
TCRBV16 :151	0,09	TCRBV05.1 :222	0,13	TCRBV15 :171	0,09	TCRBV15 :171	0,08
TCRBV14 :158	0,09	TCRBV05.2 :219	0,13	TCRBV10 :138	0,09	TCRBV05.1 :225	0,08

Score RT		Score RS		Score R3*		Score R3'S	
TCRBV01	7,22	5,99	9,87	6	6	6	6
TCRBV02	3,49	6,01	6,13	16	16	16	16
TCRBV03	15,85	16,58	16,28	18	18	18	18
TCRBV04	13,12	18,02	17,95	27	27	27	27
TCRBV05.1	9,42	23,63	24,96	12	12	12	12
TCRBV05.2	7,40	12,10	12,44	8	8	8	8
TCRBV06	13,04	12,37	6,61	9	9	9	9
TCRBV07	3,81	6,49	4,57	12	12	12	12
TCRBV08.1	2,40	18,20	5,98	16	16	16	16
TCRBV08.2	13,38	21,83	14,72	5	5	5	5
TCRBV08.3	4,50	8,26	5,98	28	28	28	28
TCRBV09	15,74	18,39	23,49	8	8	8	8
TCRBV10	6,93	11,33	11,69	9	9	9	9
TCRBV11	7,35	7,88	5,97	13	13	13	13
TCRBV12	14,78	14,66	8,34	9	9	9	9
TCRBV13	11,25	10,17	12,27	7	7	7	7
TCRBV14	3,28	8,20	5,43	9	9	9	9
TCRBV15	7,85	8,52	9,27	12	12	12	12
TCRBV16	17,11	15,19	13,97	19	19	19	19
TCRBV18	15,28	11,24	15,53	11	11	11	11
TCRBV20	11,82	16,43	11,61				

Figure 82

Paramètres du pic à récupérer

Taille 216

Nature TCRBV5.2

Ecrit 13

AC-006
Analyse foie.

Paramètres des fichiers à utiliser

	Classeur	Feuille	Groupe	Nature	Remarque
10	DataFormater OG/006 v1.01	Data.1	1	FT11	
11	DataFormater OG/006 v1.01	Data.2	1	FT12	
12	DataFormater OG/007 v1.04	Data.1	1	FT13	
13	DataFormater OG/007 v1.04	Data.2	1	FT14	
14	DataFormater OG/008 v1.03	Data.1	1	FT15	
15	DataFormater OG/003 v1.01	Data.1	1	FT26	
16	DataFormater OG/005.4 v1.01	Data.1	1	FT27	
17	DataFormater OG/005.4 v1.01	Data.2	1	FT28	
18	DataFormater OG/006 v1.01	Data.3	1	FT29	
24	DataFormater OG/015 v1.04	Data.1	2	F3*16	
25	DataFormater OG/015 v1.04	Data.3	2	F3*17	
26	DataFormater OG/016 v1.04	Data.1	2	F3*18	
27	DataFormater OG/016 v1.04	Data.3	2	F3*19	
28	DataFormater OG/017 v1.01	Data.1	2	F3*20	
34	DataFormater OG/017 v1.01	Data.3	3	FS21	
35	DataFormater OG/020 v1.01	Data.1	3	FS22	
36	DataFormater OG/020 v1.01	Data.3	3	FS23	
37	DataFormater OG/021 v1.04	Data.1	3	FS24	
38	DataFormater OG/021 v1.04	Data.3	3	FS25	
44	DataFormater OG/012 v1.04	Data.3	4	F3*S01	
45	DataFormater OG/033 v1.04	Data.3	4	F3*S02	
46	DataFormater OG/014 v1.01	Data.1	4	F3*S03	
47	DataFormater OG/014 v1.01	Data.2	4	F3*S04	
48	DataFormater OG/014 v1.01	Data.3	4	F3*S05	
49	DataFormater OG/010 v1.04	Data.1	4	F3*S06	
50	DataFormater OG/010 v1.04	Data.3	4	F3*S07	
51	DataFormater OG/011 v1.04	Data.1	4	F3*S08	
52	DataFormater OG/011 v1.04	Data.3	4	F3*S09	
53	DataFormater OG/012 v1.04	Data.1	4	F3*S10	

Figure 83

1551-1584

Classement selon le score d'oligoclonalité pour chacun des groupes

Score FT	Score F3	Score FS	Score F3-S
0.61	TCRBV05.1 : 222	TCRBV05.1 : 222	TCRBV10 : 138
0.29	TCRBV05.1 : 225	TCRBV05.1 : 225	TCRBV15 : 177
0.17	TCRBV19 : 167	TCRBV08.1 : 231	TCRBV13 : 168
0.14	TCRBV09 : 144	TCRBV08.1 : 234	TCRBV09 : 153
0.12	TCRBV09 : 147	TCRBV05.1 : 228	TCRBV05.2 : 216
0.12	TCRBV09 : 150	TCRBV05.2 : 216	TCRBV05.1 : 225
0.10	TCRBV09 : 153	TCRBV08.1 : 228	TCRBV01 : 176
0.10	TCRBV05.2 : 213	TCRBV05.2 : 219	TCRBV10 : 141
0.10	TCRBV09 : 184	TCRBV16 : 148	TCRBV09 : 147
0.09	TCRBV05.2 : 219	TCRBV10 : 138	TCRBV05.2 : 213
0.09	TCRBV05.1 : 228	TCRBV20 : 152	TCRBV15 : 174
0.08	TCRBV14 : 158	TCRBV10 : 141	TCRBV05.2 : 219
0.08	TCRBV13 : 168	TCRBV05.2 : 213	TCRBV01 : 173
0.07	TCRBV05.2 : 222	TCRBV13 : 168	TCRBV06 : 146
0.06	TCRBV01 : 173	TCRBV15 : 174	TCRBV08.1 : 231
0.06	TCRBV12 : 204	TCRBV10 : 135	TCRBV05.1 : 228
0.06	TCRBV10 : 138	TCRBV16 : 145	TCRBV05.1 : 231
0.06	TCRBV01 : 176	TCRBV14 : 158	TCRBV13 : 165
0.06	TCRBV12 : 210	TCRBV09 : 147	TCRBV09 : 150
0.05	TCRBV15 : 174	TCRBV05.2 : 222	TCRBV10 : 135
0.05	TCRBV10 : 141	TCRBV16 : 151	TCRBV06 : 149
0.05	TCRBV12 : 201	TCRBV20 : 155	TCRBV09 : 144
0.05	TCRBV15 : 177	TCRBV15 : 177	TCRBV15 : 171
0.05	TCRBV20 : 155	TCRBV08.2 : 228	TCRBV11 : 154
0.05	TCRBV14 : 155	TCRBV03 : 153	TCRBV14 : 158
0.05	TCRBV20 : 152	TCRBV13 : 165	TCRBV01 : 170
0.05	TCRBV13 : 165	TCRBV20 : 149	TCRBV08.1 : 228
0.04	TCRBV16 : 151	TCRBV07 : 180	TCRBV07 : 180
0.04	TCRBV08.1 : 231	TCRBV14 : 155	TCRBV08.1 : 234
0.04	TCRBV02 : 158	TCRBV19 : 167	TCRBV06 : 143
0.04	TCRBV14 : 161	TCRBV15 : 171	TCRBV05.1 : 222
0.04	TCRBV20 : 149	TCRBV08.3 : 217	TCRBV14 : 161
0.04	TCRBV01 : 179	TCRBV16 : 142	TCRBV03 : 156
0.04	TCRBV08.1 : 228	TCRBV09 : 150	TCRBV08.2 : 228
0.04	TCRBV12 : 207	TCRBV06 : 146	TCRBV07 : 183

Case\$	Groups\$	TCRE
RT3	1	0,00
RT4	1	0,00
RT5	1	0,00
RT6	1	0,00
R11	1	0,00
R12	1	0,00
R13	1	0,00
R14	1	0,00
R15	1	0,00
RS21	2	0,00
RS22	2	0,00
RS23	2	0,00
RS24	2	0,00
RS25	2	0,00
R3*16	3	0,00
R3*17	3	0,00
R3*18	3	0,00
R3*19	3	0,00
R3*17	3	0,00
R3*S6	4	0,00
R3*S7	4	0,00
R3*S8	4	0,00
R3*S9	4	0,00
R3*S10	4	0,00
FT26	5	0,00
FT27	5	0,00
FT28	5	0,00
FT11	5	0,00
FT29	5	0,00
FT12	5	0,87
FT13	5	0,00
FT14	5	2,61
FT15	5	0,00
FS21	6	2,16
FS22	6	0,00
FS23	6	3,29
FS24	6	0,00
FS25	6	0,00
F3*16	7	0,00
F3*17	7	0,00
F3*18	7	0,00
F3*19	7	0,00
F3*20	7	0,00
F3*S1	8	0,00
F3*S2	8	0,00
F3*S3	8	0,00
F3*S4	8	0,00
F3*S5	8	0,00
F3*S6	8	0,00
F3*S7	8	0,00
F3*S8	8	0,00
F3*S9	8	0,00
F3*S10	8	0,00

organe { F = P_{fot}
R = route

groupe
spécimen { T = Témoin
S = directement infecté
3* = immunisé 3 fois
3*S = immunisé 3 fois puis infecté !

Figure 65

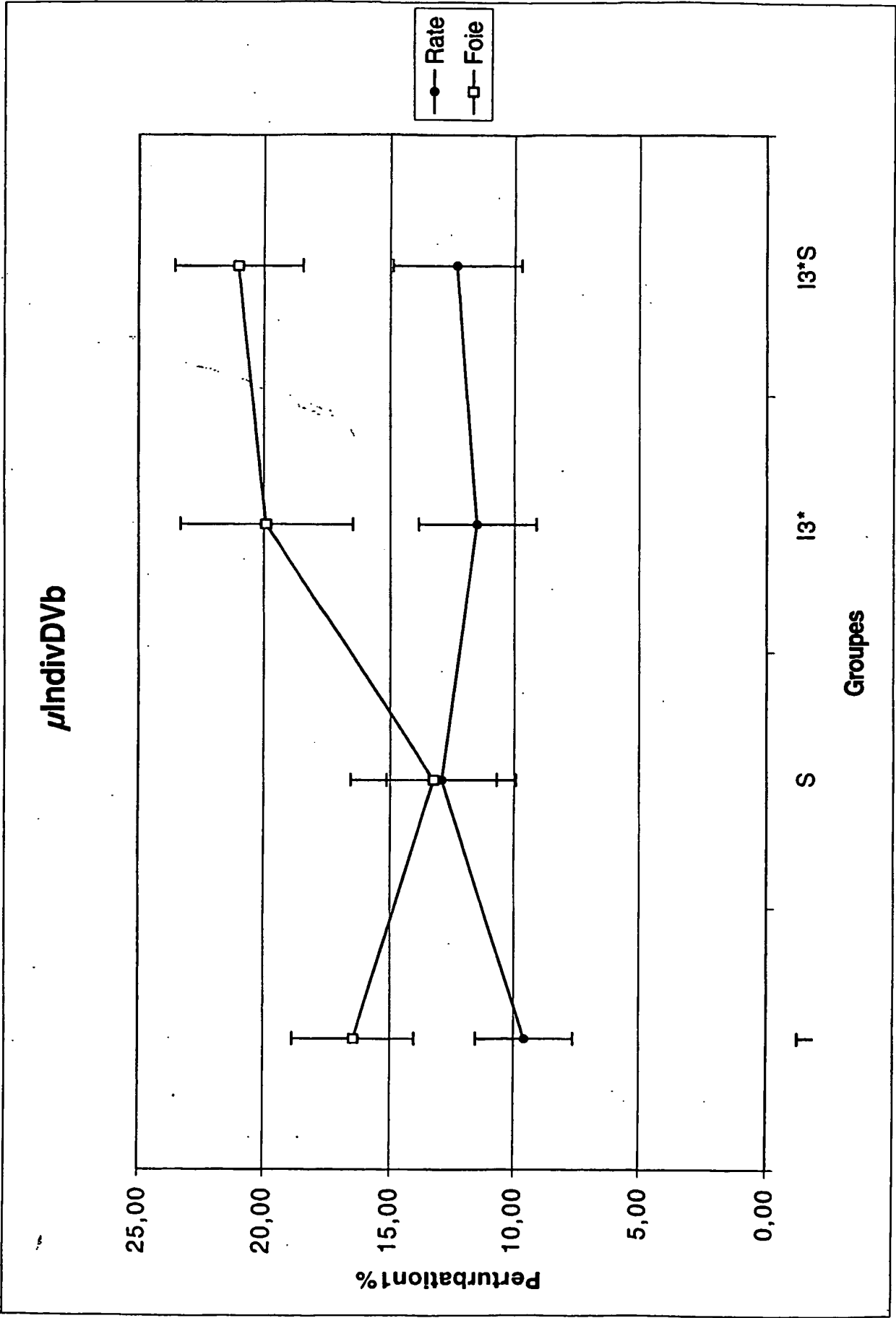


Figure 86

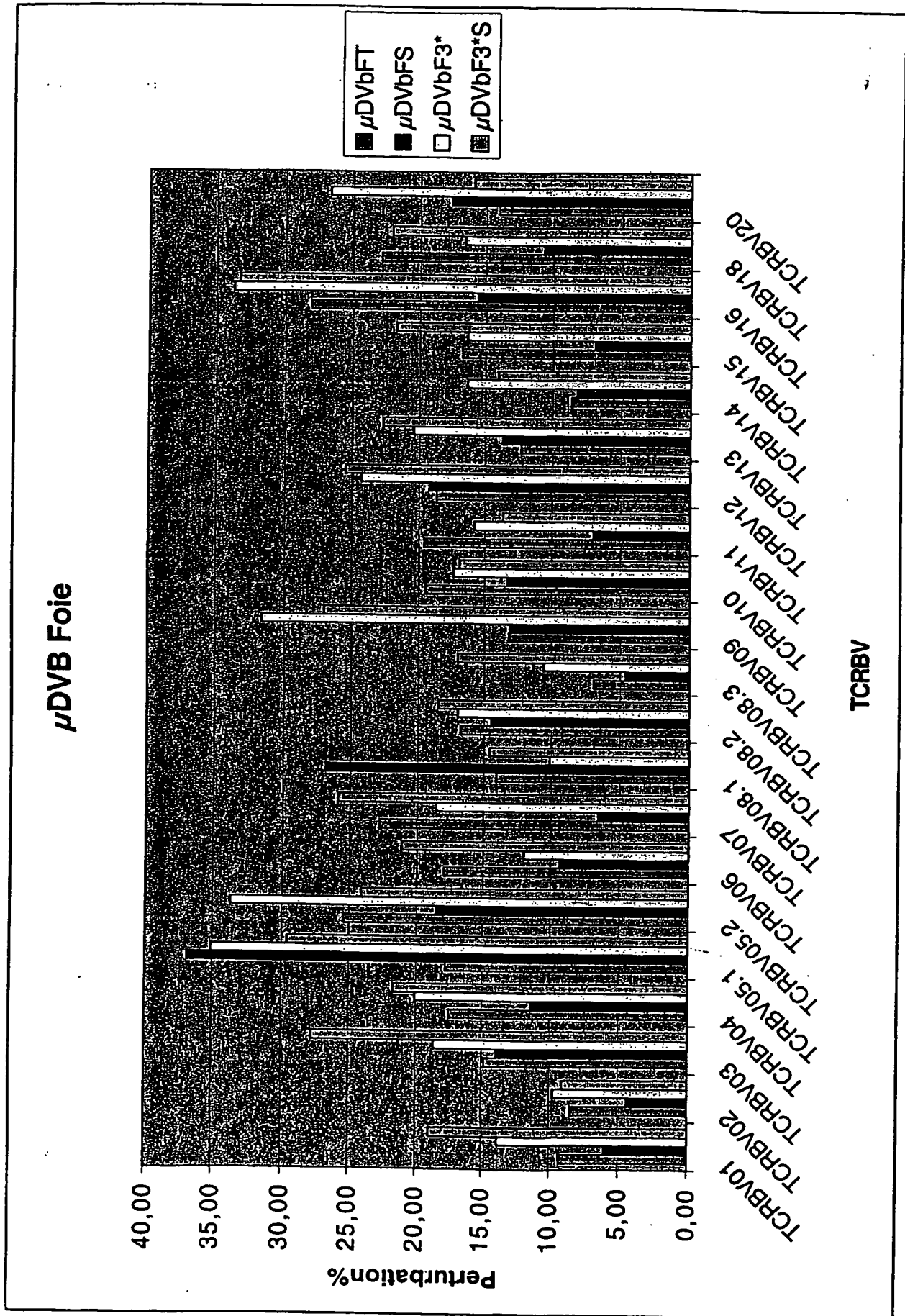


Figure 87

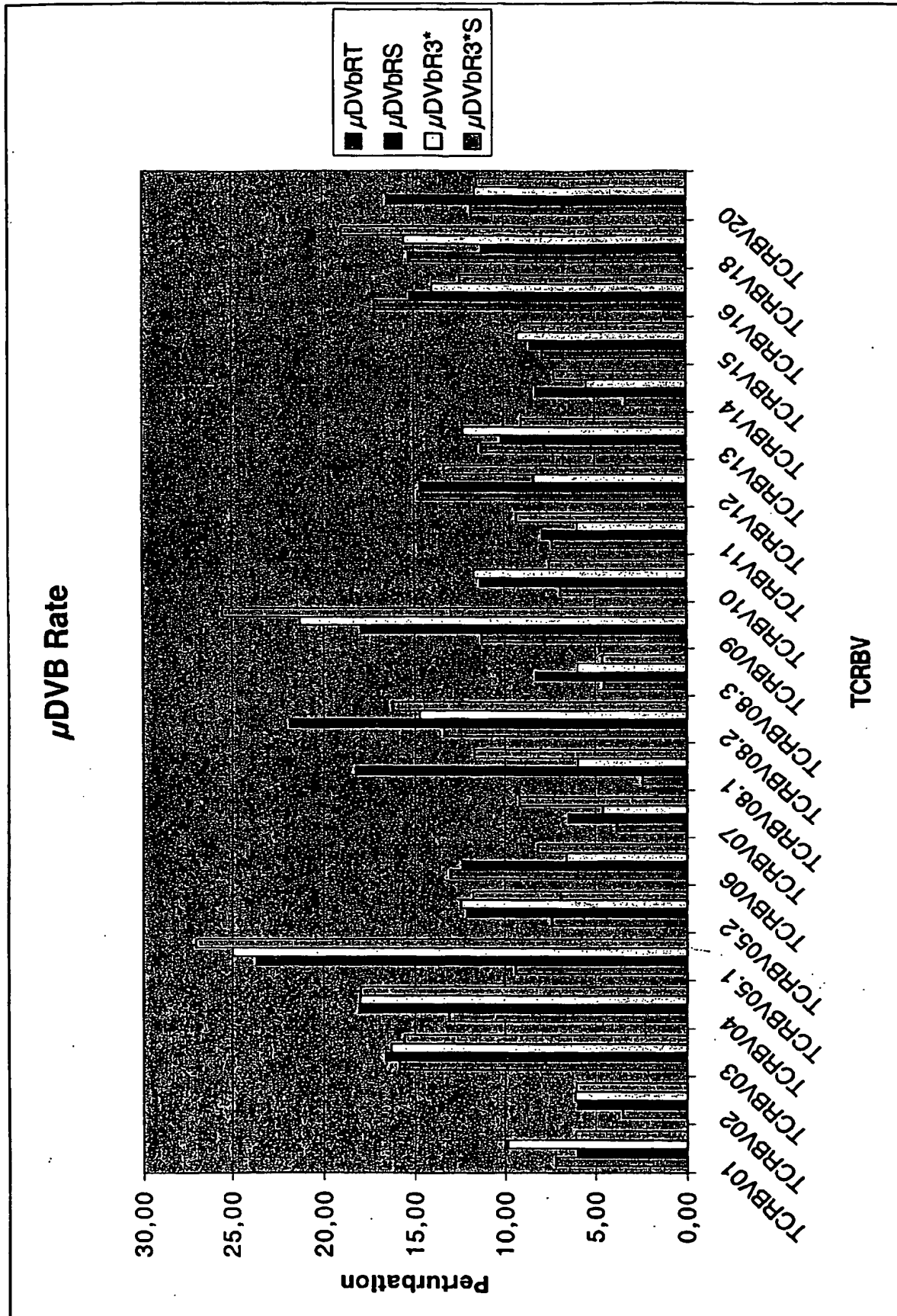


Figure 68



20 FEV. 2001

Analyse ANOVA réalisée à partir du fichier
Gorochov 200201

WO 2004/003820

86/120

10/519950
PCT/IB2003/003339

Tableau ANOVA pour TCRBV01

ddl	Somme des carrés	Carré moyen	Valeur de F	Valeur de p	Lambda	Puissance
3	301,294	100,431	1,066	,3734	3,197	,262
1	345,472	345,472	3,666	,0821	3,666	,451
3	277,688	92,555	,982	,4098	2,946	,243
44	4146,899	94,248				

Tableau ANOVA pour TCRBV02

ddl	Somme des carrés	Carré moyen	Valeur de F	Valeur de p	Lambda	Puissance
3	59,306	19,769	1,781	,1647	5,343	,422
1	113,912	113,912	10,262	,0025	10,262	,897
3	56,971	18,957	1,708	,1792	5,123	,406
44	488,432	11,101				

Tableau de moyennes pour TCRBV01

Effet : Groupe * Organe

	Nombre	Moyenne	Dév. Std.	Err. Std.
T, R	9	7,222	8,452	2,817
T, F	8	8,872	8,703	3,077
S, R	5	5,995	1,464	,655
S, F	5	7,907	,810	,382
I3*, R	5	9,871	9,730	4,352
I3*, F	5	14,886	11,284	5,046
I3*S, R	5	6,113	3,748	1,676
I3*S, F	10	19,010	15,238	4,819

Test PLSD de Fisher pour TCRBV01

Effet : Groupe

Niveau de significativité : 5 %

	T, S	T, I3*	T, I3*S	S, I3*	S, I3*S	I3*, I3*S
Diff. moy.	1,047	-4,385	-6,713	-5,433	-7,760	-2,328
Diff. crit.	7,797	7,797	6,931	8,750	7,988	7,988
Valeur p	,7879	,2631	,0573	,2174	,0566	,5600

Test PLSD de Fisher pour TCRBV01

Effet : Organe

Niveau de significativité : 5 %

	R, F	Diff. moy.	Diff. crit.	Valeur p
		-6,109	5,443	,0287

Courbe des interactions pour TCRBV01

Effet : Groupe * Organe

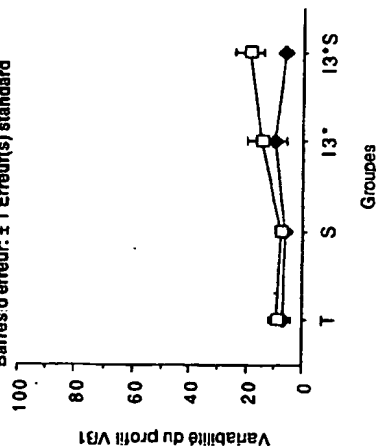
Barres d'erreur: ± 1 Erreur(s) standard

Figure 89

Tableau de moyennes pour TCRBV02

Effet : Groupe * Organe

	Nombre	Moyenne	Dév. Std.	Err. Std.
T, R	9	3,490	2,253	,751
T, F	8	8,657	5,551	1,963
S, R	5	6,006	2,337	1,045
S, F	5	5,307	1,484	,664
I3*, R	5	6,135	1,630	,729
I3*, F	5	10,072	3,988	1,775
I3*S, R	5	6,090	2,025	,906
I3*S, F	10	10,022	3,518	1,113

Test PLSD de Fisher pour TCRBV02

Effet : Groupe

Niveau de significativité : 5 %

	T, S	T, I3*	T, I3*S	S, I3*	S, I3*S	I3*, I3*S
Diff. moy.	,265	-2,181	-2,790	-2,447	-3,055	-.608
Diff. crit.	2,676	2,676	2,379	3,003	2,741	2,741
Valeur p	,8426	,1075	,0226	,1077	,0298	,6570

Test PLSD de Fisher pour TCRBV02

Effet : Organe

Niveau de significativité : 5 %

	R, F	Diff. moy.	Diff. crit.	Valeur p
		-3,692	1,868	,0003

Courbe des interactions pour TCRBV02

Effet : Groupe * Organe

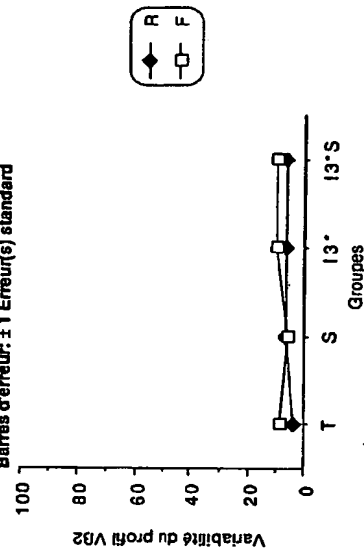
Barres d'erreur: ± 1 Erreur(s) standard

Tableau ANOVA pour TCRBV05.1

	ddl	Somme des carrés	Carré moyen	Valeur de F	Valeur de p	Lambda	Puissance
Groupe	3	2329,744	776,581	12,458	<.0001	37,374	1,000
Organe	1	292,959	292,959	4,700	,0356	4,700	,555
Groupe * Organe	3	157,990	52,663	,845	,4768	2,535	,213
Résidu	44	2742,750	62,335				

Tableau de moyennes pour TCRBV05.1

	Nombre	Moyenne	Dév. Std.	Err. Std.
T, R	9	9,418	9,307	3,102
T, F	8	16,356	10,547	3,729
S, R	5	23,630	4,860	2,174
S, F	5	32,058	4,573	2,045
I3*, R	5	24,959	7,009	3,135
I3*, F	5	30,198	6,922	3,096
I3*S, R	5	26,983	5,618	2,512
I3*S, F	10	26,163	8,018	2,536

Test PLSD de Fisher pour TCRBV05.1

Effet : Groupe

Niveau de significativité : 5 %

	Diff. moy.	Diff. crit.	Valeur p
T, S	-15,161	6,341	<.0001
T, I3*	-14,895	6,341	<.0001
T, I3*S	-13,753	5,637	<.0001
I3*, R	,265	7,116	,9405
I3*, F	1,408	6,496	,6644
I3*, I3*S	1,143	6,496	,7247

Test PLSD de Fisher pour TCRBV05.1

Effet : Organe

Niveau de significativité : 5 %

	Diff. moy.	Diff. crit.	Valeur p
R, F	-5,858	4,426	,0107

Courbe des interactions pour TCRBV05.1

Effet : Groupe * Organe

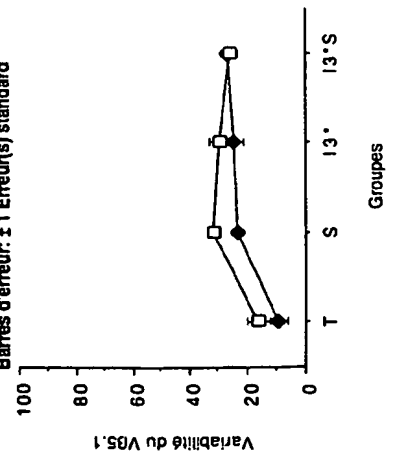
Barres d'erreur: ± 1 Erreur(s) standard

Figure 90

Tableau ANOVA pour TCRBV05.2

	ddl	Somme des carrés	Carré moyen	Valeur de F	Valeur de p	Lambda	Puissance
Groupe	3	1188,456	396,152	4,395	,0086	13,185	,849
Organe	1	2230,335	2230,335	24,743	<.0001	24,743	1,000
Groupe * Organe	3	453,445	151,148	1,677	,1858	5,030	,398
Résidu	44	3966,148	90,140				

Tableau de moyennes pour TCRBV05.2

Effet : Groupe * Organe

Niveau de significativité : 5 %

	Nombre	Moyenne	Dév. Std.	Err. Std.
T, R	9	7,397	8,310	2,770
T, F	8	14,408	6,948	2,456
S, R	5	12,099	9,083	4,062
S, F	5	20,831	9,563	4,277
I3*, R	5	12,444	7,334	3,280
I3*, F	5	34,650	11,084	4,957
I3*S, R	5	11,768	6,884	3,078
I3*S, F	10	28,408	12,840	4,060

Test PLSD de Fisher pour TCRBV05.2

Effet : Groupe

Niveau de significativité : 5 %

	Diff. moy.	Diff. crit.	Valeur p
T, S	-5,769	7,626	,1345
T, I3*	-12,851	7,626	,0015
T, I3*S	-12,165	6,778	,0008
S, I3*	-7,082	8,557	,1024
S, I3*S	-6,397	7,812	,1060
I3*, I3*S	,686	7,812	,8604

Test PLSD de Fisher pour TCRBV05.2

Effet : Organe

Niveau de significativité : 5 %

	Diff. moy.	Diff. crit.	Valeur p
R, F	-13,831	5,323	<.0001

Courbe des interactions pour TCRBV05.2

Effet : Groupe * Organe

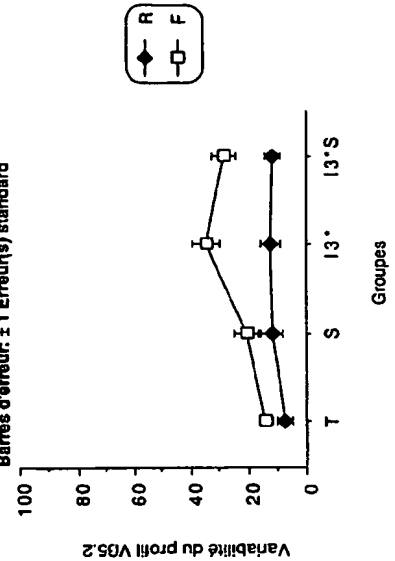
Barres d'erreur: ± 1 Erreur(s) standard

Tableau ANOVA pour TCRBV08.1

ddl	Somme des carrés	Carré moyen	Valeur de F	Lambda	Puissance
3	1122,158	374,053	4,322	,0092	,843
1	693,580	693,580	8,013	,0069	,803
3	163,846	54,615	,631	,5988	,168
45	3894,843	86,552			

Groupe
Organe
Groupe * Organe
Résidu

Tableau ANOVA pour TCRBV08.2

ddl	Somme des carrés	Carré moyen	Valeur de F	Lambda	Puissance
3	61,854	20,618	,422	,7382	,126
1	6,469	6,469	,132	,7177	,064
3	254,375	84,792	1,735	,1734	,413
45	2199,528	48,878			

Groupe
Organe
Groupe * Organe
Résidu

Tableau de moyennes pour TCRBV08.1

Effet : Groupe * Organe

Nombre	Moyenne	Dév. Std.	Err. Std.
9	2,401	1,210	,403
9	15,375	11,966	3,989
5	18,203	3,900	1,744
5	24,239	13,526	6,049
5	5,982	2,536	1,134
5	12,689	7,068	3,161
5	11,682	15,553	6,955
10	16,248	9,140	2,890

T, R
T, F
S, R
S, F
I3*, R
I3*, F
I3*S, R
I3*S, F

Test PLSD de Fisher pour TCRBV08.1

Effet : Groupe

Niveau de significativité : 5 %

	Diff. moy.	Diff. crit.	Valeur p
T, S	-12,333	7,390	,0016
T, I3*	-,448	7,390	,9034
T, I3*S	-5,838	6,551	,0794
S, I3*	11,885	8,380	,0065
S, I3*S	6,495	7,650	,0941
I3*, I3*S	-5,390	7,650	,1627

S
S
S

Tableau de moyennes pour TCRBV08.2

Effet : Groupe * Organe

Nombre	Moyenne	Dév. Std.	Err. Std.
9	13,383	4,882	1,627
9	16,148	6,011	2,004
5	21,828	10,936	4,891
5	12,804	9,454	4,228
5	14,720	7,593	3,396
5	16,326	6,149	2,750
5	16,190	8,697	3,889
10	17,919	4,708	1,489

T, R
T, F
S, R
S, F
I3*, R
I3*, F
I3*S, R
I3*S, F

Test PLSD de Fisher pour TCRBV08.2

Effet : Groupe

Niveau de significativité : 5 %

	Diff. moy.	Diff. crit.	Valeur p
T, S	-2,550	5,554	,3599
T, I3*	-,758	5,554	,7848
T, I3*S	-2,577	4,923	,2973
S, I3*	1,793	6,297	,5692
S, I3*S	-,027	5,749	,9925
I3*, I3*S	-1,820	5,749	,5270

Test PLSD de Fisher pour TCRBV08.1

Effet : Organe

Niveau de significativité : 5 %

	Diff. moy.	Diff. crit.	Valeur p
R, F	-8,369	5,171	,0021

S

Test PLSD de Fisher pour TCRBV08.2

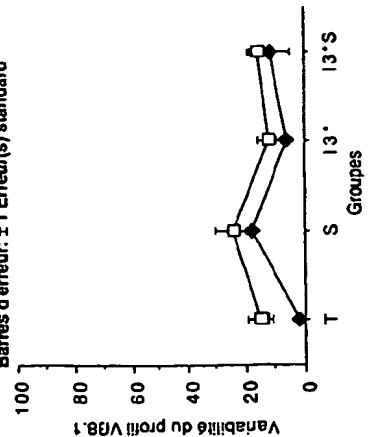
Effet : Organe

Niveau de significativité : 5 %

	Diff. moy.	Diff. crit.	Valeur p
R, F	-,207	3,886	,9151

Courbe des interactions pour TCRBV08.1

Effet : Groupe * Organe

Barres d'erreur: ± 1 Erreur(s) standard

Courbe des interactions pour TCRBV08.2

Effet : Groupe * Organe

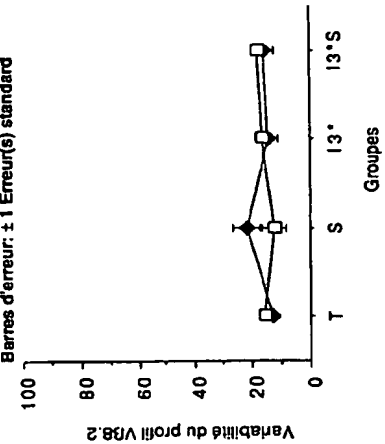
Barres d'erreur: ± 1 Erreur(s) standard

Figure 91

Tableau ANOVA pour TCRBV11

	ddl	Somme des carrés	Carré moyen	Valeur de F	Lambda	Puissance
Groupe	3	233,690	77,897	2,572	7,715	,598
Organe	1	2349,255	2349,255	77,562	<,0001	1,000
Groupe * Organe	3	127,530	42,510	1,403	,2544	,338
Résidu	44	1332,711	30,289			

Tableau de moyennes pour TCRBV11

Effet : Groupe * Organe	Nombre	Moyenne	Dév. Std.	Err. Std.
T, R	9	7,353	8,354	2,785
T, F	8	16,802	4,023	1,422
S, R	5	7,885	3,981	1,780
S, F	5	21,184	2,702	1,208
I3*, R	5	5,966	1,813	,811
I3*, F	5	22,526	6,417	2,870
I3*S, R	5	9,306	3,977	1,778
I3*S, F	10	26,025	6,032	1,908

Test PLSD de Fisher pour TCRBV11

Effet : Groupe

Niveau de significativité : 5 %

	Diff. moy.	Diff. crit.	Valeur p
T, S	-2,735	4,420	,2191
T, I3*	-2,448	4,420	,2708
T, I3*S	-8,653	3,929	<,0001
S, I3*	,288	4,960	,9073
S, I3*S	-5,918	4,528	,0116
I3*, I3*S	-6,206	4,528	,0083

Test PLSD de Fisher pour TCRBV11

Effet : Organe

Niveau de significativité : 5 %

	Diff. moy.	Diff. crit.	Valeur p
R, F	-14,319	3,085	<,0001

Tableau ANOVA pour TCRBV10

	ddl	Somme des carrés	Carré moyen	Valeur de F	Lambda	Puissance
Groupe	3	27,050	9,017	,181	,9085	,544
Organe	1	682,292	682,292	13,724	,0006	,967
Groupe * Organe	3	115,402	38,467	,774	,5148	,2321
Résidu	45	2237,141	49,714			

Tableau de moyennes pour TCRBV10

Effet : Groupe * Organe	Nombre	Moyenne	Dév. Std.	Err. Std.
T, R	9	6,928	7,974	2,658
T, F	9	17,147	6,606	2,202
S, R	5	11,331	5,743	2,588
S, F	5	16,039	3,604	1,612
I3*, R	5	11,684	7,590	3,394
I3*, F	5	15,838	8,778	3,926
I3*S, R	5	7,509	2,533	1,133
I3*S, F	10	18,473	8,375	2,648

Test PLSD de Fisher pour TCRBV10

Effet : Groupe

Niveau de significativité : 5 %

	Diff. moy.	Diff. crit.	Valeur p
T, S	-1,647	5,601	,5567
T, I3*	-1,728	5,601	,5375
T, I3*S	-2,780	4,965	,2653
S, I3*	-,081	6,351	,9796
S, I3*S	-1,134	5,798	,6956
I3*, I3*S	-1,053	5,798	,7163

Test PLSD de Fisher pour TCRBV10

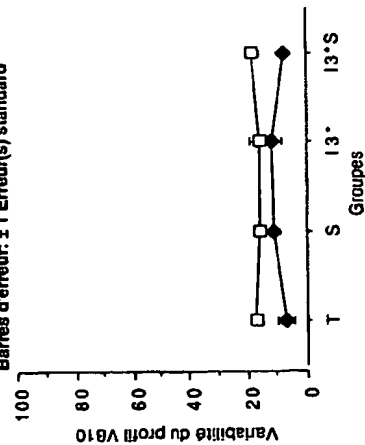
Effet : Organe

Niveau de significativité : 5 %

	Diff. moy.	Diff. crit.	Valeur p
R, F	-8,228	3,919	,0001

Courbe des Interactions pour TCRBV10

Effet : Groupe * Organe

Barres d'erreur: ± 1 Erreur(s) standard

Courbe des Interactions pour TCRBV11

Effet : Groupe * Organe

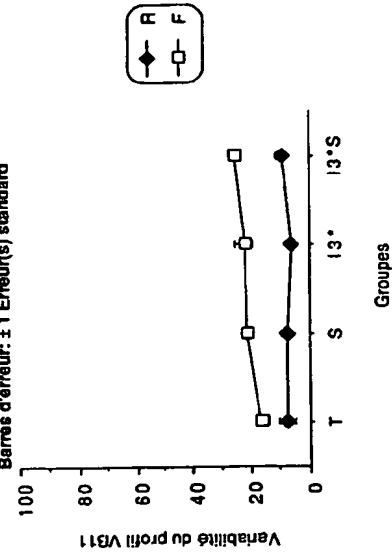
Barres d'erreur: ± 1 Erreur(s) standard

Figure 92

Tableau ANOVA pour TCRBV14

ddl	Somme des carrés	Carré moyen	Valeur de F	Valeur de p	Lambda	Puissance
3	335,494	111,831	7,070	,0005	21,210	,978
1	411,359	411,359	26,006	<,0001	26,006	1,000
3	231,272	77,091	4,874	,0051	14,621	,890
45	711,807	15,818				

Groupe	ddl	Somme des carrés	Carré moyen	Valeur de F	Valeur de p	Lambda	Puissance
Organe	1	411,359	411,359	26,006	<,0001	26,006	1,000
Groupe * Organe	3	231,272	77,091	4,874	,0051	14,621	,890
Résidu	45	711,807	15,818				

Tableau ANOVA pour TCRBV15

ddl	Somme des carrés	Carré moyen	Valeur de F	Valeur de p	Lambda	Puissance
3	153,813	51,271	1,141	,3429	3,424	,279
1	126,163	126,163	27,299	<,0001	27,299	1,000
3	87,328	29,109	,648	,5884	1,944	,171
44	1976,302	44,916				

Groupe	ddl	Somme des carrés	Carré moyen	Valeur de F	Valeur de p	Lambda	Puissance
Organe	1	126,163	126,163	27,299	<,0001	27,299	1,000
Groupe * Organe	3	87,328	29,109	,648	,5884	1,944	,171
Résidu	44	1976,302	44,916				

Tableau de moyennes pour TCRBV14

Effet : Groupe * Organe

Niveau de significativité : 5 %

Nombre	Moyenne	Dév. Std.	Err. Std.	Diff. moy.	Diff. crit.	Valeur p
T, R	9	3,275	3,383	1,121		
T, F	9	8,150	2,423	,808		
S, R	5	8,186	2,726	1,219		
S, F	5	6,830	1,772	,792		
I3*, R	5	5,434	2,510	1,123		
I3*, F	5	18,608	7,417	3,317		
I3*S, R	5	7,217	2,411	1,078		
I3*S, F	10	15,857	5,412	1,711		

Test PLSD de Fisher pour TCRBV14

Effet : Organe

Niveau de significativité : 5 %

	Diff. moy.	Diff. crit.	Valeur p
R, F	-6,467	2,210	<,0001

Tableau de moyennes pour TCRBV15

Effet : Groupe * Organe

Niveau de significativité : 5 %

Nombre	Moyenne	Dév. Std.	Err. Std.	Diff. moy.	Diff. crit.	Valeur p
T, R	9	7,854	8,273	2,758		
T, F	8	16,668	6,044	2,137		
S, R	5	8,518	2,137	,956		
S, F	5	15,284	3,618	1,618		
I3*, R	5	9,270	2,657	1,188		
I3*, F	5	20,150	11,492	5,140		
I3*S, R	5	9,082	4,892	2,188		
I3*S, F	10	23,098	7,072	2,236		

Test PLSD de Fisher pour TCRBV15

Effet : Organe

Niveau de significativité : 5 %

	Diff. moy.	Diff. crit.	Valeur p
R, F	-10,796	3,757	<,0001

Courbe des Interactions pour TCRBV14

Effet : Groupe * Organe

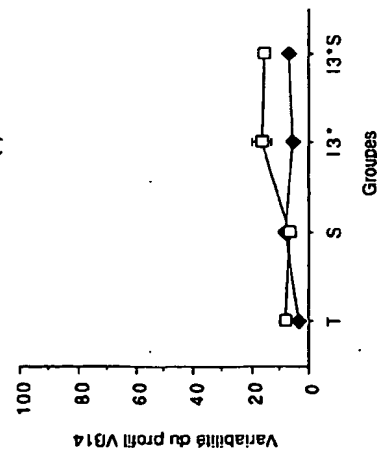
Barres d'erreur: ± 1 Erreur(s) standard

Figure 93

Courbe des Interactions pour TCRBV15

Effet : Groupe * Organe

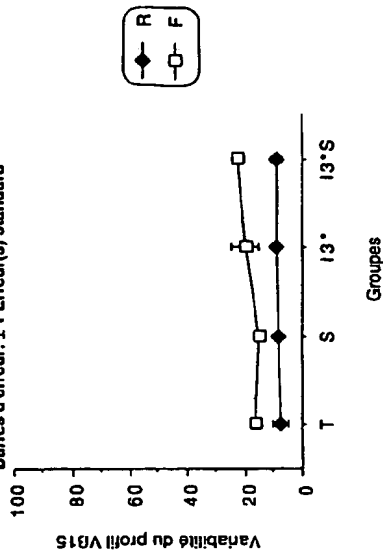
Barres d'erreur: ± 1 Erreur(s) standard

Tableau ANOVA pour TCRBV20

	ddl	Somme des carrés	Carré moyen	Valeur de F	Valeur de p	Lambda	Puissance
Groupe	3	326,663	108,888	1,907	,1423	5,722	,450
Organe	1	588,101	588,101	10,301	,0025	10,301	,898
Groupe * Organe	3	262,286	87,429	1,531	,2197	4,594	,366
Résidu	44	2512,080	57,093				

Tableau de moyennes pour TCRBV20

Effet : Groupe * Organe

	Nombre	Moyenne	Dév. Std.	Err. Std.
T, R	9	11,820	7,851	2,617
T, F	8	14,773	7,748	2,739
S, R	5	16,432	4,136	1,850
S, F	5	20,553	4,370	1,954
I3*, R	5	11,612	3,093	1,383
I3*, F	5	26,895	13,297	5,947
I3*S, R	5	11,495	4,683	2,094
I3*S, F	10	17,170	8,304	2,626

Test PLSD de Fisher pour TCRBV20

Effet : Groupe

Niveau de significativité : 5 %

	Diff. moy.	Diff. crit.	Valeur p
T, S	-5,283	6,069	,0863
T, I3*	-6,044	6,069	,0509
T, I3*S	-2,068	5,394	,4438
S, I3*	-,761	6,810	,8228
S, I3*S	3,214	6,217	,3031
I3*, I3*S	3,976	6,217	,2042

Test PLSD de Fisher pour TCRBV20

Effet : Organe

Niveau de significativité : 5 %

	Diff. moy.	Diff. crit.	Valeur p
R, F	-6,156	4,236	,0054
S			

Courbe des Interactions pour TCRBV20

Effet : Groupe * Organe

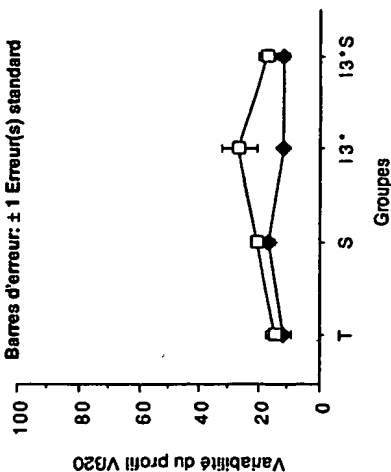
Barres d'erreur: ± 1 Erreur(s) standard

Figure 94

Figure 95

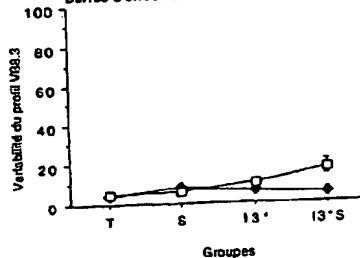
- Seul sera détaillé ici les résultats concernant l'indice Gorochov. Les autres indices ne donnent dans cette étude aucun résultat pertinent (nature plurimodale des profils de certaines unités expérimentales).
- ❖ Le type d'infection influe en moyenne sur l'indice Gorochov observé pour les différents Vb étudiés.
- ❖ L'organe influe en moyenne sur l'indice Gorochov observée pour les différents Vb étudiés.
- ❖ L'indice Gorochov observé, en moyenne, sur les différents groupes n'est pas la même selon l'organe considéré.

Résultats de l'ANOVA correspondante : (@ : avec effet d'interaction)

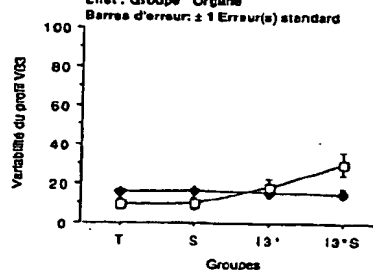
	Effet groupe OUI	Effet groupe NON
Effet organe OUI	5.1 {F3* (222,225) FS (222,225,228)} 5.2 {RS (216) F3* (213) FS (216,219) F3*S (216)} 7 8.1 {RS (231) FS (231,228)} 8.3 @ F>>R pour le groupe I3*S. 14 @ F>>R pour les groupes I3* et I3*S.	2 6 10 {F3*S (138)} 11 12 @ F>>R pour les groupes I3* et I3*S. 13 {F3*S (168)} 15 {RS (174), F3*S (177)} 16 20
Effet organe NON	3 @ F>>R pour le groupe I3*S. 9 {F3* (144,147,150,153) F3*S (153)} 18	1 4 8.2

Rq. Les Vb pour lesquels l'indice d'oligoclonalité de certains pics est supérieur au seul de celui du groupe témoin sont suivis, entre parenthèses des groupes concernés.

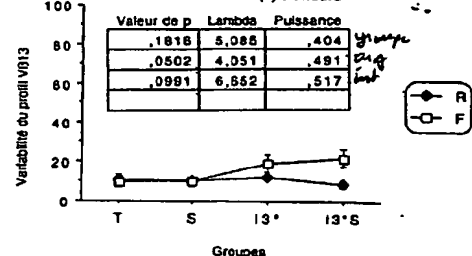
Courbe des interactions pour TCRBV08.3
Effet : Groupe * Organe
Barres d'erreur: ± 1 Erreur(s) standard



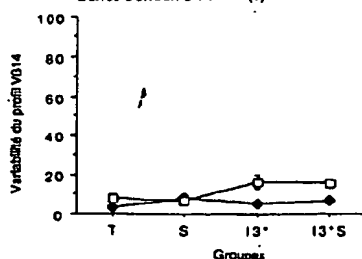
Courbe des interactions pour TCRBV03
Effet : Groupe * Organe
Barres d'erreur: ± 1 Erreur(s) standard



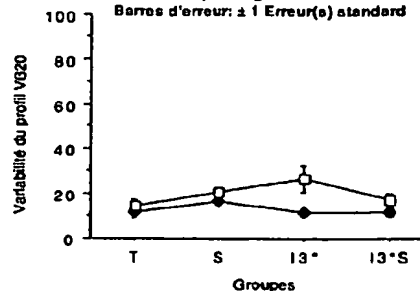
Courbe des interactions pour TCRBV13
Effet : Groupe * Organe
Barres d'erreur: ± 1 Erreur(s) standard



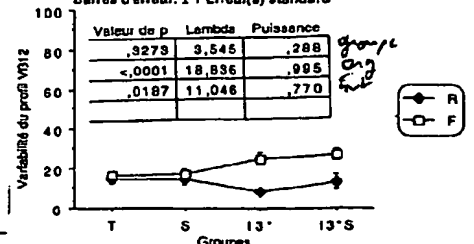
Courbe des interactions pour TCRBV14
Effet : Groupe * Organe
Barres d'erreur: ± 1 Erreur(s) standard



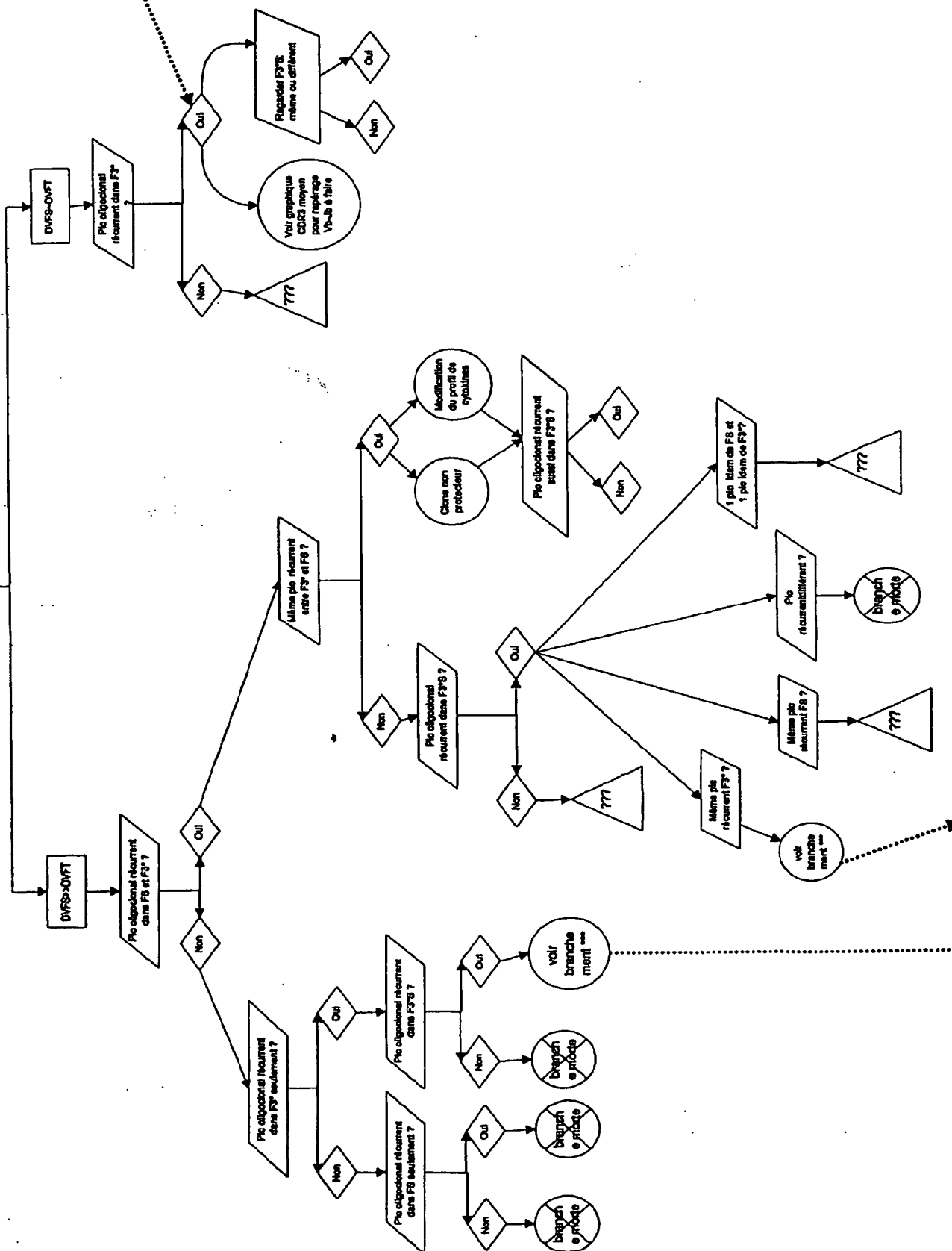
Courbe des interactions pour TCRBV20
Effet : Groupe * Organe
Barres d'erreur: ± 1 Erreur(s) standard



Courbe des interactions pour TCRBV12
Effet : Groupe * Organe
Barres d'erreur: ± 1 Erreur(s) standard



1
DVFG-200F
Vb



Canonical Scores Plot

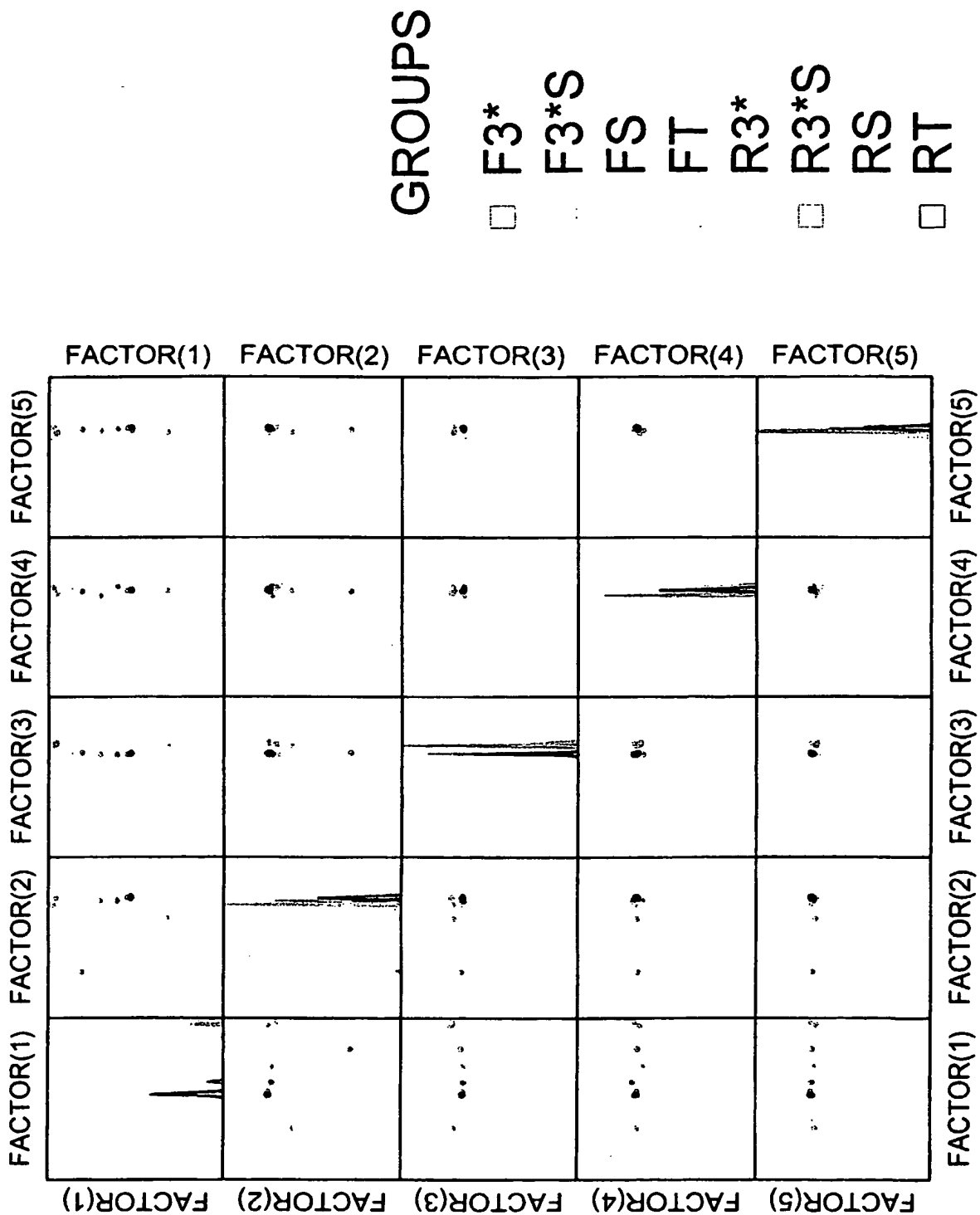
PCA/DA
Figure 98

WO 2004/003820

94/120

10/519950

PCT/IB2003/003339



WO 2004/003820

95/120

File: B230020

SYSTAT Rectangular file C:\Users\user\Documents\B2300202.SVD,
created Thu Aug 28, 2002 at 15:24:34, contains variables:

CASES	GROUPS	TCRBV01_6	TCRBV01_7	TCRBV01_8	TC
TCRBV01_10	TCRBV01_11	TCRBV01_12	TCRBV01_13	TCRBV01_14	TC
TCRBV02_7	TCRBV02_8	TCRBV02_9	TCRBV02_10	TCRBV02_11	TC
TCRBV03_13	TCRBV03_14	TCRBV03_15	TCRBV03_16	TCRBV03_17	TC
TCRBV04_7	TCRBV04_8	TCRBV04_9	TCRBV04_10	TCRBV04_11	TC
TCRBV04_13	TCRBV04_14	TCRBV04_15	TCRBV04_16	TCRBV04_17	TC
TCRBV05_8	TCRBV05_9	TCRBV05_10	TCRBV05_11	TCRBV05_12	TC
TCRBV05_12	TCRBV05_13	TCRBV05_14	TCRBV05_15	TCRBV05_16	TC
TCRBV06_8	TCRBV06_9	TCRBV06_10	TCRBV06_11	TCRBV06_12	TC
TCRBV07_6	TCRBV07_7	TCRBV07_8	TCRBV07_9	TCRBV07_10	TC
TCRBV07_12	TCRBV07_13	TCRBV07_14	TCRBV07_15	TCRBV07_16	TC
TCRBV08_9	TCRBV08_10	TCRBV08_11	TCRBV08_12	TCRBV08_13	TC
TCRBV08_17	TCRBV08_18	TCRBV08_19	TCRBV08_20	TCRBV08_21	TC
TCRBV09_4	TCRBV09_5	TCRBV09_6	TCRBV09_7	TCRBV09_8	TC
TCRBV09_11	TCRBV09_12	TCRBV09_13	TCRBV09_14	TCRBV09_15	TC
TCRBV10_8	TCRBV10_9	TCRBV10_10	TCRBV10_11	TCRBV10_12	TC
TCRBV10_14	TCRBV10_15	TCRBV10_16	TCRBV10_17	TCRBV10_18	TC
TCRBV11_7	TCRBV11_8	TCRBV11_9	TCRBV11_10	TCRBV11_11	TC
TCRBV11_13	TCRBV11_14	TCRBV11_15	TCRBV11_16	TCRBV11_17	TC
TCRBV12_7	TCRBV12_8	TCRBV12_9	TCRBV12_10	TCRBV12_11	TC
TCRBV13_5	TCRBV13_6	TCRBV13_7	TCRBV13_8	TCRBV13_9	TC
TCRBV13_11	TCRBV13_12	TCRBV13_13	TCRBV13_14	TCRBV13_15	TC
TCRBV14_8	TCRBV14_9	TCRBV14_10	TCRBV14_11	TCRBV14_12	TC
TCRBV15_4	TCRBV15_5	TCRBV15_6	TCRBV15_7	TCRBV15_8	TC
TCRBV15_10	TCRBV15_11	TCRBV15_12	TCRBV15_13	TCRBV15_14	TC
TCRBV16_8	TCRBV16_9	TCRBV16_10	TCRBV16_11	TCRBV16_12	TC
TCRBV16_13	TCRBV16_14	TCRBV16_15	TCRBV16_16	TCRBV16_17	TC
TCRBV17_8	TCRBV17_9	TCRBV17_10	TCRBV17_11	TCRBV17_12	TC
TCRBV18_3	TCRBV18_4	TCRBV18_5	TCRBV18_6	TCRBV18_7	TC
TCRBV18_10	TCRBV18_11	TCRBV18_12	TCRBV18_13	TCRBV18_14	TC
TCRBV19_8	TCRBV19_9	TCRBV19_10	TCRBV19_11	TCRBV19_12	TC
TCRBV20_6	TCRBV20_7	TCRBV20_8	TCRBV20_9	TCRBV20_10	TC
TCRBV20_12	TCRBV20_13	TCRBV20_14	TCRBV20_15	TCRBV20_16	TC

Latent Roots (Eigenvalues)

1	2	3	4	5
806.097	574.767	525.021	474.758	360.278
6	7	8	9	10
328.711	312.488	234.426	210.247	203.757
31	32	33	34	35
197.144	187.097	146.789	140.829	147.404
16	17	18	19	20
130.104	128.438	120.743	108.967	98.134
21	22	23	24	25

Page 6 (Page 4 of 6 Pages)

Page 6 (Page 4 of 6 Pages)					
Component loadings					
1	2	3	4	5	
TCRBV01_6	-0.073	-0.020	-0.021	0.142	0.070
TCRBV01_7	-0.584	0.776	-0.094	0.178	0.101
TCRBV01_8	-2.301	-1.196	-0.073	-4.774	2.594
TCRBV01_9	1.202	2.269	1.717	2.744	1.956
TCRBV01_10	3.454	2.257	2.246	1.329	1.040
TCRBV01_11	0.655	2.459	-0.708	1.284	-0.049
TCRBV01_12	-0.159	1.105	-0.899	0.976	0.185
TCRBV01_13	-0.123	0.170	-0.392	0.102	-0.044
TCRBV01_14	-0.621	0.016	-0.050	0.010	-0.016
TCRBV02_6	0.750	-0.283	-0.629	-0.050	-0.109
TCRBV02_7	0.480	0.442	0.637	-0.136	-0.988
TCRBV02_8	0.659	0.584	0.048	0.089	0.736
TCRBV02_9	1.130	0.110	0.203	0.181	-1.461
TCRBV02_10	-0.133	-0.187	0.290	-0.738	0.666
TCRBV02_11	-0.724	-0.097	1.784	-0.019	0.307
TCRBV02_12	-0.450	-0.019	0.401	-0.140	0.175
TCRBV02_13	-0.234	-0.180	0.201	-0.230	0.130
TCRBV03_4	-0.632	-0.015	-0.062	0.010	0.014
TCRBV03_5	-0.120	-0.002	-0.121	-0.003	0.061
TCRBV03_6	2.225	0.178	-0.733	-1.112	0.066
TCRBV03_7	2.053	1.677	-0.686	-0.783	0.612
TCRBV03_8	3.224	2.522	-0.052	-1.015	1.279
TCRBV03_9	4.341	2.924	-1.482	-0.044	1.981
TCRBV03_10	-3.235	0.499	1.479	-1.136	4.894
TCRBV03_11	-5.143	0.869	1.720	2.027	0.546
TCRBV03_12	-0.448	0.086	1.408	1.085	-1.392
TCRBV03_13	-0.536	-0.478	1.430	2.163	-2.194
TCRBV04_6	0.012	-0.001	-0.019	-0.011	0.005
TCRBV04_7	1.382	-0.155	-0.030	-0.468	0.049
TCRBV04_8	1.873	0.013	0.527	-0.928	0.155
TCRBV04_9	4.587	-1.410	-0.450	-1.394	-1.584
TCRBV04_10	5.214	-0.729	-0.519	-2.539	1.093
TCRBV04_11	-2.754	0.589	-1.756	1.054	-0.619
TCRBV04_12	-3.817	0.894	-0.438	1.589	1.304
TCRBV04_13	-3.121	1.805	0.081	1.556	-1.584
TCRBV04_14	-3.131	-1.158	1.410	-2.431	0.426
TCRBV04_15	-0.012	0.154	0.012	-0.025	-0.070
TCRBV05_5	0.174	0.196	-0.112	-0.095	0.048
TCRBV05_6	0.215	-0.029	0.032	0.178	0.642
TCRBV05_7	-0.042	-0.312	-0.317	-1.006	1.006
TCRBV05_8	5.709	-11.263	7.492	8.564	0.181
TCRBV05_9	0.294	1.095	1.810	1.037	-1.482
TCRBV05_10	-0.617	5.252	-1.907	-1.522	-1.555
TCRBV05_11	-2.011	2.789	3.297	-1.843	-1.043
TCRBV05_12	-0.959	3.191	-0.695	-1.023	-0.729
TCRBV05_13	0.084	0.240	-0.060	-0.185	-0.127
TCRBV05_14	0.240	0.857	-0.195	-0.136	-0.045
TCRBV05_15	0.142	2.407	0.250	0.378	-0.107
TCRBV05_16	-2.964	3.924	6.078	3.420	-3.444
TCRBV05_17	1.464	-0.893	1.072	-0.675	0.061

Page 6 (Page 4 of 6 Pages)

Figure 100

		PCT/IB2003/003339									
		1	2	3	4	5	6	7	8	9	10
TCRVS01_10	1.482	-2.329	-2.448	-0.869	-0.364	1.509	1.509	1.509	1.509	1.509	1.509
TCRVS01_11	1.183	-2.398	-2.453	-0.829	-0.369	1.509	1.509	1.509	1.509	1.509	1.509
TCRVS01_12	0.194	-2.208	-2.211	-0.773	-0.320	1.509	1.509	1.509	1.509	1.509	1.509
TCRVS01_13	0.013	-0.400	-0.221	-0.073	-0.023	1.509	1.509	1.509	1.509	1.509	1.509
TCRVS01_14	0.028	0.045	0.001	-0.063	-0.023	1.509	1.509	1.509	1.509	1.509	1.509
TCRVS01_15	0.953	0.443	-0.309	0.021	0.249	1.509	1.509	1.509	1.509	1.509	1.509
TCRVS01_16	2.017	1.415	0.546	0.161	0.512	1.509	1.509	1.509	1.509	1.509	1.509
TCRVS01_17	2.766	1.952	1.166	0.511	0.512	1.509	1.509	1.509	1.509	1.509	1.509
TCRVS01_18	3.375	1.408	2.821	-3.418	2.214	1.509	1.509	1.509	1.509	1.509	1.509
TCRVS01_19	-2.399	2.397	-0.214	1.039	1.454	1.509	1.509	1.509	1.509	1.509	1.509
TCRVS01_20	-2.924	1.046	1.512	1.070	0.587	1.509	1.509	1.509	1.509	1.509	1.509
TCRVS01_21	-1.604	-0.326	-0.481	1.137	0.619	1.509	1.509	1.509	1.509	1.509	1.509
TCRVS01_22	-0.181	-0.137	-0.183	0.181	0.181	1.509	1.509	1.509	1.509	1.509	1.509
TCRVS01_23	0.000	0.028	-0.008	-0.007	-0.006	1.509	1.509	1.509	1.509	1.509	1.509
TCRVS01_24	0.837	0.060	1.838	1.279	-1.079	1.509	1.509	1.509	1.509	1.509	1.509
TCRVS01_25	1.214	-0.479	3.067	-1.119	-0.851	1.509	1.509	1.509	1.509	1.509	1.509
TCRVS01_26	1.397	2.345	0.393	0.461	1.264	1.509	1.509	1.509	1.509	1.509	1.509
TCRVS01_27	4.717	2.550	2.368	-0.826	1.020	1.509	1.509	1.509	1.509	1.509	1.509
TCRVS01_28	-0.442	2.391	-0.465	0.761	3.083	1.509	1.509	1.509	1.509	1.509	1.509
TCRVS01_29	-3.185	0.824	-0.481	0.843	1.874	1.509	1.509	1.509	1.509	1.509	1.509
TCRVS01_30	-1.940	0.518	-0.716	0.651	0.453	1.509	1.509	1.509	1.509	1.509	1.509
TCRVS01_31	-0.246	-0.005	-0.134	-0.042	0.180	1.509	1.509	1.509	1.509	1.509	1.509
TCRVS01_32	-0.014	-0.039	0.066	0.071	0.088	1.509	1.509	1.509	1.509	1.509	1.509
TCRVS01_33	-0.233	0.804	-0.102	-0.241	0.488	1.509	1.509	1.509	1.509	1.509	1.509
TCRVS01_34	0.764	-0.501	0.138	-0.135	2.223	1.509	1.509	1.509	1.509	1.509	1.509
TCRVS01_35	0.340	-0.086	1.200	0.121	0.646	1.509	1.509	1.509	1.509	1.509	1.509
TCRVS01_36	3.820	-0.333	-0.232	-1.141	-0.526	1.509	1.509	1.509	1.509	1.509	1.509
TCRVS01_37	-1.874	1.153	-1.559	2.277	-1.302	1.509	1.509	1.509	1.509	1.509	1.509
TCRVS01_38	-2.134	2.038	0.823	0.551	-0.926	1.509	1.509	1.509	1.509	1.509	1.509
TCRVS01_39	-1.059	0.963	0.231	-0.103	-0.832	1.509	1.509	1.509	1.509	1.509	1.509
TCRVS01_40	0.424	-0.358	-0.028	-0.768	-0.232	1.509	1.509	1.509	1.509	1.509	1.509
TCRVS01_41	1.919	-1.083	-0.287	-2.354	-0.715	1.509	1.509	1.509	1.509	1.509	1.509
TCRVS01_42	1.924	-0.487	0.185	-1.745	-0.612	1.509	1.509	1.509	1.509	1.509	1.509
TCRVS01_43	4.338	-2.368	1.354	-4.012	-2.978	1.509	1.509	1.509	1.509	1.509	1.509
TCRVS01_44	-1.227	1.076	-0.107	1.819	-0.474	1.509	1.509	1.509	1.509	1.509	1.509
TCRVS01_45	-3.201	2.555	-0.330	3.105	1.871	1.509	1.509	1.509	1.509	1.509	1.509
TCRVS01_46	-2.699	0.852	-0.831	1.452	1.452	1.509	1.509	1.509	1.509	1.509	1.509
TCRVS01_47	-0.918	0.015	0.169	0.937	0.740	1.509	1.509	1.509	1.509	1.509	1.509
TCRVS01_48	-0.014	-0.041	0.169	0.163	-0.147	1.509	1.509	1.509	1.509	1.509	1.509
TCRVS01_49	-0.068	0.075	0.105	-0.232	-0.147	1.509	1.509	1.509	1.509	1.509	1.509
TCRVS01_50	0.507	-0.204	-0.144	-0.144	-0.608	1.509	1.509	1.509	1.509	1.509	1.509
TCRVS01_51	-0.108	-0.302	1.102	-0.390	1.583	1.509	1.509	1.509	1.509	1.509	1.509
TCRVS01_52	0.287	0.863	0.017	-1.185	1.218	1.509	1.509	1.509	1.509	1.509	1.509
TCRVS01_53	0.473	0.115	-1.272	0.152	0.152	1.509	1.509	1.509	1.509	1.509	1.509
TCRVS01_54	-0.565	0.035	-0.172	0.803	-0.014	1.509	1.509	1.509	1.509	1.509	1.509
TCRVS01_55	-0.472	-0.205	1.392	0.772	-1.418	1.509	1.509	1.509	1.509	1.509	1.509
TCRVS01_56	-0.050	-0.797	-0.482	0.439	-1.028	1.509	1.509	1.509	1.509	1.509	1.509
TCRVS01_57	-0.130	-0.039	0.139	0.133	-0.028	1.509	1.509	1.509	1.509	1.509	1.509
TCRVS01_58	0.040	-0.080	-0.402	0.148	0.444	1.509	1.509	1.509	1.509	1.509	1.509
TCRVS01_59	0.934	-0.338	-0.144	-2.171	2.171	1.509	1.509	1.509	1.509	1.509	1.509
TCRVS01_60	0.369	-0.935	2.707	4.643	4.320	1.509	1.509	1.509	1.509	1.509	1.509
TCRVS01_61	2.212	-0.160	4.927	2.938	3.543	1.509	1.509	1.509	1.509	1.509	1.509
TCRVS01_62	2.774	1.177	4.449	-1.180	3.543	1.509	1.509	1.509	1.509	1.509	1.509
TCRVS01_63	-1.481	2.603	6.703	-3.932	-5.167	1.509	1.509	1.509	1.509	1.509	1.509
TCRVS01_64	-0.264	3.704	-0.360	-1.373	-1.144	1.509	1.509	1.509	1.509	1.509	1.509
TCRVS01_65	0.317	0.447	-0.183	-0.596	-0.481	1.509	1.509	1.509	1.509	1.509	1.509
TCRVS01_66	0.100	-0.012	0.013	-0.019	-0.014	1.509	1.509	1.509	1.509	1.509	1.509
TCRVS01_67	0.090	-0.012	0.013	-0.019	-0.014	1.509	1.509	1.509	1.509	1.509	1.509
TCRVS01_68	0.484	0.626	-0.103	-0.518	-0.360	1.509	1.509	1.509	1.509	1.509	1.509
TCRVS01_69	0.830	1.793	1.173	1.028	-1.646	1.509	1.509	1.509	1.509	1.509	1.509
TCRVS01_70	1.789	1.616	0.700	-0.174	-1.646	1.509	1.509	1.509	1.509	1.509	1.509
TCRVS01_71	-3.735	-1.632	0.512	-2.134	0.491	1.509	1.509	1.509	1.509	1.509	1.509
TCRVS01_72	-0.813	-1.518	0.188	0.424	0.361	1.509	1.509	1.509	1.509	1.509	1.509
TCRVS01_73	2.331	-0.607	-0.813	0.275	0.331	1.509	1.509	1.509	1.509	1.509	1.509

Page 12/200 of 12/200

TCRVS10_12	0.123	-0.210	-0.756	0.200	0.007
TCRVS10_13	0.023	-0.023	-0.040	0.033	0.007
TCRVS10_14	0.255	0.023	-0.028	0.034	0.227
TCRVS11_6	0.445	0.491	0.188	-0.714	0.376
TCRVS11_7	1.025	1.282	1.255	-0.194	-0.194
TCRVS11_8	0.765	1.916	2.196	-1.173	-0.143
TCRVS11_9	3.448	1.820	5.538	-0.829	0.968
TCRVS11_10	-0.317	1.741	0.140	1.767	1.806
TCRVS11_11	-1.403	1.169	-1.376	0.594	1.196
TCRVS11_12	-1.377	0.105	-1.167	1.265	0.617
TCRVS11_13	-0.624	-0.073	-0.722	0.205	0.174
TCRVS11_14	-0.651	-0.033	-0.180	0.066	0.030
TCRVS12_15	-0.019	-0.012	-0.067	0.024	-0.021
TCRVS12_16	-0.057	0.257	0.160	0.162	-0.221
TCRVS12_17	1.293	0.663	2.395	0.630	-3.022
TCRVS12_18	2.741	1.366	1.113	-1.987	1.080
TCRVS12_19	3.631	0.361	0.059	-2.201	1.916
TCRVS12_20	1.486	-0.394	-0.284	-0.997	0.598
TCRVS12_21	-4.150	-1.433	-2.887	2.225	-0.539
TCRVS12_22	-1.230	-0.525	1.600	1.272	-0.263
TCRVS12_23	-3.111	-0.274	0.050	0.648	0.373
TCRVS12_24	-0.681	-0.032	0.204	0.248	-0.023
TCRVS12_25	-0.820	-0.007	-0.187	0.019	0.053
TCRVS12_26	0.236	0.737	0.099	-1.234	-0.553
TCRVS12_27	1.220	-0.366	-1.444	-1.237	2.591
TCRVS12_28	1.119	-0.003	-1.307	0.057	1.361
TCRVS12_29	0.093	0.102	4.513	4.666	-4.488
TCRVS12_30	-2.026	0.461	-0.462	-1.267	1.472
TCRVS12_31	-0.856	-0.611	-0.561	-1.234	-0.605
TCRVS12_32	-0.312	-0.020	-0.263	0.061	0.148
TCRVS12_33	0.018	-0.076	-0.086	0.018	0.018
TCRVS12_34	0.002	0.043	0.128	-0.072	-0.191
TCRVS14_6	0.560	-0.013	-0.866	-0.723	0.361
TCRVS14_7	-0.886	-0.181	-0.810	-0.738	-0.876
TCRVS14_8	-2.788	-0.379	-0.601	-0.056	-1.605
TCRVS14_9	0.982	-0.703	0.966	3.516	0.267
TCRVS14_10	-1.647	0.792	1.058	-1.735	0.863
TCRVS14_11	-1.420	0.194	1.203	-0.352	-0.052
TCRVS14_12	-0.314	-0.072	-0.065	0.185	0.144
TCRVS14_13	-0.064	-0.026	-0.101	0.031	0.067
TCRVS15_4	-0.048	0.003	-0.098	0.068	0.058
TCRVS15_5	0.076	-1.126	-0.311	-0.027	1.485
TCRVS15_6	1.635	0.164	0.782	-0.557	1.197
TCRVS15_7	2.958	1.462	1.759	0.217	1.340
TCRVS15_8	6.711	2.103	2.764	0.284	1.387
TCRVS15_9	-1.663	1.526	1.094	0.975	0.027
TCRVS15_10	-3.210	1.441	-1.397	0.360	0.671
TCRVS15_11	-2.089	0.535	-1.100	0.108	-0.046
TCRVS15_12	-0.816	0.132	0.024	-0.212	-0.172
TCRVS15_13	-0.054	0.053	0.143	0.057	0.121
TCRVS15_14	0.740	-0.458	0.483	0.963	0.315
TCRVS16_7	0.029	0.612	0.870	0.467	0.419
TCRVS16_8	5.524	1.760	-1.084	0.257	-1.066
TCRVS16_9	4.912	1.592	-1.192	1.947	-1.191
TCRVS16_10	0.166	3.517	0.465	2.234	-0.933
TCRVS16_11	-3.012	-1.117	3.627	1.146	4.580
TCRVS16_12	-8.216	-2.143	8.404	-6.780	1.526
TCRVS16_13	-0.018	-0.024	0.040	0.095	-0.063
TCRVS16_14	0.030	-0.017	-0.003	-0.005	0.009
TCRVS16_15	0.043	-0.147	0.189	-0.730	0.278
TCRVS16_16	0.115	0.793	0.199	-0.021	-0.578
TCRVS16_17	-1.414	0.826	2.099	-1.120	-0.762
TCRVS16_18	-0.152	3.168	2.347	1.443	1.108

	13	12	13	14	15
TCRWS01_6	-0.078	0.174	0.009	-0.004	0.133
TCRWS01_7	-0.512	0.094	0.280	0.259	-0.011
TCRWS01_8	-1.233	0.323	0.740	-0.141	-1.727
TCRWS01_9	0.102	-0.880	-2.631	-0.115	-1.011
TCRWS01_10	-0.389	0.910	3.332	-0.393	-0.933
TCRWS01_11	0.493	0.108	-0.125	-1.775	1.188
TCRWS01_12	1.374	0.359	0.077	0.846	0.432
TCRWS01_13	0.033	0.051	0.068	0.129	0.190
TCRWS01_14	-0.021	0.027	0.006	-0.006	0.006
TCRWS02_4	0.184	-0.775	-0.102	0.043	-0.365
TCRWS02_7	0.127	-0.905	0.185	0.111	0.528
TCRWS02_8	-1.231	-0.227	-0.822	0.247	0.330
TCRWS02_9	-1.144	-0.489	-0.684	0.818	0.489
TCRWS02_10	-0.414	-0.124	-0.024	0.890	0.891
TCRWS02_11	0.341	-1.179	0.125	0.634	0.701
TCRWS02_12	0.220	-0.146	-0.136	0.433	0.421
TCRWS02_13	-0.051	0.004	0.024	-0.035	-0.160
TCRWS02_14	0.047	0.052	0.003	-0.043	-0.043
TCRWS03_5	0.094	0.128	0.070	-0.063	-0.009
TCRWS03_6	-0.130	0.793	0.618	0.029	-0.061
TCRWS03_7	0.611	0.384	0.470	-0.216	0.970
TCRWS03_8	-0.405	-1.181	0.123	-1.658	1.189
TCRWS03_9	-0.871	2.185	0.844	0.028	-0.153
TCRWS03_10	0.035	-1.247	-0.183	-1.776	-0.932
TCRWS03_11	1.977	-1.768	0.099	2.295	-0.769
TCRWS03_12	-0.074	-0.146	-0.123	-1.219	-0.877
TCRWS03_13	-2.285	-0.721	-1.084	1.764	-0.072
TCRWS04_6	0.020	0.001	0.001	0.002	0.014
TCRWS04_7	0.136	-0.017	-0.107	0.240	0.248
TCRWS04_8	-0.192	-0.174	0.004	0.654	0.212
TCRWS04_9	-1.817	-0.800	-1.231	0.213	1.284
TCRWS04_10	-0.374	-0.005	0.463	1.101	-0.321
TCRWS04_11	1.439	0.704	0.508	1.235	0.148
TCRWS04_12	0.315	0.040	0.040	0.440	-0.492
TCRWS04_13	-0.411	0.431	1.487	-3.362	1.290
TCRWS04_14	-0.468	-0.813	-0.081	-0.361	-0.177
TCRWS04_15	0.252	0.134	-0.187	-0.076	-0.499
TCRWS05_15	0.037	0.885	0.011	0.011	-0.011
TCRWS05_16	0.984	0.372	-0.174	0.178	-0.348
TCRWS05_17	0.244	-1.065	-0.286	0.797	0.201

Page 42 of 42

FAC (continued)					
TCRVP09_11	0.841	-0.364	0.534	-1.227	-0.181
TCRVP09_12	0.811	0.151	-0.113	-0.311	0.074
TCRVP09_14	0.125	0.130	-0.144	-0.048	0.053
TCRVP10_1	0.009	0.002	-0.015	-0.027	-0.012
TCRVP10_6	-0.012	0.368	-0.653	0.866	0.096
TCRVP10_7	-0.812	0.095	-0.393	0.171	-0.012
TCRVP10_8	-0.335	-0.095	-0.051	0.674	-0.161
TCRVP10_9	-0.191	-1.210	-0.427	-0.144	1.141
TCRVP10_10	1.867	0.473	0.279	-1.791	0.670
TCRVP10_11	0.625	1.271	0.407	-0.033	-1.730
TCRVP10_12	-0.178	-0.221	0.107	-0.000	0.180
TCRVP10_13	0.023	0.029	0.081	-0.023	-0.001
TCRVP11_0	-0.123	-0.014	0.031	0.315	0.141
TCRVP11_6	0.176	-0.398	0.466	-0.403	0.860
TCRVP11_7	-0.021	-0.298	-0.13	0.204	-0.530
TCRVP11_8	-0.619	-0.189	-0.437	0.867	-0.260
TCRVP11_9	-0.559	0.011	0.206	-2.024	1.101
TCRVP11_10	0.654	0.088	0.168	0.829	0.141
TCRVP11_11	-0.032	0.970	1.094	0.727	-0.161
TCRVP11_12	0.258	0.019	0.576	1.236	-0.940
TCRVP11_13	0.007	0.847	0.366	-0.183	-0.141
TCRVP11_14	0.102	0.132	0.094	-0.150	-0.072
TCRVP11_15	0.038	0.049	0.035	-0.036	-0.021
TCRVP12_4	-0.091	0.082	-0.005	-0.341	0.181
TCRVP12_5	1.867	-0.255	0.056	0.520	0.051
TCRVP12_6	-1.370	-1.728	-0.007	-1.865	1.371
TCRVP12_7	-0.900	-1.145	0.008	0.832	0.141
TCRVP12_8	-0.161	-0.726	0.491	0.802	-0.960
TCRVP12_9	1.034	-1.046	-0.073	0.430	0.141
TCRVP12_10	0.645	1.270	0.950	-0.844	-0.241
TCRVP12_11	0.437	0.410	-0.469	-0.049	-0.530
TCRVP12_12	0.273	0.061	-0.036	0.649	0.141
TCRVP12_13	0.028	0.061	0.096	-0.072	-0.001
TCRVP12_14	-0.517	0.100	-0.288	-0.483	-2.301
TCRVP12_15	-0.632	1.404	0.701	0.739	-0.581
TCRVP13_0	-1.015	1.271	1.171	1.168	0.321
TCRVP13_1	-1.463	0.973	-0.447	-2.218	0.421
TCRVP13_10	2.114	-2.850	-0.093	-0.821	1.711
TCRVP13_11	1.897	-0.497	-1.634	1.101	0.101
TCRVP13_12	-0.216	-0.368	0.370	0.170	0.021
TCRVP13_13	0.011	-0.157	0.282	-0.039	-0.111
TCRVP13_14	-0.019	-0.091	-0.288	0.112	0.001
TCRVP13_15	-0.089	-0.564	-0.211	-0.421	0.011
TCRVP14_0	-0.274	-0.364	-1.383	1.050	0.101
TCRVP14_8	-0.362	0.744	1.069	1.742	-1.021
TCRVP14_9	0.766	-0.829	-1.315	-0.440	0.101
TCRVP14_10	-0.477	-0.907	0.267	-0.782	0.451
TCRVP14_11	0.316	1.032	0.004	0.011	0.131
TCRVP14_12	0.114	0.431	0.204	-0.771	0.111
TCRVP14_13	-0.070	0.118	0.110	0.080	0.051
TCRVP14_14	0.012	-0.078	0.138	0.067	0.001
TCRVP14_15	-1.950	0.707	0.205	2.402	1.261
TCRVP15_0	0.015	1.000	0.117	-0.511	0.021
TCRVP15_1	1.385	-0.311	-0.000	0.725	-0.681
TCRVP15_2	1.708	-0.015	-1.181	-0.679	-0.231
TCRVP15_3	-1.473	-2.201	0.832	-2.190	-2.361
TCRVP15_4	-0.206	1.095	0.191	1.091	0.141
TCRVP15_11	-0.457	0.707	0.755	0.430	0.461
TCRVP15_12	-0.154	0.244	0.236	0.211	-0.131
TCRVP15_13	-0.091	0.009	0.033	0.184	-0.021
TCRVP15_14	-0.010	-0.114	1.641	0.649	0.161
TCRVP15_7	1.402	-0.547	2.353	-1.291	-0.101
TCRVP15_8	-0.242	-1.401	0.363	0.900	-1.171

Page 41 of 41

Figure 102

Pct: 003820				
TCSR16_9	-0.368	-1.945	-2.127	0.262
TCSR16_10	1.217	-1.694	2.618	1.602
TCSR16_11	3.240	-0.994	-1.901	1.876
TCSR16_12	0.410	1.489	2.007	-0.325
TCSR16_13	-0.071	-0.004	0.000	-0.113
TCSR16_14	0.008	-0.001	0.009	-0.021
TCSR16_15	0.444	-0.011	0.214	0.352
TCSR16_16	-0.462	-0.431	0.135	0.372
TCSR16_17	1.182	-2.288	1.124	1.667
TCSR16_18	-0.701	1.554	0.514	-0.669
TCSR16_19	0.342	-0.273	-0.817	-1.371
TCSR16_20	0.826	0.369	-1.522	-0.119
TCSR16_21	0.411	-0.395	-0.410	-0.263
TCSR16_22	-1.110	1.039	-0.078	-0.216
TCSR16_23	-0.017	0.162	0.061	-0.269
TCSR16_24	-0.017	0.022	-0.014	-0.002
TCSR16_25	-0.159	-0.344	-0.040	-0.214
TCSR16_26	-0.136	0.001	0.389	0.103
TCSR16_27	0.527	0.900	-0.283	-0.072
TCSR16_28	-0.493	2.152	-0.014	-0.643
TCSR16_29	0.793	2.037	-0.021	-2.053
TCSR16_30	1.088	0.647	1.517	0.033
TCSR16_31	0.094	-2.801	0.007	-2.299
TCSR16_32	0.625	-0.993	1.211	0.527
TCSR16_33	-2.891	0.774	0.037	2.526
TCSR16_34	0.010	-0.063	0.112	0.054
Page 12/200 of 12/200				

Pct: 003820				
TCSR16_14	1.180	0.062	0.228	-0.251
TCSR16_15	0.149	0.348	0.348	0.082
TCSR16_16	0.061	0.014	0.014	0.014
TCSR16_17	-0.172	0.329	-0.255	0.342
TCSR16_18	0.864	0.432	-0.237	0.832
TCSR16_19	-0.607	-1.852	-1.027	0.178
TCSR16_20	0.012	2.708	-1.401	0.294
TCSR16_21	1.410	0.309	-0.406	1.567
TCSR16_22	0.191	-1.680	-1.705	-0.481
TCSR16_23	-0.240	-0.387	0.505	1.067
TCSR16_24	0.072	0.055	0.159	0.024
TCSR16_25	-0.021	-0.064	0.040	0.195
TCSR16_26	0.516	0.363	0.432	0.349
TCSR16_27	1.275	0.207	-3.475	1.409
TCSR16_28	0.447	2.745	-0.428	-1.658
TCSR16_29	0.331	0.319	0.222	0.347
TCSR16_30	-0.075	-2.727	-0.821	0.463
TCSR16_31	-0.740	-0.471	-0.831	0.457
TCSR16_32	0.046	-0.190	0.018	-0.077
TCSR16_33	0.001	0.014	-0.018	0.032
TCSR16_34	0.318	-0.382	-0.294	0.091
TCSR16_35	-0.106	-0.290	0.097	0.079
TCSR16_36	1.023	-0.393	0.506	2.042
TCSR16_37	1.307	-0.158	0.159	-0.471
TCSR16_38	0.775	0.108	-0.016	-0.287
TCSR16_39	-1.610	0.422	2.044	-0.011
TCSR16_40	-0.285	0.493	0.107	-0.194
TCSR16_41	0.095	-0.339	0.248	-0.314
TCSR16_42	0.001	-0.004	0.033	-0.030
TCSR16_43	-0.199	0.250	-0.327	0.899
TCSR16_44	-0.655	-0.015	-1.034	-0.317
TCSR16_45	-0.707	0.407	0.002	-0.195
TCSR16_46	-2.083	0.792	1.591	0.749
TCSR16_47	2.228	-0.425	0.112	0.196
TCSR16_48	0.621	-1.187	0.725	-0.164
TCSR16_49	1.107	-0.159	0.159	-0.404
TCSR16_50	0.183	-0.010	0.181	-0.028
TCSR16_51	0.013	0.091	-0.109	0.007
TCSR16_52	0.327	0.289	0.012	-0.439
TCSR16_53	-0.154	-0.029	0.556	-0.779
TCSR16_54	-1.803	0.175	-0.575	0.082
TCSR16_55	0.123	0.510	0.698	-1.134
TCSR16_56	2.174	-2.065	-0.454	0.812
TCSR16_57	-0.104	-0.252	0.127	-0.647
TCSR16_58	0.206	0.240	0.034	0.251
TCSR16_59	0.049	0.139	0.363	0.270
TCSR16_60	0.463	0.344	0.542	0.192
TCSR16_61	0.071	0.327	-0.117	-0.189
TCSR16_62	0.492	0.406	0.925	-1.173
TCSR16_63	0.194	-0.860	-0.611	0.322
TCSR16_64	-0.741	-0.707	-0.838	0.240
TCSR16_65	-0.493	-0.743	0.435	-0.107
TCSR16_66	-0.185	0.872	-0.168	0.133
TCSR16_67	0.043	-0.010	0.000	0.113
TCSR16_68	0.103	-0.010	-0.152	-0.114
TCSR16_69	-0.087	-0.248	0.511	-0.127
TCSR16_70	-2.582	-0.251	0.484	0.090
TCSR16_71	1.240	0.490	0.490	0.394
TCSR16_72	-1.147	-0.422	-0.174	0.633
TCSR16_73	-0.259	0.133	0.203	0.539
TCSR16_74	-1.261	0.183	-0.456	-1.232
TCSR16_75	-0.273	0.162	-0.935	-0.613
TCSR16_76	-0.018	-0.023	-0.141	-0.007
TCSR16_77	-0.059	-0.000	0.298	-0.122
Page 12/200 of 12/200				

Pct: 003820				
TCSR16_78	-0.299	0.014	0.483	-0.447
TCSR16_79	0.845	0.325	1.078	-1.432
TCSR16_80	0.057	-1.447	1.129	-0.144
TCSR16_81	0.091	-2.132	-0.403	-2.830
TCSR16_82	-0.158	-0.016	2.772	0.091
TCSR16_83	0.018	-0.333	1.005	-0.468
TCSR16_84	0.391	0.113	0.254	-0.124
TCSR16_85	0.511	0.178	0.149	0.824
TCSR16_86	-0.082	-0.146	0.087	-0.008
TCSR16_87	-0.088	0.040	0.139	-0.675
TCSR16_88	0.311	-0.534	-1.023	-1.324
TCSR16_89	1.288	-0.821	-1.583	-1.233
TCSR16_90	0.178	-0.178	0.305	1.488
TCSR16_91	-0.732	0.220	0.837	0.390
TCSR16_92	-0.260	1.184	0.179	0.810
TCSR16_93	-0.499	0.588	0.171	0.461
TCSR16_94	-0.039	0.030	-0.026	0.008
TCSR16_95	-0.187	0.121	-0.022	-0.054
TCSR16_96	-0.403	-0.862	0.367	0.149
TCSR16_97	-0.099	-0.881	0.360	-0.106
TCSR16_98	-0.061	-0.651	0.280	-0.539
TCSR16_99	1.009	0.090	-0.135	0.004
TCSR16_100	0.417	0.408	-0.147	-0.359
TCSR16_101	0.305	0.837	0.107	-0.425
TCSR16_102	0.065	0.524	0.250	0.166
TCSR16_103	-0.545	0.392	0.070	0.387
TCSR16_104	-0.174	0.137	-0.113	0.399
TCSR16_105	-0.065	0.051	-0.044	0.148
TCSR16_106	-0.244	0.064	-0.262	-0.156
TCSR16_107	-1.143	0.239	-0.559	-0.243
TCSR16_108	0.685	0.772	-0.679	0.103
TCSR16_109	-1.397	0.324	-1.048	0.097
TCSR16_110	1.287	-0.944	-0.089	-0.817
TCSR16_111	-0.344	0.009	1.164	-0.648
TCSR16_112	0.229	-0.337	0.371	-0.210
TCSR16_113	0.655	0.039	0.818	0.658
TCSR16_114	0.109	-0.165	0.321	0.429
TCSR16_115	-0.120	0.108	-0.151	0.302
TCSR16_116	0.219	-0.180	0.339	1.069
TCSR16_117	0.394	-0.753	0.308	-0.422
TCSR16_118	-0.253	-0.434	0.583	0.191
TCSR16_119	-0.134	-0.253	-0.253	-0.123
TCSR16_120	0.615	0.796	0.191	0.492
TCSR16_121	-0.627	0.030	-0.067	-1.198
TCSR16_122	0.155	0.316	-0.308	-0.711
TCSR16_123	-0.188	-0.140	0.061	0.101
TCSR16_124	-0.195	-0.049	0.061	-0.008
TCSR16_125	0.772	-0.000	-0.173	-0.758
TCSR16_126	-0.473	-0.320	0.155	0.553
TCSR16_127	0.212	-0.529	-0.182	-0.106
TCSR16_128	1.124	0.024	-0.375	-0.635
TCSR16_129	-1.004	0.793	-0.506	-0.149
TCSR16_130	-0.945	0.163	0.254	0.464
TCSR16_131	-0.207	-0.108	0.291	0.149
TCSR16_132	-0.073	0.033	0.048	0.039
TCSR16_133	-0.069	0.047	-0.002	-0.041
TCSR16_134	-1.424	0.823	-0.612	0.308
TCSR16_135	-0.294	-0.601	-0.108	-0.135
TCSR16_136	-0.310	-0.202	0.367	0.197
TCSR16_137	0.473	-0.750	-0.195	-0.387
TCSR16_138	-1.754	0.153	0.793	-1.855
TCSR16_139	2.513	0.639	0.264	-0.576
TCSR16_140	1.082	0.811	0.078	-0.646
Page 12/200 of 12/200				

Pct: 003820				
TCSR16_121	0.373	0.129	0.365	0.366
TCSR16_122	0.141	-0.002	0.240	0.062
TCSR16_123	-0.200	-0.084	-0.380	0.741
TCSR16_124	-0.835	0.401	0.641	-0.443
TCSR16_125	0.165	1.818	-0.501	-0.780
TCSR16_126	-2.297	-1.879	-0.346	0.342
TCSR16_127	1.631	-1.711	-0.706	0.361
TCSR16_128	1.964	0.138	-0.321	-0.789
TCSR16_129	0.732	0.347	-2.025	1.928
TCSR16_130	0.010	-0.103	-0.073	-0.321
TCSR16_131	0.003	0.009	0.023	0.002
TCSR16_132	-0.182	-1.117	-0.305	-0.021
TCSR16_133	-0.089	0.569	2.138	-0.613
TCSR16_134	0.177	0.767	3.683	0.621
TCSR16_135	0.141	2.436	0.365	-1.603
TCSR16_136	-0.168	-2.166	0.584	0.101
TCSR16_137	-1.842	0.730	-0.489	1.739
TCSR16_138	-1.010	1.406	-1.356	1.166
TCSR16_139	-0.379	1.000	-0.400	0.442
TCSR16_140	-0.130	-0.170	0.079	-0.164
TCSR16_141	0.017	0.006	0.006	0.032
TCSR16_142	0.174	0.057	0.143	0.002
TCSR16_143	0.316	-0.883	0.112	0.476
TCSR16_144	1.152	-0.721	-0.117	1.019
TCSR16_145	1.156	0.035	1.419	2.026
TCSR16_146	0.448	1.014	2.647	0.289
TCSR16_147	-0.694	-2.291	-1.970	-1.817
TCSR16_148	-0.868	-0.947	-0.839	-0.198
TCSR16_149	0.171	-0.074	-0.695	0.193
TCSR16_150	-1.621	1.203	-0.243	1.482
TCSR16_151	-0.056	0.038	-0.001	-0.033
Page 12/200 of 12/200				

TCRBV04_9	-0.380	-0.497	0.305	0.467	0.601	TCRBV03_10	0.313	0.091	0.214	-0.766	0.370
TCRBV04_10	0.067	0.229	-0.231	-1.242	0.703	TCRBV03_11	-1.240	-0.215	-0.352	-0.009	0.088
TCRBV04_11	0.696	0.091	-0.225	-1.045	-0.781	TCRBV03_12	0.410	-0.321	-0.321	-0.006	0.066
TCRBV04_12	0.930	-0.023	-0.262	0.160	-0.422	TCRBV03_13	-0.154	-0.018	0.100	-0.023	-0.234
TCRBV04_13	-1.925	-0.431	-0.464	0.267	-0.492	TCRBV03_14	-0.220	0.073	0.448	-0.401	-0.203
TCRBV04_14	0.048	0.119	-0.054	0.604	0.094	TCRBV03_15	0.191	0.414	-0.603	-0.003	-0.193
TCRBV04_15	-0.145	0.222	-0.039	0.133	-0.021	TCRBV03_16	-1.128	-0.203	-0.908	-2.393	0.176
TCRBV05_1_9	-0.187	0.084	0.140	-0.156	-0.047	TCRBV03_17	-1.097	-0.238	0.463	-0.396	1.788
TCRBV05_1_10	-0.784	0.005	1.127	-0.349	-1.081	TCRBV03_18	-0.529	0.316	0.022	-0.181	-0.373
TCRBV05_1_11	-0.463	0.145	-0.727	-1.560	-0.917	TCRBV03_19	-1.803	-0.101	-0.352	-0.002	0.023
TCRBV05_1_12	1.494	0.566	-0.074	1.290	0.101	TCRBV03_20	0.124	0.425	1.089	1.636	0.200
TCRBV05_1_13	-1.002	-1.365	0.071	-0.026	-0.021	TCRBV03_21	0.121	0.147	0.603	0.913	-0.066
TCRBV05_1_14	0.689	0.479	-0.173	-1.119	-0.751	TCRBV03_22	0.340	0.499	0.164	0.490	0.108
TCRBV05_1_15	0.589	0.199	-0.076	0.508	0.122	TCRBV03_23	-0.003	0.003	0.003	0.003	0.003
TCRBV05_1_16	0.311	0.128	-0.474	0.243	0.596	TCRBV03_24	0.722	0.362	-0.483	-0.351	-0.139
TCRBV05_1_17	-0.058	0.172	-0.043	0.226	0.025	TCRBV03_25	0.842	0.382	-0.713	0.063	0.823
TCRBV05_2_1	-0.193	0.005	0.047	-0.306	-0.183	TCRBV03_26	0.316	-0.457	-0.381	-0.072	1.074
TCRBV05_2_2	0.474	0.620	0.038	0.038	0.731	TCRBV03_27	-0.004	0.916	0.019	-1.278	0.798
TCRBV05_2_3	-0.141	1.023	0.192	1.215	-0.125	TCRBV03_28	-0.434	-0.530	0.421	-0.190	-0.647
TCRBV05_2_4	0.225	-0.634	0.313	0.509	-0.009	TCRBV03_29	-1.029	0.611	0.111	0.352	-0.481
TCRBV05_2_5	0.915	-0.694	0.182	-0.944	-0.289	TCRBV03_30	-0.562	0.820	0.044	-0.178	-0.303
TCRBV05_2_6	-0.563	-0.004	0.044	-0.514	-0.283	TCRBV03_31	-0.175	0.019	0.019	0.019	0.019
TCRBV05_2_7	-0.532	-0.167	-0.179	-0.536	-0.379	TCRBV03_32	-0.044	0.062	-0.280	0.134	-0.098
TCRBV05_2_8	-0.175	0.023	0.030	-0.157	-0.044	TCRBV03_33	-0.972	0.017	-0.360	0.328	0.057
TCRBV05_2_9	0.006	0.012	-0.049	-0.039	0.124	TCRBV03_34	-0.597	0.263	0.146	0.243	0.084
TCRBV05_2_10	0.384	-0.089	0.000	-0.334	-0.077	TCRBV03_35	-0.023	-0.023	-0.023	-0.023	-0.023
TCRBV05_2_11	0.510	0.824	0.632	0.059	-0.184	TCRBV03_36	-1.042	0.612	-0.205	-1.281	-1.087
TCRBV05_2_12	0.483	0.106	0.378	0.432	0.122	TCRBV03_37	1.012	-0.917	0.936	0.819	0.350
TCRBV05_2_13	1.472	-0.367	-0.245	-0.017	-0.570	TCRBV03_38	1.613	0.243	0.545	0.251	-0.765
TCRBV05_2_14	-0.804	-0.066	0.032	0.103	0.045	TCRBV03_39	0.602	0.513	0.272	0.816	0.016
TCRBV05_2_15	0.178	0.723	0.586	0.092	1.272	TCRBV03_40	0.	0.	0.	0.	0.
TCRBV06_1	0.080	-0.207	-0.967	0.384	-0.284	TCRBV11_1	0.183	0.129	-0.200	0.194	0.028
TCRBV06_2	-0.004	0.120	-0.206	-0.099	0.054	TCRBV11_2	0.048	0.018	-0.074	0.072	0.010
TCRBV06_3	0.005	-0.011	0.023	-0.061	0.024	TCRBV11_3	0.022	0.033	0.130	-0.023	0.187
TCRBV06_4	-0.004	0.273	-0.386	-0.086	-0.048	TCRBV11_4	1.110	-0.584	1.057	-0.068	-0.140
TCRBV06_5	-0.482	-1.364	0.764	0.175	-0.684	TCRBV11_5	-0.075	-0.749	0.467	0.097	-0.644
TCRBV06_6	-0.703	0.737	-0.779	0.164	-0.084	TCRBV11_6	-0.219	-1.402	0.489	-0.128	-1.174
TCRBV06_7	0.020	-0.199	0.325	0.863	0.097	TCRBV11_7	0.097	-0.402	0.187	-0.077	-0.173
TCRBV06_8	0.931	0.422	0.884	0.290	0.171	TCRBV11_8	0.119	0.986	-0.988	1.009	0.253
TCRBV06_9	0.869	0.237	-0.822	-0.173	-0.303	TCRBV11_9	-2.043	1.000	-0.114	-0.632	0.668
TCRBV06_10	0.275	-0.052	0.032	0.129	0.012	TCRBV11_10	0.547	0.877	-1.591	0.308	0.902
TCRBV06_11	0.018	0.186	0.216	-0.042	-0.124	TCRBV11_11	0.492	0.242	0.042	0.192	0.046
TCRBV06_12	-0.383	0.415	-0.237	-0.181	-0.147	TCRBV11_12	0.121	0.015	-0.091	-0.017	0.949
TCRBV06_13	-0.135	0.263	-0.377	0.501	-0.132	TCRBV11_13	-1.169	0.238	0.295	0.299	0.480
TCRBV06_14	-0.470	0.091	0.058	0.150	0.358	TCRBV11_14	0.554	1.214	0.108	-0.287	-0.776
TCRBV06_15	1.322	1.568	-1.689	-0.176	0.150	TCRBV11_15	0.581	-1.703	0.691	-0.803	0.413
TCRBV06_16	0.102	1.256	0.980	0.359	0.759	TCRBV11_16	0.455	0.203	0.486	-0.737	0.239
TCRBV06_17	-0.321	0.553	0.529	-0.535	-0.093	TCRBV11_17	-0.196	-0.138	1.183	0.204	-0.327
TCRBV06_18	-0.129	-0.397	-0.027	-0.222	0.12	TCRBV11_18	0.710	-0.070	-0.809	-0.185	0.427
TCRBV06_19	-0.086	0.479	0.143	-0.064	0.096	TCRBV11_19	0.213	0.030	0.196	0.196	0.096
TCRBV06_20	-0.214	0.771	0.245	0.443	0.490	TCRBV11_20	0.112	-0.680	-0.176	0.063	0.005
TCRBV06_21	-0.208	1.041	0.104	0.159	0.290	TCRBV11_21	0.308	0.021	-0.164	-0.004	-0.105
TCRBV06_22	0.105	1.090	0.137	0.534	0.564	TCRBV11_22	0.564	0.312	-0.184	-0.277	0.014
TCRBV06_23	-0.309	-0.309	-0.899	-0.301	-0.841	TCRBV11_23	0.135	0.135	0.135	-0.407	-0.107
TCRBV06_24	0.947	-0.838	-0.159	-0.180	-0.626	TCRBV11_24	0.303	-0.479	-0.102	0.386	0.164
TCRBV06_25	0.630	-0.072	-0.046	-0.573	-0.043	TCRBV11_25	-0.497	-0.984	-0.253	-0.098	-0.256
TCRBV06_26	0.313	0.236	-0.014	-0.474	0.1	TCRBV11_26	-1.038	1.158	-0.880	-0.494	-0.094
TCRBV06_27	-0.010	-0.006	0.079	0.049	0.038	TCRBV11_27	0.019	0.019	0.019	0.019	0.019
TCRBV06_28	-0.037	-0.000	-0.069	0.141	0.079	TCRBV11_28	0.086	0.023	-0.003	0.213	0.073
TCRBV06_29	-0.376	-0.030	-0.063	0.080	0.078	TCRBV11_29	0.032	0.017	-0.041	0.064	0.023
TCRBV06_30	-0.408	-0.408	-0.408	-0.408	-0.408	TCRBV11_30	-0.022	0.052	0.013	-0.064	-0.063
TCRBV06_31	-0.331	-0.331	-0.331	-0.331	-0.331	TCRBV11_31	-0.242	0.031	-1.386	-0.386	-0.386
TCRBV06_32	-0.408	-0.408	-0.408	-0.408	-0.408	TCRBV11_32	-0.773	-0.068	0.204	0.636	-0.051
TCRBV06_33	-0.930	-0.398	0.460	-0.094	0.578	TCRBV11_33	-1.179	-0.094	-0.204	0.111	-0.181

Phi: 0.000000					Phi: 0.000000						
TCRBV15_8	0.0750	0.1239	-0.001	0.329	0.060	TCRBV03_12	0.462	-0.235	-0.704	0.351	0.054
TCRBV15_9	1.208	0.130	1.383	-0.416	0.418	TCRBV03_13	0.364	1.230	-0.599	0.225	-0.028
TCRBV15_10	0.340	-1.442	0.086	0.853	0.070	TCRBV04_6	-0.077	0.040	0.017	0.051	0.045
TCRBV15_11	0.879	-0.497	0.040	-0.015	0.349	TCRBV04_7	0.065	-0.373	0.017	0.137	0.327
TCRBV15_12	-0.276	-0.212	-0.001	-0.043	0.079	TCRBV04_8	-0.001	0.303	-0.621	0.021	0.118
TCRBV16_5	-0.131	0.237	0.053	0.198	-0.079	TCRBV04_9	0.646	-1.073	0.121	0.632	-0.154
TCRBV16_6	-0.439	0.666	-0.884	1.149	0.117	TCRBV04_10	-0.266	0.028	-0.525	-1.448	-0.492
TCRBV16_7	-0.255	0.423	-0.001	-1.046	0.007	TCRBV04_11	0.116	0.607	-0.192	0.044	-0.088
TCRBV16_8	-0.059	0.742	1.006	0.007	0.007	TCRBV04_12	-0.248	0.168	0.115	0.537	0.017
TCRBV16_9	0.353	-0.299	-0.533	0.191	-1.618	TCRBV04_13	-0.147	0.126	-0.038	-0.249	0.120
TCRBV16_10	-0.445	0.458	-2.439	-0.319	0.453	TCRBV04_14	-0.376	0.090	0.080	-0.627	-0.083
TCRBV16_11	1.179	-0.232	0.274	0.828	0.555	TCRBV04_15	0.896	0.008	0.000	0.363	0.038
TCRBV16_12	1.234	-1.220	0.280	-1.105	-0.290	TCRBV05_1	0.095	-0.742	-0.117	0.091	0.022
TCRBV16_13	0.110	0.115	0.031	-0.121	-0.053	TCRBV05_1_6	0.090	-0.748	-0.158	0.465	-0.361
TCRBV16_14	0.062	-0.007	0.012	0.016	-0.028	TCRBV05_1_7	1.134	-0.180	-0.340	-0.131	0.049
TCRBV17_4	-0.345	0.670	0.183	0.532	-0.535	TCRBV05_1_8	-1.169	-0.492	-0.829	-0.312	0.232
						TCRBV05_1_9	0.976	1.173	1.475	0.817	-0.242
TCRBV18_5	-0.407	0.864	0.120	0.556	-0.878	TCRBV05_1_10	-1.264	0.021	-0.311	-0.388	-0.566
TCRBV18_6	-1.215	-0.101	0.120	-2.038	0.000	TCRBV05_1_11	0.470	0.370	0.480	-0.433	0.634
TCRBV18_7	-1.112	-0.788	-0.503	0.752	0.228	TCRBV05_1_12	-0.706	-0.664	-0.425	0.434	0.334
TCRBV18_8	0.039	-1.462	0.205	-0.204	1.216	TCRBV05_1_13	-0.006	0.036	-0.078	-0.212	0.323
TCRBV18_9	0.612	-0.109	-0.765	0.095	0.892	TCRBV05_1_14	-0.000	-0.000	-0.129	-0.064	0.029
TCRBV18_10	-0.873	-0.475	-0.505	-0.795	0.000	TCRBV05_1_15	-0.333	0.476	0.304	-0.790	0.023
TCRBV18_11	0.327	0.278	-0.587	0.179	-0.186	TCRBV05_2	-0.546	-0.349	0.472	-0.043	-0.501
TCRBV18_12	0.117	0.057	-0.029	0.069	-0.053	TCRBV05_2_7	0.330	-0.218	-0.366	0.497	-0.606
TCRBV18_13	-0.040	0.025	-0.046	0.020	-0.045	TCRBV05_2_8	-0.485	-0.301	0.389	0.409	0.000
TCRBV18_14	-0.155	-0.449	-0.129	0.106	-0.029	TCRBV05_2_11	0.885	0.292	0.342	0.291	0.434
TCRBV20_6	-0.440	0.164	-0.032	0.041	0.079	TCRBV05_2_12	0.151	0.068	-0.110	0.806	0.378
TCRBV20_7	0.191	-0.390	0.414	-0.877	-0.719	TCRBV05_2_13	-0.182	0.821	0.060	-0.319	-0.017
TCRBV20_8	-0.227	-0.448	0.547	-0.947	1.055	TCRBV06_5	0.028	-0.583	0.071	0.091	0.006
TCRBV20_9	1.665	-0.650	-0.903	0.222	-1.122	TCRBV06_6	-0.364	-0.862	0.103	0.379	-0.109
TCRBV20_10	-0.152	0.082	0.732	1.997	0.025	TCRBV06_7	0.036	-0.190	0.745	0.582	-0.393
TCRBV20_11	1.612	1.397	0.281	-0.411	-0.411	TCRBV06_8	-0.244	-0.021	-0.438	-0.312	-0.112
TCRBV20_12	0.0394	0.264	-0.489	0.264	-0.489	TCRBV06_9	-1.055	0.098	0.253	0.189	-0.301
TCRBV20_13	0.066	1.336	-0.794	0.415	-0.930	TCRBV06_10	0.813	1.255	-0.132	-0.126	0.203
TCRBV20_14	-0.018	0.042	0.012	-0.032	0.052	TCRBV06_11	1.757	0.001	-0.538	-0.549	0.287
						TCRBV06_12	0.007	-0.112	-0.246	0.064	-0.024
						TCRBV06_13	0.505	0.310	0.064	0.379	-0.023
						TCRBV07_5	-0.008	-0.005	0.028	-0.037	-0.034
TCRBV01_6	-0.282	-0.178	-0.017	0.033	0.145	TCRBV07_6	-0.158	0.245	0.156	0.119	0.119
TCRBV01_7	-0.078	0.188	0.185	0.172	-0.121	TCRBV07_7	0.184	0.154	-0.638	-0.270	0.274
TCRBV01_8	0.717	0.327	0.297	0.175	0.388	TCRBV07_8	-0.102	-0.486	-0.247	0.820	-0.489
TCRBV01_9	0.358	0.470	-0.805	-1.089	-0.176	TCRBV07_9	0.588	0.455	0.107	-1.087	-0.005
TCRBV01_10	0.193	0.121	-0.011	0.136	0.136	TCRBV07_10	-0.011	-0.005	0.486	0.508	-0.516
TCRBV01_11	0.142	0.104	0.153	0.100	0.322	TCRBV07_11	0.347	0.498	0.487	0.159	-0.428
TCRBV01_12	0.180	-0.363	-0.174	0.290	0.344	TCRBV07_12	-0.505	-0.544	0.455	0.428	-0.000
TCRBV01_13	0.092	0.227	0.033	0.046	-0.653	TCRBV07_13	-0.001	-0.389	-0.013	0.060	-0.113
TCRBV01_14	0.021	0.030	0.017	0.004	0.004	TCRBV08_1_5	0.015	-0.163	-0.033	0.165	0.048
TCRBV02_7	0.083	0.027	-0.094	0.174	0.716	TCRBV08_1_6	0.340	-0.221	0.134	-0.209	0.293
TCRBV02_8	0.584	-0.302	-0.264	0.158	-0.047	TCRBV08_1_7	0.198	0.293	0.882	-0.781	0.380
TCRBV02_9	-0.324	-0.440	-0.028	-0.282	-0.324	TCRBV08_1_8	-0.282	0.190	0.180	-1.461	-0.362
TCRBV02_10	-0.326	0.124	0.506	0.212	0.010	TCRBV08_1_9	-0.341	0.493	0.100	0.604	-0.275
TCRBV02_11	-0.999	0.221	0.548	-0.144	-0.024	TCRBV08_1_10	-0.120	-0.335	-0.876	-0.295	0.319
TCRBV02_12	-0.992	0.143	-0.135	-0.056	-0.027	TCRBV08_1_11	-0.066	-0.504	-0.743	0.167	-0.487
TCRBV02_13	-0.464	-0.551	-0.017	-0.251	-0.042	TCRBV08_1_12	-0.114	-0.164	-0.132	-1.255	-0.682
TCRBV02_14	-0.070	-0.031	-0.108	-0.150	0.002	TCRBV08_2_4	-0.267	0.115	0.380	0.258	0.345
TCRBV03_4	0.049	-0.011	-0.028	0.006	-0.007	TCRBV08_2_5	-0.027	0.511	-0.004	0.191	0.247
TCRBV03_5	-0.011	-0.028	0.016	0.094	-0.012	TCRBV08_2_6	-0.023	0.512	-0.003	0.457	0.447
TCRBV03_6	-0.358	0.170	0.219	-0.220	0.017	TCRBV08_2_7	-0.078	0.719	-0.008	0.377	0.039
TCRBV03_7	0.303	-0.272	0.533	-0.055	-0.301	TCRBV08_2_8	-0.099	-0.784	-0.190	-0.494	-0.021
TCRBV03_8	-0.244	-0.173	1.131	-0.456	-0.218	TCRBV08_2_9	0.374	-0.443	-0.387	-0.432	-0.230
TCRBV03_9	-0.899	-0.708	-0.244	-0.899	-0.708	TCRBV08_2_10	0.490	-0.153	0.153	-0.374	0.174
TCRBV03_10	-0.311	0.163	0.035	0.032	0.583	TCRBV08_2_11	0.879	-0.108	-0.139	-0.024	-0.332
TCRBV03_11	0.335	0.257	-0.349	0.608	-0.206	TCRBV08_2_14	0.026	0.095	-0.041	0.817	-0.000

Figure 104

File: A2[Person]

File: A2[Person]

TCRVS03_7	0.077	-0.182	0.423	0.105	-0.134	TCRVS08_8	-0.328	-1.074	-0.302	-0.826	-0.373
TCRVS03_9	0.153	-0.595	0.383	-0.147	-0.172	TCRVS08_9	0.182	0.031	-0.251	0.364	0.188
TCRVS03_10	-0.075	-0.146	0.024	-0.469	0.315	TCRVS09_10	-0.042	-0.133	-0.021	0.497	-0.293
TCRVS03_11	-0.903	0.337	-0.069	0.435	-0.141	TCRVS09_11	-0.120	0.470	0.148	0.118	-0.005
TCRVS03_12	0.134	0.223	0.046	0.755	-0.637	TCRVS09_12	0.011	-0.003	-0.022	0.315	-0.025
TCRVS03_13	-0.009	-0.547	0.302	0.033	0.410	TCRVS09_13	0.241	0.045	0.267	-0.033	0.232
TCRVS03_14	0.233	-0.054	-0.338	-0.559	-0.130	TCRVS09_14	0.132	-0.060	-0.261	0.134	-0.110
TCRVS04_6	-0.079	0.050	-0.020	-0.049	0.007	TCRVS09_15	0.253	0.005	-0.075	0.952	-0.102
TCRVS04_7	-0.144	0.108	-0.211	-0.025	-0.197	TCRVS09_16	0.120	-0.307	0.030	0.766	-0.009
TCRVS04_8	0.599	-0.612	-0.079	0.431	0.295	TCRVS09_17	-0.444	0.315	-0.667	0.101	-0.169
TCRVS04_9	0.004	0.005	-0.715	0.115	0.304	TCRVS09_18	-0.447	0.596	0.062	0.659	0.167
TCRVS04_10	-0.089	-0.510	0.101	0.371	0.548	TCRVS09_19	-0.047	0.051	0.413	0.476	0.093
TCRVS04_11	-0.614	0.128	-0.423	-0.403	-0.30	TCRVS09_20	0.250	-0.016	0.116	-0.081	0.118
TCRVS04_12	0.461	0.316	0.197	0.276	0.297	TCRVS09_21	-0.029	-0.013	0.123	-0.036	0.038
TCRVS04_13	0.010	0.803	-0.832	-0.224	-0.893	TCRVS09_22	0.147	0.834	0.074	-0.044	0.153
TCRVS04_14	-0.101	-0.435	-0.146	-0.099	-0.736	TCRVS09_23	0.337	-0.356	-0.391	0.733	0.643
TCRVS04_15	0.154	0.146	0.111	-0.204	-0.173	TCRVS09_24	0.177	0.183	0.393	0.009	0.418
TCRVS04_16	-0.354	-0.499	0.016	-0.014	-0.037	TCRVS09_25	-0.324	0.277	-0.097	0.104	0.126
TCRVS05_1	0.230	0.114	-0.261	0.300	0.279	TCRVS09_26	-0.403	-0.411	0.139	-0.133	-0.023
TCRVS05_2	-0.467	-0.417	0.229	-0.036	0.223	TCRVS09_27	-0.187	-0.186	0.005	-0.018	-0.423
TCRVS05_3	0.206	-0.266	-0.052	0.210	0.448	TCRVS09_28	0.109	0.041	0.208	0.566	0.109
TCRVS05_4	0.160	0.982	0.835	-0.239	0.635	TCRVS09_29	0.142	0.200	0.169	-0.007	0.519
TCRVS05_10	0.310	-0.280	-0.589	-0.172	0.265	TCRVS09_30	0.083	0.131	0.191	0.148	0.184
TCRVS05_11	0.081	0.011	-0.039	0.675	-0.050	TCRVS09_31	0.085	-0.039	-0.054	0.056	0.118
TCRVS05_12	-0.019	-0.744	0.175	0.560	-0.864	TCRVS09_32	-0.013	0.027	-0.013	0.123	0.396
TCRVS05_13	-0.153	-0.109	0.187	-0.028	0.013	TCRVS09_33	-0.171	0.507	-0.394	-0.329	-0.007
TCRVS05_14	-0.062	-0.094	0.049	0.262	-0.220	TCRVS09_34	0.490	0.194	-0.171	-0.715	-0.123
TCRVS05_15	-0.403	0.094	0.157	0.340	-0.075	TCRVS09_35	0.014	0.230	0.004	-0.004	-0.161
TCRVS05_16	0.293	0.176	-0.083	0.102	-0.184	TCRVS09_36	-0.116	-0.723	-0.345	0.160	-0.111
TCRVS05_17	-0.433	-0.246	0.083	0.304	0.427	TCRVS09_37	-0.172	-0.037	0.380	0.802	-0.495
TCRVS05_18	0.864	-1.009	-0.094	0.033	-0.113	TCRVS09_38	0.112	-0.217	0.238	-0.020	0.677
TCRVS05_22_11	-0.323	0.277	-0.042	0.137	0.408	TCRVS09_39	0.084	-0.008	0.020	-0.017	0.048
TCRVS05_22_12	0.214	-0.078	-0.016	-0.026	-0.114	TCRVS11_5	-0.079	-0.148	0.011	0.258	0.144
TCRVS05_22_13	-0.092	0.043	-0.054	-0.041	-0.019	TCRVS11_6	0.083	0.344	-0.289	0.573	0.139
TCRVS06_1	0.114	-0.034	0.034	-0.001	-0.124	TCRVS11_7	-0.291	-0.186	-0.099	-0.030	-0.017
TCRVS06_6	-0.184	0.180	0.164	-0.162	0.180	TCRVS11_8	-0.425	-0.425	-0.239	-0.239	-0.702
TCRVS06_7	-0.413	0.499	-0.094	0.243	-0.044	TCRVS11_9	0.743	0.373	-0.476	-0.048	0.142
TCRVS06_8	-0.694	0.005	-0.723	-0.191	-0.012	TCRVS11_10	-0.094	0.223	0.044	-0.495	-0.530
TCRVS06_9	-0.263	0.019	-0.086	-0.087	-0.735	TCRVS11_11	-0.363	0.089	0.288	-0.166	0.087
TCRVS06_10	1.044	-0.719	0.273	0.282	-0.062	TCRVS11_12	-0.373	0.268	0.334	0.127	0.034
TCRVS06_11	-0.154	0.014	-0.162	0.123	0.624	TCRVS11_13	-0.115	0.014	0.193	-0.038	0.157
TCRVS06_12	0.398	0.384	0.232	-0.107	0.023	TCRVS11_14	0.018	0.036	-0.091	-0.078	-0.036
TCRVS06_13	0.068	-0.158	0.011	0.160	0.294	TCRVS11_15	0.087	0.013	-0.034	-0.029	-0.013
TCRVS06_14	-0.014	0.009	0.056	-0.078	-0.042	TCRVS12_4	-0.019	0.214	0.028	0.128	0.023
TCRVS07_5	-0.266	-0.213	-0.056	-0.478	-0.042	TCRVS12_5	0.146	0.283	0.133	-0.088	0.231
TCRVS07_7	0.563	0.110	0.438	-0.355	-0.371	TCRVS12_6	-0.572	0.563	0.620	-0.135	-0.159
TCRVS07_8	0.355	0.039	-0.635	-0.109	-0.063	TCRVS12_7	-0.110	0.758	0.188	0.525	-0.425
-0.133	0.031	-0.107	-0.145	-0.345	-0.325	TCRVS12_8	-0.031	0.598	0.018	0.917	0.047
TCRVS07_10	-0.434	-0.074	0.342	0.064	0.125	TCRVS12_9	-0.411	-0.734	-0.344	0.297	-0.174
TCRVS07_11	-0.193	-0.166	0.034	0.216	0.103	TCRVS12_10	0.330	0.180	-0.238	-0.199	0.532
TCRVS07_12	-0.105	0.356	0.230	0.322	0.368	TCRVS12_11	-0.418	-0.791	-0.041	-0.378	0.322
TCRVS07_13	-0.085	-0.053	0.150	0.150	0.035	TCRVS12_12	0.177	0.022	0.325	0.163	0.033
TCRVS07_15	-0.043	-0.153	0.043	-0.513	0.023	TCRVS12_13	0.017	0.160	-0.027	0.060	0.074
-0.521	-0.078	-0.189	0.379	0.093	0.099	TCRVS13_6	-0.872	0.024	0.033	0.464	0.107
TCRVS08_1	0.071	-0.461	-0.553	-0.247	0.463	TCRVS13_7	-0.199	-0.163	0.283	0.667	0.249
TCRVS08_8	0.037	0.174	-0.213	-0.137	-0.259	TCRVS13_8	-0.108	-0.108	0.082	-0.132	0.070
TCRVS08_9	-0.123	-0.083	-0.281	0.305	0.149	TCRVS13_9	-0.083	-1.220	0.259	0.023	0.152
TCRVS08_10	0.496	0.011	0.419	0.093	-0.839	TCRVS13_10	0.578	0.035	0.060	-0.578	-0.333
TCRVS08_11	0.103	-0.034	0.002	0.278	0.130	TCRVS13_11	0.370	0.477	0.748	-0.481	-0.104
TCRVS08_12	-0.071	-0.202	-0.057	-0.097	-0.228	TCRVS13_12	0.213	0.295	0.103	-0.118	0.119
TCRVS08_13	-0.087	-0.097	0.014	-0.054	-0.097	TCRVS13_13	0.027	0.231	0.324	-0.355	-0.098
TCRVS08_2_3	0.278	0.203	0.313	-0.038	0.042	TCRVS14_5	-0.013	0.073	0.025	0.043	0.085
TCRVS08_2_6	0.236	-0.182	0.086	-0.188	-0.378	TCRVS14_6	0.097	0.038	0.240	-0.049	-0.053
TCRVS08_2_7	-0.109	0.677	-0.027	-0.006	-0.701	TCRVS14_7	-0.070	-0.194	-0.172	0.238	0.103

Page: 42/491 of 41/491

Page: 42/491 of 41/491

Figure 105

Page 41260 of 41260Page 112001 of 112001Page 41 of 41Page 612421 of 612422

Figure 106

Pct: 61200000				
TCRBV02_9	0.038	0.433	-0.381	-0.098
TCRBV02_9	0.011	-0.019	-0.018	0.098
TCRBV02_10	-0.038	-0.287	-0.027	0.031
TCRBV02_11	-0.031	-0.113	0.218	-0.332
TCRBV02_12	0.173	0.093	-0.413	0.013
TCRBV02_13	0.009	-0.116	-0.020	0.002
TCRBV03_4	-0.013	0.010	0.007	-0.104
TCRBV03_5	0.021	0.015	0.007	0.015
TCRBV03_6	0.163	-0.116	0.244	0.021
TCRBV03_7	0.277	-0.285	0.423	0.048
TCRBV03_8	0.020	0.170	-0.236	0.050
TCRBV03_9	-0.284	-0.207	-0.179	-0.044
TCRBV03_10	0.231	0.089	-0.083	-0.163
TCRBV03_11	-0.214	0.379	-0.361	0.072
TCRBV03_12	-0.092	0.244	0.063	0.208
TCRBV03_13	0.298	-0.249	-0.110	-0.066
TCRBV04_4	0.038	0.039	0.030	0.013
TCRBV04_7	0.113	0.048	0.327	-0.334
TCRBV04_8	-0.029	0.128	-0.131	-0.074
TCRBV04_9	-0.006	0.149	-0.101	-0.084
TCRBV04_10	-0.234	-0.019	-0.190	-0.388
TCRBV04_11	0.034	-0.157	0.245	-0.179
TCRBV04_12	-0.063	-0.093	-0.044	0.443
TCRBV04_13	-0.168	-0.090	-0.476	0.077
TCRBV04_14	0.059	-0.057	0.243	0.033
TCRBV04_15	-0.051	0.058	0.006	0.273
TCRBV05_5	-0.202	0.112	0.218	0.237
TCRBV05_6	-0.272	0.191	0.410	0.224
TCRBV05_7	-0.589	0.082	-0.116	0.201
TCRBV05_8	-0.324	-0.703	0.039	-0.233
TCRBV05_9	0.066	-0.364	-0.215	0.035
TCRBV05_10	0.389	-0.086	0.057	-0.026
TCRBV05_11	0.718	-0.212	0.094	-0.363
TCRBV05_12	-0.400	0.238	-0.435	-0.665
TCRBV05_13	-0.129	0.131	0.419	-0.448
TCRBV05_14	-0.063	-0.230	0.178	-0.194
TCRBV05_15	-0.213	-0.078	-0.016	-0.119
TCRBV06_9	0.031	-0.282	0.204	-0.265
TCRBV06_10	-0.175	0.374	0.240	-0.025
TCRBV06_11	-0.583	-0.022	-0.112	-0.355
TCRBV06_12	-0.179	0.078	-0.119	0.219
TCRBV06_13	-0.180	0.132	0.070	-0.126
TCRBV06_14	0.016	-0.105	0.076	-0.171
TCRBV06_15	0.174	-0.153	0.033	-0.115
TCRBV07_5	0.094	-0.098	-0.076	0.025
TCRBV07_6	0.191	0.040	-0.085	0.039
TCRBV07_9	-0.036	0.123	-0.408	-0.035
TCRBV07_10	-0.167	-0.405	-0.468	-0.120
TCRBV07_11	-0.039	-0.138	0.658	-0.192
TCRBV07_12	-0.117	0.383	0.348	0.272
TCRBV07_13	0.089	0.446	-0.287	0.171
TCRBV07_14	0.917	0.053	0.048	-0.068
TCRBV07_15	-0.058	-0.069	0.020	-0.048
TCRBV07_16	0.427	-0.064	0.079	0.073
TCRBV07_17	0.106	-0.006	-0.073	-0.177
TCRBV07_18	-0.111	-0.269	-0.015	-0.007
TCRBV07_19	-0.042	-0.042	-0.217	0.231
TCRBV07_20	0.093	0.094	0.100	-0.036
TCRBV07_21	0.905	0.261	0.149	-0.144
TCRBV07_22	-0.864	0.051	-0.042	-0.273
TCRBV07_23	0.400	0.004	0.104	-0.168
TCRBV08_9	-0.100	0.034	-0.022	-0.006
TCRBV08_10	-0.102	0.097	0.021	0.059
TCRBV08_11			0.221	-0.070

Page 612000 of 612000

Pct: 61200000				
TCRBV08_12	0.142	0.255	-0.154	-0.217
TCRBV08_13	0.255	0.273	0.255	0.003
TCRBV08_14	0.115	0.107	-0.021	-0.055
TCRBV08_15	0.243	-0.014	-0.008	-0.052
TCRBV08_16	0.025	-0.079	-0.133	0.018
TCRBV08_17	0.110	-0.106	0.144	0.015
TCRBV08_18	-0.022	0.044	-0.123	0.093
TCRBV08_19	-0.110	0.014	0.008	-0.054
TCRBV08_20	-0.034	0.002	-0.023	-0.036
TCRBV08_21	-0.043	0.012	0.361	-0.039
TCRBV08_22	-0.102	0.047	-0.251	0.347
TCRBV08_23	0.117	0.141	0.163	0.282
TCRBV08_24	0.112	-0.194	-0.059	-0.044
TCRBV08_25	0.023	-0.019	-0.009	-0.021
TCRBV08_26	0.163	0.419	-0.137	0.090
TCRBV08_27	-0.142	-0.047	-0.113	0.011
TCRBV08_28	-0.047	0.053	-0.296	0.102
TCRBV08_29	-0.131	-0.143	0.387	0.017
TCRBV08_30	-0.243	-0.019	0.264	-0.232
TCRBV08_31	-0.066	-0.262	0.311	-0.107
TCRBV08_32	-0.094	-0.017	-0.129	0.164
TCRBV08_33	0.458	0.184	-0.177	0.119
TCRBV08_34	0.020	0.005	0.017	0.033
TCRBV08_35	0.113	0.109	-0.169	0.327
TCRBV08_36	0.493	-0.120	-0.372	-0.495
TCRBV08_37	0.003	-0.052	-0.212	-0.386
TCRBV08_38	-0.334	-0.187	0.150	0.036
TCRBV08_39	0.607	0.764	-0.527	0.146
TCRBV08_40	0.049	-0.288	-0.121	-0.116
TCRBV08_41	-0.530	-0.122	-0.710	0.190
TCRBV08_42	-0.319	-0.308	0.368	-0.038
TCRBV08_43	-0.359	0.005	0.259	-0.232
TCRBV08_44	-0.110	-0.069	0.101	-0.028
TCRBV08_45	-0.139	-0.221	-0.011	0.371
TCRBV08_46	-0.313	0.224	0.297	-0.138
TCRBV08_47	-0.370	0.224	0.140	-0.305
TCRBV08_48	-0.116	-0.287	-0.157	-0.081
TCRBV08_49	0.091	-0.286	-0.261	-0.002
TCRBV08_50	0.074	0.272	0.089	0.333
TCRBV08_51	0.107	-0.122	-0.101	0.039
TCRBV08_52	-0.006	0.005	0.005	0.003
TCRBV08_53	0.003	0.005	0.119	-0.105
TCRBV08_54	-0.163	0.128	-0.257	0.144
TCRBV08_55	-0.034	0.190	0.131	0.170
TCRBV08_56	-0.048	-0.193	0.169	0.081
TCRBV08_57	-0.048	0.051	-0.369	-0.042
TCRBV08_58	0.281	-0.112	0.043	0.008
TCRBV08_59	0.254	-0.011	0.052	-0.013
TCRBV08_60	0.259	-0.023	-0.127	-0.200
TCRBV08_61	0.044	-0.105	-0.055	-0.048
TCRBV08_62	0.028	0.024	0.015	0.032
TCRBV08_63	-0.010	0.008	0.009	0.006
TCRBV08_64	0.141	0.044	0.018	-0.124
TCRBV08_65	0.228	-0.044	-0.140	-0.056
TCRBV08_66	-0.108	-0.108	0.292	-0.231
TCRBV08_67	-0.281	-0.173	0.523	0.143
TCRBV08_68	0.090	-0.242	-0.180	0.239
TCRBV08_69	-0.192	0.101	-0.204	-0.061
TCRBV08_70	0.400	0.009	0.024	-0.023
TCRBV08_71	-0.153	0.144	-0.023	-0.018
TCRBV08_72	-0.153	0.163	-0.110	0.084
TCRBV08_73	0.013	0.084	0.027	-0.118
TCRBV08_74	0.168	-0.328	0.359	0.024

Page 612001 of 612000

Pct: 61200000				
TCRBV13_7	0.322	-0.328	-0.248	0.284
TCRBV13_8	-0.140	0.461	-0.080	-0.091
TCRBV13_9	0.375	0.131	-0.278	0.089
TCRBV13_10	0.529	0.005	0.015	-0.308
TCRBV13_11	-0.326	0.032	0.076	-0.069
TCRBV13_12	-0.332	-0.099	0.102	-0.061
TCRBV13_13	-0.189	0.043	0.123	-0.080
TCRBV13_14	-0.063	0.052	-0.071	0.031
TCRBV13_15	0.140	-0.051	0.118	-0.018
TCRBV13_16	0.080	-0.167	-0.358	0.251
TCRBV13_17	0.176	0.100	0.338	-0.368
TCRBV13_18	-0.044	-0.026	0.142	0.030
TCRBV13_19	-0.134	0.092	0.208	-0.122
TCRBV13_20	-0.145	0.178	0.006	0.205
TCRBV13_21	-0.145	-0.134	-0.214	-0.037
TCRBV13_22	0.004	0.005	0.000	0.002
TCRBV13_23	0.023	-0.124	-0.041	-0.104
TCRBV13_24	0.033	0.060	0.101	0.027
TCRBV13_25	0.044	-0.117	0.075	-0.346
TCRBV13_26	-0.234	-0.026	-0.080	-0.036
TCRBV13_27	0.241	0.311	-0.025	0.026
TCRBV13_28	-0.335	-0.005	0.067	-0.097
TCRBV13_29	-0.114	-0.104	0.116	0.456
TCRBV13_30	0.514	0.032	-0.164	-0.179
TCRBV13_31	-0.037	0.024	-0.082	0.029
TCRBV13_32	0.044	0.060	0.099	-0.039
TCRBV13_33	0.163	0.342	0.304	-0.141
TCRBV13_34	0.006	0.583	0.143	0.334
TCRBV13_35	0.301	-0.713	-0.273	-0.172
TCRBV13_36	0.254	0.293	0.173	0.137
TCRBV13_37	-0.748	-0.458	-0.242	-0.033
TCRBV13_38	-0.199	-0.411	0.120	0.305
TCRBV13_39	-0.119	0.380	0.015	-0.471
TCRBV13_40	-0.016	0.037	0.004	-0.004
TCRBV13_41	0.023	-0.030	-0.044	-0.034
TCRBV13_42	0.163	0.191	-0.079	0.092
TCRBV13_43	0.169	0.430	0.267	0.219
TCRBV13_44	0.197	0.463	0.390	-0.288
TCRBV13_45	0.075	-0.252	0.085	-0.360
TCRBV13_46	-0.609	-0.182	-0.038	0.136
TCRBV13_47	0.286	-0.175	0.130	0.129
TCRBV13_48	0.634	-0.382	-0.189	-0.065
TCRBV13_49	-0.021	0.333	-0.248	-0.181
TCRBV13_50	0.039	0.003	-0.028	-0.007
TCRBV13_51	-0.078	0.023	0.007	0.024
TCRBV13_52	0.135	0.035	0.111	0.034
TCRBV13_53	0.512	-0.241	-0.132	0.512
TCRBV13_54	0.218	0.389	0.205	-0.133
TCRBV13_55	-0.848	0.514	-0.402	-0.123
TCRBV13_56	0.180	-0.622	0.318	0.083
TCRBV13_57	-0.134	0.268	-0.124	0.243
TCRBV13_58	-0.080	0.203	0.261	-0.257
TCRBV13_59	-0.104	-0.227	-0.093	-0.395
TCRBV13_60	0.075	-0.173	-0.236	-0.075
TCRBV13_61	0.026	-0.100	-0.033	-0.039
TCRBV13_62				-0.084
TCRBV13_63				
TCRBV13_64				
TCRBV13_65				
TCRBV13_66				
TCRBV13_67				
TCRBV13_68				
TCRBV13_69				
TCRBV13_70				
TCRBV13_71				
TCRBV13_72				
TCRBV13_73				
TCRBV13_74				
TCRBV13_75				
TCRBV13_76				
TCRBV13_77				
TCRBV13_78				
TCRBV13_79				
TCRBV13_80				
TCRBV13_81				
TCRBV13_82				
TCRBV13_83				
TCRBV13_84				
TCRBV13_85				
TCRBV13_86				
TCRBV13_87				
TCRBV13_88				
TCRBV13_89				
TCRBV13_90				
TCRBV13_91				
TCRBV13_92				
TCRBV13_93				
TCRBV13_94				
TCRBV13_95				
TCRBV13_96				
TCRBV13_97				
TCRBV13_98				
TCRBV13_99				
TCRBV13_100				
TCRBV13_101				
TCRBV13_102				
TCRBV13_103				
TCRBV13_104				
TCRBV13_105				
TCRBV13_106				
TCRBV13_107				
TCRBV13_108				
TCRBV13_109				
TCRBV13_110				
TCRBV13_111				
TCRBV13_112				
TCRBV13_113				
TCRBV13_114				
TCRBV13_115				
TCRBV13_116				
TCRBV13_117				
TCRBV13_118				
TCRBV13_119				
TCRBV13_120				
TCRBV13_121				
TCRBV13_122				
TCRBV13_123				
TCRBV13_124				
TCRBV13_125				
TCRBV13_126				
TCRBV13_127				
TCRBV13_128				
TCRBV13_129				
TCRBV13_130				
TCRBV13_131				
TCRBV13_132				
TCRBV13_133				
TCRBV13_134				
TCRBV13_135				
TCRBV13_136				
TCRBV13_137				
TCRBV13_138				
TCRBV13_139				
TCRBV13_140				
TCRBV13_141				
TCRBV13_142				
TCRBV13_143				
TCRBV13_144				
TCRBV13_145				
TCRBV13_146				
TCRBV13_147				
TCRBV13_148				
TCRBV13_149				
TCRBV13_150				
TCRBV13_151				
TCRBV13_152				
TCRBV13_153				
TCRBV13_154				
TCRBV13_155				
TCRBV13_156				
TCRBV13_157				
TCRBV13_158				
TCRBV13_159				
TCRBV13_160				
TCRBV13_161				
TCRBV13_162				
TCRBV13_163				
TCRBV13_164				
TCRBV13_165				
TCRBV13_166				
TCRBV13_167				
TCRBV13_168				
TCRBV13_169				
TCRBV13_170				
TCRBV13_171				
TCRBV13_172				
TCRBV13_173				
TCRBV13_174				
TCRBV13_175				
TCRBV13_176				
TCRBV13_177				
TCRBV13_178				
TCRBV13_179				
TCRBV13_180				
TCRBV13_181				
TCRBV13_182				
TCRBV13_183				
TCRBV13_184				
TCRBV13_185				
TCRBV13_186				
TCRBV13_187				
TCRBV13_188				
TCRBV13_189				
TCRBV13_190				
TCRBV13_191				
TCRBV13_192				
TCRBV13_193				
TCRBV13_194				
TCRBV13_195				
TCRBV13_196				
TCRBV13_197				
TCRBV13_198				
TCRBV13_199				
TCRBV13_200				
TCRBV13_201				
TCRBV13_202				
TCRBV13_203				
TCRBV13_204				
TCRBV13_205				
TCRBV13_206				
TCRBV13_207				
TCRBV13_208				
TCRBV13_209				
TCRBV13_210				
TCRBV13_211				
TCRBV13_212				
TCRBV13_213				
TCRBV13_214				
TCRBV13_215				
TCRBV13_216				
TCRBV13_217				
TCRBV13_218				
TCRBV13_219				
TCRBV13_220				
TCRBV13_221				
TCRBV13_222				
TCRBV13_223				
TCRBV13_224				
TCRBV13_225				
TCRBV13_226				
TCRBV13_227				
TCRBV13_228				
TCRBV13_229				
TCRBV13_230				
TCRBV13_231				
TCRBV13_232				
TCRBV13_233				
TCRBV13_234				
TCRBV13_235				
TCRBV13_236				
TCRBV13_237				
TCRBV13_238				
TCRBV13_239				
TCRBV13_240				
TCRBV13_241				
TCRBV13_242				
TCRBV13_243				
TCRBV13_244				
TCRBV13_245				
TCRBV13_246				
TCRBV13_247				
TCRBV13_248				
TCRBV13_249				
TCRBV13_250				
TCRBV13_251				
TCRBV13_252				
TCRBV13_253				
TCRBV13_254				
TCRBV13_255				
TCRBV13_256				
TCRBV13_257				
TCRBV13_258				
TCRBV13_259				
TCRBV13_260				
TCRBV13_261				
TCRBV13_262				
TCRBV13_263				
TCRBV13_264				
TCRBV13_265				
TCRBV13_266				
TCRBV13_267				
TCRBV13_268				
TCRBV13_269				
TCRBV13_270				
TCRBV13_271				
TCRBV13_272				
TCRBV13_273				
TCRBV13_274				
TCRBV13_275				
TCRBV13_276				
TCRBV13_277				
TCRBV13_278				
TCRBV13_279				
TCRBV13_280				
TCRBV13_281				
TCRBV13_282				
TCRBV13_283				
TCRBV13_284				
TCRBV13_285				
TCRBV13_286				
TCRBV13_287				
TCRBV13_288				
TCRBV13_289				
TCRBV13_290				
TCRBV13_291				
TCRBV13_292				
TCRBV13_293				
TCRBV13_294				
TCRBV13_295				
TCRBV13_296				
TCRBV13_297				
TCRBV13_298				
TCRBV13_299				
TCRBV13_300				
TCRBV13_301				
TCRBV13_302				
TCRBV13_303				
TCRBV13_304				
TCRBV13_305				
TCRBV13_306				
TCRBV13_307				
TCRBV13_308				
TCRBV13_309				
TCRBV13_310				
TCRBV13_311				
TCRBV13_312				
TCRBV13_313				
TCRBV13_314				
TCRBV13_315				
TCRBV13_316				
TCRBV13_317				
TCRBV13_318				
TCRBV13_319				
TCRBV13_320				
TCRBV13_321				
TCRBV13_322				
TCRBV13_323				
TCRBV13_324				
TCRBV13_325				
TCRBV13_326				
TCRBV13_327				
TCRBV13_328				
TCRBV13_329				
TCRBV13_330				
TCRBV13_331				
TCRBV13_332				
TCRBV13_333				
TCRBV13_				

Pb: Al(200000)					Pb: Al(200000)				
TCSR07_11	-0.100	0.010	0.005	0.117	0.116	-0.014	0.237	-0.142	0.207
TCSR07_12	-0.004	0.032	0.085	-0.055	-0.169	-0.090	-0.388	-0.127	0.108
TCSR07_13	-0.104	0.012	-0.007	-0.028	-0.017	-0.077	-0.127	-0.181	0.144
TCSR08_1	-0.041	0.089	-0.063	-0.025	0.020	-0.011	-0.033	-0.203	-0.142
TCSR08_2	-0.119	-0.006	0.061	-0.235	-0.281	-0.271	-0.039	0.035	0.209
TCSR08_3	-0.140	-0.090	-0.004	0.018	0.024	-0.030	0.250	0.077	-0.196
TCSR08_4	0.133	-0.219	-0.120	-0.007	0.048	-0.160	0.154	0.388	-0.160
TCSR08_5	0.093	0.200	-0.247	0.104	0.147	-0.117	0.118	0.073	0.158
TCSR08_6	-0.134	-0.137	-0.111	0.069	0.097	0.184	-0.032	-0.287	-0.152
TCSR08_7	0.025	0.235	0.104	0.038	0.072	0.127	-0.228	-0.211	0.086
TCSR08_8	0.138	0.034	0.380	-0.025	-0.127	0.009	-0.035	-0.034	0.008
TCSR08_9	-0.060	0.341	0.085	-0.006	-0.006	-0.020	-0.251	-0.062	-0.078
TCSR08_10	-0.219	0.128	0.042	-0.060	0.123	0.004	-0.033	-0.009	0.036
TCSR08_11	-0.085	-0.150	0.327	0.075	0.264	0.185	-0.045	0.216	-0.166
TCSR08_12	-0.219	0.150	-0.305	-0.219	-0.305	-0.272	0.160	-0.134	0.053
TCSR08_13	-0.195	-0.015	-0.194	0.123	-0.147	-0.038	0.051	0.100	-0.057
TCSR08_14	0.371	0.014	-0.077	-0.062	-0.018	0.054	-0.633	-0.201	0.040
TCSR08_15	0.190	0.173	-0.157	-0.134	-0.050	-0.316	0.026	-0.029	0.343
TCSR08_16	0.217	0.062	0.072	0.112	0.037	0.564	0.282	0.078	0.100
TCSR08_17	-0.060	-0.009	-0.010	-0.028	-0.016	0.183	-0.028	-0.108	0.024
TCSR08_18	0.045	0.073	0.324	0.204	0.112	-0.084	0.012	0.006	-0.003
TCSR08_19	-0.154	-0.021	0.041	0.021	0.274	0.018	-0.088	-0.031	-0.023
TCSR08_20	-0.063	-0.134	-0.219	-0.027	-0.125	-0.042	-0.187	-0.165	-0.101
TCSR08_21	-0.077	0.033	0.169	-0.171	0.023	-0.039	0.224	-0.017	0.098
TCSR08_22	-0.101	0.017	-0.096	0.060	-0.201	0.034	0.245	-0.239	-0.083
TCSR08_23	0.231	-0.167	0.210	-0.153	-0.144	-0.097	0.013	0.078	-0.113
TCSR08_24	0.082	-0.156	-0.167	-0.175	0.187	-0.133	-0.227	0.184	0.038
TCSR08_25	0.045	0.364	-0.272	0.265	-0.109	0.068	-0.079	0.066	0.147
TCSR09_1	0.064	0.021	-0.028	0.002	-0.018	0.064	0.096	-0.031	-0.191
TCSR09_2	0.294	-0.010	-0.069	-0.224	0.112	-0.155	0.019	0.021	-0.020
TCSR09_3	0.362	0.293	-0.238	-0.103	-0.191	0.038	0.104	0.024	-0.223
TCSR09_4	-0.228	0.185	-0.183	0.216	0.030	0.142	-0.036	0.005	0.102
TCSR09_5	-0.213	-0.273	-0.309	-0.218	0.127	-0.134	-0.385	-0.273	0.005
TCSR09_6	0.032	-0.154	0.222	-0.147	0.034	-0.189	0.060	0.007	0.023
TCSR09_7	0.127	-0.160	0.179	-0.043	-0.165	-0.031	0.020	0.006	0.007
TCSR09_8	0.027	-0.704	0.063	-0.020	-0.254	-0.131	0.248	-0.026	0.047
TCSR09_9	-0.170	0.004	-0.032	0.059	-0.018	-0.179	0.013	0.282	-0.014
TCSR09_10	0.219	0.063	-0.216	0.082	0.110	0.037	-0.280	-0.180	0.103
TCSR09_11	0.022	0.182	-0.209	0.092	0.044	0.044	-0.043	0.005	0.023
TCSR09_12	-0.024	-0.097	0.226	-0.136	-0.050	0.029	-0.041	0.002	-0.023
TCSR09_13	0.094	0.025	-0.184	-0.020	-0.110	-0.139	0.018	0.208	-0.178
TCSR09_14	0.161	0.252	0.308	0.122	-0.033	0.329	-0.013	-0.063	0.201
TCSR09_15	-0.443	0.090	-0.022	0.150	0.356	0.299	-0.392	0.038	-0.194
TCSR09_16	0.020	-0.452	0.064	-0.243	0.037	-0.813	-0.105	0.141	0.023
TCSR09_17	-0.020	-0.093	-0.245	0.121	-0.049	0.313	0.305	0.063	-0.013
TCSR09_18	0.114	0.095	-0.150	0.103	0.042	-0.228	-0.293	0.005	0.047
TCSR09_19	0.000	0.003	0.004	0.003	0.001	-0.205	-0.198	0.318	-0.313
TCSR09_20	-0.032	0.031	0.073	-0.073	-0.189	-0.155	-0.034	0.150	0.090
TCSR09_21	0.014	-0.013	-0.101	-0.140	-0.153	0.008	0.008	-0.003	0.035
TCSR09_22	0.024	-0.095	0.063	0.013	-0.193	-0.057	-0.076	-0.031	-0.031
TCSR09_23	0.154	-0.046	0.049	0.026	0.107	0.001	0.172	0.110	-0.027
TCSR09_24	0.174	0.042	-0.284	0.256	-0.042	-0.161	0.200	0.001	0.219
TCSR09_25	-0.013	-0.013	-0.191	-0.155	0.118	0.053	0.015	-0.109	0.113
TCSR10_1	-0.248	0.330	0.097	0.155	0.187	-0.077	0.280	-0.130	-0.204
TCSR10_2	0.140	-0.124	-0.002	-0.078	-0.102	0.312	-0.332	0.038	0.436
TCSR10_3	0.004	0.183	-0.006	0.007	0.009	-0.214	-0.182	-0.029	-0.163
TCSR10_4	0.001	0.001	0.014	0.004	0.003	0.151	0.090	0.053	-0.448
TCSR10_5	0.001	0.003	0.007	0.005	0.001	0.182	0.286	-0.058	-0.109
TCSR10_6	-0.075	0.100	0.046	0.094	0.034	0.027	-0.203	-0.184	0.039
TCSR10_7	0.233	0.034	0.101	0.032	0.035	0.015	-0.069	-0.041	-0.020
TCSR10_8	0.107	0.038	-0.088	0.073	0.026				
TCSR10_9	-0.081	0.088	0.119	0.191	-0.084				
TCSR10_10	-0.003	0.093	0.250	0.278	0.005				
TCSR10_11	0.107	0.007	-0.488	0.051	-0.149				

Page 10/20 of 10/20

Page 10/20 of 10/20

Pb: Al(200000)					Pb: Al(200000)				
TCSR01_7	-0.020	-0.075			-0.094	-0.014			
TCSR01_8	-0.139	0.225			0.078	0.105			
TCSR01_9	-0.131	-0.177			-0.127	-0.129			
TCSR01_10	0.077	0.009			0.244	0.127			
TCSR01_11	-0.103	-0.006			-0.027	-0.159			
TCSR01_12	0.104	-0.057			-0.038	-0.110			
TCSR01_13	0.045	0.035			-0.048	0.008			
TCSR01_14	-0.004	-0.002			0.068	0.013			
TCSR02_1	0.155	0.115			-0.048	0.102			
TCSR02_2	-0.123	-0.042							
TCSR02_3	-0.186	0.106			0.023	0.081			
TCSR02_4	0.044	0.010			-0.094	-0.063			
TCSR02_5	-0.218	-0.073			-0.024	-0.092			
TCSR02_6	-0.030	-0.039			0.032	0.096			
TCSR02_7	-0.053	-0.122			-0.043	0.023			
TCSR02_8	0.004	-0.038			0.119	-0.148			
TCSR02_9	0.013	0.005			-0.161	-0.109			
TCSR02_10	-0.013	0.017			-0.179	-0.047			
TCSR02_11	-0.052	-0.094			0.137	-0.016			
TCSR02_12	0.096	-0.154			-0.287	0.254			
TCSR02_13	0.103	0.047			0.144	-0.045			
TCSR02_14	0.047	0.087			-0.169	0.054			
TCSR02_15	-0.033	-0.112			-0.109	-0.130			
TCSR02_16	-0.110	0.052			0.020	-0.021			
TCSR02_17	-0.035	-0.024			-0.003	0.009			
TCSR02_18	-0.046	0.128			-0.066	-0.002			
TCSR02_19	-0.036	0.015			-0.187	-0.003			
TCSR02_20	-0.041	-0.174			0.199	0.101			
TCSR03_1	0.157	-0.086			-0.327	0.003			
TCSR03_2	-0.033	-0.301			0.173	0.032			
TCSR03_3	-0.157	0.379			0.104	-0.042			
TCSR03_4	0.170	0.114			-0.173	0.039			
TCSR03_5	-0.081	0.102			-0.148	-0.139			
TCSR03_6	-0.178	0.051			0.036	0.008			
TCSR03_7	0.121	0.006			0.075	0.122			
TCSR03_8	-0.022	0.093			-0.183	0.216			
TCSR03_9	-0.118	-0.117			0.168	-0.023			
TCSR03_10	-0.130	-0.082			0.002	-0.075			
TCSR03_11	-0.382	-0.197			0.084	-0.016			
TCSR03_12	-0.016	0.098			-0.143	0.010			
TCSR03_13	0.115	0.071			0.013	-0.297			
TCSR03_14	-0.183	0.118			-0.277	-0.142			
TCSR03_15	0.184	0.174			-0.264	0.022			
TCSR03_16	0.140	-0.014			-0.020	-0.055			
TCSR03_17	0.193	0.064			-0.015	-0.011			
TCSR03_18	-0.044	-0.243			-0.087	-0.024			
TCSR03_19	0.062	0.085			0.007	-0.177			
TCSR03_20	0.001	0.106			0.026	0.098			
TCSR04_1	0.180	0.107			-0.149	0.220			
TCSR04_2	0.367	0.130			0.094	-0.063			
TCSR04_3	-0.041	-0.072			0.137	-0.002			
TCSR04_4	-0.120	-0.036			0.006	0.004			
TCSR04_5	-0.079	0.038			0.041	0.053			
TCSR04_6	-0.084	0.030			0.109	0.035			
TCSR04_7	-0.046	-0.081			-0.180	0.218			
TCSR04_8	-0.200	-0.093			-0.292	-0.158			
TCSR04_9	0.181	0.003			0.194	-0.136			
TCSR04_10	-0.162	-0.114			-0.119	0.030			
TCSR04_11	0.037	0.149			0.093	-0.169			
TCSR04_12	0.050	-0.020			0.019	0.033			
TCSR04_13	-0.010	0.049			0.026	-0.000			
TCSR04_14	0.121	0.093			0.029	0.019			
TCSR04_15	0.004	-0.075			0.011	-0.007			
TCSR04_16	0.025	-0.110			-0.139	-0.079			

Page 10/20 of 10/20

Page 10/20 of 10/20

Figure 108

FAC: A(2)B(2)C(2)			TCASV20_14		0.023		-0.042		
			Variance Explained by Component						
			1	2	3	4	5		
TCASV12_5	0.077	0.128	806.097	574.767	525.021	474.754	360.278		
TCASV12_6	-0.113	-0.017							
TCASV12_7	-0.022	0.280							
TCASV12_8	0.151	0.020							
TCASV12_9	0.132	-0.241							
TCASV12_10	0.001	-0.051							
TCASV12_11	-0.136	-0.088							
TCASV12_12	0.049	0.049							
TCASV13_3	0.074	-0.037							
TCASV13_5	-0.107	-0.049							
TCASV13_7	0.096	-0.060	326.711	312.480	234.426	220.247	203.757		
TCASV13_8	-0.001	0.140							
TCASV13_9	-0.081	-0.077							
TCASV13_10	0.179	-0.011							
TCASV13_11	0.064	0.225	197.164	187.097	166.789	160.829	147.404		
TCASV13_12	0.014	0.036							
TCASV13_13	-0.165	-0.147							
TCASV14_5	-0.002	0.019							
TCASV14_6	-0.189	-0.020	130.104	120.438	120.749	108.967	98.134		
TCASV14_7	0.083	-0.062							
TCASV14_8	0.103	-0.023							
TCASV14_9	0.028	0.026							
TCASV14_10	0.080	-0.040	90.690	78.013	76.711	61.271	59.256		
TCASV14_11	-0.239	0.129							
TCASV14_12	0.148	-0.026							
TCASV14_13	0.008	0.003							
TCASV15_4	0.029	-0.052	50.362	48.663	39.763	37.130	32.353		
TCASV15_5	-0.116	-0.158							
TCASV15_6	-0.006	-0.061							
TCASV15_7	0.240	0.066							
TCASV15_8	0.037	0.031	29.161	26.169	24.054	21.550	20.080		
TCASV15_9	0.076	0.013							
TCASV15_10	-0.033	0.189							
TCASV15_11	-0.164	-0.094							
TCASV15_12	-0.033	0.018	18.509	17.873	15.007	13.936	12.903		
TCASV16_5	0.164	0.038							
TCASV16_6	0.025	0.032							
TCASV16_7	-0.235	0.165							
TCASV16_8	-0.007	-0.071	11.317	9.508	8.822	8.187	7.641		
TCASV16_9	0.089	0.058							
TCASV16_10	-0.263	-0.097							
TCASV16_11	-0.035	0.105	46	47	48	49	50		
TCASV16_12	0.112	-0.166	6.640	5.734	4.707	4.103	3.624		
TCASV16_13	0.008	0.003							
TCASV18_3	0.010	0.022							
TCASV18_4	-0.061	0.036							
TCASV18_5	-0.064	0.023	3.345	2.374					
TCASV18_6	0.019	-0.065							
TCASV18_7	0.121	-0.109							
TCASV18_8	0.036	-0.001							
TCASV18_9	-0.230	-0.031							
TCASV18_10	-0.010	-0.013	12.723	9.072	8.297	7.493	5.686		
TCASV18_11	0.078	0.235							
TCASV18_12	0.007	0.001							
TCASV18_13	0.031	0.006							
TCASV20_5	0.092	0.080	6	7	8	9	10		
TCASV20_6	-0.210	0.024	5.157	4.932	3.700	3.475	3.248		
TCASV20_7	-0.208	-0.132							
TCASV20_8	0.019	0.200	12	12	13	14	15		
TCASV20_9	0.136	0.064							
TCASV20_10	-0.026	0.105	3.112	2.953	2.633	2.538	2.327		
TCASV20_11	-0.060	0.007							
TCASV20_12	0.170	-0.154	16	17	18	19	20		
TCASV20_13	-0.023	-0.197							

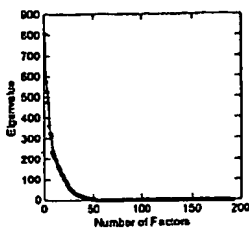
Page A(2) of A(2) of A(2)

Page A(2) of A(2) of A(2)

FAC: A(2)B(2)C(2)				
2.014	2.027	1.906	1.720	1.549
21	21	23	24	25
1.431	1.231	1.211	0.967	0.935
26	27	28	29	30
0.795	0.769	0.623	0.584	0.511
31	32	33	34	35
0.460	0.413	0.380	0.340	0.317
36	37	38	39	40
0.292	0.282	0.237	0.220	0.204
41	42	43	44	45
0.179	0.150	0.139	0.129	0.121
46	47	48	49	50
0.105	0.090	0.074	0.065	0.057
51	52			
0.083	0.037			

FAC: A(2)B(2)C(2)

Scree Plot



Page A(2) of A(2) of A(2)

Page A(2) of A(2) of A(2)

Figure 109

					1	2	3	4	5
TCRSV01_6					-0.000	-0.000	-0.000	0.000	0.000
TCRSV01_7					0.001	0.001	-0.000	0.000	0.000
TCRSV01_8					-0.003	-0.002	0.004	-0.010	0.007
TCRSV01_9					0.001	0.004	0.003	0.006	0.006
TCRSV01_10					0.004	0.004	0.004	0.003	0.003
TCRSV01_11					0.000	0.003	-0.001	0.003	-0.000
TCRSV01_12					-0.000	0.002	-0.002	0.000	0.001
TCRSV01_13					-0.000	0.000	-0.001	0.000	-0.000
TCRSV01_14					-0.000	0.000	-0.000	0.000	-0.000
TCRSV02_6					0.001	-0.000	-0.001	-0.000	-0.000
TCRSV02_7					0.001	0.001	0.001	-0.000	-0.003
TCRSV02_8					0.000	0.001	0.000	0.000	0.002
TCRSV02_9					0.001	0.000	0.000	0.000	-0.000
TCRSV02_10					-0.000	-0.000	0.001	-0.002	0.002
TCRSV02_11					-0.001	-0.000	0.003	-0.000	0.001
TCRSV02_12					-0.001	-0.000	0.001	-0.000	0.000
TCRSV02_13					-0.000	-0.000	0.000	-0.001	0.001
TCRSV03_4					-0.000	-0.000	-0.000	0.000	0.000
TCRSV03_5					-0.000	-0.000	-0.000	-0.000	0.000
TCRSV03_6					0.003	0.000	-0.001	-0.002	0.000
TCRSV03_7					0.003	0.003	-0.001	-0.002	0.002
TCRSV03_8					0.004	0.004	-0.000	-0.002	0.004
TCRSV03_9					0.005	0.005	-0.003	-0.000	0.005
TCRSV03_10					-0.004	0.001	0.007	-0.002	0.014
TCRSV03_11					-0.005	0.002	0.003	0.004	0.002
TCRSV03_12					-0.001	0.000	0.003	0.002	-0.004
TCRSV03_13					-0.001	-0.001	0.003	0.005	-0.006
TCRSV04_6					0.000	-0.000	-0.000	-0.000	0.000
TCRSV04_7					0.001	-0.000	-0.000	-0.001	0.000
TCRSV04_8					0.002	0.000	0.001	-0.002	0.000
TCRSV04_9					0.006	-0.002	0.001	-0.003	0.000
TCRSV04_10					0.006	-0.001	-0.001	-0.001	0.003
TCRSV04_11					-0.003	0.001	-0.001	0.004	-0.002
TCRSV04_12					-0.005	0.002	-0.001	0.003	0.004
TCRSV04_13					-0.004	0.003	0.001	0.003	-0.007
TCRSV04_14					-0.004	-0.002	0.003	-0.005	0.001
TCRSV04_15					-0.000	0.000	0.000	-0.000	-0.000
TCRSV05_5					0.000	0.000	-0.000	-0.000	0.000
TCRSV05_6					0.000	-0.000	0.000	0.000	0.002
TCRSV05_7					-0.000	-0.001	-0.001	-0.002	0.003
TCRSV05_8					0.007	-0.020	0.014	0.000	0.000
TCRSV05_9					0.000	0.002	-0.003	0.006	-0.005
TCRSV05_10					-0.001	0.009	-0.007	-0.004	-0.004
TCRSV05_11					-0.002	0.005	0.004	-0.013	-0.003
TCRSV05_12					-0.001	-0.001	-0.006	-0.002	-0.002
TCRSV05_13					0.000	0.000	-0.000	-0.000	-0.000
TCRSV05_14					0.000	0.001	-0.001	-0.001	-0.000
TCRSV05_15					0.001	0.005	0.000	0.001	-0.002
TCRSV05_16					-0.004	0.010	0.012	0.007	-0.010
TCRSV05_17					0.002	-0.002	-0.002	-0.002	0.000
TCRSV05_18					0.002	-0.004	-0.005	-0.002	-0.001
TCRSV05_19					0.003	-0.005	-0.001	-0.004	0.004
TCRSV05_20					0.000	-0.004	-0.002	-0.001	0.000
TCRSV05_21					0.000	-0.001	-0.000	-0.000	-0.001
TCRSV05_22					0.000	-0.000	-0.000	-0.000	-0.000
TCRSV05_23					0.001	0.001	-0.001	0.000	0.001
TCRSV05_24					0.003	0.002	0.001	0.000	-0.000
TCRSV05_25					0.003	0.003	0.004	0.001	0.001
Page 4 (Total of 4 Pages)					Page 4 (Total of 4 Pages)				
TCRSV06_9					0.004	0.002	0.005	-0.007	0.006
TCRSV06_10					-0.003	0.004	-0.000	0.002	0.005
TCRSV06_11					-0.004	0.002	0.004	0.004	0.002
TCRSV06_12					-0.002	-0.001	-0.000	0.002	0.000
TCRSV06_13					-0.000	-0.000	-0.000	0.000	0.001
TCRSV07_5					0.000	0.000	-0.000	-0.000	-0.000
TCRSV07_6					0.001	0.000	0.004	0.003	-0.003
TCRSV07_7					0.002	-0.001	0.006	-0.002	0.004
TCRSV07_8					0.002	0.004	0.001	0.001	0.004
TCRSV07_9					0.004	0.004	0.005	-0.002	0.003
TCRSV07_10					-0.001	0.004	-0.001	0.002	0.008
TCRSV07_11					-0.004	0.001	-0.001	0.000	0.005
TCRSV07_12					-0.002	0.001	-0.001	0.001	0.001
TCRSV07_13					-0.000	-0.000	-0.000	-0.000	0.000
TCRSV08_5					-0.000	-0.000	0.000	0.000	0.000
TCRSV08_6					-0.000	0.001	-0.000	-0.001	0.002
TCRSV08_7					0.001	-0.001	0.000	-0.001	0.000
TCRSV08_8					0.001	-0.000	0.002	0.000	0.002
TCRSV08_9					0.005	-0.008	-0.001	-0.003	-0.001
TCRSV08_10					-0.002	0.002	-0.003	0.005	-0.004
TCRSV08_11					-0.003	0.004	0.001	-0.001	-0.003
TCRSV08_12					-0.001	0.002	0.000	-0.001	-0.002
TCRSV08_13					0.001	-0.001	-0.002	0.000	0.000
TCRSV08_14					0.002	-0.002	-0.001	-0.005	-0.002
TCRSV08_15					0.002	-0.001	0.000	-0.004	-0.002
TCRSV08_16					0.005	-0.004	0.003	-0.008	-0.006
TCRSV08_17					-0.002	0.002	-0.000	0.004	-0.001
TCRSV08_18					-0.004	0.004	-0.001	0.007	0.008
TCRSV08_19					-0.003	0.001	-0.001	0.004	0.004
TCRSV08_20					-0.003	0.001	-0.001	0.004	0.004
TCRSV08_21					-0.003	0.001	-0.001	0.004	0.004
TCRSV08_22					-0.003	0.001	-0.001	0.004	0.004
TCRSV08_23					-0.003	0.001	-0.001	0.004	0.004
TCRSV08_24					-0.003	0.001	-0.001	0.004	0.004
TCRSV08_25					-0.003	0.001	-0.001	0.004	0.004
TCRSV09_4					-0.000	-0.000	0.000	-0.000	0.000
TCRSV09_5					-0.000	-0.000	0.000	-0.000	0.000
TCRSV09_6					-0.000	-0.000	0.000	-0.000	0.000
TCRSV09_7					-0.000	-0.000	0.000	-0.000	0.000
TCRSV09_8					-0.000	-0.000	0.000	-0.000	0.000
TCRSV09_9					-0.000	-0.000	0.000	-0.000	0.000
TCRSV09_10					-0.000	-0.000	0.000	-0.000	0.000
TCRSV09_11					-0.000	-0.000	0.000	-0.000	0.000
TCRSV09_12					-0.000	-0.000	0.000	-0.000	0.000
TCRSV09_13					-0.000	-0.000	0.000	-0.000	0.000
TCRSV10_6					0.001	-0.001	-0.000	-0.001	0.000
TCRSV10_7					0.001	0.003	0.002	0.002	-0.003
TCRSV10_8					-0.002	0.001	-0.002	0.001	0.000
TCRSV10_9					-0.003	-0.003	0.001	-0.004	0.001
TCRSV10_10					-0.001	-0.003	0.000	0.001	0.001
TCRSV10_11					0.002	-0.001	-0.002	0.001	0.003
TCRSV10_12					0.000	-0.000	-0.001	0.000	0.000
TCRSV10_13					0.000	-0.000	-0.000	0.000	0.000
TCRSV10_14					0.000	-0.000	-0.000	0.000	0.000
TCRSV10_15					0.000	-0.000	-0.000	0.000	0.000
TCRSV11_5					0.000	-0.000	-0.000	0.000	0.000
TCRSV11_6					0.001	0.001	0.000	-0.002	0.001
TCRSV11_7					0.001	0.002	0.002	0.000	-0.001
TCRSV11_8					0.001	0.003	0.004	-0.001	0.000
TCRSV11_9					0.004	0.003	0.011	-0.002	0.003
TCRSV11_10					-0.000	0.003	0.000	0.004	0.005

	Phi (A/200nm)						Phi (A/200nm)				
TCRBV20_8	0.004	0.002	0.002	-0.001	0.001	TCRBV52_13	0.001	0.001	-0.000	0.000	0.000
TCRBV20_9	0.004	0.004	0.004	0.004	0.005	TCRBV52_14	0.000	0.000	0.000	0.000	0.000
TCRBV20_10	-0.001	0.004	0.003	-0.004	0.000	TCRBV52_15	0.000	0.000	0.000	0.000	0.000
TCRBV20_11	-0.003	0.003	0.003	0.000	0.001	TCRBV52_16	-0.000	-0.002	0.002	0.004	-0.004
TCRBV20_12	-0.002	0.001	-0.001	0.001	0.001	TCRBV52_17	-0.003	0.000	0.008	-0.004	-0.004
TCRBV20_13	-0.000	-0.003	-0.002	0.001	0.008	TCRBV52_18	0.000	-0.003	-0.007	-0.007	-0.007
TCRBV20_14	-0.000	0.000	-0.000	0.000	0.000	TCRBV52_19	-0.001	0.004	-0.007	0.007	0.003
	6	7	8	9	10	TCRBV52_20	-0.000	0.004	-0.004	0.006	0.003
TCRBV01_6	0.000	-0.000	-0.000	-0.000	-0.000	TCRBV52_21	-0.000	0.000	-0.001	0.000	0.000
TCRBV01_7	-0.002	0.000	0.000	0.001	0.001	TCRBV52_22	-0.000	0.000	0.000	0.000	0.000
TCRBV01_8	0.002	-0.008	0.002	0.011	-0.002	TCRBV52_23	-0.003	-0.001	0.008	-0.004	0.005
TCRBV01_9	0.000	0.003	-0.003	0.010	0.001	TCRBV52_24	0.009	0.002	-0.002	-0.005	0.001
TCRBV01_10	-0.000	0.005	-0.002	-0.008	-0.000	TCRBV52_25	-0.003	-0.001	-0.005	0.009	0.007
TCRBV01_11	0.007	0.003	0.002	-0.008	0.004	TCRBV52_26	0.001	-0.007	-0.004	0.002	0.002
TCRBV01_12	0.003	0.003	-0.002	-0.002	0.003	TCRBV52_27	0.006	0.004	-0.003	-0.004	0.001
TCRBV01_13	0.001	-0.001	0.001	-0.001	0.001	TCRBV52_28	0.004	0.001	0.004	0.004	0.000
TCRBV01_14	0.000	-0.000	0.000	-0.000	-0.000	TCRBV52_29	0.000	0.003	-0.001	0.001	0.001
TCRBV02_6	-0.001	-0.002	-0.001	0.002	0.002	TCRBV52_30	-0.001	0.001	0.000	-0.000	0.000
TCRBV02_7	-0.001	-0.001	0.002	0.002	-0.003	TCRBV52_31	-0.001	0.002	0.003	-0.002	0.001
TCRBV02_8	-0.004	-0.001	-0.000	-0.003	0.001	TCRBV52_32	-0.003	0.009	0.005	-0.004	-0.003
TCRBV02_9	-0.001	0.002	-0.009	0.002	0.000	TCRBV52_33	-0.003	0.009	0.003	-0.004	-0.003
TCRBV02_10	-0.004	-0.002	-0.003	-0.002	0.001	TCRBV52_34	-0.003	0.009	-0.003	-0.002	-0.002
TCRBV02_11	-0.000	0.000	0.002	0.001	-0.000	TCRBV52_35	0.012	-0.015	-0.002	0.003	0.001
TCRBV02_12	0.001	0.001	-0.000	0.000	-0.003	TCRBV52_36	0.005	-0.004	-0.001	0.004	0.005
TCRBV02_13	0.000	-0.000	0.001	0.001	0.000	TCRBV52_37	-0.000	-0.001	-0.001	0.003	0.001
TCRBV03_4	0.000	0.000	0.000	-0.000	0.000	TCRBV52_38	0.000	-0.000	0.000	-0.000	0.003
TCRBV03_5	-0.004	0.003	-0.001	0.004	-0.003	TCRBV52_39	-0.001	-0.001	-0.001	0.001	0.008
TCRBV03_6	0.000	0.004	-0.003	0.002	-0.002	TCRBV52_40	-0.000	-0.001	-0.002	0.002	0.005
TCRBV03_7	0.000	0.004	-0.003	0.002	-0.002	TCRBV52_41	0.001	-0.002	-0.002	-0.001	0.013
TCRBV03_8	0.002	0.003	-0.007	0.007	0.000	TCRBV52_42	0.002	-0.002	-0.001	0.001	-0.008
TCRBV03_9	0.001	-0.009	0.003	-0.000	-0.009	TCRBV52_43	-0.002	0.001	0.003	0.000	-0.011
TCRBV03_10	0.001	-0.005	-0.010	-0.008	0.010	TCRBV52_44	-0.000	0.002	0.001	0.000	0.002
TCRBV03_11	-0.003	-0.003	0.006	-0.008	0.001	TCRBV52_45	-0.000	0.002	0.001	0.000	-0.002
TCRBV03_12	0.001	-0.003	0.014	-0.003	0.004	TCRBV52_46	-0.000	-0.000	-0.000	0.002	0.001
TCRBV03_13	-0.003	0.000	0.000	0.000	0.000	TCRBV52_47	0.001	-0.000	0.001	0.001	-0.000
TCRBV03_14	-0.001	0.001	-0.000	0.001	0.005	TCRBV52_48	0.003	0.003	0.003	-0.004	-0.001
TCRBV03_15	-0.001	0.002	-0.001	-0.007	0.008	TCRBV52_49	-0.003	-0.003	-0.004	-0.002	-0.002
TCRBV04_6	-0.008	-0.003	-0.003	-0.005	0.001	TCRBV52_50	-0.004	-0.002	-0.000	0.002	0.004
TCRBV04_7	0.008	-0.003	-0.004	-0.004	-0.008	TCRBV52_51	0.002	0.003	-0.001	0.001	0.002
TCRBV04_8	0.008	0.000	0.004	-0.004	-0.004	TCRBV52_52	0.001	0.001	0.003	-0.001	-0.001
TCRBV04_9	-0.004	-0.002	-0.001	0.014	-0.001	TCRBV52_53	-0.000	0.000	-0.000	-0.001	-0.001
TCRBV04_10	0.008	0.000	0.001	0.001	-0.001	TCRBV52_54	0.000	0.000	0.001	0.001	0.003
TCRBV04_11	-0.004	-0.002	-0.001	0.014	-0.001	TCRBV52_55	-0.001	-0.001	-0.003	0.002	0.007
TCRBV04_12	0.008	0.000	0.001	0.001	-0.001	TCRBV52_56	0.000	0.004	0.003	0.004	0.003
TCRBV04_13	-0.004	-0.002	-0.001	0.014	-0.001	TCRBV52_57	-0.001	-0.001	-0.003	0.002	0.007
TCRBV04_14	-0.008	-0.000	0.001	0.001	-0.001	TCRBV52_58	0.000	0.000	0.000	-0.000	0.000
TCRBV04_15	-0.008	-0.000	0.001	0.001	-0.001	TCRBV52_59	-0.001	-0.001	-0.003	0.003	-0.007
TCRBV05_6	0.006	0.001	0.001	0.001	0.001	TCRBV52_60	-0.000	0.000	0.000	0.000	0.000
TCRBV05_7	-0.009	0.001	0.001	0.002	0.005	TCRBV52_61	-0.001	-0.001	-0.001	-0.001	-0.001
TCRBV05_8	0.009	-0.007	-0.009	0.000	-0.004	TCRBV52_62	0.007	0.016	-0.011	-0.004	-0.007
TCRBV05_9	0.014	-0.005	-0.001	0.012	-0.004	TCRBV52_63	-0.002	-0.002	-0.001	0.004	-0.011
TCRBV05_10	-0.003	0.002	0.011	-0.006	-0.001	TCRBV52_64	-0.000	-0.000	-0.000	0.002	-0.002
TCRBV05_11	-0.003	0.002	0.011	-0.006	-0.001	TCRBV52_65	-0.000	-0.000	-0.000	0.000	-0.000
TCRBV05_12	-0.003	0.001	-0.001	0.000	-0.007	TCRBV52_66	-0.000	-0.000	-0.000	0.000	0.000
TCRBV05_13	-0.003	0.000	-0.000	0.000	-0.001	TCRBV52_67	-0.000	-0.000	-0.000	-0.000	-0.000
TCRBV05_14	-0.003	-0.003	-0.003	0.003	-0.000	TCRBV52_68	-0.003	-0.003	-0.003	-0.003	-0.003
TCRBV05_15	-0.003	-0.002	-0.014	0.002	0.002	TCRBV52_69	-0.003	-0.003	-0.003	-0.003	-0.003
TCRBV05_16	-0.003	-0.002	-0.014	0.002	0.002	TCRBV52_70	-0.003	-0.003	-0.003	-0.003	-0.003
TCRBV05_17	-0.003	-0.002	-0.014	0.002	0.002	TCRBV52_71	-0.003	-0.003	-0.003	-0.003	-0.003
TCRBV05_18	-0.003	-0.002	-0.014	0.002	0.002	TCRBV52_72	-0.003	-0.003	-0.003	-0.003	-0.003
TCRBV05_19	-0.003	-0.002	-0.014	0.002	0.002	TCRBV52_73	-0.003	-0.003	-0.003	-0.003	-0.003
TCRBV05_20	-0.003	-0.002	-0.014	0.002	0.002	TCRBV52_74	-0.003	-0.003	-0.003	-0.003	-0.003
TCRBV05_21	-0.003	-0.002	-0.014	0.002	0.002	TCRBV52_75	-0.003	-0.003	-0.003	-0.003	-0.003
TCRBV05_22	-0.003	-0.002	-0.014	0.002	0.002	TCRBV52_76	-0.003	-0.003	-0.003	-0.003	-0.003
TCRBV05_23	-0.003	-0.002	-0.014	0.002	0.002	TCRBV52_77	-0.003	-0.003	-0.003	-0.003	-0.003
TCRBV05_24	-0.003	-0.002	-0.014	0.002	0.002	TCRBV52_78	-0.003	-0.003	-0.003	-0.003	-0.003
TCRBV05_25	-0.003	-0.002	-0.014	0.002	0.002	TCRBV52_79	-0.003	-0.003	-0.003	-0.003	-0.003
TCRBV05_26	-0.003	-0.002	-0.014	0.002	0.002	TCRBV52_80	-0.003	-0.003	-0.003	-0.003	-0.003
TCRBV05_27	-0.003	-0.002	-0.014	0.002	0.002	TCRBV52_81	-0.003	-0.003	-0.003	-0.003	-0.003
TCRBV05_28	-0.003	-0.002	-0.014	0.002	0.002	TCRBV52_82	-0.003	-0.003	-0.003	-0.003	-0.003
TCRBV05_29	-0.003	-0.002	-0.014	0.002	0.002	TCRBV52_83	-0.003	-0.003	-0.003	-0.003	-0.003
TCRBV05_30	-0.003	-0.002	-0.014	0.002	0.002	TCRBV52_84	-0.003	-0.003	-0.003	-0.003	-0.003
TCRBV05_31	-0.003	-0.002	-0.014	0.002	0.002	TCRBV52_85	-0.003	-0.003	-0.003	-0.003	-0.003
TCRBV05_32	-0.003	-0.002	-0.014	0.002	0.002	TCRBV52_86	-0.003	-0.003	-0.003	-0.003	-0.003
TCRBV05_33	-0.003	-0.002	-0.014	0.002	0.002	TCRBV52_87	-0.003	-0.003	-0.003	-0.003	-0.003
TCRBV05_34	-0.003	-0.002	-0.014	0.002	0.002	TCRBV52_88	-0.003	-0.003	-0.003	-0.003	-0.003
TCRBV05_35	-0.003	-0.002	-0.014	0.002	0.002	TCRBV52_89	-0.003	-0.003	-0.003	-0.003	-0.003
TCRBV05_36	-0.003	-0.002	-0.014	0.002	0.002	TCRBV52_90	-0.003	-0.003	-0.003	-0.003	-0.003
TCRBV05_37	-0.003	-0.002	-0.014	0.002	0.002	TCRBV52_91	-0.003	-0.003	-0.003	-0.003	-0.003
TCRBV05_38	-0.003	-0.002	-0.014	0.002	0.002	TCRBV52_92	-0.003	-0.003	-0.003	-0.003	-0.003
TCRBV05_39	-0.003	-0.002	-0.014	0.002	0.002	TCRBV52_93	-0.003	-0.003	-0.003	-0.003	-0.003
TCRBV05_40	-0.003	-0.002	-0.014	0.002	0.002	TCRBV52_94	-0.003	-0.003	-0.003	-0.003	-0.003
TCRBV05_41	-0.003	-0.002	-0.014	0.002	0.002	TCRBV52_95	-0.003	-0.003	-0.003	-0.003	-0.003
TCRBV05_42	-0.003	-0.002	-0.014	0.002	0.002	TCRBV52_96	-0.003	-0.003	-0.003	-0.003	-0.003
TCRBV05_43	-0.003	-0.002	-0.014	0.002	0.002	TCRBV52_97	-0.003	-0.003	-0.003	-0.003	-0.003
TCRBV05_44	-0.003	-0.002	-0.014	0.002	0.002	TCRBV52_98	-0.003	-0.003	-0.003	-0.003	-0.003
TCRBV05_45	-0.003	-0.002	-0.014	0.002	0.002	TCRBV52_99	-0.003	-0.003	-0.003	-0.003	-0.003
TCRBV05_46	-0.003	-0.002	-0.014	0.002	0.002	TCRBV52_100	-0.003	-0.003	-0.003	-0.003	-0.003
TCRBV05_47	-0.003	-0.002	-0.014	0.002	0.002	TCRBV52_101	-0.003	-0.003	-0.003	-0.003	-0.003
TCRBV05_48	-0.003	-0.002	-0.014	0.002	0.002	TCRBV52_102	-0.003	-0.003	-0.003	-0.003	-0.003
TCRBV05_49	-0.003	-0.002	-0.014	0.002	0.002	TCRBV52_103	-0.003	-0.003	-0.003	-0.003	-0.003
TCRBV05_50	-0.003	-0.002	-0.014	0.002	0.002	TCRBV52_104	-0.003	-0.003	-0.003	-0.003	-0.003

File: A:\Zkzama					File: A:\Zkzama						
TCRBV18_7	-0.004	0.008	0.003	-0.004	-0.001	TCRBV051_11	0.003	-0.012	-0.014	-0.004	0.006
TCRBV18_8	-0.002	-0.001	-0.009	-0.001	-0.009	TCRBV051_12	-0.002	-0.003	-0.004	0.004	0.004
TCRBV18_9	0.004	0.002	-0.009	-0.004	0.003	TCRBV051_13	0.001	0.001	0.001	0.000	0.000
TCRBV18_10	0.002	-0.002	-0.002	-0.002	0.003	TCRBV052_6	-0.000	-0.001	0.000	0.003	-0.004
TCRBV18_11	-0.008	-0.008	-0.000	-0.001	0.003	TCRBV052_7	0.004	0.004	0.004	0.003	-0.013
TCRBV18_12	-0.008	-0.001	0.000	0.000	0.001	TCRBV052_8	0.010	0.002	-0.029	0.013	0.016
TCRBV18_13	0.006	0.000	-0.000	-0.000	0.000	TCRBV052_9	0.023	-0.003	-0.007	-0.004	0.017
TCRBV20_5	-0.001	-0.002	-0.000	-0.001	0.003	TCRBV052_10	0.003	0.002	0.002	0.009	0.003
TCRBV20_6	-0.001	0.000	0.002	-0.001	0.003	TCRBV052_11	-0.001	-0.001	-0.007	0.004	0.010
TCRBV20_7	-0.003	-0.003	-0.002	-0.002	0.000	TCRBV052_12	-0.000	-0.004	-0.002	0.001	0.007
TCRBV20_8	-0.003	0.013	-0.004	-0.001	-0.008	TCRBV052_13	0.000	-0.001	0.000	0.001	-0.003
TCRBV20_9	0.004	0.011	-0.000	-0.013	0.010	TCRBV053_3	0.000	0.000	-0.000	0.000	0.000
TCRBV20_10	0.004	0.003	0.000	0.000	0.000	TCRBV056_6	0.002	-0.003	-0.002	0.001	0.003
TCRBV20_11	0.006	-0.015	0.000	-0.003	0.012	TCRBV056_7	-0.001	-0.001	0.001	0.001	-0.002
TCRBV20_12	0.003	-0.003	0.007	0.006	-0.003	TCRBV056_8	0.009	-0.008	0.004	0.013	0.002
TCRBV20_13	-0.013	0.004	0.000	0.016	0.011	TCRBV056_9	0.001	0.005	-0.011	-0.000	0.002
TCRBV20_14	0.000	-0.000	0.001	0.000	0.000	TCRBV056_10	0.006	0.001	-0.000	-0.003	-0.005
						TCRBV056_11	-0.012	0.011	0.007	-0.002	-0.000
16	17	18	19	20		TCRBV056_12	-0.002	0.004	0.001	-0.009	0.007
						TCRBV056_13	0.001	-0.003	0.002	0.000	-0.002
TCRBV01_6	-0.001	-0.001	0.001	0.000	-0.001	TCRBV07_5	0.060	-0.000	0.000	0.000	-0.000
TCRBV01_7	0.000	-0.007	0.006	0.004	-0.005	TCRBV07_6	0.002	-0.002	0.001	-0.001	-0.001
TCRBV01_8	-0.008	-0.004	0.003	0.003	0.002	TCRBV07_7	-0.003	-0.000	-0.000	-0.005	-0.012
TCRBV01_9	0.006	-0.015	0.012	0.014	0.011	TCRBV07_8	-0.005	0.005	0.000	-0.003	-0.008
TCRBV01_10	-0.019	-0.001	-0.003	-0.001	-0.001	TCRBV07_9	-0.016	0.006	0.013	0.007	0.007
TCRBV01_11	-0.003	0.004	0.001	-0.008	-0.003	TCRBV07_10	0.017	-0.001	0.001	0.002	-0.000
TCRBV01_12	-0.003	-0.000	-0.009	-0.009	0.001	TCRBV07_11	0.004	-0.009	0.004	-0.003	0.016
TCRBV01_13	0.003	0.003	-0.003	-0.004	0.002	TCRBV07_12	0.009	-0.001	0.001	-0.001	0.000
TCRBV01_14	-0.000	-0.000	-0.000	0.001	0.001	TCRBV07_13	0.001	-0.000	0.001	-0.000	-0.000
TCRBV01_15	0.001	-0.004	0.001	0.001	-0.004	TCRBV011_5	0.000	0.000	0.000	0.000	0.000
TCRBV01_16	0.003	-0.003	-0.000	-0.004	0.004	TCRBV011_6	-0.004	0.003	0.002	0.000	-0.004
TCRBV01_17	0.007	-0.003	0.008	-0.008	0.003	TCRBV011_7	-0.004	0.006	-0.000	0.005	-0.007
TCRBV01_18	0.007	-0.003	-0.001	-0.001	-0.001	TCRBV011_8	-0.014	0.001	-0.005	0.001	-0.008
TCRBV01_19	0.004	-0.003	0.010	-0.020	0.011	TCRBV011_9	0.004	0.001	0.004	0.012	0.000
TCRBV01_20	0.004	-0.003	0.001	-0.001	0.007	TCRBV011_10	0.017	-0.016	-0.004	-0.022	0.008
TCRBV01_21	0.000	-0.003	-0.002	0.001	0.009	TCRBV011_11	0.003	-0.001	0.001	0.006	-0.001
TCRBV01_22	0.001	-0.001	-0.001	0.001	0.009	TCRBV011_12	0.002	0.002	0.000	0.032	0.001
TCRBV01_23	-0.001	0.000	-0.001	-0.001	-0.001	TCRBV012_4	0.000	0.001	0.000	0.000	0.000
TCRBV01_24	-0.001	0.000	-0.000	0.001	-0.001	TCRBV012_5	0.004	0.003	0.003	0.022	0.000
TCRBV01_25	0.000	0.001	-0.006	0.002	-0.001	TCRBV012_6	0.001	0.003	0.003	-0.003	0.004
TCRBV01_26	-0.000	-0.008	0.004	0.002	0.007	TCRBV012_7	0.005	0.006	0.008	-0.011	0.008
TCRBV01_27	-0.000	-0.000	-0.000	0.000	0.000	TCRBV012_8	-0.002	-0.002	0.000	0.008	0.000
TCRBV01_28	-0.010	-0.003	-0.003	-0.001	-0.002	TCRBV012_9	-0.006	-0.006	-0.007	0.002	-0.004
TCRBV01_29	0.005	0.003	0.010	-0.002	-0.003	TCRBV012_10	-0.004	-0.004	-0.004	0.001	-0.002
TCRBV01_30	0.009	0.004	-0.013	-0.019	-0.004	TCRBV012_11	-0.001	0.002	-0.002	0.009	-0.007
TCRBV01_31	-0.005	0.005	0.006	0.008	0.008	TCRBV013_4	0.000	0.000	0.000	0.001	0.000
TCRBV01_32	-0.000	0.003	0.003	-0.013	-0.001	TCRBV013_5	-0.001	-0.000	-0.001	-0.001	0.001
TCRBV01_33	0.006	-0.000	0.001	0.014	0.002	TCRBV013_6	0.001	-0.002	0.004	-0.002	-0.000
TCRBV01_34	-0.000	-0.000	0.000	0.000	-0.000	TCRBV013_7	0.012	-0.002	0.004	0.004	0.001
TCRBV01_35	-0.001	-0.001	-0.000	-0.000	0.000	TCRBV013_8	0.004	0.004	0.004	0.004	-0.015
TCRBV01_36	0.006	0.003	-0.000	0.003	0.007	TCRBV013_9	-0.003	-0.003	-0.001	0.004	-0.012
TCRBV01_37	0.013	0.005	-0.005	0.008	0.009	TCRBV013_10	-0.002	0.001	0.002	0.006	0.003
TCRBV01_38	0.011	0.014	-0.015	0.005	0.004	TCRBV013_11	-0.010	0.001	-0.004	-0.012	-0.001
TCRBV01_39	-0.012	-0.007	-0.003	-0.010	-0.010	TCRBV013_12	-0.002	-0.001	-0.000	-0.000	0.000
TCRBV01_40	-0.002	-0.009	0.003	-0.000	-0.012	TCRBV013_13	0.003	0.001	0.002	-0.001	0.000
TCRBV01_41	-0.015	0.007	0.007	-0.010	-0.012	TCRBV013_14	0.002	0.001	0.001	0.000	0.001
						TCRBV05_5	-0.000	-0.000	0.002	-0.002	-0.003
TCRBV01_14	-0.009	0.000	0.003	-0.003	0.010	TCRBV05_6	-0.002	0.000	0.006	-0.006	0.006
TCRBV01_15	0.001	-0.000	0.003	-0.000	0.001	TCRBV05_7	0.006	0.006	-0.013	0.019	0.000
TCRBV01_16	0.000	0.001	0.000	0.000	-0.000	TCRBV05_8	-0.000	-0.011	0.009	-0.001	-0.000
TCRBV01_17	-0.001	0.003	-0.002	0.003	-0.004	TCRBV05_9	0.003	-0.017	-0.003	-0.019	-0.005
TCRBV01_18	0.004	0.004	-0.002	0.005	0.001	TCRBV05_10	0.003	0.001	0.023	0.002	0.001
TCRBV01_19	-0.005	-0.014	-0.003	0.002	0.003	TCRBV05_11	-0.000	-0.003	-0.000	-0.000	0.001
TCRBV01_20	0.004	0.021	-0.012	0.003	0.006	TCRBV05_12	0.003	0.001	0.002	-0.001	0.000
TCRBV01_21	0.011	0.002	-0.003	0.014	0.006	TCRBV05_13	0.002	0.001	0.001	0.000	0.001

Figure 112

Pct: 6220001					Pct: 6220001				
TCRVS03_15	0.000	0.001	0.000	-0.000	0.000	0.000	-0.002	-0.001	-0.001
TCRVS03_16	-0.000	0.000	0.001	-0.006	-0.006	-0.006	-0.006	-0.006	-0.006
TCRVS03_17	0.002	-0.004	-0.008	-0.018	-0.006	-0.006	-0.006	-0.006	-0.006
TCRVS03_18	0.010	-0.004	-0.025	-0.011	0.004	0.004	0.004	0.004	0.004
TCRVS03_19	0.001	-0.004	0.003	0.010	0.004	0.004	0.004	0.004	0.004
TCRVS03_20	-0.006	0.002	0.007	0.004	0.012	0.012	0.012	0.012	0.012
TCRVS03_21	-0.002	0.009	0.001	0.017	-0.007	-0.007	-0.007	-0.007	-0.007
TCRVS03_22	-0.005	0.005	0.001	0.004	-0.000	-0.000	-0.000	-0.000	-0.000
TCRVS03_23	-0.000	0.000	-0.000	0.001	-0.000	-0.000	-0.000	-0.000	-0.000
TCRVS03_24	-0.001	0.001	-0.001	-0.000	0.001	0.001	0.001	0.001	0.001
TCRVS03_25	-0.003	-0.007	0.003	0.001	0.002	0.002	0.002	0.002	0.002
TCRVS03_26	-0.001	-0.007	0.005	-0.001	0.004	0.004	0.004	0.004	0.004
TCRVS03_27	-0.000	-0.007	0.002	-0.005	-0.000	-0.000	-0.000	-0.000	-0.000
TCRVS03_28	0.008	0.003	-0.001	-0.003	0.006	0.006	0.006	0.006	0.006
TCRVS03_29	0.001	0.007	0.001	-0.004	0.003	0.003	0.003	0.003	0.003
TCRVS03_30	0.000	0.004	0.002	0.002	-0.002	-0.002	-0.002	-0.002	-0.002
TCRVS03_31	-0.002	0.003	-0.001	0.004	-0.004	-0.004	-0.004	-0.004	-0.004
TCRVS03_32	-0.001	0.001	-0.001	0.004	-0.002	-0.002	-0.002	-0.002	-0.002
TCRVS03_33	-0.000	0.000	-0.000	0.001	-0.001	-0.001	-0.001	-0.001	-0.001
TCRVS03_34	-0.002	0.001	-0.002	-0.002	-0.002	-0.002	-0.002	-0.002	-0.002
TCRVS03_35	-0.003	0.002	-0.002	-0.002	-0.002	-0.002	-0.002	-0.002	-0.002
TCRVS03_36	0.005	0.006	-0.004	0.001	-0.004	-0.004	-0.004	-0.004	-0.004
TCRVS03_37	-0.011	0.003	-0.009	0.001	0.017	0.017	0.017	0.017	0.017
TCRVS03_38	0.010	-0.007	-0.001	-0.007	0.001	0.001	0.001	0.001	0.001
TCRVS03_39	-0.001	0.003	0.010	-0.010	-0.011	-0.011	-0.011	-0.011	-0.011
TCRVS03_40	0.002	-0.003	0.003	-0.002	0.002	0.002	0.002	0.002	0.002
TCRVS03_41	0.005	0.000	0.007	0.006	0.001	0.001	0.001	0.001	0.001
TCRVS03_42	0.001	-0.001	0.003	0.006	0.002	0.002	0.002	0.002	0.002
TCRVS03_43	-0.001	0.001	0.003	0.006	0.002	0.002	0.002	0.002	0.002
TCRVS03_44	0.002	-0.001	0.003	0.010	-0.000	-0.000	-0.000	-0.000	-0.000
TCRVS03_45	0.002	-0.001	0.003	0.010	-0.000	-0.000	-0.000	-0.000	-0.000
TCRVS03_46	0.003	-0.006	0.003	-0.004	0.020	0.020	0.020	0.020	0.020
TCRVS03_47	-0.002	-0.003	0.005	0.009	0.009	0.009	0.009	0.009	0.009
TCRVS03_48	-0.001	0.002	-0.008	0.003	0.001	0.001	0.001	0.001	0.001
TCRVS03_49	0.008	0.002	0.002	0.005	-0.015	-0.015	-0.015	-0.015	-0.015
TCRVS03_50	-0.005	0.000	-0.001	-0.018	-0.012	-0.012	-0.012	-0.012	-0.012
TCRVS03_51	0.001	0.003	-0.003	-0.007	-0.002	-0.002	-0.002	-0.002	-0.002
TCRVS03_52	-0.001	-0.001	-0.001	-0.001	-0.001	-0.001	-0.001	-0.001	-0.001
TCRVS03_53	-0.002	-0.002	-0.001	-0.002	-0.000	-0.000	-0.000	-0.000	-0.000
TCRVS03_54	-0.002	-0.002	-0.001	-0.002	-0.000	-0.000	-0.000	-0.000	-0.000
TCRVS03_55	0.006	-0.000	-0.001	-0.002	-0.008	-0.008	-0.008	-0.008	-0.008
TCRVS03_56	-0.005	-0.003	0.008	0.005	0.001	0.001	0.001	0.001	0.001
TCRVS03_57	0.002	-0.004	-0.001	-0.003	0.000	0.000	0.000	0.000	0.000
TCRVS03_58	0.014	-0.014	-0.003	-0.003	0.017	0.017	0.017	0.017	0.017
TCRVS03_59	-0.008	-0.008	-0.004	-0.004	-0.007	-0.007	-0.007	-0.007	-0.007
TCRVS03_60	-0.002	-0.002	-0.001	-0.002	-0.000	-0.000	-0.000	-0.000	-0.000
TCRVS03_61	-0.001	-0.001	-0.001	-0.001	-0.001	-0.001	-0.001	-0.001	-0.001
TCRVS03_62	-0.001	-0.001	-0.001	-0.001	-0.001	-0.001	-0.001	-0.001	-0.001
TCRVS03_63	-0.001	-0.001	-0.001	-0.001	-0.001	-0.001	-0.001	-0.001	-0.001
TCRVS03_64	-0.001	-0.001	-0.001	-0.001	-0.001	-0.001	-0.001	-0.001	-0.001
TCRVS03_65	-0.001	-0.001	-0.001	-0.001	-0.001	-0.001	-0.001	-0.001	-0.001
TCRVS03_66	-0.001	-0.001	-0.001	-0.001	-0.001	-0.001	-0.001	-0.001	-0.001
TCRVS03_67	-0.001	-0.001	-0.001	-0.001	-0.001	-0.001	-0.001	-0.001	-0.001
TCRVS03_68	-0.001	-0.001	-0.001	-0.001	-0.001	-0.001	-0.001	-0.001	-0.001
TCRVS03_69	-0.001	-0.001	-0.001	-0.001	-0.001	-0.001	-0.001	-0.001	-0.001
TCRVS03_70	-0.001	-0.001	-0.001	-0.001	-0.001	-0.001	-0.001	-0.001	-0.001
TCRVS03_71	-0.001	-0.001	-0.001	-0.001	-0.001	-0.001	-0.001	-0.001	-0.001
TCRVS03_72	-0.001	-0.001	-0.001	-0.001	-0.001	-0.001	-0.001	-0.001	-0.001
TCRVS03_73	-0.001	-0.001	-0.001	-0.001	-0.001	-0.001	-0.001	-0.001	-0.001
TCRVS03_74	-0.001	-0.001	-0.001	-0.001	-0.001	-0.001	-0.001	-0.001	-0.001
TCRVS03_75	-0.001	-0.001	-0.001	-0.001	-0.001	-0.001	-0.001	-0.001	-0.001
TCRVS03_76	-0.001	-0.001	-0.001	-0.001	-0.001	-0.001	-0.001	-0.001	-0.001
TCRVS03_77	-0.001	-0.001	-0.001	-0.001	-0.001	-0.001	-0.001	-0.001	-0.001
TCRVS03_78	-0.001	-0.001	-0.001	-0.001	-0.001	-0.001	-0.001	-0.001	-0.001
TCRVS03_79	-0.001	-0.001	-0.001	-0.001	-0.001	-0.001	-0.001	-0.001	-0.001
TCRVS03_80	-0.001	-0.001	-0.001	-0.001	-0.001	-0.001	-0.001	-0.001	-0.001
TCRVS03_81	-0.001	-0.001	-0.001	-0.001	-0.001	-0.001	-0.001	-0.001	-0.001
TCRVS03_82	-0.001	-0.001	-0.001	-0.001	-0.001	-0.001	-0.001	-0.001	-0.001
TCRVS03_83	-0.001	-0.001	-0.001	-0.001	-0.001	-0.001	-0.001	-0.001	-0.001
TCRVS03_84	-0.001	-0.001	-0.001	-0.001	-0.001	-0.001	-0.001	-0.001	-0.001
TCRVS03_85	-0.001	-0.001	-0.001	-0.001	-0.001	-0.001	-0.001	-0.001	-0.001
TCRVS03_86	-0.001	-0.001	-0.001	-0.001	-0.001	-0.001	-0.001	-0.001	-0.001
TCRVS03_87	-0.001	-0.001	-0.001	-0.001	-0.001	-0.001	-0.001	-0.001	-0.001
TCRVS03_88	-0.001	-0.001	-0.001	-0.001	-0.001	-0.001	-0.001	-0.001	-0.001
TCRVS03_89	-0.001	-0.001	-0.001	-0.001	-0.001	-0.001	-0.001	-0.001	-0.001
TCRVS03_90	-0.001	-0.001	-0.001	-0.001	-0.001	-0.001	-0.001	-0.001	-0.001
TCRVS03_91	-0.001	-0.001	-0.001	-0.001	-0.001	-0.001	-0.001	-0.001	-0.001
TCRVS03_92	-0.001	-0.001	-0.001	-0.001	-0.001	-0.001	-0.001	-0.001	-0.001
TCRVS03_93	-0.001	-0.001	-0.001	-0.001	-0.001	-0.001	-0.001	-0.001	-0.001
TCRVS03_94	-0.001	-0.001	-0.001	-0.001	-0.001	-0.001	-0.001	-0.001	-0.001
TCRVS03_95	-0.001	-0.001	-0.001	-0.001	-0.001	-0.001	-0.001	-0.001	-0.001
TCRVS03_96	-0.001	-0.001	-0.001	-0.001	-0.001	-0.001	-0.001	-0.001	-0.001
TCRVS03_97	-0.001	-0.001	-0.001	-0.001	-0.001	-0.001	-0.001	-0.001	-0.001
TCRVS03_98	-0.001	-0.001	-0.001	-0.001	-0.001	-0.001	-0.001	-0.001	-0.001
TCRVS03_99	-0.001	-0.001	-0.001	-0.001	-0.001	-0.001	-0.001	-0.001	-0.001
TCRVS03_100	-0.001	-0.001	-0.001	-0.001	-0.001	-0.001	-0.001	-0.001	-0.001

Figure 113

TCRBV04_13	-0.003	0.002	-0.001	-0.007	0.004
TCRBV04_14	-0.007	0.003	-0.001	-0.003	-0.003
TCRBV04_15	-0.002	0.004	-0.002	-0.004	0.001
TCRBV05_1	0.002	0.001	0.003	0.002	0.010
TCRBV05_2	0.006	-0.015	-0.004	0.018	-0.002
TCRBV05_3	0.023	0.006	0.004	-0.009	0.004
TCRBV05_4	-0.023	-0.019	-0.006	-0.028	0.007
TCRBV05_5	0.019	0.024	0.037	0.025	-0.007
TCRBV05_10	-0.023	0.001	-0.009	0.010	-0.011
TCRBV05_11	0.007	0.009	-0.012	0.001	-0.011
TCRBV05_12	-0.014	-0.014	-0.011	0.012	0.010
TCRBV05_13	-0.003	0.001	-0.002	-0.006	0.010
TCRBV05_14	-0.000	-0.000	0.003	-0.015	0.002
TCRBV05_7	-0.007	0.014	0.018	0.001	0.001
TCRBV05_8	-0.011	-0.011	0.012	-0.001	0.018
TCRBV05_9	0.007	-0.002	-0.009	0.024	-0.019
TCRBV06_10	-0.009	-0.013	0.009	0.005	0.013
TCRBV06_11	0.018	0.006	0.008	0.009	0.013
TCRBV06_12	0.003	0.001	-0.003	0.014	0.012
TCRBV06_13	-0.004	0.002	0.002	0.004	-0.001
TCRBV06_14	-0.000	-0.001	0.002	0.002	0.000
TCRBV06_5	-0.007	-0.003	0.003	0.005	-0.003
TCRBV06_7	0.001	-0.004	0.019	0.016	-0.003
TCRBV06_8	-0.005	-0.008	0.011	-0.005	-0.016
TCRBV06_9	-0.021	0.002	0.006	0.005	-0.028
TCRBV06_10	0.016	0.026	-0.013	-0.020	0.006
TCRBV06_11	0.035	0.001	-0.016	-0.015	0.018
TCRBV06_12	-0.000	-0.001	-0.001	0.007	0.023
TCRBV06_13	0.010	0.006	0.002	0.010	-0.001
TCRBV07_5	-0.030	-0.000	0.001	-0.001	-0.001
TCRBV07_6	0.003	0.016	-0.020	-0.007	0.004
TCRBV07_7	0.004	0.000	-0.007	-0.007	0.008
TCRBV07_8	-0.002	-0.013	-0.006	0.022	-0.014
TCRBV07_9	0.020	0.013	0.003	-0.028	-0.000
TCRBV07_10	-0.000	-0.003	0.012	0.007	0.017
TCRBV07_11	0.019	0.010	0.005	0.005	0.013
TCRBV07_12	-0.010	-0.011	0.011	0.012	-0.000
TCRBV07_13	-0.008	-0.000	0.001	0.003	-0.000
TCRBV07_14	0.000	-0.003	-0.001	0.004	0.002
TCRBV08_1	-0.007	-0.003	-0.006	0.011	0.001
TCRBV08_2	0.004	0.020	0.022	-0.021	0.009
TCRBV08_3	0.000	0.006	0.037	-0.009	0.011
TCRBV08_4	-0.007	0.014	0.003	0.016	-0.008
TCRBV08_10	-0.002	-0.019	-0.023	-0.009	0.018
TCRBV08_11	-0.001	-0.010	-0.009	0.004	-0.013
TCRBV08_12	-0.001	-0.003	-0.033	0.019	-0.039
TCRBV08_13	-0.003	0.002	0.005	0.007	0.011
TCRBV08_2	-0.001	0.011	-0.000	0.005	0.007
TCRBV08_5	-0.001	0.013	0.017	0.015	0.014
TCRBV08_7	-0.001	0.018	-0.003	0.016	0.002
TCRBV08_8	-0.002	-0.018	-0.002	-0.018	-0.001
TCRBV08_9	0.007	-0.013	-0.009	-0.017	0.010
TCRBV08_10	-0.003	-0.009	-0.004	-0.011	-0.012
TCRBV08_11	0.005	-0.002	-0.003	-0.001	-0.010
TCRBV08_12	0.001	0.002	0.002	0.000	0.000
TCRBV08_3	-0.002	-0.002	-0.008	0.006	-0.010
TCRBV08_6	-0.007	0.001	-0.010	0.006	-0.006
TCRBV08_7	-0.006	0.002	-0.021	0.001	-0.009
TCRBV08_8	-0.005	0.004	0.000	0.004	0.004
TCRBV08_9	0.001	-0.011	0.008	-0.008	-0.006
TCRBV09_10	0.010	0.008	0.009	-0.008	-0.009
TCRBV09_11	0.015	-0.009	0.019	0.002	0.002
TCRBV09_12	0.004	0.005	0.005	0.002	0.002

0.016
Days (Week) of 1 Year

Pa: 425000

TCR2V15_11	-0.003	-0.005	0.012	-0.004	-0.001
TCR2V15_12	-0.001	-0.000	-0.002	-0.002	-0.002
TCR2V15_3	0.000	0.003	0.003	-0.004	-0.001
TCR2V15_6	0.003	0.026	-0.007	0.001	-0.003
TCR2V15_7	0.021	0.004	0.033	0.006	-0.009
TCR2V15_9	-0.020	-0.036	-0.016	-0.010	0.011
TCR2V15_9	-0.016	0.001	0.037	-0.010	0.025
TCR2V16_10	0.001	0.009	0.007	0.004	-0.015
TCR2V16_11	-0.003	-0.002	0.032	0.036	0.020
TCR2V16_12	-0.007	-0.003	-0.018	-0.004	0.009
TCR2V16_13	0.005	0.002	0.003	0.004	0.022
TCR2V16_3	-0.000	-0.000	-0.000	0.000	-0.000
TCR2V16_11	-0.003	0.003	-0.016	-0.016	-0.002
TCR2V16_5	-0.020	-0.031	0.009	-0.012	0.030
TCR2V16_6	-0.026	0.017	0.014	-0.024	-0.004
TCR2V16_7	-0.004	-0.032	-0.002	-0.013	-0.037
TCR2V16_9	-0.023	0.032	-0.024	0.030	0.000
TCR2V16_9	-0.017	-0.006	0.003	0.016	0.037
TCR2V16_10	0.001	-0.003	0.027	0.010	-0.005
TCR2V16_11	-0.004	-0.008	-0.000	-0.000	-0.007
TCR2V16_12	0.002	0.001	0.004	0.000	0.003
TCR2V16_13	0.000	-0.001	0.000	0.002	0.001
TCR2V16_3	0.006	-0.003	-0.003	0.001	0.004
TCR2V20_6	0.031	-0.004	-0.027	-0.022	0.023
TCR2V20_7	0.012	0.002	0.003	-0.001	0.017
TCR2V20_9	-0.001	0.007	0.038	0.013	0.023
TCR2V20_9	-0.006	-0.003	0.038	0.023	0.003
TCR2V20_9	0.004	-0.003	0.006	0.003	-0.075
TCR2V20_11	-0.011	0.003	0.038	-0.009	-0.004
TCR2V20_12	0.002	-0.009	0.036	-0.010	0.007
TCR2V20_13	-0.001	0.010	-0.000	-0.000	-0.000
TCR2V20_14	-0.000	-0.001	0.000	-0.004	-0.001

	11	33	33	34	35
TCR2V01_6	-0.001	0.003	0.000	0.004	0.001
TCR2V01_7	0.021	0.004	0.008	0.007	0.002
TCR2V01_9	-0.023	-0.027	0.003	-0.033	0.003
TCR2V01_9	0.030	0.049	0.013	0.015	0.006
TCR2V01_10	-0.009	0.000	-0.003	-0.011	-0.001
TCR2V01_11	-0.039	-0.021	-0.023	0.018	-0.014
TCR2V01_12	-0.014	-0.014	-0.012	-0.002	0.014
TCR2V01_13	-0.003	-0.025	-0.010	-0.007	-0.023
TCR2V01_14	0.000	-0.000	0.000	0.000	-0.001
TCR2V01_6	0.006	-0.014	0.014	0.010	0.014
TCR2V01_7	-0.019	0.000	-0.001	-0.003	0.014
TCR2V01_9	0.012	-0.013	0.009	-0.006	0.008
TCR2V01_10	0.003	-0.021	-0.003	0.001	0.015
TCR2V01_11	0.004	0.008	0.017	0.007	0.007
TCR2V01_12	0.003	0.002	0.011	0.007	-0.015
TCR2V01_12	-0.019	-0.007	0.000	-0.012	-0.004
TCR2V01_13	-0.001	-0.007	0.013	-0.001	0.005
TCR2V01_3	0.009	0.003	-0.002	-0.002	-0.001
TCR2V01_5	-0.002	0.001	-0.001	0.003	0.001
TCR2V01_6	0.023	-0.012	-0.012	-0.016	0.007
TCR2V01_7	0.003	-0.007	0.018	0.005	-0.017
TCR2V01_9	0.005	-0.023	-0.016	-0.011	0.009
TCR2V01_9	-0.003	0.004	0.001	-0.022	0.016
TCR2V01_10	-0.031	0.013	-0.013	0.020	-0.007
TCR2V01_11	0.003	0.009	0.000	0.035	-0.021
TCR2V01_12	-0.000	0.021	-0.013	0.002	0.020
TCR2V01_13	0.001	-0.002	-0.013	-0.026	-0.006
TCR2V01_6	-0.003	0.002	-0.001	-0.003	0.000
TCR2V01_7	0.004	0.004	0.004	0.004	0.004

010-0

Figure 114

File: A2200001					File: A2200001				
TCRBV04_9	0.022	-0.023	-0.003	0.020	0.014	0.004	-0.021	0.020	0.017
TCRBV04_9	0.022	0.000	-0.030	0.008	0.018	0.016	-0.021	0.020	0.008
TCRBV04_10	-0.020	-0.019	0.009	0.017	0.017	0.017	-0.021	0.020	0.008
TCRBV04_11	-0.022	0.003	0.018	-0.039	0.020	0.018	-0.021	0.020	0.008
TCRBV04_12	0.024	0.012	0.034	0.013	0.014	0.014	-0.021	0.020	0.008
TCRBV04_13	0.008	0.031	-0.035	-0.010	-0.044	0.004	-0.021	0.020	0.008
TCRBV04_14	-0.003	-0.017	-0.006	-0.005	-0.037	0.004	-0.021	0.020	0.008
TCRBV04_15	0.003	0.004	0.005	-0.001	-0.010	0.004	-0.021	0.020	0.008
TCRBV04_16	-0.012	-0.019	0.001	-0.001	-0.001	0.004	-0.021	0.020	0.008
TCRBV04_17	0.004	0.004	-0.011	0.014	0.014	0.004	-0.021	0.020	0.008
TCRBV04_18	-0.014	-0.016	0.010	-0.002	0.016	0.004	-0.021	0.020	0.008
TCRBV04_19	0.007	-0.010	-0.002	0.010	0.010	0.004	-0.021	0.020	0.008
TCRBV04_20	0.003	0.039	0.035	-0.012	0.031	0.004	-0.021	0.020	0.008
TCRBV04_21	-0.011	-0.011	-0.024	-0.008	0.013	0.004	-0.021	0.020	0.008
TCRBV04_22	0.003	0.000	-0.002	0.031	-0.003	0.004	-0.021	0.020	0.008
TCRBV04_23	-0.001	-0.029	-0.007	-0.003	0.001	0.004	-0.021	0.020	0.008
TCRBV04_24	-0.003	-0.004	0.007	0.016	-0.004	0.004	-0.021	0.020	0.008
TCRBV04_25	0.003	-0.007	-0.003	0.018	-0.010	0.004	-0.021	0.020	0.008
TCRBV04_26	-0.014	-0.010	0.009	0.020	0.021	0.004	-0.021	0.020	0.008
TCRBV04_27	-0.039	-0.004	0.002	-0.002	-0.006	0.004	-0.021	0.020	0.008
TCRBV04_28	0.039	0.011	-0.002	0.006	0.020	0.004	-0.021	0.020	0.008
TCRBV04_29	0.007	-0.003	-0.001	-0.002	0.006	0.004	-0.021	0.020	0.008
TCRBV04_30	-0.003	0.002	-0.002	-0.002	-0.001	0.004	-0.021	0.020	0.008
TCRBV04_31	-0.001	-0.001	0.001	-0.000	-0.002	0.004	-0.021	0.020	0.008
TCRBV04_32	0.007	0.007	0.007	-0.008	-0.009	0.004	-0.021	0.020	0.008
TCRBV04_33	-0.034	0.019	-0.004	-0.012	-0.002	0.004	-0.021	0.020	0.008
TCRBV04_34	-0.024	0.031	-0.030	-0.009	-0.001	0.004	-0.021	0.020	0.008
TCRBV04_35	-0.009	0.001	-0.004	-0.004	-0.037	0.004	-0.021	0.020	0.008
TCRBV04_36	0.034	-0.027	0.011	0.013	-0.003	0.004	-0.021	0.020	0.008
TCRBV04_37	0.003	-0.031	-0.007	0.006	0.032	0.004	-0.021	0.020	0.008
TCRBV04_38	0.014	0.016	0.010	-0.005	0.001	0.004	-0.021	0.020	0.008
TCRBV04_39	0.003	-0.006	0.000	0.007	0.015	0.004	-0.021	0.020	0.008
TCRBV04_40	-0.009	0.000	0.001	0.000	-0.002	0.004	-0.021	0.020	0.008
TCRBV04_41	0.003	-0.008	-0.002	-0.012	-0.002	0.004	-0.021	0.020	0.008
TCRBV04_42	0.019	0.004	0.019	-0.018	-0.018	0.004	-0.021	0.020	0.008
TCRBV04_43	0.019	0.001	-0.026	0.005	-0.003	0.004	-0.021	0.020	0.008
TCRBV04_44	-0.005	0.002	-0.034	-0.008	-0.018	0.004	-0.021	0.020	0.008
TCRBV04_45	-0.015	-0.003	0.014	-0.003	0.006	0.004	-0.021	0.020	0.008
TCRBV04_46	-0.007	-0.006	0.002	0.010	0.005	0.004	-0.021	0.020	0.008
TCRBV04_47	-0.009	0.014	0.010	0.015	0.018	0.004	-0.021	0.020	0.008
TCRBV04_48	-0.009	0.002	0.001	0.007	0.002	0.004	-0.021	0.020	0.008
TCRBV04_49	-0.001	-0.006	-0.003	-0.001	-0.003	0.004	-0.021	0.020	0.008
TCRBV04_50	-0.001	-0.003	-0.007	0.018	0.005	0.004	-0.021	0.020	0.008
TCRBV04_51	0.002	-0.018	-0.023	-0.002	0.023	0.004	-0.021	0.020	0.008
TCRBV04_52	0.003	0.007	-0.010	0.011	-0.013	0.004	-0.021	0.020	0.008
TCRBV04_53	-0.004	-0.002	0.015	-0.013	0.004	0.004	-0.021	0.020	0.008
TCRBV04_54	0.003	-0.006	0.000	0.007	0.015	0.004	-0.021	0.020	0.008
TCRBV04_55	-0.009	0.000	0.001	0.000	-0.002	0.004	-0.021	0.020	0.008
TCRBV04_56	0.003	-0.008	-0.002	-0.012	-0.002	0.004	-0.021	0.020	0.008
TCRBV04_57	0.019	0.004	0.019	-0.018	-0.018	0.004	-0.021	0.020	0.008
TCRBV04_58	0.019	0.001	-0.026	0.005	-0.003	0.004	-0.021	0.020	0.008
TCRBV04_59	-0.005	0.002	-0.034	-0.008	-0.018	0.004	-0.021	0.020	0.008
TCRBV04_60	-0.015	-0.003	0.014	-0.003	0.006	0.004	-0.021	0.020	0.008
TCRBV04_61	-0.007	-0.006	0.002	0.010	0.005	0.004	-0.021	0.020	0.008
TCRBV04_62	-0.009	0.014	0.010	0.015	0.018	0.004	-0.021	0.020	0.008
TCRBV04_63	-0.009	0.002	0.001	0.007	0.002	0.004	-0.021	0.020	0.008
TCRBV04_64	-0.001	-0.006	-0.003	-0.001	-0.003	0.004	-0.021	0.020	0.008
TCRBV04_65	-0.001	-0.003	-0.007	0.018	0.005	0.004	-0.021	0.020	0.008
TCRBV04_66	0.002	-0.018	-0.023	-0.002	0.023	0.004	-0.021	0.020	0.008
TCRBV04_67	0.003	0.007	-0.010	0.011	-0.013	0.004	-0.021	0.020	0.008
TCRBV04_68	-0.004	-0.002	0.015	-0.013	0.004	0.004	-0.021	0.020	0.008
TCRBV04_69	0.003	-0.006	0.000	0.007	0.015	0.004	-0.021	0.020	0.008
TCRBV04_70	-0.009	0.000	0.001	0.000	-0.002	0.004	-0.021	0.020	0.008
TCRBV04_71	0.003	-0.008	-0.002	-0.012	-0.002	0.004	-0.021	0.020	0.008
TCRBV04_72	0.019	0.004	0.019	-0.018	-0.018	0.004	-0.021	0.020	0.008
TCRBV04_73	0.019	0.001	-0.026	0.005	-0.003	0.004	-0.021	0.020	0.008
TCRBV04_74	-0.005	0.002	-0.034	-0.008	-0.018	0.004	-0.021	0.020	0.008
TCRBV04_75	-0.015	-0.003	0.014	-0.003	0.006	0.004	-0.021	0.020	0.008
TCRBV04_76	-0.007	-0.006	0.002	0.010	0.005	0.004	-0.021	0.020	0.008
TCRBV04_77	-0.009	0.014	0.010	0.015	0.018	0.004	-0.021	0.020	0.008
TCRBV04_78	-0.009	0.002	0.001	0.007	0.002	0.004	-0.021	0.020	0.008
TCRBV04_79	-0.001	-0.006	-0.003	-0.001	-0.003	0.004	-0.021	0.020	0.008
TCRBV04_80	-0.001	-0.003	-0.007	0.018	0.005	0.004	-0.021	0.020	0.008
TCRBV04_81	0.002	-0.018	-0.023	-0.002	0.023	0.004	-0.021	0.020	0.008
TCRBV04_82	0.003	0.007	-0.010	0.011	-0.013	0.004	-0.021	0.020	0.008
TCRBV04_83	-0.004	-0.002	0.015	-0.013	0.004	0.004	-0.021	0.020	0.008
TCRBV04_84	0.003	-0.006	0.000	0.007	0.015	0.004	-0.021	0.020	0.008
TCRBV04_85	-0.009	0.000	0.001	0.000	-0.002	0.004	-0.021	0.020	0.008
TCRBV04_86	0.003	-0.008	-0.002	-0.012	-0.002	0.004	-0.021	0.020	0.008
TCRBV04_87	0.019	0.004	0.019	-0.018	-0.018	0.004	-0.021	0.020	0.008
TCRBV04_88	0.019	0.001	-0.026	0.005	-0.003	0.004	-0.021	0.020	0.008
TCRBV04_89	-0.005	0.002	-0.034	-0.008	-0.018	0.004	-0.021	0.020	0.008
TCRBV04_90	-0.015	-0.003	0.014	-0.003	0.006	0.004	-0.021	0.020	0.008
TCRBV04_91	-0.007	-0.006	0.002	0.010	0.005	0.004	-0.021	0.020	0.008
TCRBV04_92	-0.009	0.014	0.010	0.015	0.018	0.004	-0.021	0.020	0.008
TCRBV04_93	-0.009	0.002	0.001	0.007	0.002	0.004	-0.021	0.020	0.008
TCRBV04_94	-0.001	-0.006	-0.003	-0.001	-0.003	0.004	-0.021	0.020	0.008
TCRBV04_95	-0.001	-0.003	-0.007	0.018	0.005	0.004	-0.021	0.020	0.008
TCRBV04_96	0.002	-0.018	-0.023	-0.002	0.023	0.004	-0.021	0.020	0.008
TCRBV04_97	0.003	0.007	-0.010	0.011	-0.013	0.004	-0.021	0.020	0.008
TCRBV04_98	-0.004	-0.002	0.015	-0.013	0.004	0.004	-0.021	0.020	0.008
TCRBV04_99	0.003	-0.006	0.000	0.007	0.015	0.004	-0.021	0.020	0.008
TCRBV04_100	-0.009	0.000	0.001	0.000	-0.002	0.004	-0.021	0.020	0.008
TCRBV04_101	0.003	-0.008	-0.002	-0.012	-0.002	0.004	-0.021	0.020	0.008
TCRBV04_102	0.019	0.004	0.019	-0.018	-0.018	0.004	-0.021	0.020	0.008
TCRBV04_103	0.019	0.001	-0.026	0.005	-0.003				

Pct: 11/2003				
TCSR002_11	-0.005	0.003	0.002	0.004
TCSR002_12	-0.002	-0.000	-0.001	0.001
TCSR002_13	0.003	0.013	0.002	-0.003
TCSR002_14	0.005	0.017	-0.009	-0.002
TCSR002_15	0.009	0.019	-0.004	0.000
TCSR002_16	-0.019	-0.001	0.005	-0.003
TCSR002_17	-0.007	-0.034	0.000	0.040
TCSR002_18	0.003	-0.012	-0.008	0.014
TCSR002_19	-0.011	-0.006	-0.001	-0.006
TCSR002_20	0.007	0.006	-0.009	-0.007
TCSR002_21	0.001	0.001	0.009	-0.003
TCSR002_22	0.010	0.000	-0.014	0.009
TCSR002_23	-0.014	0.002	0.048	-0.001
TCSR002_24	-0.001	0.002	0.048	-0.001
TCSR002_25	0.005	-0.036	0.045	-0.019
TCSR002_26	-0.057	0.037	-0.058	0.047
TCSR002_27	0.028	0.002	-0.021	-0.016
TCSR002_28	-0.001	-0.008	0.043	-0.064
TCSR002_29	-0.007	-0.002	0.034	-0.016
TCSR002_30	-0.001	-0.004	-0.012	0.004
TCSR002_31	-0.003	0.003	-0.001	-0.004
TCSR002_32	0.019	0.001	0.014	0.030
TCSR002_33	-0.021	0.017	0.024	0.033
TCSR002_34	0.005	-0.014	-0.011	-0.003
TCSR002_35	-0.014	0.031	0.004	-0.031
TCSR002_36	0.013	-0.009	-0.009	-0.021
TCSR002_37	0.001	-0.005	-0.017	0.004
TCSR002_38	-0.004	-0.021	-0.011	-0.003
TCSR002_39	-0.000	0.001	-0.004	-0.001
TCSR002_40	0.006	-0.004	0.004	-0.000
TCSR002_41	0.019	-0.000	-0.007	0.011
TCSR002_42	0.024	-0.021	-0.020	0.017
TCSR002_43	0.035	-0.038	-0.014	-0.015
TCSR002_44	0.019	0.009	-0.021	-0.015
TCSR002_45	0.002	0.019	0.024	-0.002
TCSR002_46	-0.014	0.005	0.008	0.003
TCSR002_47	-0.029	0.024	0.041	-0.007
TCSR002_48	-0.017	0.003	-0.002	-0.002
TCSR002_49	-0.000	0.004	-0.001	-0.002
TCSR002_50	-0.000	0.001	-0.000	-0.001
TCSR002_51	-0.007	0.003	-0.008	0.017
TCSR002_52	0.002	-0.016	0.003	-0.010
TCSR002_53	-0.004	0.009	0.023	-0.010
TCSR002_54	-0.006	0.025	0.017	0.001
TCSR002_55	0.022	0.034	0.006	0.003
TCSR002_56	-0.006	-0.015	-0.012	-0.002
TCSR002_57	-0.010	-0.023	0.027	-0.029
TCSR002_58	0.013	0.006	-0.040	0.009
TCSR002_59	-0.003	-0.003	-0.022	0.010
TCSR002_60	0.007	0.003	-0.002	-0.001
TCSR002_61	0.018	0.014	-0.013	0.017
TCSR002_62	0.030	0.006	-0.008	0.006
TCSR002_63	-0.048	-0.034	0.013	-0.070
TCSR002_64	-0.023	0.024	-0.002	-0.004
TCSR002_65	0.000	0.004	0.004	0.007
TCSR002_66	-0.001	-0.009	-0.024	-0.002
TCSR002_67	0.006	-0.007	-0.008	0.002
TCSR002_68	-0.003	0.019	-0.002	0.015
TCSR002_69	-0.000	-0.001	-0.002	-0.002
TCSR002_70	0.010	-0.005	0.005	-0.010
TCSR002_71	0.004	0.001	-0.002	0.013
TCSR002_72	-0.012	-0.004	-0.001	-0.000
TCSR002_73	0.004	0.021	0.014	-0.010
TCSR002_74	0.006	-0.037	-0.023	0.017

Page 11/2003

Pct: 11/2003				
TCSR002_11	0.001	0.018	0.014	0.016
TCSR002_12	0.001	0.001	0.000	-0.011
TCSR002_13	0.001	0.001	0.000	0.007
TCSR002_14	0.011	0.000	0.000	0.001
TCSR002_15	0.007	-0.000	0.011	0.008
TCSR002_16	-0.029	-0.011	-0.011	-0.029
TCSR002_17	0.014	0.019	-0.007	-0.011
TCSR002_18	0.022	-0.018	-0.005	-0.045
TCSR002_19	-0.023	0.003	-0.003	0.014
TCSR002_20	0.031	0.022	0.023	0.039
TCSR002_21	0.024	0.007	0.002	0.010
TCSR002_22	0.002	-0.007	0.000	0.003
TCSR002_23	0.002	0.005	0.006	0.006
TCSR002_24	0.013	0.008	-0.025	-0.007
TCSR002_25	0.029	0.025	0.037	0.042
TCSR002_26	0.007	-0.012	0.011	0.037
TCSR002_27	0.019	-0.016	-0.016	-0.027
TCSR002_28	-0.029	0.046	0.007	0.007
TCSR002_29	-0.011	-0.021	-0.039	0.001
TCSR002_30	0.021	-0.019	0.014	-0.009
TCSR002_31	-0.001	0.001	0.000	-0.001
TCSR002_32	0.009	-0.002	-0.011	0.000
TCSR002_33	0.002	0.003	-0.019	0.004
TCSR002_34	0.004	0.011	0.014	-0.006
TCSR002_35	0.020	0.031	-0.046	0.015
TCSR002_36	0.030	-0.024	-0.019	0.010
TCSR002_37	0.004	0.018	-0.014	-0.013
TCSR002_38	0.004	0.011	0.004	-0.027
TCSR002_39	0.031	0.001	0.013	0.003
TCSR002_40	-0.002	-0.001	0.001	-0.001
TCSR002_41	0.001	0.001	-0.001	-0.007
TCSR002_42	0.002	-0.006	0.002	-0.005
TCSR002_43	0.012	-0.016	-0.004	0.001
TCSR002_44	0.019	0.009	-0.029	-0.002
TCSR002_45	0.009	0.007	0.004	-0.008
TCSR002_46	-0.030	-0.002	0.004	0.017
TCSR002_47	-0.010	-0.010	0.020	0.019
TCSR002_48	0.014	0.017	-0.041	-0.023
TCSR002_49	0.009	-0.000	0.031	-0.038
TCSR002_50	0.019	0.000	0.015	0.012
TCSR002_51	-0.009	-0.000	0.000	-0.001

Page 11/2003

Pct: 11/2003				
TCSR002_6	0.014	-0.012	0.039	0.024
TCSR002_7	-0.024	-0.020	0.049	0.008
TCSR002_8	0.002	0.019	0.017	0.024
TCSR002_9	-0.025	-0.022	-0.020	0.003
TCSR002_10	0.020	0.009	-0.009	-0.004
TCSR002_11	-0.019	-0.019	-0.040	0.007
TCSR002_12	-0.008	0.026	-0.020	-0.001
TCSR002_13	0.025	-0.028	-0.019	-0.031
TCSR002_14	0.003	0.004	0.003	0.001
TCSR002_15	0.010	0.005	0.037	0.016
TCSR002_16	-0.005	0.035	-0.021	-0.012
TCSR002_17	-0.001	0.037	0.004	0.036
TCSR002_18	-0.021	-0.002	-0.022	0.084
TCSR002_19	0.003	-0.019	0.028	0.010
TCSR002_20	-0.006	-0.010	-0.005	-0.012
TCSR002_21	0.015	-0.010	-0.034	-0.024
TCSR002_22	0.005	-0.006	0.030	0.031
TCSR002_23	-0.019	-0.004	0.001	0.010
TCSR002_24	-0.019	0.012	0.025	-0.018
TCSR002_25	-0.024	0.010	0.047	0.027
TCSR002_26	-0.052	0.009	-0.015	-0.031
TCSR002_27	-0.021	-0.021	-0.028	0.005
TCSR002_28	-0.010	-0.030	-0.037	0.012
TCSR002_29	0.004	0.009	0.007	-0.006
TCSR002_30	0.013	-0.022	0.011	-0.016
TCSR002_31	-0.013	0.019	-0.051	-0.038
TCSR002_32	-0.011	0.014	0.031	-0.031
TCSR002_33	-0.006	-0.028	0.020	0.022
TCSR002_34	-0.019	-0.008	-0.002	0.012
TCSR002_35	0.003	-0.030	0.023	0.019
TCSR002_36	0.015	0.040	0.027	-0.013
TCSR002_37	-0.032	-0.002	-0.030	-0.015
TCSR002_38	0.015	0.008	-0.014	-0.020
TCSR002_39	-0.016	0.014	0.008	-0.015
TCSR002_40	0.001	0.011	0.009	0.001
TCSR002_41	0.019	-0.016	0.009	-0.006
TCSR002_42	0.008	-0.010	-0.009	0.002
TCSR002_43	0.017	0.004	-0.010	-0.014
TCSR002_44	0.003	0.013	-0.046	0.029
TCSR002_45	-0.013	-0.043	-0.046	-0.029
TCSR002_46	-0.003	-0.014	0.075	-0.005
TCSR002_47	-0.010	0.040	-0.039	-0.028
TCSR002_48	0.006	0.026	-0.021	-0.003
TCSR002_49	0.002	0.008	0.008	-0.001
TCSR002_50	-0.006	-0.007	0.002	0.008
TCSR002_51	0.038	-0.007	-0.001	-0.008
TCSR002_52	-0.009	-0.001	-0.008	0.019
TCSR002_53	-0.010	-0.029	0.002	-0.028
TCSR002_54	-0.004	-0.005	-0.011	0.005
TCSR002_55	0.008	0.009	0.011	-0.013
TCSR002_56	-0.000	0.027	0.017	-0.013
TCSR002_57	-0.044	0.016	-0.005	0.013
TCSR002_58	0.000	0.000	-0.002	0.001
TCSR002_59	-0.009	0.004	0.002	0.007
TCSR002_60	-0.017	-0.017	0.024	0.027
TCSR002_61	0.013	-0.027	-0.018	-0.031
TCSR002_62	-0.017	-0.002	-0.028	-0.044
TCSR002_63	0.036	0.013	0.010	0.047
TCSR002_64	0.011	-0.002	-0.002	-0.001
TCSR002_65	0.011	-0.002	-0.001	-0.004
TCSR002_66	0.002	-0.008	0.013	0.021
TCSR002_67	0.010	-0.011	0.016	0.007
TCSR002_68	-0.002	0.005	0.018	0.018
TCSR002_69	-0.010	0.001	-0.007	-0.020

Page 11/2003

Pct: 11/2003				
TCSR002_7	-0.003	0.000	-0.003	-0.018
TCSR002_8	-0.006	0.001	0.030	-0.005
TCSR002_9	-0.009	0.005	-0.040	0.042
TCSR002_10	0.010	0.015	0.014	0.033
TCSR002_11	0.010	0.014	-0.007	-0.006
TCSR002_12	0.002	-0.002	-0.001	-0.003
TCSR002_13	0.014	0.044	-0.015	0.011
TCSR002_14	-0.013	-0.008	-0.013	0.001
TCSR002_15	-0.004	0.006	-0.034	0.013
TCSR002_16	-0.010	-0.036	0.033	-0.016
TCSR002_17	-0.025	-0.002	0.030	-0.008
TCSR002_18	-0.001	-0.028	0.033	-0.013
TCSR003_11	-0.005	-0.002	-0.015	0.010
TCSR003_12	-0.040	0.025	-0.020	0.015
TCSR003_13	0.002	0.001	0.002	0.004
TCSR003_14	0.010	0.012	-0.019	0.010
TCSR003_15	0.044	-0.044	-0.042	-0.040
TCSR003_16	-0.000	-0.005	-0.024	0.017
TCSR003_17	0.021	-0.018	0.017	0.049
TCSR003_18	0.034	0.080	-0.039	-0.049
TCSR003_19	-0.006	-0.030	-0.013	-0.014
TCSR003_20	-0.047	-0.023	-0.080	0.040
TCSR003_21	-0.028	-0.022	0.042	-0.005
TCSR003_22	-0.032	-0.000	0.029	-0.016
TCSR003_23	-0.011	-0.007	0.012	-0.002
TCSR003_24	-0.012	-0.024	-0.001	0.021
TCSR003_25	-0.030	0.035	0.034	-0.017
TCSR003_26	-0.033	0.024	0.014	-0.027
TCSR003_27	-0.027	-0.018	-0.018	0.010
TCSR003_28	0.071	-0.025	-0.030	0.000
TCSR003_29	0.007	0.029	0.010	0.041
TCSR003_30	0.009	-0.032	-0.011	-0.022
TCSR003_31	-0.001	0.000	0.001	0.000
TCSR003_32	0.005	0.001	0.014	0.013
TCSR003_33	-0.004	-0.017	0.015	-0.031
TCSR003_34	-0.005	0.020	0.015	0.024
TCSR003_35	-0.020	0.019	0.004	0.010
TCSR003_36	-0.004	0.006	-0.042	-0.005
TCSR003_37	-0.002	-0.013	0.005	0.000
TCSR003_38	-0.022	-0.001	0.006	0.002
TCSR003_39	0.023	-0.003	-0.014	-0.024
TCSR003_40	0.004	-0.011	-0.006	-0.006
TCSR003_41	-0.008	0.008	0.003	0.003
TCSR003_42	-0.001	0.001	0.001	0.001
TCSR003_43	0.012	0.005	0.002	-0.015
TCSR003_44	0.020	0.007	-0.016	-0.007
TCSR003_45	-0.030	0.012	0.028	0.012
TCSR003_46	-0.022	-0.018	0.039	0.017
TCSR003_47	-0.008	-0.025	-0.020	0.023
TCSR003_48	-0.017	-0.023	-0.023	-0.001
TCSR003_49	0.035	0.001	0.003	-0.003
TCSR003_50	-0.014	0.015	-0.003	-0.002
TCSR003_51	-0.014	0.017	-0.013	0.010
TCSR003_52	0.001	0.008	0.003	0.003
TCSR003_53	0.015	-0.034	0.041	0.002
TCSR003_54	0.008	-0.034	-0.039	0.035
TCSR003_55	-0.030	0.048	-0.009	-0.011
TCSR003_56	0.007	0.014	0.012	0.011
TCSR003_57	0.047	0.001	0.002	-0.038
TCSR003_58	-0.028	0.003	0.009	0.023
TCSR003_59	-0.003	-0.010	-0.012	-0.008
TCSR003_60	-0.017	0.006	0.014	-0.010
TCSR003_61	-0.006	0.006	-0.008	0.006

P=0.00000000											
TCRBV1_6	0.013	-0.005	0.017	0.004	0.027	TCRBV2_11	-0.081	-0.007	-0.053	-0.033	-0.008
TCRBV1_7	0.007	-0.018	-0.063	0.031	0.009	TCRBV2_12	0.003	-0.022	0.043	0.040	-0.001
TCRBV1_8	0.016	0.021	0.038	-0.043	0.002	TCRBV2_13	0.004	-0.013	0.013	0.004	-0.001
TCRBV1_9	-0.004	-0.003	0.016	-0.002	0.012	TCRBV2_14	0.000	0.001	0.001	-0.002	-0.001
TCRBV1_10	-0.030	-0.014	-0.015	-0.015	0.001	TCRBV2_15	0.021	0.001	0.002	0.002	0.001
TCRBV1_11	0.011	0.013	0.001	0.023	-0.007	TCRBV2_16	0.015	0.008	-0.093	0.047	-0.075
TCRBV1_12	-0.011	-0.014	-0.024	-0.005	-0.009	TCRBV2_17	-0.009	-0.004	0.002	-0.030	-0.015
TCRBV1_13	0.009	0.000	0.000	0.000	0.001	TCRBV2_18	-0.022	-0.008	-0.014	0.009	0.028
TCRBV1_14	0.007	-0.013	-0.005	-0.006	-0.002	TCRBV2_19	0.003	0.002	0.005	-0.011	0.000
TCRBV1_15	0.031	0.004	0.012	0.003	0.032	TCRBV2_20	0.045	0.043	0.057	-0.041	-0.032
TCRBV1_16	-0.006	-0.012	0.009	-0.042	-0.031	TCRBV2_21	-0.010	0.029	0.023	0.022	0.010
TCRBV1_17	-0.021	-0.003	-0.009	-0.004	-0.040	TCRBV2_22	0.010	-0.013	-0.002	0.020	0.029
TCRBV1_18	0.021	0.033	-0.003	0.003	0.049	TCRBV2_23	-0.007	-0.022	-0.023	-0.011	-0.014
TCRBV1_19	-0.030	-0.003	0.008	-0.012	-0.010	TCRBV2_24	0.012	0.006	0.003	0.002	-0.011
TCRBV1_20	-0.010	-0.011	0.013	0.036	0.005	TCRBV2_25	0.001	0.045	0.030	-0.038	0.008
TCRBV1_21	0.046	0.003	-0.019	-0.022	0.002	TCRBV2_26	0.024	0.016	-0.002	0.032	0.000
TCRBV1_22	-0.003	0.003	-0.009	0.004	-0.002	TCRBV2_27	0.017	-0.057	0.008	-0.030	0.010
TCRBV1_23	0.007	0.006	0.011	-0.005	0.018	TCRBV2_28	0.016	0.016	-0.018	-0.012	0.031
TCRBV1_24	0.011	0.038	0.034	-0.018	0.027	TCRBV2_29	-0.008	-0.028	-0.014	0.005	-0.040
TCRBV1_25	0.001	0.061	0.016	0.043	-0.028	TCRBV2_30	-0.011	-0.018	-0.036	0.010	0.022
TCRBV1_26	0.027	-0.075	-0.021	-0.021	0.032	TCRBV2_31	-0.017	0.027	0.028	-0.068	0.010
TCRBV1_27	0.021	0.031	0.010	0.017	-0.015	TCRBV2_32	-0.001	0.021	0.008	0.011	-0.071
TCRBV1_28	-0.068	-0.048	-0.027	-0.004	-0.013	TCRBV2_33	-0.005	-0.030	-0.004	-0.019	0.033
TCRBV1_29	-0.018	-0.043	0.014	0.037	-0.007	TCRBV2_34	-0.021	-0.040	-0.010	0.040	0.014
TCRBV1_30	-0.011	0.040	0.002	-0.058	-0.023	TCRBV2_35	0.005	0.007	-0.050	-0.077	0.006
TCRBV1_31	-0.001	0.004	0.001	-0.000	0.010	TCRBV2_36	-0.048	-0.005	0.070	0.018	-0.045
TCRBV1_32	0.001	-0.003	-0.005	-0.004	-0.000	TCRBV2_37	-0.005	0.005	0.084	0.002	-0.018
TCRBV1_33	0.031	0.020	-0.008	0.011	-0.014	TCRBV2_38	0.047	-0.065	-0.023	0.022	0.008
TCRBV1_34	0.015	0.045	0.020	0.026	-0.038	TCRBV2_39	-0.040	0.029	0.009	-0.012	0.007
TCRBV1_35	0.017	0.049	0.044	0.009	0.046	TCRBV2_40	-0.031	-0.028	-0.031	-0.009	0.044
TCRBV1_36	0.007	-0.024	0.010	-0.044	0.043	TCRBV2_41	0.036	0.031	-0.031	0.025	0.053
TCRBV1_37	-0.051	-0.020	-0.004	0.017	-0.071	TCRBV2_42	0.022	-0.026	-0.019	0.024	0.024
TCRBV1_38	0.023	-0.018	0.018	0.016	0.044	TCRBV2_43	0.018	-0.005	0.014	-0.061	-0.002
TCRBV1_39	0.051	0.034	-0.013	-0.046	-0.008	TCRBV2_44	-0.018	0.034	0.034	0.023	0.029
TCRBV1_40	-0.002	0.035	-0.028	0.019	-0.034	TCRBV2_45	0.006	0.007	-0.052	0.021	-0.010
TCRBV1_41	0.001	0.000	-0.003	-0.001	0.007	TCRBV2_46	-0.039	0.003	-0.036	0.004	0.048
TCRBV1_42	-0.007	0.002	0.001	0.003	0.010	TCRBV2_47	-0.009	-0.033	0.027	-0.063	-0.017
TCRBV1_43	0.012	0.013	0.007	0.011	-0.014	TCRBV2_48	-0.027	-0.019	-0.019	-0.028	0.010
TCRBV2_0	0.012	-0.025	-0.015	0.063	-0.029	TCRBV2_49	0.001	-0.003	0.007	0.038	0.067
TCRBV2_1	0.021	0.041	0.023	-0.029	-0.041	TCRBV2_50	0.020	0.001	0.001	0.007	-0.014
TCRBV2_2	-0.050	-0.054	-0.046	-0.015	0.087	TCRBV2_51	0.009	0.007	-0.004	-0.008	-0.022
TCRBV2_3	-0.017	-0.065	-0.047	0.007	0.030	TCRBV2_52	0.006	0.006	0.031	-0.002	0.000
TCRBV2_4	-0.014	0.028	-0.014	0.030	0.004	TCRBV2_53	0.044	0.021	0.003	0.016	0.024
TCRBV2_5	-0.007	0.022	0.041	-0.006	-0.034	TCRBV2_54	-0.018	-0.007	0.006	0.003	0.000
TCRBV2_6	-0.009	-0.024	-0.011	-0.013	-0.013	TCRBV2_55	-0.008	-0.020	-0.022	0.028	0.036
TCRBV2_7	0.007	-0.016	-0.016	-0.003	-0.013	TCRBV2_56	0.013	0.027	0.042	0.014	0.014
TCRBV2_8	0.002	-0.013	-0.004	-0.005	-0.011	TCRBV2_57	-0.010	0.012	-0.031	-0.017	0.037
TCRBV2_9	0.002	-0.013	-0.004	-0.005	-0.011	TCRBV2_58	-0.045	0.045	-0.024	-0.023	-0.020
TCRBV2_10	0.002	-0.013	-0.004	-0.005	-0.011	TCRBV2_59	-0.017	0.001	0.028	0.013	-0.063
TCRBV2_11	0.002	-0.013	-0.004	-0.005	-0.011	TCRBV2_60	-0.000	0.016	0.034	0.022	-0.041
TCRBV2_12	0.002	-0.013	-0.004	-0.005	-0.011	TCRBV2_61	0.081	0.032	0.008	-0.019	-0.019
TCRBV2_13	0.002	-0.013	-0.004	-0.005	-0.011	TCRBV2_62	-0.012	0.017	-0.008	-0.067	-0.016
TCRBV2_14	0.002	-0.013	-0.004	-0.005	-0.011	TCRBV2_63	0.030	-0.014	0.030	-0.044	0.064
TCRBV2_15	0.002	-0.013	-0.004	-0.005	-0.011	TCRBV2_64	-0.003	0.003	-0.038	0.013	-0.013
TCRBV2_16	0.002	-0.013	-0.004	-0.005	-0.011	TCRBV2_65	-0.091	-0.008	-0.032	-0.003	0.012
TCRBV2_17	0.002	-0.013	-0.004	-0.005	-0.011	TCRBV2_66	-0.015	0.003	0.001	-0.028	0.032
TCRBV2_18	0.002	-0.013	-0.004	-0.005	-0.011	TCRBV2_67	-0.081	0.006	0.018	0.023	-0.046
TCRBV2_19	0.002	-0.013	-0.004	-0.005	-0.011	TCRBV2_68	0.001	0.016	-0.001	-0.005	0.000
TCRBV2_20	0.002	-0.013	-0.004	-0.005	-0.011	TCRBV2_69	-0.006	-0.016	-0.013	-0.006	0.006
TCRBV2_21	0.002	-0.013	-0.004	-0.005	-0.011	TCRBV2_70	-0.018	-0.001	0.013	-0.037	-0.077
TCRBV2_22	0.002	-0.013	-0.004	-0.005	-0.011	TCRBV2_71	-0.021	-0.018	-0.001	0.004	0.007
TCRBV2_23	0.002	-0.013	-0.004	-0.005	-0.011	TCRBV2_72	0.018	0.038	0.028	0.025	-0.012
TCRBV2_24	0.002	-0.013	-0.004	-0.005	-0.011	TCRBV2_73	0.014	0.035	-0.053	0.026	0.041
TCRBV2_25	0.002	-0.013	-0.004	-0.005	-0.011	TCRBV2_74	-0.021	-0.024	-0.024	0.017	0.027

Page 112 of 120

Page 112 of 120

P=0.00000000						P=0.00000000					
TCRBV01_11	0.004	0.041	0.022	0.024	0.020	TCRBV13_10	0.025	-0.006	-0.061	-0.018	-0.042
TCRBV01_12	0.024	0.031	0.001	-0.006	-0.025	TCRBV13_11	0.019	-0.040	-0.045	0.021	0.018
TCRBV01_13	-0.009	-0.063	0.072	0.021	-0.001	TCRBV13_12	0.001	-0.006	-0.012	0.014	0.002
TCRBV01_14	-0.033	0.022	0.009	-0.015	0.034	TCRBV13_13	-0.003	-0.024	-0.009	-0.059	0.022
TCRBV01_15	-0.013	-0.024	0.070	0.018	0.100	TCRBV13_14	0.001	-0.004	-0.002	0.001	0.010
TCRBV01_16	0.030	0.034	-0.013	0.007	-0.004	TCRBV13_15	0.006	0.006	0.006	0.006	0.006
TCRBV01_17	-0.029	-0.003	-0.041	0.044	-0.041	TCRBV13_16	-0.041	0.028	-0.029	-0.014	0.015
TCRBV01_18	0.054	0.002	-0.016	-0.015	-0.005	TCRBV13_17	-0.046	0.009	0.021	-0.014	0.024
TCRBV01_19	0.023	0.030	-0.033	-0.047	-0.014	TCRBV13_18	0.008	-0.111	-0.043	-0.046	0.011
TCRBV01_20	0.033	0.011	0.005	0.017	0.016	TCRBV13_19	0.010	0.048	0.006	0.018	0.018
TCRBV01_21	-0.000	-0.002	-0.002	-0.001	-0.005	TCRBV13_20	0.095	0.049	0.017	0.024	-0.008
TCRBV01_22	0.006	0.013	0.069	0.030	0.031	TCRBV13_21	0.013	0.032	-0.006	-0.026	0.007
TCRBV01_23	-0.023	-0.004	0.009	0.005	0.076	TCRBV13_22	0.001	0.002	0.001	0.001	-0.001
TCRBV01_24	-0.030	-0.027	-0.047	-0.010	-0.046	TCRBV13_23	0.003	0.015	0.011	-0.006	0.007
TCRBV01_25	-0.012	0.004	0.040	-0.042	0.006	TCRBV13_24	-0.036	-0.029	-0.035	-0.023	-0.068
TCRBV01_26	-0.015	0.007	-0.020	0.010	-0.056	TCRBV13_25	-0.009	0.039	-0.004	0.023	-0.047
TCRBV01_27	0.035	-0.029	0.045	-0.037	-0.040	TCRBV13_26	0.008	0.044	-0.055	-0.020	0.079
TCRBV01_28	0.017	-0.027	-0.015	-0.043	0.054	TCRBV13_27	0.004	0.002	0.017	0.036	-0.031
TCRBV01_29	0.003	0.003	-0.006	0.000	-0.005	TCRBV13_28	-0.070	-0.040	0.039	0.010	0.015
TCRBV01_30	0.010	0.005	-0.006	0.000	-0.005	TCRBV13_29	0.010	-0.014	0.014	0.036	0.042
TCRBV01_31	0.044	-0.002	-0.014	-0.055	0.031	TCRBV13_30	0.041	0.014	-0.007	-0.047	-0.050
TCRBV01_32	0.055	0.051	-0.011	-0.010	-0.053	TCRBV13_31	0.003	0.003	0.003	0.003	0.003
TCRBV01_33	-0.034	0.032	-0.039	0.033	0.058	TCRBV13_32	0.005	0.018	0.007	-0.056	0.049
TCRBV01_34	-0.032	-0.048	-0.066	-0.033	0.063	TCRBV13_33	0.021	-0.006	0.001	0.025	0.043
TCRBV01_35	0.005	-0.062	0.047	-0.016	0.009	TCRBV13_34	-0.020	-0.102	-0.058	0.001	-0.017
TCRBV01_36	0.021	-0.029	0.039	-0.010	-0.046	TCRBV13_35	-0.028	-0.010	0.002	0.006	-0.044
TCRBV01_37	0.008	-0.123	0.013	-0.005	-0.071	TCRBV13_36	-0.008	0.004	0.001	0.002	0.014
TCRBV01_38	-0.026	0.001	-0.007	0.014	-0.005	TCRBV13_37	-0.020	0.047	-0.008	0.031	-0.032
TCRBV01_39	0.018	0.011	-0.046	0.020	0.033	TCRBV13_38	-0.026	0.044	0.047	-0.004	-0.001
						TCRBV13_39	-0.006	0.019	0.022	-0.067	0.006
TCRBV09_15	0.003	0.032	-0.044	0.022	0.012	TCRBV16_13	0.007	-0.011	0.001	0.007	0.018
TCRBV10_6	-0.004	-0.017	0.048	-0.038	-0.014	TCRBV16_13	0.004	-0.007	0.000	-0.005	-0.006
TCRBV10_7	0.014	0.004	-0.039	-0.019	-0.086	TCRBV16_14	0.004	-0.044	0.004	-0.043	0.004
TCRBV10_8	0.039	0.044	0.065	0.030	0.026	TCRBV16_15	0.050	-0.002	-0.013	0.049	0.045
TCRBV10_9	-0.067	0.014	-0.065	0.037	0.098	TCRBV16_16	0.045	0.068	0.008	-0.047	-0.032
TCRBV10_10	0.003	0.019	0.014	-0.039	0.027	TCRBV16_17	-0.132	-0.018	0.008	0.007	-0.003
TCRBV10_11	-0.004	0.014	0.042	-0.032	0.047	TCRBV16_18	0.010	0.047	0.013	0.013	0.013
TCRBV10_12	0.019	0.017	-0.032	0.025	0.012	TCRBV16_19	-0.035	-0.049	0.001	0.011	-0.022
TCRBV10_13	0.000	0.003	0.001	0.000	0.000	TCRBV16_20	-0.031	-0.035	0.067	0.012	-0.086
TCRBV11_5	-0.005	0.005	0.018	-0.018	-0.052	TCRBV16_21	-0.023	-0.006	0.032	0.022	-0.019
TCRBV11_062	0.018	0.018	-0.003	0.049	0.042	TCRBV16_22	0.001	0.002	0.002	0.001	0.018
TCRBV11_7	0.004	-0.017	0.013	0.003	-0.053	TCRBV16_23	-0.009	-0.013	-0.007	-0.004	0.004
TCRBV11_8	0.023	-0.008	0.010	0.006	0.085	TCRBV20_5	0.000	0.030	0.023	-0.006	-0.039
TCRBV11_9	0.026	0.011	-0.060	0.005	-0.017	TCRBV20_6	0.004	-0.025	0.015	0.001	0.001
TCRBV11_10	0.046	0.004	-0.041	-0.038	0.035	TCRBV20_7	-0.042	0.009	0.018	-0.027	0.031
TCRBV11_11	-0.077	0.058	0.021	0.038	0.043	TCRBV20_8	-0.012	0.019	-0.028	-0.050	-0.040
TCRBV11_12	0.031	-0.022	-0.000	-0.019	-0.028	TCRBV20_9	0.047	-0.058	0.008	0.106	-0.020
TCRBV11_13	0.003	0.021	0.002	0.002	0.002	TCRBV20_10	-0.032	-0.037	-0.006	-0.001	0.001
TCRBV11_14	0.000	0.002	0.004	0.003	0.001	TCRBV20_11	0.023	-0.016	0.011	-0.017	-0.042
TCRBV11_15	0.000	0.001	0.003	0.001	0.000	TCRBV20_12	0.073	0.038	-0.017	-0.027	0.027
TCRBV12_4	-0.011	0.018	0.014	0.002	0.016	TCRBV20_13	0.004	-0.038	0.007	0.010	0.016
TCRBV12_5	0.035	0.006	0.006	-0.012	0.010	TCRBV20_14	0.002	0.012	-0.009	-0.009	0.004
TCRBV12_6	0.016	0.007	-0.019	0.019	0.007						
TCRBV12_7	-0.012	0.015	0.025	0.047	-0.023						
TCRBV12_8	-0.000	0.016	0.074	0.048	0.001						
TCRBV12_9	0.014	0.001	-0.104	0.012	-0.041	TCRBV01_6	0.003	0.001			
TCRBV12_10	-0.002	0.008	0.050	-0.035	0.037	TCRBV01_7	-0.004	-0.004			
TCRBV12_11	-0.014	-0.068	-0.037	-0.047	0.010	TCRBV01_8	-0.043	0.031			
TCRBV12_12	-0.028	0.003	-0.047	-0.047	0.014	TCRBV01_9	-0.018	0.074			
TCRBV13_5	0.007	-0.006	0.003	0.004	-0.003	TCRBV01_10	0.023	0.004			
TCRBV13_6	-0.041	-0.010	0.007	0.049	0.038	TCRBV01_11	-0.031	-0.003			
TCRBV13_7	-0.005	0.044	0.016	-0.039	-0.034	TCRBV01_12	0.063	0.063			
TCRBV13_8	-0.034	0.027	0.085	-0.041	0.011	TCRBV01_13	0.013	0.013			
TCRBV13_9	0.021	0.021	0.015	0.006	0.044	TCRBV01_14	-0.003	-0.001			

File: A2200001

TCSRVS02_6	0.046	-0.048
TCSRVS02_7	-0.037	-0.026
TCSRVS02_8	-0.148	0.046
TCSRVS02_9	0.033	0.004
TCSRVS02_10	-0.003	-0.031
TCSRVS02_11	-0.005	-0.017
TCSRVS02_12	-0.014	-0.035
TCSRVS02_13	0.001	-0.016
TCSRVS03_4	0.004	0.004
TCSRVS03_5	-0.004	0.007
TCSRVS03_6	-0.016	-0.040
TCSRVS03_7	0.029	-0.066
TCSRVS03_8	0.031	-0.020
TCSRVS03_9	0.014	0.034
TCSRVS03_10	-0.037	-0.047
TCSRVS03_11	-0.033	0.022
TCSRVS03_12	-0.010	-0.010
TCSRVS03_13	-0.024	0.034
TCSRVS04_6	-0.011	0.006
TCSRVS04_7	-0.018	-0.073
TCSRVS04_8	0.047	-0.036
TCSRVS04_9	-0.004	-0.211
TCSRVS04_10	-0.047	0.160
TCSRVS04_11	0.051	0.048
TCSRVS04_12	-0.024	0.043
TCSRVS04_13	-0.053	0.022
TCSRVS04_14	0.066	0.002
TCSRVS04_15	-0.007	0.039
TCSRVS05_5	-0.065	-0.049
TCSRVS05_6	-0.039	-0.036
TCSRVS05_7	-0.027	-0.043
TCSRVS05_8	-0.003	0.041
TCSRVS05_9	0.034	0.030
TCSRVS05_10	-0.058	0.050
TCSRVS05_11	0.055	0.073
TCSRVS05_12	0.045	-0.006
TCSRVS05_13	0.058	0.027
TCSRVS05_14	-0.014	-0.102
TCSRVS05_15	0.019	0.024
TCSRVS05_16	0.009	0.045
TCSRVS05_17	0.042	0.045
TCSRVS05_18	0.020	0.055
TCSRVS05_19	-0.011	-0.020
TCSRVS05_20	-0.036	0.015
TCSRVS05_21	-0.024	0.016
TCSRVS06_5	-0.025	-0.013
TCSRVS06_6	-0.021	-0.024
TCSRVS06_7	-0.040	-0.039
TCSRVS06_8	0.000	0.001
TCSRVS06_9	-0.054	-0.049
TCSRVS06_10	0.011	0.063
TCSRVS06_11	0.015	-0.008
TCSRVS06_12	-0.003	0.023
TCSRVS06_13	0.034	0.039
TCSRVS07_5	0.001	-0.032
TCSRVS07_6	0.007	-0.050
TCSRVS07_7	-0.025	-0.006
TCSRVS07_8	0.023	0.044
TCSRVS07_9	-0.039	-0.034
TCSRVS07_10	0.073	0.034
TCSRVS07_11	-0.009	0.067
TCSRVS07_12	-0.029	-0.046
TCSRVS07_13	-0.016	0.003
TCSRVS07_14	0.029	0.008

Page: A22001 of A22001

TCSRVS08_6	-0.011	0.045
TCSRVS08_7	-0.004	-0.034
TCSRVS08_8	-0.022	-0.031
TCSRVS08_9	-0.001	-0.039
TCSRVS08_10	0.004	0.040
TCSRVS08_11	-0.013	0.012
TCSRVS08_12	0.033	-0.062
TCSRVS08_13	0.103	-0.021
TCSRVS08_14	-0.034	-0.020
TCSRVS08_15	0.101	-0.001
TCSRVS08_16	-0.081	0.107
TCSRVS08_17	0.013	-0.019
TCSRVS08_18	-0.050	0.023
TCSRVS08_19	-0.033	-0.055
TCSRVS08_20	0.004	-0.009
TCSRVS08_21	-0.001	0.004
TCSRVS08_22	-0.020	-0.000
TCSRVS08_23	-0.047	-0.001
TCSRVS08_24	0.053	0.043
TCSRVS08_25	-0.039	0.001
TCSRVS08_26	0.052	0.013
TCSRVS08_27	0.062	-0.018
TCSRVS08_28	-0.053	0.017
TCSRVS08_29	0.041	-0.058
TCSRVS08_30	0.011	0.003
TCSRVS08_31	0.022	0.052
TCSRVS08_32	-0.055	0.091
TCSRVS08_33	0.050	-0.010
TCSRVS08_34	0.001	-0.032
TCSRVS08_35	0.025	-0.007
TCSRVS08_36	0.043	0.004
TCSRVS08_37	-0.003	-0.060
TCSRVS08_38	-0.079	-0.009
TCSRVS08_39	-0.009	-0.023
TCSRVS08_40	-0.004	-0.022
TCSRVS08_41	-0.026	-0.011
TCSRVS08_42	0.002	-0.074
TCSRVS08_43	0.008	0.041
TCSRVS08_44	-0.045	0.092
TCSRVS08_45	0.028	-0.027
TCSRVS08_46	0.025	-0.001
TCSRVS08_47	-0.002	0.002
TCSRVS08_48	0.012	0.022
TCSRVS08_49	0.032	0.016
TCSRVS08_50	-0.045	-0.057
TCSRVS08_51	-0.007	-0.007
TCSRVS08_52	0.059	-0.057
TCSRVS08_53	-0.034	0.013
TCSRVS08_54	0.029	-0.071
TCSRVS08_55	0.008	0.022
TCSRVS08_56	0.008	-0.000
TCSRVS08_57	0.009	0.008
TCSRVS08_58	0.003	0.003
TCSRVS08_59	-0.047	-0.013
TCSRVS08_60	0.023	0.054
TCSRVS08_61	-0.034	-0.007
TCSRVS08_62	-0.007	0.116
TCSRVS08_63	0.045	0.008
TCSRVS08_64	0.039	-0.101
TCSRVS08_65	0.000	-0.031
TCSRVS08_66	-0.041	-0.039
TCSRVS08_67	0.023	0.021
TCSRVS08_68	0.022	-0.015

Page: A22001 of A22001

File: A2200001

TCSRVS13_6	-0.092	-0.029
TCSRVS13_7	0.026	-0.025
TCSRVS13_8	-0.100	0.059
TCSRVS13_9	0.018	-0.032
TCSRVS13_10	0.052	-0.005
TCSRVS13_11	0.019	0.095
TCSRVS13_12	0.004	0.025
TCSRVS13_13	-0.049	-0.052
TCSRVS14_5	-0.001	0.008
TCSRVS14_6	-0.057	-0.008
TCSRVS14_7	0.025	-0.036
TCSRVS14_8	0.031	-0.010
TCSRVS14_9	0.009	0.011
TCSRVS14_10	0.024	-0.017
TCSRVS14_11	-0.078	0.032
TCSRVS14_12	0.044	-0.011
TCSRVS14_13	0.002	0.001
TCSRVS15_4	0.009	-0.022
TCSRVS15_5	-0.015	-0.087
TCSRVS15_6	-0.002	-0.026
TCSRVS15_7	0.072	0.028
TCSRVS15_8	0.017	0.013
TCSRVS15_9	0.023	0.006
TCSRVS15_10	-0.028	0.080
TCSRVS15_11	-0.049	-0.040
TCSRVS15_12	-0.016	0.008
TCSRVS16_5	0.019	0.016
TCSRVS16_6	0.007	0.034
TCSRVS16_7	-0.070	0.070
TCSRVS16_8	-0.002	-0.030
TCSRVS16_9	0.030	0.085
TCSRVS16_10	-0.079	-0.041
TCSRVS16_11	-0.016	0.044
TCSRVS16_12	0.014	-0.070
TCSRVS16_13	0.002	0.001
TCSRVS16_14	0.003	0.009
TCSRVS16_15	-0.018	0.015
TCSRVS16_16	-0.019	0.010
TCSRVS16_17	0.012	-0.028
TCSRVS16_18	0.016	-0.045
TCSRVS16_19	0.011	-0.001
TCSRVS16_20	-0.069	-0.013
TCSRVS16_21	-0.003	-0.006
TCSRVS16_22	0.013	0.099
TCSRVS16_23	0.002	0.001
TCSRVS16_24	0.009	0.002
TCSRVS20_5	0.028	0.033
TCSRVS20_6	-0.043	0.010
TCSRVS20_7	-0.042	-0.039
TCSRVS20_8	0.022	0.084
TCSRVS20_9	0.041	0.027
TCSRVS20_10	-0.008	0.044
TCSRVS20_11	-0.018	0.003
TCSRVS20_12	0.051	-0.045
TCSRVS20_13	-0.008	-0.083
TCSRVS20_14	0.007	-0.018

Standardized scores have been saved.

File: A2200001

53 cases and 56 variables processed and saved.

BYSTAT Rectangular file C:\MSIS\stat\VOGp1586P10G290802F.SYD,
created Fri Aug 30, 2002 at 10:38:56, contains variables:

CASE3	GROUP33	FACTOR1(.52)	TSQUARE	PROB
Group frequencies				
F3*	F3*B	F3	F4	R3*
5	10	5	9	5
RE	RY			
5	9			
Group means				
F3*	F3*B	F3	F4	R3*
5	10	5	9	5

53 cases and 56 variables processed

Page: A22001 of A22001

Figure 118

Page: A22001 of A22001

Phi: 0.0280575

	F3*	F3'S	FS	FT	RT
FACTOR(1)	0.028	0.701	8	0.962	0.35
FACTOR(2)	0.653	0.055	0.584	0.647	8
FACTOR(3)	7	0.86	5	1.234	0.470
FACTOR(4)	1	0.56	0.170	2	0.97
FACTOR(5)	6	0.44	0.459	2	0.38
FACTOR(6)	6	0.28	0.12	0.42	0.21
FACTOR(7)	2	1.26	6	0	0.546
FACTOR(8)	7	0.07	1.238	1	0.40
FACTOR(9)	0.530	2	0.256	2	0.29
FACTOR(10)	0.147	0.371	4	0.12	0.11
FACTOR(11)	0.446	0.130	9	0.01	0.22
FACTOR(12)	4	0.43	0.538	0.076	0.170
FACTOR(13)	8	0.53	0.514	2	0.02
FACTOR(14)	8	0.646	0.16	0.45	0.35
FACTOR(15)	8	0.53	0.370	0.210	0.429
FACTOR(16)	5	0.28	0.14	0.43	0.20
FACTOR(17)	0.020	0.127	0.144	4	0.21
FACTOR(18)	0.436	7	0.045	0.293	0.111
FACTOR(19)	0.557	1	0.27	0.43	0.113
FACTOR(20)	0	0.22	0.03	0.09	0.04
FACTOR(21)	7	1.02	0.17	0.153	0.34
FACTOR(22)	0.859	2	0.33	0.32	0.13
FACTOR(23)	0.548	0.016	0.247	8	0.054
FACTOR(24)	0.449	0.240	2	0.03	0.24
FACTOR(25)	8	0.28	0.35	7	0.28
FACTOR(26)	0.223	0.194	1	0.17	1
FACTOR(27)	0.253	4	0.23	0.829	0.04
FACTOR(28)	9	0.38	0.260	0	0.156
FACTOR(29)	0.222	0	0.08	0.05	0.24
FACTOR(30)	0.112	0	0.03	0	0.02
FACTOR(31)	0.439	2	0.14	0.00	0.07
FACTOR(32)	0.104	0.046	8	0.21	0.12

Phi: 0.0280575

Phi: 0.0280575

	F3*	F3'S	FS	FT	RT
FACTOR(32)	0.028	0.701	8	0.962	0.35
FACTOR(33)	0.653	0.055	0.584	0.647	8
FACTOR(34)	7	0.86	5	1.234	0.470
FACTOR(35)	1	0.56	0.170	2	0.97
FACTOR(36)	6	0.44	0.459	2	0.38
FACTOR(37)	6	0.28	0.12	0.42	0.21
FACTOR(38)	2	1.26	6	0	0.546
FACTOR(39)	7	0.07	1.238	1	0.40
FACTOR(40)	0.530	2	0.256	2	0.29
FACTOR(41)	0.147	0.371	4	0.12	0.11
FACTOR(42)	0.446	0.130	9	0.01	0.22
FACTOR(43)	4	0.43	0.538	0.076	0.170
FACTOR(44)	8	0.53	0.514	2	0.02
FACTOR(45)	8	0.646	0.16	0.45	0.35
FACTOR(46)	8	0.53	0.370	0.210	0.429
FACTOR(47)	5	0.28	0.14	0.43	0.20
FACTOR(48)	0.020	0.127	0.144	4	0.21
FACTOR(49)	0.436	7	0.045	0.293	0.111
FACTOR(50)	0.557	1	0.27	0.43	0.113
FACTOR(51)	0	0.22	0.03	0.09	0.04
FACTOR(52)	7	1.02	0.17	0.153	0.34
FACTOR(53)	0.859	2	0.33	0.32	0.13
FACTOR(54)	0.548	0.016	0.247	8	0.054
FACTOR(55)	0.449	0.240	2	0.03	0.24
FACTOR(56)	8	0.28	0.35	7	0.28
FACTOR(57)	0.223	0.194	1	0.17	1
FACTOR(58)	0.253	4	0.23	0.829	0.04
FACTOR(59)	9	0.38	0.260	0	0.156
FACTOR(60)	0.222	0	0.08	0.05	0.24
FACTOR(61)	0.112	0	0.03	0	0.02
FACTOR(62)	0.439	2	0.14	0.00	0.07
FACTOR(63)	0.104	0.046	8	0.21	0.12

Phi: 0.0280575

Phi: 0.0280575

	F3*	F3'S	FS	FT	RT
FACTOR(1)	0.028	0.701	8	0.962	0.35
FACTOR(2)	0.653	0.055	0.584	0.647	8
FACTOR(3)	7	0.86	5	1.234	0.470
FACTOR(4)	1	0.56	0.170	2	0.97
FACTOR(5)	6	0.44	0.459	2	0.38
FACTOR(6)	6	0.28	0.12	0.42	0.21
FACTOR(7)	2	1.26	6	0	0.546
FACTOR(8)	7	0.07	1.238	1	0.40
FACTOR(9)	0.530	2	0.256	2	0.29
FACTOR(10)	0.147	0.371	4	0.12	0.11
FACTOR(11)	0.446	0.130	9	0.01	0.22
FACTOR(12)	4	0.43	0.538	0.076	0.170
FACTOR(13)	8	0.53	0.514	2	0.02
FACTOR(14)	8	0.646	0.16	0.45	0.35
FACTOR(15)	8	0.53	0.370	0.210	0.429
FACTOR(16)	5	0.28	0.14	0.43	0.20
FACTOR(17)	0.020	0.127	0.144	4	0.21
FACTOR(18)	0.436	7	0.045	0.293	0.111
FACTOR(19)	0.557	1	0.27	0.43	0.113
FACTOR(20)	0	0.22	0.03	0.09	0.04
FACTOR(21)	7	1.02	0.17	0.153	0.34
FACTOR(22)	0.859	2	0.33	0.32	0.13
FACTOR(23)	0.548	0.016	0.247	8	0.054
FACTOR(24)	0.449	0.240	2	0.03	0.24
FACTOR(25)	8	0.28	0.35	7	0.28
FACTOR(26)	0.223	0.194	1	0.17	1
FACTOR(27)	0.253	4	0.23	0.829	0.04
FACTOR(28)	9	0.38	0.260	0	0.156
FACTOR(29)	0.222	0	0.08	0.05	0.24
FACTOR(30)	0.112	0	0.03	0	0.02
FACTOR(31)	0.439	2	0.14	0.00	0.07
FACTOR(32)	0.104	0.046	8	0.21	0.12

Phi: 0.0280575

Phi: 0.0280575

	F3*	F3'S	FS	FT	RT
FACTOR(32)	0.028	0.701	8	0.962	0.35
FACTOR(33)	0.653	0.055	0.584	0.647	8
FACTOR(34)	7	0.86	5	1.234	0.470
FACTOR(35)	1	0.56	0.170	2	0.97
FACTOR(36)	6	0.44	0.459	2	0.38
FACTOR(37)	6	0.28	0.12	0.42	0.21
FACTOR(38)	2	1.26	6	0	0.546
FACTOR(39)	7	0.07	1.238	1	0.40
FACTOR(40)	0.530	2	0.256	2	0.29
FACTOR(41)	0.147	0.371	4	0.12	0.11
FACTOR(42)	0.446	0.130	9	0.01	0.22
FACTOR(43)	4	0.43	0.538	0.076	0.170
FACTOR(44)	8	0.53	0.514	2	0.02
FACTOR(45)	8	0.646	0.16	0.45	0.35
FACTOR(46)	8	0.53	0.370	0.210	0.429
FACTOR(47)	5	0.28	0.14	0.43	0.20
FACTOR(48)	0.020	0.127	0.144	4	0.21
FACTOR(49)	0.436	7	0.045	0.293	0.111
FACTOR(50)	0.557	1	0.27	0.43	0.113
FACTOR(51)	0	0.22	0.03	0.09	0.04
FACTOR(52)	7	1.02	0.17	0.153	0.34
FACTOR(53)	0.859	2	0.33	0.32	0.13
FACTOR(54)	0.548	0.016	0.247	8	0.054
FACTOR(55)	0.449	0.240	2	0.03	0.24
FACTOR(56)	8	0.28	0.35	7	0.28
FACTOR(57)	0.223	0.194	1	0.17	1
FACTOR(58)	0.253	4	0.23	0.829	0.04
FACTOR(59)	9	0.38	0.260	0	0.156
FACTOR(60)	0.222	0	0.08	0.05	0.24
FACTOR(61)	0.112	0	0.03	0	0.02
FACTOR(62)	0.439	2	0.14	0.00	0.07
FACTOR(63)	0.104	0.046	8	0.21	0.12

Phi: 0.0280575

Between groups F-matrix - df = 45 1

	F3*	F3'S	FS	FT	RT
F3*	0	52.3	0	0.00	
F3'S	67	26.4	91	0.00	
FS	26	29.5	64	10.0	0.00
FT	44	18.7	04	47.5	0
RT	57	26.4	04	14.5	5
R3*	37	22.7	04	65.3	2
R3'S	64	41.8	75	13.5	54
RS	61	67	23	27.0	8

Figure 119

Pct: 62/2003

	RS	RT
RS	0	0.00
RT	21	15.9
RT	4	1.02
RT	65	29.4
RT	0	0.00

Wills' lambda
Lambda = 0.0000 df = 45 7 45
Approx. P = 0.2706 df = 315 29 prob = 0.0000

Classification functions

	F3	F3S	F6	F7	F3*
CONSTANT	7356.789	8637.861	4201.880	308.080	2116.489

	RS	RT
CONSTANT	427.721	4460.284
	1225.056	

Page 62/2003 of 62/2003

Pct: 62/2003

	RS	RT
FACTOR(1)	6.328	1336.155
FACTOR(2)	11.89.284	481.200
FACTOR(3)	3.254	54.265
FACTOR(4)	03.830	1214.820
FACTOR(5)	0.303	1522.227
FACTOR(6)	8.258	6.952
FACTOR(7)	18.786	86.036
FACTOR(8)	1140.457	7.811
FACTOR(9)	248.941	743.279
FACTOR(10)	718.913	227.624
FACTOR(11)	0.282	1311.675
FACTOR(12)	97.052	1420.478
FACTOR(13)	880.490	47.340
FACTOR(14)	6.887	413.078
FACTOR(15)	2.076	884
FACTOR(16)	81.496	130.719
FACTOR(17)	1191.607	57.059
FACTOR(18)	1417.771	6.412
FACTOR(19)	6.084	264.610
FACTOR(20)	32.516	354.785
FACTOR(21)	1234.827	9.534
FACTOR(22)	666.088	07.789
FACTOR(23)	833.821	153.721
FACTOR(24)	1.573	1846.576
FACTOR(25)	242.956	560.933
FACTOR(26)	746.839	98.784
FACTOR(27)	8.923	509.403
FACTOR(28)	857.607	8.621
FACTOR(29)	2.459	729.338
FACTOR(30)	329.801	254.889
FACTOR(31)	15.788	425.790
FACTOR(32)	-	-

Page 62/2003 of 62/2003

Pct: 62/2003

	RS	RT
FACTOR(33)	561.927	89.968
FACTOR(34)	1.128	325.268
FACTOR(35)	1.097	532.800
FACTOR(36)	879	479.665
FACTOR(37)	357.451	1.311
FACTOR(38)	8.876	338.182
FACTOR(39)	297.155	6.832
FACTOR(40)	243.386	9.287
FACTOR(41)	463.488	1.892
FACTOR(42)	14.506	9.702
FACTOR(43)	1.848	579.365
FACTOR(44)	83.063	6.619
FACTOR(45)	2.862	5.119
FACTOR(46)	000	0.
FACTOR(47)	000	0.
FACTOR(48)	000	0.
FACTOR(49)	000	0.
FACTOR(50)	000	0.
FACTOR(51)	000	0.
FACTOR(52)	000	0.

Page 62/2003 of 62/2003

Pct: 62/2003

	RS	RT
FACTOR(1)	516.421	71.510
FACTOR(2)	2.374	585.120
FACTOR(3)	8.054	2501.821
FACTOR(4)	353.442	96.718
FACTOR(5)	326.479	31.529
FACTOR(6)	37.733	251.033
FACTOR(7)	152.418	1010.864
FACTOR(8)	9.849	836.407
FACTOR(9)	28.284	2.808
FACTOR(10)	0.782	6.378
FACTOR(11)	267.896	44.530
FACTOR(12)	410.378	11.789
FACTOR(13)	9.889	525
FACTOR(14)	174.147	0.427
FACTOR(15)	88.587	14.116
FACTOR(16)	673	3.076
FACTOR(17)	8.489	1806.503
FACTOR(18)	5.935	512.894
FACTOR(19)	122.408	9.704
FACTOR(20)	357.324	3.055
FACTOR(21)	1.744	320.278
FACTOR(22)	7.874	1108.931
FACTOR(23)	2.109	2.272
FACTOR(24)	376.504	72.559
FACTOR(25)	7.187	3.777
FACTOR(26)	6.876	1247.184
FACTOR(27)	180.161	4.691
FACTOR(28)	9.547	622.211
FACTOR(29)	132.213	8.458
FACTOR(30)	545	4.263
FACTOR(31)	42.314	2.738
FACTOR(32)	-	-

Page 62/2003 of 62/2003

Figure 120

File: A220001

	7.822	1405.822	1.788
FACTOR(33)	81.258	7.820	134.070
FACTOR(34)	178.043	2.732	255.830
FACTOR(35)	81.517	0.127	155.045
FACTOR(36)	1.801	553.931	3.078
FACTOR(37)	149.909	0.268	254.505
FACTOR(38)	4.734	541.574	2.776
FACTOR(39)	6.442	883.045	5.823
FACTOR(40)	6.478	333.909	2.723
FACTOR(41)	342	123.248	324
FACTOR(42)	148.187	0.520	292.306
FACTOR(43)	837	255.160	5.244
FACTOR(44)	751	335.940	7.82
FACTOR(45)	000	0.	0.
FACTOR(46)	000	0.	0.
FACTOR(47)	000	0.	0.
FACTOR(48)	6.883	481.245	6.830
FACTOR(49)	000	0.	0.
FACTOR(50)	000	0.	0.
FACTOR(51)	000	0.	0.
FACTOR(52)	000	0.	0.

Variable	F-to-remove	Tolerance	Variable	F-to-enter	Tolerance
3 FACTOR(1)	145.86	0.001301	47 FACTOR(45)	0.00	0.000000
4 FACTOR(2)	20.89	0.010747	48 FACTOR(46)	0.00	0.000000
5 FACTOR(3)	155.48	0.002887	49 FACTOR(47)	0.00	0.000000
6 FACTOR(4)	30.37	0.005689	51 FACTOR(49)	0.00	0.000000
7 FACTOR(5)	37.26	0.004383	52 FACTOR(50)	0.00	0.000000
8 FACTOR(6)	3.28	0.048888	53 FACTOR(51)	0.00	0.000000
9 FACTOR(7)	82.50	0.003662	54 FACTOR(52)	0.00	0.000000
10 FACTOR(8)	22.54	0.008840			
11 FACTOR(9)	10.46	0.014231			
12 FACTOR(10)	8.04	0.018636			
13 FACTOR(11)	27.69	0.005617			
14 FACTOR(12)	44.93	0.001898			
15 FACTOR(13)	10.57	0.015446			
16 FACTOR(14)	8.78	0.017738			
17 FACTOR(15)	3.21	0.048732			
18 FACTOR(16)	0.48	0.238616			
19 FACTOR(17)	68.14	0.000608			
20 FACTOR(18)	24.62	0.006671			
21 FACTOR(19)	3.57	0.039918			
22 FACTOR(20)	45.12	0.004288			

Page A22001 of A22001

23 FACTOR(21)	18.37	0.009350
24 FACTOR(22)	184.48	0.009780
25 FACTOR(23)	9.67	0.018505
26 FACTOR(24)	54.39	0.004577
27 FACTOR(25)	6.53	0.023129
28 FACTOR(26)	31.22	0.003147
29 FACTOR(27)	9.95	0.017948
30 FACTOR(28)	10.02	0.014805
31 FACTOR(29)	8.36	0.017929
32 FACTOR(30)	3.06	0.048530
33 FACTOR(31)	3.36	0.048544
34 FACTOR(32)	38.28	0.003440
35 FACTOR(33)	2.08	0.071397
36 FACTOR(34)	5.09	0.021857
37 FACTOR(35)	3.82	0.037992
38 FACTOR(36)	6.54	0.025503
39 FACTOR(37)	4.80	0.032875
40 FACTOR(38)	5.88	0.024770
41 FACTOR(39)	15.03	0.011187
42 FACTOR(40)	3.95	0.039026
43 FACTOR(41)	0.65	0.191654
44 FACTOR(42)	6.37	0.024381
45 FACTOR(43)	1.50	0.091363
46 FACTOR(44)	3.21	0.048086
50 FACTOR(48)	4.69	0.031205

Classification matrix (cases in row categories classified into columns)

	F3*	F3'S	FS	FT	RS*	RS'S
F3*	6	0	0	0	0	0
F3'S	0	10	0	0	0	0
FS	0	0	5	0	0	0
FT	0	0	0	8	0	0
RS*	0	0	0	0	5	0
RS'S	0	0	0	0	0	6
RS	0	0	0	0	0	0
RT	0	0	0	0	0	0
Total	6	10	5	8	5	6

Page A22001 of A22001

File: A220001

	RS	RT	%correct
F3*	0	0	100
F3'S	0	0	100
FS	0	0	100
FT	0	0	100
RS*	0	0	100
RS'S	0	0	100
RS	8	0	100
RT	0	9	100
Total	8	9	100

Jackknifed classification matrix

	F3*	F3'S	FS	FT	RS*	RS'S
F3*	4	0	0	1	0	0
F3'S	2	3	3	0	1	0
FS	1	1	0	0	0	0
FT	3	6	4	1	0	0
RS*	2	0	0	1	0	1
RS'S	3	1	1	0	0	0
RS	0	3	1	0	0	0
RT	2	1	2	0	0	1
Total	17	8	11	3	1	2

	RS	RT	%correct
F3*	0	0	60
F3'S	1	0	30
FS	1	2	0
FT	0	1	11
RS*	1	0	0
RS'S	0	0	0
RS	1	0	20
RT	1	2	22
Total	6	6	21

Page A22001 of A22001

File: A220001

Eigenvalues

5277.370	1800.188	87.172	38.636	26.920	5.759
----------	----------	--------	--------	--------	-------

2

402

Canonical correlations

000	1.	000	1.	894	0.	987	0.	982	0.	923	0.
-----	----	-----	----	-----	----	-----	----	-----	----	-----	----

0.

840

Cumulative proportion of total dispersion

729	0.	878	0.	890	0.	895	0.	999	0.	000	1.
-----	----	-----	----	-----	----	-----	----	-----	----	-----	----

000

Wilk's lambda = 0.000
Approx.F = 5.299 df= 315, 20 p-val= 0.0000

Pillai's trace = 0.485
Approx.F = 1.839 df= 310, 49 p-val= 0.0020

Lawley-Hotelling trace = 7238.447

Approx.F = -18.414 df= 315, -5 p-val=

Canonical discriminant functions

	1	2	3	4	5	6
Constant	000	0.	000	0.	000	0.

	6	7
Constant	000	0.

Page A22001 of A22001

Figure 121

File: A1200001

File: A1200001

FACTOR(1)	31.378	4.071	0.054	0.309
FACTOR(2)	-7.134	7.746	-1.891	2.984
FACTOR(3)	-25.339	-16.362	4.358	-1.588
FACTOR(4)	12.422	-0.008	1.804	-1.287
FACTOR(5)	14.807	-2.371	-0.543	-0.511
FACTOR(6)	-2.288	-3.427	0.881	-1.432
FACTOR(7)	-0.310	-17.352	-2.045	-0.636
FACTOR(8)	-0.654	6.139	-1.233	-0.388
FACTOR(9)	6.376	4.872	-0.584	-0.123
FACTOR(10)	1.220	0.632	0.108	-0.630
FACTOR(11)	12.893	-2.092	-1.113	0.442
FACTOR(12)	14.433	-7.538	-2.155	-0.913
FACTOR(13)	-0.462	7.878	1.776	-1.334
FACTOR(14)	4.535	-5.414	-1.623	0.360
FACTOR(15)	0.244	-4.213	1.188	0.286
FACTOR(16)	1.031	1.143	-0.852	-0.376
FACTOR(17)	-20.055	2.888	-0.018	1.330
FACTOR(18)	-7.071	9.757	1.884	0.048
FACTOR(19)	2.821	-3.531	-0.248	-0.048
FACTOR(20)	5.545	-15.158	0.467	-0.403
FACTOR(21)	-4.720	9.052	1.787	-1.940
FACTOR(22)	-11.908	1.432	-1.953	-0.315
FACTOR(23)	0.313	7.533	-1.230	-0.381
FACTOR(24)	17.859	-1.525	1.680	0.241
FACTOR(25)	4.781	3.868	-0.176	0.842
FACTOR(26)	-13.533	1.429	-0.621	0.216
FACTOR(27)	5.834	-4.585	-1.317	0.908
FACTOR(28)	-7.117	3.111	0.071	-0.692
FACTOR(29)	7.004	0.390	1.079	0.189
FACTOR(30)	1.866	3.631	0.223	0.204
FACTOR(31)	3.827	1.592	1.020	1.058
FACTOR(32)				0.483

Page 6(2003) of 6(2003)

FACTOR(33)	-15.192	-0.6	-0.273	-0.961	2.408
FACTOR(34)	3.145	0.139	0.605	0.078	0.399
FACTOR(35)	0.297	0.039	0.298	0.167	0.718
FACTOR(36)	4.460	1.483	0.825	0.326	0.175
FACTOR(37)	-0.171	0.821	-0.119	0.882	0.723
FACTOR(38)	3.825	-3.616	1.157	0.164	0.269
FACTOR(39)	-0.844	0.449	-0.643	-0.382	0.689
FACTOR(40)	-0.343	-1.352	-0.498	-0.381	1.064
FACTOR(41)	-3.906	2.597	0.373	-0.798	0.618
FACTOR(42)	-1.432	-0.422	0.718	-0.307	1.015
FACTOR(43)	0.831	-1.719	0.850	0.639	0.111
FACTOR(44)	-2.754	-0.275	-0.342	-0.141	1.145
FACTOR(45)	-3.465	-2.389	0.077	0.375	1.222
FACTOR(46)					
FACTOR(47)					
FACTOR(48)	-0.143	0.770	-0.884	0.091	-0.735
FACTOR(49)					
FACTOR(50)					
FACTOR(51)					
FACTOR(52)					

Page 6(2003) of 6(2003)

File: A1200001

File: A1200001

FACTOR(1)	4	0.37	0.03
FACTOR(2)	6	0.14	0
FACTOR(3)	3	0.37	0.102
FACTOR(4)	9	0.58	0.846
FACTOR(5)	3	0.32	0.90
FACTOR(6)	9	0.17	0.33
FACTOR(7)	9	0.17	0.13
FACTOR(8)	9	0.509	0.13
FACTOR(9)	9	0.042	0.10
FACTOR(10)	1	0.09	0
FACTOR(11)	1	0.114	0.26
FACTOR(12)	0.030	1	0.02
FACTOR(13)	0	0.17	2
FACTOR(14)	0.054	0.268	0.10
FACTOR(15)	0.182	1	0.34
FACTOR(16)	0.55	5	0.34
FACTOR(17)	0.23	7	0.334
FACTOR(18)	0.119	8	0.03
FACTOR(19)	0.276	7	0.31
FACTOR(20)	0.01	2	0.202
FACTOR(21)	0.076	0.087	0.087
FACTOR(22)	0.538	0.292	0.292
FACTOR(23)	0.531	4	0.36
FACTOR(24)	0.04	3	0.498
FACTOR(25)	0.04	3	0.083
FACTOR(26)	0.376	0.428	0.428
FACTOR(27)	0.00	4	0.37
FACTOR(28)	0.510	0.078	0.078
FACTOR(29)	0.710	4	0.28
FACTOR(30)	0.29	4	0.22
FACTOR(31)	0.488	1	0.03
FACTOR(32)	0.302	8	0.03
FACTOR(33)	0	0.10	0
FACTOR(34)	0	0.193	0.07
FACTOR(35)	0.38	0.07	0.07

Page 6(2003) of 6(2003)

FACTOR(33)	7	1
FACTOR(34)	0.855	0.297
FACTOR(35)	0.101	0.30
FACTOR(36)	0.440	0
FACTOR(37)	1	0.09
FACTOR(38)	4	0.31
FACTOR(39)	5	0.39
FACTOR(40)	2	0.74
FACTOR(41)	0.032	0
FACTOR(42)	0.317	0.168
FACTOR(43)	0.430	0.41
FACTOR(44)	0	0.04
FACTOR(45)	0.340	0.235
FACTOR(46)	0.340	0.34
FACTOR(47)	0.15	0.24
FACTOR(48)	2	1
FACTOR(49)		
FACTOR(50)		
FACTOR(51)		
FACTOR(52)		

Canonical discriminant functions - standardized by within variances

Page 6(2003) of 6(2003)

Figure 122

Page: 612 (Total of 612 pages)

	1	2	3	4	5
FACTOR(1)	27.438	1.550	0.943	1.427	0.270
FACTOR(2)	-4.287	6.819	-1.701	2.550	-0.378
FACTOR(3)	-16.017	-10.274	2.733	1.002	-0.220
FACTOR(4)	12.113	-4.932	1.489	-1.255	0.058
FACTOR(5)	14.841	-2.377	-0.544	-0.513	0.184
FACTOR(6)	-2.331	-3.825	0.885	-1.473	0.044
FACTOR(7)	-7.108	-14.842	-2.433	-0.544	-0.001
FACTOR(8)	-9.948	6.832	-1.270	-0.400	-0.465
FACTOR(9)	6.671	4.888	-0.811	-0.128	0.757
FACTOR(10)	1.284	7.105	0.112	-0.551	0.506
FACTOR(11)	12.956	-2.135	-1.135	0.482	0.937
FACTOR(12)	13.882	-7.404	-2.089	-0.885	-0.234
FACTOR(13)	-0.482	7.570	1.774	-1.332	0.010
FACTOR(14)	4.507	-6.351	-1.513	0.358	0.519
FACTOR(15)	0.253	-4.373	1.244	0.297	-0.090
FACTOR(16)	1.106	1.218	-0.588	-0.401	0.330
FACTOR(17)	-19.311	2.780	-0.016	1.281	0.689
FACTOR(18)	-7.089	9.734	1.993	0.048	0.240
FACTOR(19)	3.083	-3.727	-0.262	-0.050	-0.787
FACTOR(20)	5.224	-14.281	0.440	-0.380	-0.412
FACTOR(21)	-4.385	8.410	1.632	-1.803	-0.376
FACTOR(22)	-11.841	1.424	-1.942	-0.313	0.021
FACTOR(23)	0.326	7.844	-1.281	-0.375	-0.033
FACTOR(24)	18.806	-1.427	1.653	0.228	1.227
FACTOR(25)	4.855	4.104	-0.182	0.870	0.165
FACTOR(26)	-13.789	1.446	-0.630	0.219	0.434
FACTOR(27)	5.654	-4.357	-1.257	0.867	1.086
FACTOR(28)	-7.455	3.259	0.074	-0.515	0.201
FACTOR(29)	7.290	0.406	1.117	0.207	0.107
FACTOR(30)	2.048	3.745	0.230	0.211	-1.142
FACTOR(31)	4.071	1.850	1.059	1.107	0.501

Page: 612 (Total of 612 pages)

Page: 612 (Total of 612 pages)

	1	2	3	4	5
FACTOR(32)	43.329	-0.589	-0.228	0.943	1.371
FACTOR(33)	3.082	-0.136	0.593	0.070	1.371
FACTOR(34)	5.540	-1.505	0.312	0.195	0.751
FACTOR(35)	4.866	1.531	0.968	0.341	0.183
FACTOR(36)	-8.457	0.859	-0.125	0.693	0.757
FACTOR(37)	3.832	-3.823	1.159	0.184	0.270
FACTOR(38)	-5.971	0.459	-0.657	-0.390	0.704
FACTOR(39)	-9.213	-1.333	-0.469	-0.378	1.049
FACTOR(40)	-4.113	2.873	0.364	-0.621	0.636
FACTOR(41)	-1.483	-0.437	0.741	-0.318	1.051
FACTOR(42)	5.971	-1.754	0.867	0.633	0.113
FACTOR(43)	-2.855	-0.285	-0.355	-0.146	1.187
FACTOR(44)	-3.504	-2.416	0.078	0.378	1.236
FACTOR(45)	-	-	-	-	-
FACTOR(46)	-	-	-	-	-
FACTOR(47)	-	-	-	-	-
FACTOR(48)	-5.373	0.804	-0.824	0.095	-0.788
FACTOR(49)	-	-	-	-	-
FACTOR(50)	-	-	-	-	-
FACTOR(51)	-	-	-	-	-
FACTOR(52)	-	-	-	-	-

Page: 612 (Total of 612 pages)

Page: 612 (Total of 612 pages)

	6	7
FACTOR(1)	0.32	0.02
FACTOR(2)	0.12	-
FACTOR(3)	0.23	0.087
FACTOR(4)	0.57	0.029
FACTOR(5)	0.52	0.00
FACTOR(6)	0.19	0.33
FACTOR(7)	0.435	0.11
FACTOR(8)	0.043	0.10
FACTOR(9)	0.09	-
FACTOR(10)	0.031	0.119
FACTOR(11)	0.18	0.27
FACTOR(12)	0.053	0.02
FACTOR(13)	0.182	0.10
FACTOR(14)	0.05	0.34
FACTOR(15)	0.24	0.04
FACTOR(16)	0.127	0.30
FACTOR(17)	0.268	0.01
FACTOR(18)	0.061	0.202
FACTOR(19)	0.058	0.082
FACTOR(20)	0.494	0.278
FACTOR(21)	0.04	0.05
FACTOR(22)	0.04	0.495
FACTOR(23)	0.04	0.029
FACTOR(24)	0.348	0.402
FACTOR(25)	0.00	0.410
FACTOR(26)	0.518	0.079
FACTOR(27)	0.578	0.27
FACTOR(28)	0.30	0.23
FACTOR(29)	0.518	0.03
FACTOR(30)	0.373	0.04
FACTOR(31)	0.10	0.190

Page: 612 (Total of 612 pages)

Page: 612 (Total of 612 pages)

	6	7
FACTOR(32)	0.34	0.08
FACTOR(33)	0.842	0.291
FACTOR(34)	0.105	0.31
FACTOR(35)	0.460	0.13
FACTOR(36)	0.09	-
FACTOR(37)	0.31	0.59
FACTOR(38)	0.40	0.408
FACTOR(39)	0.73	0.148
FACTOR(40)	0.033	0.42
FACTOR(41)	0.329	0.175
FACTOR(42)	0.439	0.42
FACTOR(43)	0.04	0.244
FACTOR(44)	0.344	0.34
FACTOR(45)	-	-
FACTOR(46)	-	-
FACTOR(47)	-	-
FACTOR(48)	0.16	0.25
FACTOR(49)	-	-
FACTOR(50)	-	-
FACTOR(51)	-	-
FACTOR(52)	-	-

Canonical scores of group means

	1	2	3	4	5
F3'	43.081	113.251	4.364	1.429	2.323
F3'S	104.714	14.820	9.280	0.518	2.877
FS	86.840	25.022	13.495	4.830	3.285
FT	10.393	18.853	8.630	9.729	0.283
R3'	62.808	7.312	9.120	7.595	10.641
R3'S	19.093	18.816	7.253	7.728	2.841
RS	82.488	11.844	11.481	5.703	6.812
RT	41.768	25.145	5.995	0.841	4.729

Page: 612 (Total of 612 pages)

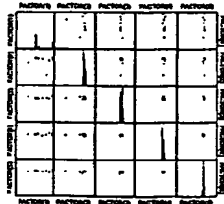
Figure 123

File: A2222222

119/120

	6	7
F3*	1.00	-
F3*	3	0.204
F3*	0.842	7
FS	1.70	-
FS	2	1.371
FT	2.362	0.001
R3*	0.258	9
R3*	0.570	1.601
RS	3.100	4
RS	2.86	1.37
RT	1	5

Canonical Scores Plot



GROUPS

F3*
 F3
 FS
 FT
 R3*
 R3
 RS
 RT

WARNING

The file

C:\Utilisateur\Gop565\Pr0100290802F.STD

was read for processing, and its contents have been replaced by saving the processed data into it.

53 cases and 56 variables processed and saved.

Distance metric is Euclidean distance

k-means splitting cases into 3 groups

Summary statistics for all cases

Variable	Between SS	df	Within SS	df	F-ratio
FACTOR(1)	4.310	2	47.690	50	2.259
FACTOR(2)	2.331	2	48.069	50	1.433
FACTOR(3)	1.260	2	50.740	50	0.621
FACTOR(4)	0.430	2	51.550	50	0.218
FACTOR(5)	0.433	2	51.567	50	0.210

Page: A2222222

File: A2222222

Case	Distance	Variable	Minimum	Mean	Maximum	St.Dev.
Case 20	0.97	FACTOR(13)	-1.30	0.01	0.88	0.55
Case 11	0.97	FACTOR(14)	-1.38	0.06	0.94	0.51
Case 28	0.97	FACTOR(15)	-0.82	0.06	1.20	0.57
Case 36	0.97	FACTOR(16)	-1.60	-0.12	0.65	0.82
Case 38	0.97	FACTOR(17)	-1.62	0.07	1.57	0.81
Case 33	0.97	FACTOR(18)	-1.10	0.12	2.53	0.94
		FACTOR(19)	-1.23	0.15	3.67	1.00
		FACTOR(20)	-1.48	-0.30	1.47	0.87
		FACTOR(21)	-1.51	-0.15	1.69	0.83
		FACTOR(22)	-2.73	-0.46	2.08	1.12
		FACTOR(23)	-1.86	-0.46	1.44	0.80
		FACTOR(24)	-1.48	0.20	2.00	1.09
		FACTOR(25)	-1.53	0.11	2.04	0.84
		FACTOR(26)	-1.59	0.18	2.47	0.99
		FACTOR(27)	-1.91	-0.08	1.23	1.02
		FACTOR(28)	-2.43	0.43	1.41	0.89
		FACTOR(29)	-1.79	0.04	1.79	0.87
		FACTOR(30)	-1.92	-0.05	1.30	1.17
		FACTOR(31)	-1.86	0.20	2.39	1.15
		FACTOR(32)	-2.49	-0.74	1.56	1.23
		FACTOR(33)	-1.58	0.03	1.91	0.99
		FACTOR(34)	-1.55	-0.00	2.95	1.01
		FACTOR(35)	-2.25	-0.31	1.03	1.17
		FACTOR(36)	-2.91	0.67	1.90	1.14
		FACTOR(37)	-2.83	0.13	2.35	1.43
		FACTOR(38)	-2.61	-0.62	2.32	1.15
		FACTOR(39)	-2.80	-0.26	2.23	1.14
		FACTOR(40)	-2.43	0.01	2.51	1.23
		FACTOR(41)	-3.28	-0.24	2.90	1.44
		FACTOR(42)	-2.32	0.05	2.78	1.41
		FACTOR(43)	-2.88	0.31	2.13	1.14
		FACTOR(44)	-1.49	-0.04	1.99	0.94
		FACTOR(45)	-1.42	0.11	1.83	0.91
		FACTOR(46)	-1.62	-0.11	2.10	0.97
		FACTOR(47)	-2.13	0.26	2.79	1.24
		FACTOR(48)	-3.23	-0.15	1.91	1.42
		FACTOR(49)	-1.52	-0.02	2.29	1.03
		FACTOR(50)	-3.70	-0.23	1.37	1.41
		FACTOR(51)	-2.42	0.21	2.70	1.43
		FACTOR(52)	-1.87	0.35	5.52	1.49

Cluster 2 of 3 contains 18 cases

Case	Distance	Variable	Minimum	Mean	Maximum	St.Dev.
Case 22	0.97	FACTOR(1)	-1.96	-0.04	1.50	0.99
Case 23	0.97	FACTOR(2)	-1.65	-0.28	1.84	0.91
Case 25	0.97	FACTOR(3)	-2.16	0.18	2.85	1.20
Case 26	0.97	FACTOR(4)	-3.55	0.13	2.26	1.31
Case 29	0.97	FACTOR(5)	-2.04	0.04	2.02	1.17
Case 30	0.97	FACTOR(6)	-1.84	0.19	3.40	1.41
Case 31	0.97	FACTOR(7)	-2.58	0.18	2.80	1.43
Case 33	0.97	FACTOR(8)	-1.79	0.05	3.56	1.31
Case 34	0.97	FACTOR(9)	-2.10	0.11	1.92	1.30
Case 35	0.97	FACTOR(10)	-2.21	0.20	1.62	1.01
Case 37	0.97	FACTOR(11)	-2.89	0.28	2.61	1.28
Case 39	0.97	FACTOR(12)	-0.86	0.34	2.99	0.94
Case 42	0.97	FACTOR(13)	-1.25	0.30	1.52	0.81
Case 42	0.97	FACTOR(14)	-2.72	-0.05	3.12	1.19
Case 43	0.97	FACTOR(15)	-1.89	-0.09	2.38	1.18
Case 45	0.97	FACTOR(16)	-1.83	-0.15	1.79	1.02
Case 49	0.97	FACTOR(17)	-3.46	-0.36	1.37	1.24
Case 50	0.97	FACTOR(18)	-1.87	-0.33	2.39	1.19
Case 51	0.97	FACTOR(19)	-1.12	-0.19	1.34	0.93
		FACTOR(20)	-1.04	0.36	2.34	0.91

Page: A2222222

File: A2222222

FACTOR(4)	0.953	2	7	50	0.487
FACTOR(7)	1.371	2	9	50	0.477
FACTOR(8)	0.373	2	51	50	0.381
FACTOR(9)	1.930	2	50	50	0.487
FACTOR(10)	1.368	2	50	50	0.487
FACTOR(11)	8.144	2	44	50	2.748
FACTOR(12)	4.242	2	47	50	2.221
FACTOR(13)	3.341	2	49	50	1.727
FACTOR(14)	0.189	2	51	50	0.052
FACTOR(15)	0.219	2	51	50	0.104
FACTOR(16)	2.089	2	49	50	1.044
FACTOR(17)	4.144	2	47	50	2.163
FACTOR(18)	3.101	2	49	50	1.584
FACTOR(19)	1.107	2	50	50	0.364
FACTOR(20)	3.794	2	48	50	1.868
FACTOR(21)	2.569	2	49	50	1.299
FACTOR(22)	0.117	2	51	50	0.051
FACTOR(23)	2.352	2	49	50	1.184
FACTOR(24)	4.014	2	47	50	2.091
FACTOR(25)	0.642	2	51	50	0.322
FACTOR(26)	1.297	2	50	50	0.690
FACTOR(27)	0.647	2	51	50	0.144
FACTOR(28)	1.058	2	50	50	0.318
FACTOR(29)	1.000	2	50	50	0.494
FACTOR(30)	0.335	2	51	50	0.260
FACTOR(31)	1.463	2	50	50	0.799
FACTOR(32)	2.181	2	49	50	1.095
FACTOR(33)	0.650	2	51	50	0.336
FACTOR(34)	0.029	2	51	50	0.014
FACTOR(35)	4.310	2	47	50	2.260
FACTOR(36)	2.031	2	49	50	1.016
FACTOR(37)	0.522	2	51	50	0.253
FACTOR(38)	10.631	2	41	50	6.470
FACTOR(39)	1.490	2	50	50	0.843
FACTOR(40)	0.161	2	51	50	0.077
FACTOR(41)	1.642	2	50	50	0.815
FACTOR(42)	1.395	2	50	50	0.689
FACTOR(43)	4.426	2	47	50	2.441
FACTOR(44)	2.487	2	49	50	1.449
FACTOR(45)	0.385	2	51	50	0.197
FACTOR(46)	2.941	2	49	50	1.499
FACTOR(47)	1.430	2	50	50	0.912
FACTOR(48)	0.753	2	51	50	0.368
FACTOR(49)	0.026	2	51	50	0.012
FACTOR(50)	1.858	2	50	50	0.927
FACTOR(51)	1.000	2	50	50	0.641
FACTOR(52)	4.852	2	47	50	2.195
** TOTAL **	104.000	184	2600.000	1600	

Cluster 1 of 3 contains 18 cases

Case	Distance	Variable	Minimum	Mean	Maximum	St.Dev.
Case 1	0.97	FACTOR(1)	-0.87	0.36	1.38	0.58
Case 5	0.97	FACTOR(2)	-0.59	0.29	1.34	0.60
Case 6	0.97	FACTOR(3)	-1.48	-0.19	0.60	0.80
Case 8	0.97	FACTOR(4)	-1.08	-0.05	1.66	0.74
Case 10	0.97	FACTOR(5)	-0.60	0.00	0.80	0.43
Case 11	0.97	FACTOR(6)	-1.30	-0.09	1.61	0.74
Case 13	0.97	FACTOR(7)	-0.71	-0.23	1.07	0.70
Case 14	0.97	FACTOR(8)	-2.03	0.07	1.06	0.62
Case 16	0.97	FACTOR(9)	-0.52	0.11	0.58	0.34
Case 17	0.97	FACTOR(10)	-2.74	-0.17	1.41	0.94
Case 18	0.97	FACTOR(11)	-0.68	0.74	1.02	0.64
Case 19	0.97	FACTOR(12)	-1.61	-0.01	1.21	0.68

Page: A2222222

File: A2222222

FACTOR(21)	-1.74	-0.15	1.44	0.88
FACTOR(22)	-2.88	0.08	1.52	1.04
FACTOR(23)	-1.30	0.20	1.77	0.87
FACTOR(24)	-1.56	0.18	1.13	0.74
FACTOR(25)	-2.32	-0.15	1.30	1.13
FACTOR(26)	-2.04	0.02	2.86	1.08
FACTOR(27)	-1.44	-0.10	1.11	0.84
FACTOR(28)	-3.30	-0.30	2.60	1.25
FACTOR(29)	-2.04	0.14	1.94	1.02
FACTOR(30)	-3.05	0.09	1.97	1.13
FACTOR(31)	-0.39	-0.23	1.37	1.10
FACTOR(32)	-1.41	0.00	1.30	0.87
FACTOR(33)	-1.87	0.12	3.89	1.17
FACTOR(34)	-1.68	-0.03	2.05	0.98
FACTOR(35)	-1.30	-0.05	1.39	0.79
FACTOR(36)	-2.33	-0.26	0.85	0.85
FACTOR(37)	-1.47	-0.11	0.94	0.67
FACTOR(38)	-0.49	0.35	2.27	0.72
FACTOR(39)	-1.65	0.15	2.24	0.95
FACTOR(40)	-1.99	0.06	2.46	0.90
FACTOR(41)	-1.96	0.06	1.12	0.73
FACTOR(42)	-1.48	-0.22	1.04	0.71
FACTOR(43)	-2.27	-0.07	1.99	0.84
FACTOR(44)	-1.75	-0.26	0.43	0.60
FACTOR(45)	-2.00	-0.02	1.13	0.75
FACTOR(46)	-0.59	0.32	2.18	0.77
FACTOR(47)	-2.07	-0.14	1.84	0.91
FACTOR(48)	-0.86	0.01	1.02	0.44
FACTOR(49)	-1.65	-0.01	1.88	0.74
FACTOR(50)	-1.13	0.01	2.45	0.76
FACTOR(51)	-1.95	-0.15	0.32	0.59
FACTOR(52)	-0.83	-0.04	1.08	0.39

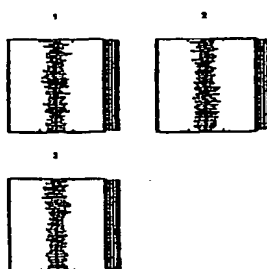
Cluster 3 of 3 contains 17 cases

Case	Distance	Variable	Minimum	Mean	Maximum	St.Dev.
Case 2	0.97	FACTOR(1)	-2.47	-0.34	1.58	1.26
Case 3	0.97	FACTOR(2)	-4.29	-0.01	1.70	1.34
Case 4	0.97	FACTOR(3)	-1.04	0.01	1.49	1.05
Case 7	0.97	FACTOR(4)	-1.44	-0.08	2.63	0.90
Case 9	0.97	FACTOR(5)	-3.05	-0.13	2.34	1.25
Case 12	0.97	FACTOR(6)	-1.95	-0.10	1.24	0.71
Case 15	0.97	FACTOR(7)	-1.12	0.03	1.24	0.49
Case 24	0.97	FACTOR(8)	-2.34	-0.13	1.55	1.00
Case 27	0.97	FACTOR(9)	-2.80	-0.23	1.73	1.12
Case 32	0.97	FACTOR(10)	-1.87	-0.03	2.85	1.07
Case 40	0.97	FACTOR(11)	-1.92	0.20	2.23	0.96
Case 46	0.97	FACTOR(12)	-3.44	-0.35	1.09	1.23
Case 46	0.97	FACTOR(13)	-2.00	-0.32	2.52	1.42
Case 47	0.97	FACTOR(14)	-2.33	-0.00	2.00	1.10
Case 48	0.97	FACTOR(15)	-2.46	0.02	1.87	1.07
Case 50	0.97	FACTOR(16)	-2.14	0.29	2.82	1.2

Page 6/2000 of 6/2000

FACTOR(29)	-2.02	-0.18	1.81	2.12
FACTOR(30)	-1.48	-0.14	0.90	0.64
FACTOR(31)	-1.32	0.01	1.44	0.68
FACTOR(32)	-1.07	0.26	2.15	0.81
FACTOR(33)	-2.14	-0.16	1.04	0.84
FACTOR(34)	-1.63	0.03	2.15	1.07
FACTOR(35)	-0.87	0.19	1.01	0.93
FACTOR(36)	-0.85	0.21	2.47	0.99
FACTOR(37)	-1.42	-0.02	1.88	0.75
FACTOR(38)	-0.94	0.25	2.60	0.80
FACTOR(39)	-2.19	0.12	1.53	0.88
FACTOR(40)	-1.04	-0.07	1.35	0.74
FACTOR(41)	-0.49	0.18	1.55	0.62
FACTOR(42)	-1.77	0.17	1.31	0.73
FACTOR(43)	-2.28	-0.40	1.13	0.88
FACTOR(44)	-2.33	0.11	2.96	1.11
FACTOR(45)	-2.74	-0.10	2.37	1.13
FACTOR(46)	-3.40	-0.23	1.73	1.10
FACTOR(47)	-1.86	-0.12	1.55	0.78
FACTOR(48)	-2.16	0.15	1.63	0.91
FACTOR(49)	-2.51	0.03	3.14	1.54
FACTOR(50)	-1.00	0.23	1.43	0.64
FACTOR(51)	-2.57	-0.06	1.05	0.79
FACTOR(52)	-1.99	-0.33	0.44	0.68

Cluster Profile Plots



Cluster Parallel Coordinate Plots

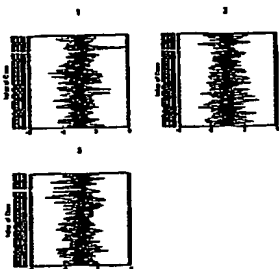


Figure 125